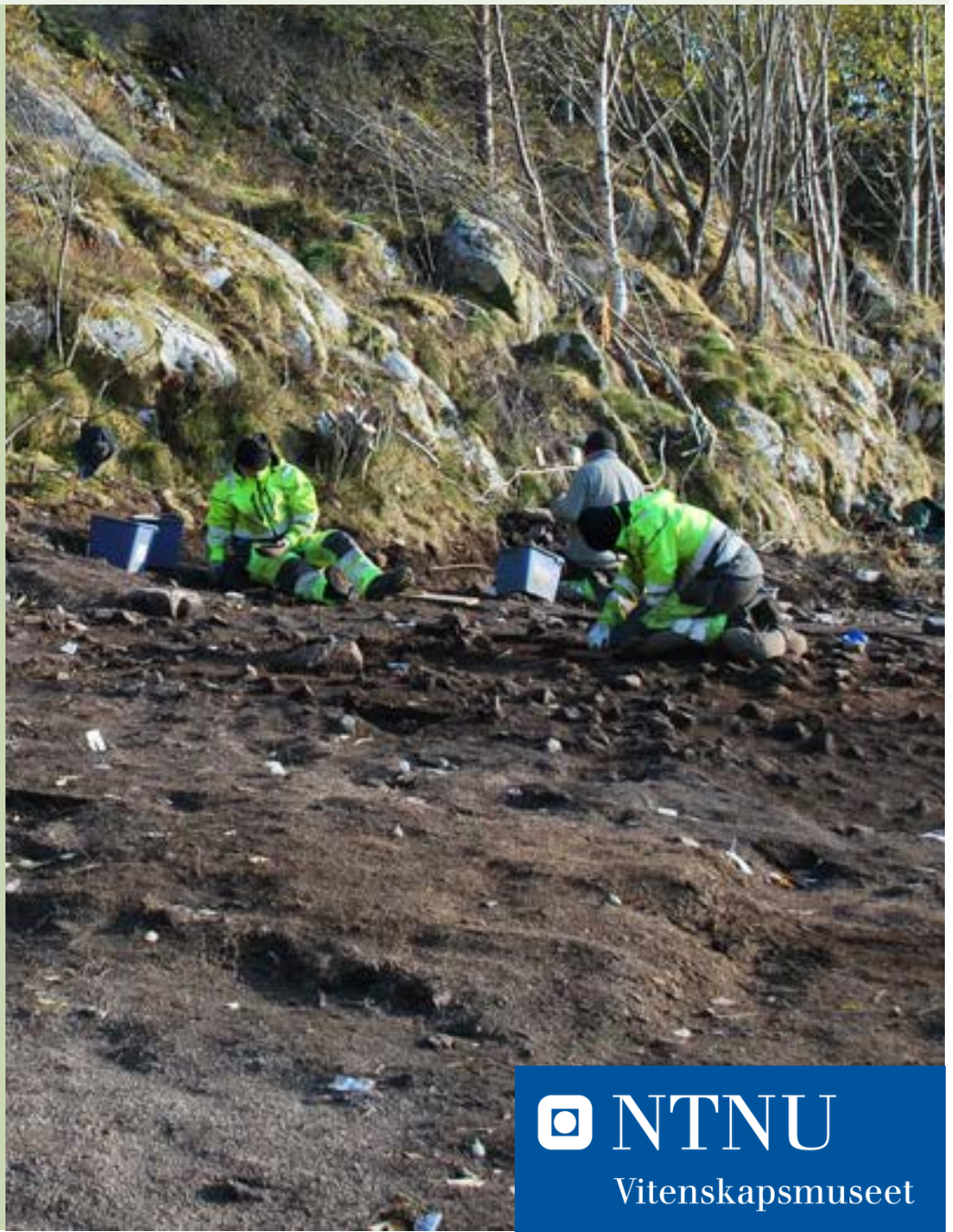


Skule Olaus Svendsen Spjelkavik og Merete Moe Henriksen

Arkeologisk undersøkelse av steinalderlokalitet ved Hitra Helsetun, Trøndelag



NTNU Vitenskapsmuseet arkeologisk rapport 2018:26

Skule Olaus Svendsen Spjelkavik og Merete Moe Henriksen

Arkeologisk undersøkelse av steinalderlokalitet ved Hitra helsetun, Trøndelag

NTNU Vitenskapsmuseet arkeologisk rapport

Dette er en elektronisk serie fra 2014. Serien er ikke periodisk, og antall nummer varierer per år. Rapportserien benyttes ved endelig rapportering fra prosjekter eller utredninger, der det også forutsettes en mer grundig faglig bearbeidelse.

Tidligere utgivelser: <http://www.ntnu.no/vitenskapsmuseet/publikasjoner>

Referanse

Spjelkavik, S.O.S. og Henriksen, M.M. 2018. NTNU Vitenskapsmuseet arkeologisk rapport 2018:26 Arkeologisk undersøkelse av steinalderlokalitet ved Hitra helsetun, Trøndelag

Trondheim, desember 2018

Utgiver

NTNU Vitenskapsmuseet
Seksjon for arkeologi og kulturhistorie
7491 Trondheim
Telefon: 73 59 21 16/73 59 21 45
e-post: post@vm.ntnu.no

Ansvarlig signatur

Bernt Rundberget (seksjonsleder)

Kvalitetssikret av

Ellen Grav Ellingsen (serieredaktør)

Publiseringstype

Digitalt dokument (pdf)

Forsidefoto

Kristina Grubisic (venstre), Eystein Østmoen (i midten bak) og Monica Lunde (foran til høyre) graver mekanisk lag 2 NV på lokaliteten. Tatt mot Ø. Da62417_040, Foto: Skule Olaus Svendsen Spjelkavik, NTNU Vitenskapsmuseet

www.ntnu.no/vitenskapsmuseet

ISBN 978-82-8322-171-8

ISSN 2387-3965

Sammendrag

Spjelkavik, S.O.S. og Henriksen, M.M. 2018: NTNU Vitenskapsmuseet arkeologiske rapport 2018:26 Arkeologisk undersøkelse av steinalderlokalitet ved Hitra helsetun, Trøndelag

Lokaliteten (Askeladden ID 88470) ble undersøkt i forbindelse med Hitra kommunes ønske om å utvide areal tilknyttet Hitra Helsetun. Lokaliteten lå på Fillan, i Hitra kommune, Trøndelag. Feltarbeidet ble gjennomført 18.09-27.10.2017.

Lokaliteten lå i tidligere innmark, sannsynligvis gammel beitemark/slåtteeng. Aktiviteten har foregått i flere faser fra mellommesolittisk tid til merovingertid. Dateringene knyttet til jernalder er trolig kun resultat av lyngbranner eller lignende, ettersom det ikke ble funnet spor etter menneskelig aktivitet fra disse periodene. Hovedbruksfasen ligger i senmesolittisk tid (SM3, 5500-5000 f.kr.). Dateringen er gjort på bakgrunn av flere ^{14}C -dateringer, samt typologisk datering av gjenstandsmaterialet og strandlinjedatering. Gjenstandsmaterialet preges av flintfragment, bipolare kjerner og mikroflekker. På hoveddelfeltet ble det påvist en senmesolittisk tuft, med enkelte tilknyttede strukturer. Det ble også påvist spredte forekomster av kulturlag i et mer funntomt område. Deler av lokalitetsflata var påvirket av dreneringsgrøfter, men de mest funnrike områdene av lokaliteten hadde heldigvis ikke blitt forstyrret av disse.

Nøkkelord: mesolitikum – eldre steinalder – yngre steinalder – mellommesolittisk tid – senmesolittisk tid – neolittisk tid – tuft – graphus – Hitra – Fillan – jaspis

Skule Olaus Svendsen Spjelkavik og Merete Moe Henriksen, NTNU Vitenskapsmuseet, Institutt for arkeologi og kulturhistorie, NO-7491 Trondheim

Summary

Spjelkavik, S.O.S. og Henriksen, M.M. 2018: NTNU Vitenskapsmuseet arkeologiske rapport 2018:xx Arkeologisk undersøkelse av steinalderlokalitet ved Hitra helsetun, Trøndelag

This report describes the excavation of a Stone Age site (Askeladden ID 88470) on Fillan in the municipality of Hitra, Norway. Plans by the municipality to extend parts of the Hitra health centre revealed that the area around the site would be affected, something that lead to a need to excavate and document the site before further action could be taken. The excavation took place in the autumn of 2017 (18.09-27.10.2017).

The site was located in a fallow pasture/meadow, close to the foot of the small, rocky hill Klumpen. Small thickets of willow and a few spruce trees grew along the edges of the field, and were cut down prior to the fieldwork. The excavations revealed a site dating to the Middle to Late Mesolithic, with a primary habitation period in the Late Mesolithic 3 chronozone, based on ^{14}C -dating, a typological dating of the finds and shoreline dating. ^{14}C -dates from the site also revealed activity in parts of the Iron Age. These dates are more uncertain however, as no other finds from the period were found, and could instead be connected with natural forest fires or controlled moorland burning. The excavation was conducted using 5cm thick mechanical layers, in a grid with 100x100cm large squares divided in 50x50cm large quadrants. Production waste of flint makes up for most of the 9463 finds, but borers, scrapers, chisels, a core axe and other formal tools were also retrieved. A large number of blades were also found (503 in total), most of which were microblades (348 in total). In addition to lithics, shallow remains of a Late Mesolithic pit house was discovered in connection to the main activity area. The pithouse was located on a small ridge of gravel-rich marine beach deposits, on the highest part of the site. A dispersed cultural layer in an area with relatively few finds has been interpreted as a possible butchering site. ^{14}C -dates from this area overlaps with ^{14}C -dates of the main activity area 35m to the NW, where no visible cultural layer was observed. This seems to indicate that the areas where used simultaneously, but designated for different tasks.

Key words: Mesolithic – Middle Mesolithic – Late Mesolithic – Neolithic – Flint – Hitra – Fillan – Norway – Stone Age - pithouse

Skule Olaus Svendsen Spjelkavik and Merete Moe Henriksen, NTNU University Museum, Department of Archaeology and Cultural History, NO-7491 Trondheim, Norway

Arkivreferanser

Arkeologisk undersøkelse av steinalderlokalitet ved Hitra Helsetun, Hitra, Trøndelag

Intrasisnr	2017_145
AskeladdenID	88470
Saksnummer (ePhorte)	2016/10988, 2011/8503
Aksesjonsnummer	2017/145
Tilvekstnr	T27682
Fotonr	Da62417-62422
Kartskapnr	11122

Fylke	Trøndelag
Kommune	Hitra
Gårdsnavn	Vikan
Gårdnummer	92/36, 92/1
Lokalitet	Vikan
Kulturminnetype	Bosetnings-aktivitetsområde
Datering	Mellommesolittisk tid, senmesolittisk tid, neolittisk tid, eldre- og yngre bronsealder, førromersk jernalder, merovingertid

Innhold

Innhold	7
Figurer og tabeller	9
1. Bakgrunn for undersøkelsen	12
1.1 Områdebeskrivelse	14
1.2 Kulturhistorisk bakgrunn og tidligere registreringer.....	16
2. Undersøkelsens rammer.....	18
2.1 Tidsbruk og deltakere	18
2.2 Problemstillinger	19
2.3 Metode.....	20
2.4 Dokumentasjon.....	23
2.5 Formidling.....	24
3. Gjennomføring av utgravingsprosjektet.....	25
3.1 Beskrivelse av lokalitet Vikan (Askeladden ID88470)	25
3.1.1 Område A	31
3.1.2 Område B	33
3.1.3 Område C	39
3.1.4 Område D	39
4. Funnmateriale.....	41
4.1 Gjenstandsfunn.....	42
4.1.1 Vannrulling.....	42
4.1.2 Varmepåvirkning.....	43
4.1.3 Patinering	43
4.1.4 Gjenstandstyper	44
4.1.4.1 Flekker og flekkelignende avslag	45
4.1.4.2 Avslagsmaterialet	46
4.1.4.3 Kjerner og kjernefragment	47
4.1.4.4 Meisler og økser	48
4.1.4.5 Spisser	50
4.1.4.6 Skrapere	52
4.1.4.7 Søkke	52
4.1.4.8 Flekkekniv.....	53
4.1.4.9 Stikkel.....	53
4.1.4.10 Knakkestener.....	54
4.1.4.11 Slipeplate og slipesteiner	55
4.1.4.12 Andre funn	56
4.1.5 Råstoff	57

4.1.6 Funnspredning.....	58
4.2 Dateringer	64
4.2.1 ^{14}C -dateringer	65
4.2.2 Strandlinjedatering.....	69
4.2.3 Typologisk datering.....	72
4.3 Naturvitenskapelige prøver og analyser	73
4.3.1 Mikromorfologi.....	73
4.3.2 Vedart.....	74
4.3.3 Pollen	75
4.3.4 Oker.....	75
5. Resultat	76
Litteratur.....	80
Vedlegg.....	81
Vedlegg 1 Sammendrag funn T27682	82
Vedlegg 2 Funnliste T27682	86
Vedlegg 3 Fotoliste feltfoto, Da62417	149
Vedlegg 4 Fotoliste DEM og ortofoto	153
Vedlegg 5 Fotoliste fotogrammetri	154
Vedlegg 6 Kart.....	155
Vedlegg 7 Rentegninger	165
Vedlegg 8 Strukturliste.....	174
Vedlegg 9 Resultater fra mikromorfologianalyser (tabell)	175

Figurer og tabeller

Figur 1: Periodetabell	12
Figur 2: Eystein Østmoe trosser kraftige regnskurer under oppsetting av såldestasjon..	12
Figur 3: Oversiktskart som viser lokalitetens plassering.....	13
Figur 4: Strandlinjekurve for Fillan	15
Figur 5: Dronefoto av lokaliteten og Fillan sentrum.....	15
Figur 6: Flyfoto av Vikan gård fra 1962	16
Figur 7: Spydspiss T15814 funnet i fjæra ved Vikan gård.....	17
Figur 8: Dokumentasjon av ruter	19
Figur 9: Prøvestikking før maskinell avtorving	21
Figur 10: Lengst NV på lokaliteten, like før den maskinelle avtorvingen var ferdig.....	21
Figur 11: Graving av prøvekvadranter langs 116x SØ på lokaliteten.	22
Figur 12: Rene Winther renser etter flateavdekking mot slutten av prosjektet.....	23
Figur 13: Oversiktskart over lokaliteten.....	27
Figur 14: Rene Winther renser overflaten i område A før fotogrammetri.....	28
Figur 15: Dronefoto av lokaliteten etter graving av område A, B og D.....	30
Figur 16: Graving av mekanisk lag 2 i område A.	31
Figur 17: Kullflekk 1109 i plan.....	32
Figur 18: Kullflekk 1109 i profil.....	32
Figur 19: Oversiktsfoto over område B før graving	33
Figur 20: Tuft i område B.....	34
Figur 21: Oversiktskart over tufta og tilknyttede strukturer.....	35
Figur 22: Avskrevet struktur 1000.....	36
Figur 23: Til venstre: oversiktsfoto av struktur 961 Oppe til høyre: Struktur 961 etter snitting. Nede til høyre: Graving av tuft	36
Figur 24: Utsnitt av rentegning av profil gjennom tuft.....	37
Figur 25: Ortofoto av profil gjennom tuft	37
Figur 26: Kullflekk i bunn av profilgrøft gjennom tuft ID203945.....	38
Figur 27: Grussjikt (ID 1322) ved tufta.	38
Figur 28: Oversiktsfoto av område C etter graving.....	39
Figur 29: Åpning av ruter i område D.....	40
Figur 30: Knakkestein T27682:2562 in situ.....	41
Figur 31: T27682:1359 ubestemt kjerne av jaspis, T27682:733 håndtakskjerner i flint og kjølformet kjerne.....	48
Figur 32: T27682:2769 firesidig bergartsmeisel, T27682:2770 firesidig bergartsmeisel, T27682:326 firesidig bergartsmeisel, T27682:1456 tosidig bergartsmeisel.....	49
Figur 33: Utvalg av forskjellige spisser fra lokaliteten	51
Figur 34: Garnsøkke, T27682:2772	53
Figur 35: Kantstikkel på brudd	54
Figur 36: To knakkestener fra lokaliteten	55
Figur 37: Slipeplater av bergart	56
Figur 38: Kakediagram over råstoffordelingen på lokaliteten.	57
Figur 39: Oversikt over alle funn alle lag, område A og B.	58
Figur 40: Oversikt over alle funn alle lag, område C og D.....	58

Figur 41: Oversikt over alle funn alle lag, 1 prikk = 1 funn, område A og B	59
Figur 42: Oversikt over alle funn alle lag, 1 prikk = 1 funn, område C og D.....	59
Figur 43: Oversikt over alle varmepåvirkete funn, alle lag, område A og B	60
Figur 44: Oversikt over alle varmepåvirkete funn, alle lag, område C og D.....	60
Figur 45: Alle funn, mek. lag 1, område A og B	61
Figur 46: Alle funn, mek. lag 1, område C og D	61
Figur 47: Oversikt over bemerkelsesverdige funn, alle lag, område A og B	62
Figur 48: Oversikt over flekker, bipolare kjerner og retusjerte fragment, -medioavslag, -makroflekker og –mikroflekker, alle lag, område A og B	62
Figur 49: Oversikt over flekker, bipolare kjerner og retusjerte fragment, -medioavslag og –makroflekker, alle lag, område C og D.....	63
Figur 50: Strandlinjekurve med dateringene (med feilmargin) plottet inn	70
Figur 51: Kart som viser østsiden av Hitra (øverst til venstre), Fillfjorden (øverst til høyre) og Fillan (nede) med et havnivå på 22moh.....	71
Figur 52: Kart over Fillfjorden med havnivå lagt til 22moh	72
Figur 53: Oversiktskart over flateavdekt areal.....	79

Tabell 1: Oversikt over gravde kvadranter, areal, kubikk og funn.....	26
Tabell 2: Strukturliste.....	28
Tabell 3: Avskrevne strukturer	29
Tabell 4: Oversikt over patinerte funn.....	43
Tabell 5: Oversikt over flekker, diagnostiske avslag og retusjerte flekker.....	45
Tabell 6: Oversikt over avslagsmaterialet fra lokaliteten.	46
Tabell 7: Oversikt over økser og meisler.	48
Tabell 8: Oversikt over spissmaterialet	50
Tabell 9: Oversikt over skrapere.....	52
Tabell 10: Oversikt over sokke	52
Tabell 11: Oversikt over kniv	53
Tabell 12: Oversikt over stikkel.....	53
Tabell 13: Oversikt over knakkestein	54
Tabell 14: Oversikt over slipeplater og slipestein.....	55
Tabell 15: Oversikt over andre funn.....	56
Tabell 16: Råstoffordeling ved lokaliteten	57
Tabell 17: Oversikt over forslag til faseinndeling.....	64
Tabell 18: Oversikt over alle analyserte dateringsprøver.	64
Tabell 19: Periodebetegnelser etter (Bjerck et al., 2008).	65
Tabell 20: Oversikt over dateringsprøver og dateringsresultat.....	66
Tabell 21: Oversikt over dateringer (kronologisk ordnet).....	68
Tabell 22: Oversikt over dateringer tilknyttet tufta (ID203945), kronologisk ordnet.....	68
Tabell 23: Oversikt over dateringer, ordnet etter område A-D.....	69
Tabell 24: Oversikt over alle analyserte naturvitenskapelige prøver	73
Tabell 25: Oversikt over mikromorfologiprøver.	73
Tabell 26: Oversikt over vedartsbestemte trekullprøver	75
Tabell 27: Oversikt over okerprøver.....	75

1. Bakgrunn for undersøkelsen

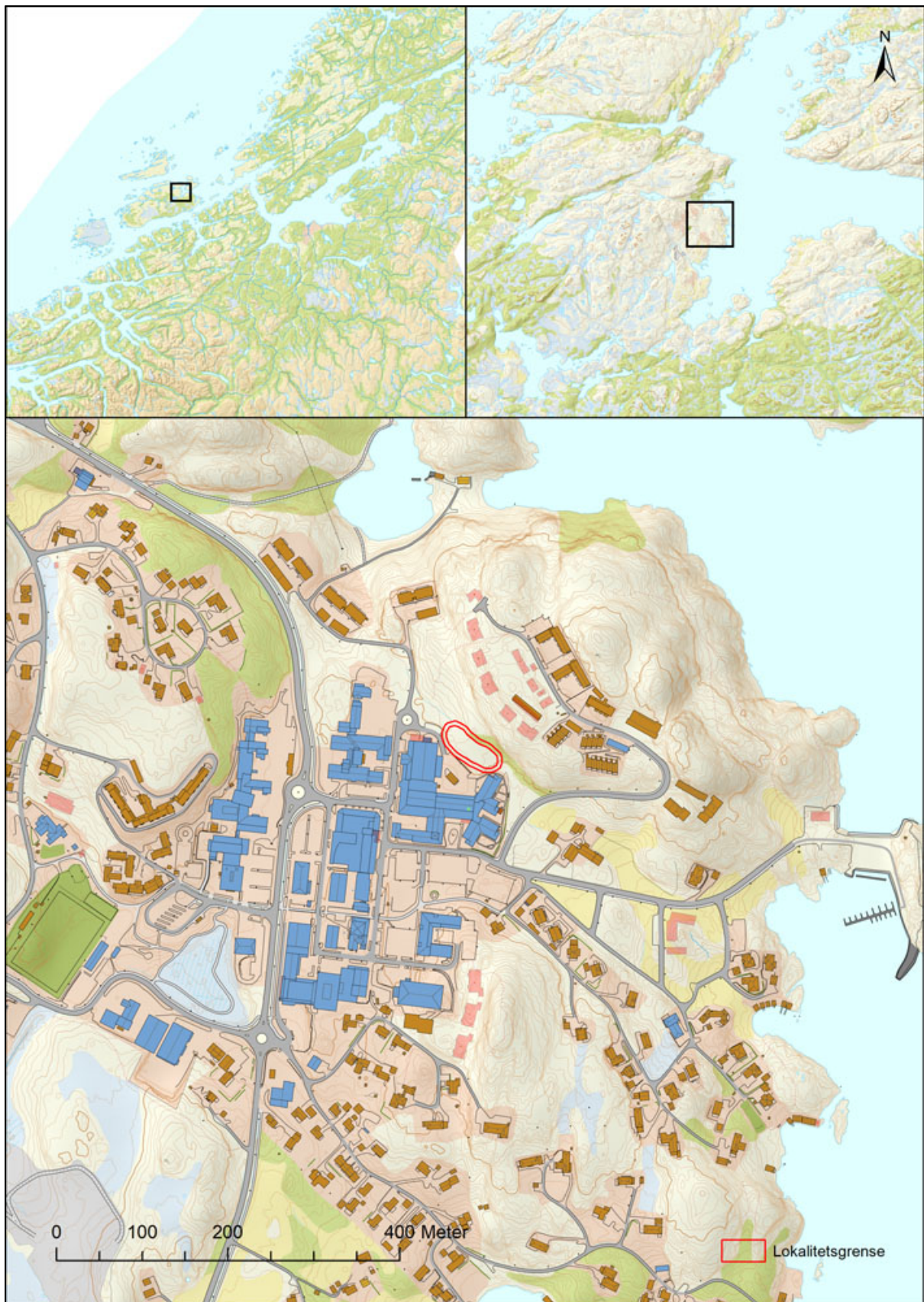
Bakgrunnen for undersøkelsen var Hitra kommunes initiativ for å utvide arealene for Hitra Helsetun, i sentrum av Fillan, Hitra, Trøndelag. Lokaliteten ble undersøkt i perioden 18.09-27.10.2017. I 2002, forut for NTNU Vitenskapsmuseets undersøkelse, hadde Sør-Trøndelag fylkeskommune gjennomført en registrering av området hvor det ble påvist en flerfaset steinalderlokalitet (ID88470) (Vennatrø 2002).

Steinalder	Jernalder
Eldre steinalder (9200-4000 f.Kr.)	Eldre Jernalder
Tidligmesolitikum (9200-8100 f.Kr.)	Førromersk jernalder (500 f.Kr. -0)
Mellommesolitikum (8100-6400 f.Kr.)	Romertid (0-400 e.Kr.)
Senmesolitikum (6400-4000 f.Kr.)	Folkevandringstid (400-575 e.Kr)
Yngre steinalder (4000-1700 f.Kr.)	Yngre jernalder
Tidligeolitikum (4000-3300 f.Kr.)	Merovingertid (575-800 e.Kr.)
Mellomneolitikum (3300-2300 f.Kr.)	Vikingtid (800-1030 e.Kr.)
Senneolitikum (2300-1700 f.Kr.)	
Bronsealder	
Eldre bronsealder (1700-1100 f.Kr.)	
Yngre bronsealder (1100-500 f.Kr.)	

Figur 1: Periodetabell. Illustrasjon: NTNU Vitenskapsmuseet



Figur 2: Rufsete vær hører med til utgravning på Hitra senhøstes. Eystein Østmoe trosser kraftige regnskurer under oppsetting av såldestasjon. Da62417_036. Foto: Skule O. Spjelkavik, NTNU Vitenskapsmuseet



Figur 3: Oversiktskart som viser lokalitetens plassering, lokaliteten markert med rød strek.
Kart: Skule O.S. Spjelkavik, NTNU Vitenskapsmuseet

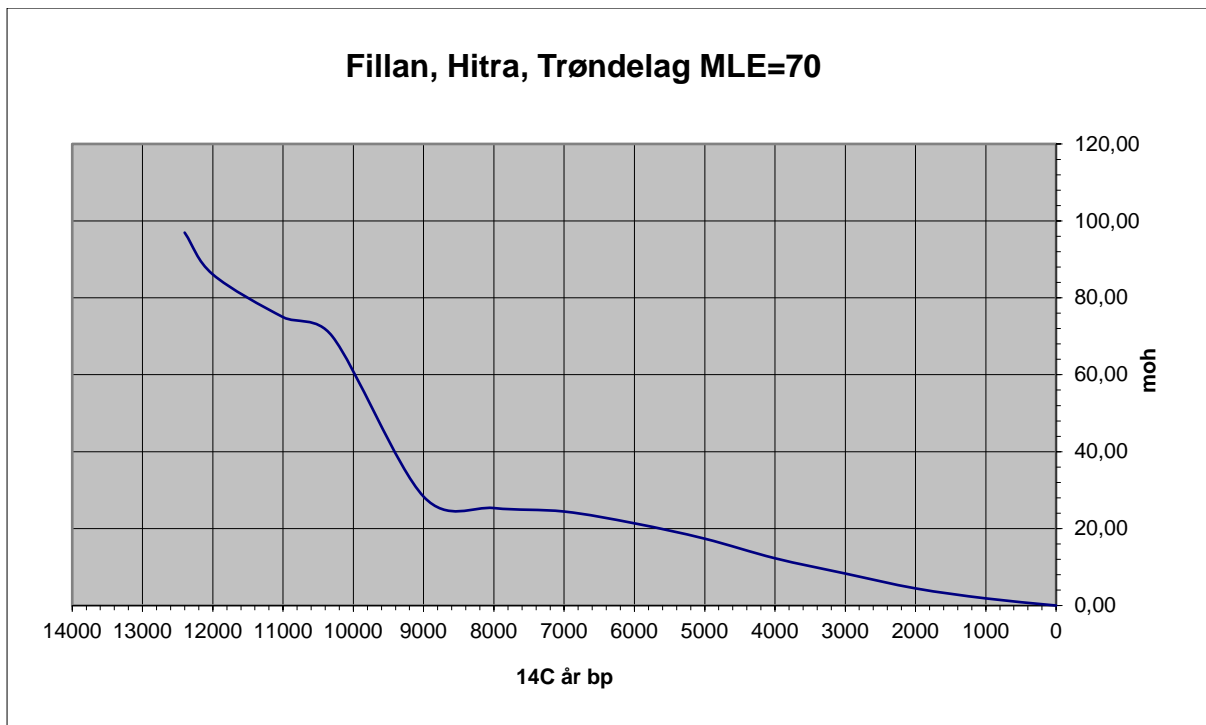
1.1 Områdebeskrivelse

Lokaliteten ligger på en NV-SØ gående flate, mellom en lav bergknaus i SV og en høyere bergknaus (Klumpen) i NØ. Flaten heller svakt mot SØ, slik at den laveste delen av lokaliteten ligger rundt 25moh, mens den høyeste delen ligger opp mot 28moh. Før avdekking var flaten dekket av høyt gress, og marka var stedvis bløt og myrete. I kanten av lokalitetsflaten vokste det en del trær – primært selje og gran. Mot N, utenfor lokalitetsavgrensningen, fortsetter flaten i en svak bue rundt Klumpen. Terrenget her blir imidlertid gradvis mer kupert, og preget av lyngvegetasjon og berg i dagen.

Området V og SV for lokaliteten er preget av moderne bebyggelse, med helsetunet og Hitrahallen tettest på. Terrenget her er tydelig planert i forbindelse med bebyggelsen, og det er dermed utfordrende å se for seg det forhistoriske landskapet her. Eldre ØK-kart kan imidlertid brukes for å få et inntrykk av topografien før utbyggingen. Blant annet ville den lille bergryggen V og SV for lokaliteten ha fortsatt et lite stykke mot SV, opp mot en liten topp på 31moh. Selve Fillan sentrum ville stort sett ha ligget under 25moh, men terrenget fra kjøpesenteret «Hjorten» og sørover mot Oldervika ville vært mer kupert med små høyder på rundt 30moh.

Fillfjorden ligger om lag 375m mot SØ, og fra lokaliteten heller terrenget gradvis nedover mot sjøkanten. 100m fra lokaliteten, i samme retning, ligger selve Vikan gård. I NV er bebyggelsen mer sparsom, og grunnen mer myrholdig.

Lokaliteten ligger dermed på en godt skjermet og veldrenert flate, med det som ville ha vært gode innseilingsmuligheter med en vannstand på rundt 20-25moh. Klumpen ville tatt av for vær og vind nordfra, mens landmassen mot vest ville skjermet for vær herfra. Bergknausene Klumpen og Storhaugen ville også ha dannet en beskyttende «klype» mot fjorden utenfor. Fillfjorden er et smalt farvann i dag, og var også forholdsvis godt beskyttet i steinalderen. Det var imidlertid noen flere vannveier inn og ut av fjorden, blant annet ved Eid sør for Tistillen. I tillegg ville Fjellværøya vært oppstykket i flere mindre øyer, med smale sund og strømmer.



Figur 4: Strandlinjekurve for Fillan, Hitra, Trøndelag. MLE satt til 70.



Figur 5: Dronefoto av lokaliteten og Fillan sentrum. Mellom lokaliteten og Fillfjorden i bakgrunnen ser vi Vikan gård. Da62417_052. Tatt mot SØ. Foto: Raymond Sauvage, NTNU Vitenskapsmuseet.

1.2 Kulturhistorisk bakgrunn og tidligere registreringer

Hitra er en øy kjent for mange steinalderfunn. Her ute er det kort vei til småøyer, strømmer og gode fiskeplasser, og skjærgården her ute må ha vært særlig attraktiv i en periode hvor folk var svært avhengige av marine ressurser. Froan, nordøst for Frøya, er i dag et av kjerneområdene for kystsel, og tarehavet rundt Hitra trekkes fram som særlig rikt (Domaas 1989). Et søk på kulturminnedatabasen Askeladden gir treff på 277 steinalderlokaliteter på Hitra. Dette representerer både registrerte lokaliteter og enkeltfunn, og gjenspeiler den store funnmengden på øya.



Figur 6: Flyfoto av Vikan gård fra 1962. Lokalitetens sørøstre grense går akkurat i grensen mellom innmark og torvmyra, bak gården. I bakgrunnen ses Fillan kirke. Foto: Widerøes Flyveselskap A/S/MIST.

Det er tydelig at det er funnet spesielt mye i området rundt Fillan, noe som bygdebokførfatter Maurits Fugelsøy (1958) setter i sammenheng med den store byggeaktiviteten i området. Nye Fillan sentrum ble etablert på 1960-tallet, da nåværende kommunehus ble bygd tett ved riksvei 714. Sentrumsutvikling og boligbygging har nok ført til at det har blitt gjort mange funn i grøfter og ved tomteplanering i tiårene siden 1960-tallet.

I en 500m radius rundt lokaliteten er det kjent 8 lokaliteter og funnsteder:

- ID18402, funnsted for løsfunn av flint og skifer ved jordarbeid. 16moh.
- ID28458, funnsted for skarper av flint. Om lag 22moh.
- ID68038, tapt/fjernet, funnsted for «betydelig mengder flintmateriale». 30moh.
- ID68039, løsfunn av spydspiss av skifer, funnet i fjæra ved Fillfjorden i 1939. 0moh.
- ID88467, lokalitet fra yngre steinalder, utgravd i 2007. 14moh.
- ID88468, lokalitet fra eldre steinalder, utgravd i 2007. 21moh.
- ID88469, liten lokalitet med funn av skjørhbrent stein, flint og fragment av slipt skiferkniv. 19moh.
- ID90533, steinalderlokalitet (detaljer mangler i Askeladden). 20moh.
- ID90534, liten lokalitet med funn av enkelte flintavslag. 38moh.
- ID115021, lokalitet fra eldre steinalder, utgravd i 2000.

I 2002 ble lokaliteten Vikan (ID88470) påvist og registrert av Ragnar Vennatrø. Bakgrunnen for registreringen den gangen var ny reguleringsplan for Fillan sentrum øst og etablering av helsetunet. Det påpekes i rapporten at området på forhånd ble vurdert til å ha et stort potensiale for bosettingsspor fra steinalderen. Undersøkelsen ble gjennomført 18.04.2002 og 22.05.2002. Det ble satt 27 prøvestikk (30x30cm), hvorav 9 var funnførende med til sammen 30 funn. To funnkonsentrasjoner ble definert, en i den nordvestlige enden av lokaliteten og en i den sørøstlige. Det ble også påvist et antatt kulturlag i enkelte prøvestikk.

T 15814

000



Figur 7: Spydspiss T15814 funnet i fjæra ved Vikan gård (Askeladden ID 68039). Foto: Ole Bjørn Pedersen, NTNU Vitenskapsmuseet

2. Undersøkelsens rammer

Utgravingen ble gjennomført på bakgrunn av en reguleringsplan for Fillan sentrum, som inkluderer en utvidelse av areal tilknyttet Hitra Helsetun. Utvidelsen inkluderer blant annet en svakt hellende NV-SØ-gående skråning Ø for helsetunet, hvor det ble registrert en steinalderlokalitet i 2002 (ID88470) i regi av Sør-Trøndelag fylkeskommune (Vennatrø 2002).

Ettersom tiltaket kom i konflikt med ovennevnte kulturminne, sendte Hitra kommune en søknad til Sør-Trøndelag fylkeskommune om frigivelse av arealet våren 2010. Tilknyttet reguleringsplankart og øvrige bestemmelser ble oversendt 13.07.10. På bakgrunn av disse planene sendte Sør-Trøndelag en søknad til Riksantikvaren om tillatelse til inngrep i ID88470, i henhold til KML §8.1, den 08.06.11. En faglig uttalelse ble sendt fra NTNU Vitenskapsmuseet den 19.07.2011. I mars 2016 informerte Hitra kommune om at prosjektet var budsjettert og planlagt, med oppstart i 2018.

2.1 Tidsbruk og deltakere

Undersøkelsen i felt ble gjennomført i tidsrommet 18.09.2017-27.10.2017. Utgravingen ble gjennomført på planlagt tid. Arbeidstid i felt utgjorde til sammen 196 dagsverk, alt feltpersonale inkludert.

Maskinfører i perioden 19.09-25.09.2017 var Alexander Ulvær fra KN Entreprenør.

Deltakere i felt:

Monica Lunde	Feltassistent	18.09 – 27.10
Rene Winther	Feltassistent	20.09 – 27.10
Elise Kjørsvik	Feltassistent	25.09 – 27.10
Torstein Bjerkestrand Skaret	Feltassistent	25.09 – 13.10
Eivind Magnus Færøy Krag	Feltassistent	02.10 – 13.10
Kristina Grubisic	Feltassistent	09.10 – 27.10
Eystein Østmoen	Feltassistent	16.10 – 27.10
Signe Groot Terkelsen	Feltassistent	16.10 – 27.10
Heidi Fløttum Westgaard	Feltassistent	20.10 – 26.10
Mari Moen	Feltassistent	20.10 – 26.10
Catharina Bøhn Øien	Feltassistent	20.10 – 26.10
Maria Vestvik	Feltassistent	23.10 – 26.10
Agathe Sofie Farstad Smørholm	Feltassistent	23.10 – 26.10
Skule Olaus Svendsen Spjelkavik	Feltleder	18.09 – 27.10

I tillegg deltok Kristin Eriksen (daværende GIS-ansvarlig ved NTNU VM) og prosjektleder Merete Moe Henriksen ved enkelte anledninger. Raymond Sauvage var også fungerende prosjektleder i en kort periode og var ute på befaring, samt at han fløy drone over lokaliteten 24.10.2017.

Etterarbeidet foregikk hovedsakelig fra oktober 2017 til mai 2018, men rapporten ble først ferdigstilt vinteren 2018/2019. Våren 2018 bidro Grete Irene Solvold og Eystein Østmoe i deler av katalogiseringsarbeidet. Øvrig arbeid knyttet til rapporten ble gjennomført av Skule O.S. Spjelkavik.



Figur 8: Dokumentasjon av ruter foregikk i brakke som var satt opp på parkeringsplassen til Hitra Helsetun. Eivind Magnus Færøy Krag og Kristina Grubisic i bildet. Da62417_033. Foto: Skule O.S. Spjelkavik, NTNU Vitenskapsmuseet

2.2 Problemstillinger

I prosjektbeskrivelsen for undersøkelsen ble følgende problemstillinger definert:

- Når var lokaliteten bosatt?
- Representerer de to funnområdene innenfor lokaliteten ulike aktiviteter knyttet til en og samme lokalitet, eller er det noe i materialet som tyder på to ulike lokaliteter når det gjelder bruk og alder?
- Hva kan eventuelle strukturer og gjenstandsmateriale si om romlig organisering av boplassflata?
- Det påviste kulturlaget vitner om en lokalitet med en viss tidsdybde. Er det mulig gjennom undersøkelser av kulturlaget på lokaliteten å si noe om aktivitet, event. indikasjoner på tidlig husdyrhold eller dyrking?

2.3 Metode

Hele lokalitetsflaten, bortsett fra sikringssonen, ble avtorvet. Til å begynne med var det noe usikkert hvor dyp torva var, så det ble satt en del ekstra prøvestikk oppover for å avgrense vertikalt. Dette hjalp betraktelig og avtorvingen kunne fortsette. Et lite område i SØ ble ikke rørt, da det var tydelig at løsmassene her hovedsakelig bestod av kantete, sprengt stein. Underveis i avtorving ble funn plassert på funnstedet i poser og festet med spiker, for å tydeliggjøre funnspredningen. Det ble observert en tydelig funnkonsentrasjon NV på feltet, på en liten forhøyning i terrenget som gikk inn mot en liten bergrabb.

Etter avtorving ble området grovrenset, før det ble tatt en fotogrammetri av feltet. Denne fungerte som et planleggingsverktøy og bakgrunn for å kunne identifisere dreneringsgrøfter og mulige rotvelt.

Det ble satt ut et koordinatsystem med digitalt innmålingsutstyr, med egen felt-nord mot NØ. Når det henvises til himmelretninger i rapporten er dette imidlertid reelle himmelretninger. Dette ble gjort for å legge rutene parallelt med terrenget, slik at det skulle bli lettere å legge opp prøveruter. Lokaliteten var forholdsvis lang og smal, og flaten var orientert NV-SØ. 100x/100y ble plassert ned mot en bergrabb sentralt på feltet, slik at verdier over 100y lå SØ for den største funnkonsentrasjonen og verdier under lå innenfor.

Massene ble hovedsakelig såldet med 4mm såld, men i tilfeller hvor det var mistanke om kulturlag ble 2mm såld benyttet for å kunne fange opp eventuelle beinrester og andre organiske rester.

Til å begynne med ble det anlagt prøveruter langs 116x. Dette ble gjort for å kartlegge funnforholdene utenfor den tette konsentrasjonen av overflatefunn i NV. Det ble gravd 5cm lag ned til første funntomme lag, men i enkelte tilfeller ble det gravd dypere for å være sikker på avgrensningen vertikalt. Det ble ikke gravd prøveruter innenfor funnkonsentrasjonen. Dette først og fremst på grunn av at konsentrasjonen var såpass tydelig, men også på grunn av frykt for å ødelegge eventuelle strukturer lengre ned. I ettertid virker imidlertid denne frykten ubegrunnet, og det hadde nok vært bedre å satt systematiske prøveruter også her for å kunne sammenligne med feltet for øvrig.



Figur 9: Prøvestikking før maskinell avtorving. Da62417_010. Tatt mot NV. Foto: Skule O.S. Spjelkavik, NTNU Vitenskapsmuseet



Figur 10: Lengst NV på lokaliteten, like før den maskinelle avtorvingen var ferdig. Funnposer i forgrunnen markerer overflatefunn. Da62417_012. Tatt mot V. Foto: Rene Winther, NTNU Vitenskapsmuseet



Figur 11: Graving av prøvekvadranter langs 116x SØ på lokaliteten. Såldestasjoner med vann fra helsetunet i bakrunnen. Da62417_022. Tatt mot NØ. Foto: Skule O.S. Spjelkavik, NTNU Vitenskapsmuseet

Etter innledende prøveruter og kartlegging var foretatt begynte den ordinære rutegravingen. Det ble bestemt at det skulle graves 5cm lag, i kvadranter. Innenfor den mulige tufta ble det forsøkt å grave mekanisk stratigrafisk. Dette viste seg etter hvert å være svært utfordrende. Lagene her var svært tynne, og det var usikkert hvorvidt lagskillene representerte kulturell eller naturlig aktivitet. Likevel ble det til slutt skilt ut to lag, som ble gravd mekanisk stratigrafisk i rutenett (a og b).

Det ble satt igjen tilsammen fire 50cm brede profilbenker. En fra 114x79ySØ til 119x89yNØ, en fra 116x90ySV til 116x95ySØ, en fra 109x81yNV til 109x89yNØ (gjennom tufta), og en fra 113x131ySV til 113x134ySØ. Det ble tatt ut forskjellige typer prøver fra profilbenkene avhengig av hvor de lå, og hvor egnet massene og forholdene var for de ulike prøvetypeene. Problemstillingene var også førende, noe som blant annet gjorde at det ble prioritert å ta ut pollenprøver fra profilbenken lengst SØ på feltet (113x131ySV-113x134ySØ) hvor det var et mulig kulturlag.

Fra den mulige tufta ble det tatt ut tre mikromorfologiprøver. Massene her var imidlertid svært harde, noe som gjorde det utfordrende å banke inn Kubiena-boksene. Prøvene ble tatt ut sentralt i tufta, blant annet i håp om å avdekke mulige tråkkelag eller gulvlag.

Alle profilgrøftene ble spadd opp manuelt, foruten profilgrøften gjennom den mulige tufta. Her ble det benyttet maskin i sammenheng med at det ble forsøkt å flateavdekke deler av lokalitetsflaten, nest siste dag i felt. Maskina gjorde det mulig å få en bred og dyp profilgrøft, noe som lettet prøvetaking og dokumentasjon.



Figur 12: Rene Winther renser etter flateavdekking mot slutten av prosjektet. Da62417_081. Tatt mot NV. Foto: Skule O.S. Spjelkavik, NTNU Vitenskapsmuseet

Nest siste dag i felt ble det benyttet maskin for å flateavdekke deler av lokaliteten. Det vil si at det funnførende laget ble strippet vekk for å forsøke å avdekke strukturer i undergrunnen. Det ble lagt opp til å avdekke to brede stripers i det mest funnrike området. Dette for å kunne legge opp masser ut mot kanten av lokaliteten. Avdekkingen gikk stort sett ned på steinhard mørk aurhelle, og kun to mulige strukturer ble avdekket (ID 1109 og ID 1322).

2.4 Dokumentasjon

I felt ble det benyttet en RTK-GPS med CPOS til innmåling. Innmålingsdata ble importert og videre behandlet i Intrasis.

Det ble benyttet digital dokumentasjon av ruter og strukturer. Dette ble gjort på iPad med Musits registreringsskjema i FileMaker pro. Fotoliste ble til dels også ført digitalt på iPad.

Dokumentasjon av feltet i plan ble utelukkende gjort med fotogrammetri. Til dette ble det benyttet et Olympus digitalkamera, samt et Nikon digitalt SLR-kamera. Olympuskameraet ble som regel benyttet sammen med fotostang, med appen «OL. Share» installert på iPhone. I visse tilfeller ble det produsert ortofoto i felt som fungerte som bakgrunn til tegning og tolkning i felt. Rentegninger i etterarbeidet er produsert på bakgrunn av ortofoto, samt notater fra felt.

Profildokumentasjon ble også hovedsakelig gjort med fotogrammetri. To av profilene ble tegnet med utskrift av ortofoto som bakgrunn, mens en ble tegnet på folie. Profilen gjennom tufta ble kun dokumentert med fotogrammetri og notater i felt på grunn av tidsnød.

I etterarbeidet ble «Inkscape» benyttet til tegning, mens fotogrammetriene ble rentegnet i Agisoft Photoscan og eksportert som shapefiler til ArcMap og Intrasis.

2.5 Formidling

Det ble ikke organisert et formelt formidlingsopplegg under utgravingen. Det var imidlertid enkelte besøkende som tok turen innom, spesielt etter å ha lest om utgravingen i avisene HitraFrøya. Interessen var generelt sett beskjeden, med totalt 20 besøkende.

Lokaliteten var avsperrt med sperrebånd, og det ble satt opp informasjonsplakater i hver ende av lokaliteten. Dette sørget for at folk stoppet opp og ikke tråkket inn på området. Folk som kom på besøk fikk gjerne en kjapp omvisning på lokaliteten, samt at de fikk kikke på funn og stille spørsmål.

I felt ble det skrevet ett Norarkinnlegg og utgravingen resulterte i én avisartikkel:

- | | |
|------------|--|
| 01.10.2017 | Kirsti Marthine Flathagen, HitraFrøya: «Spennende arkeologisk funn bak helsetunet» |
| 17.10.2017 | Skule Olaus Svendsen Spjelkavik: «En steinalderlokalitet på Vikan»
Blogginnlegg på norark.no
http://www.norark.no/prosjekter/hitra-helsetun/vikan-en-seinmesolittisk-lokalitet-pa-hitra/ |

3. Gjennomføring av utgravingsprosjektet

Det ble gravd ut én flerfaset steinalderlokalitet på dette prosjektet (Askeladden ID88470). Hele lokaliteten ble maskinelt avtorvet, og deretter utgravd manuelt i 5cm lag. Lokaliteten ble ikke totalgravd.

3.1 Beskrivelse av lokalitet Vikan (Askeladden ID88470)

Avdekt areal: 1182 m²

Utgravd kubikk: 7,41 m³

Antall strukturer: 8

Antall funn: 9463 (ekskludert prøver)

I prosjektplanen ble det foreslått at hele lokaliteten skulle avtorves, men at det ikke var hensiktsmessig å grave hele arealet. Funnmengden ble anslått til å kunne komme opp mot 29 000 funn, ut fra et estimat på 20 funn per m². Inntil 370m² (25%) av lokaliteten skulle graves manuelt.

Matjordslaget var forholdsvis tynt på lokaliteten, stort sett rundt 20-30cm, men det var i begynnelsen vanskelig å skille matjord fra bevart funnførende lag. Dette gjaldt spesielt i SØ, hvor grunnen virket noe forstyrret av jordarbeid og sprengning. Matjordslaget ble fjernet maskinelt, mens den videre undersøkelsen av lokaliteten ble gjennomført manuelt ved graving i 5cm tykke mekaniske lag. Det ble satt ut et koordinatsystem med feltnord mot NØ for å tilpasse aksene med terrenget. En mulig tuft, NV på lokaliteten, ble forsøksvis grad mekanisk stratigrafisk – med vekslende hell.

Lokaliteten hadde en klar funnkonsentrasjon på den høyeste delen av lokaliteten, i NV. Her var det en naturlig knekk i terrenget, som dannet en liten NØ-SV-gående rygg. Inn mot berget i N på denne ryggen, lå en liten terrasse som utmerket seg med særlig mange overflatefunn. På bakgrunn av den store mengden overflatefunn ble dette området grundigst undersøkt.

Lokaliteten ble inndelt i 4 delfelt, her kalt områder. Område A ble definert av funnkonsentrasjonen lengst N på feltet. Område B inkluderte tufta og en tilknyttet rute. Område C var et område sentralt på lokalitetsflaten som ble undersøkt helt til slutt, på bakgrunn av forholdsvis høy funnmengde i en innledende prøvekvadrant. Område D lå helt SØ på lokaliteten, hvor det var mulige kulturlagsrester. Funnmengden her var lav, men det ble funnet en del brente hasselnøttskall.

Tabell 1: Oversikt over gravde kvadranter, areal, kubikk og funn. Merk at løsfunn ikke er inkludert her.

	Mek. 1, 0-5cm	Mek. 2, 5- 10cm	Mek. 3, 10- 15cm	Mek. 4, 15- 20cm	Mek. 5, 20- 25cm	Mek. 6, 25- 30cm	Totalt
Antall kvadranter gravd	472	79	24	11	5	2	593
Antall m ² gravd	118	19,75	6	2,75	1,25	0,50	148,25
Antall m ³ gravd	5,90	0,99	0,3	0,14	0,06	0,025	7,41
Antall funn	7500	1241	161	7	1	0	8910
Ant. funn pr. kvadrant	15,88	15,70	6,70	0,063	0,20	0	15,02

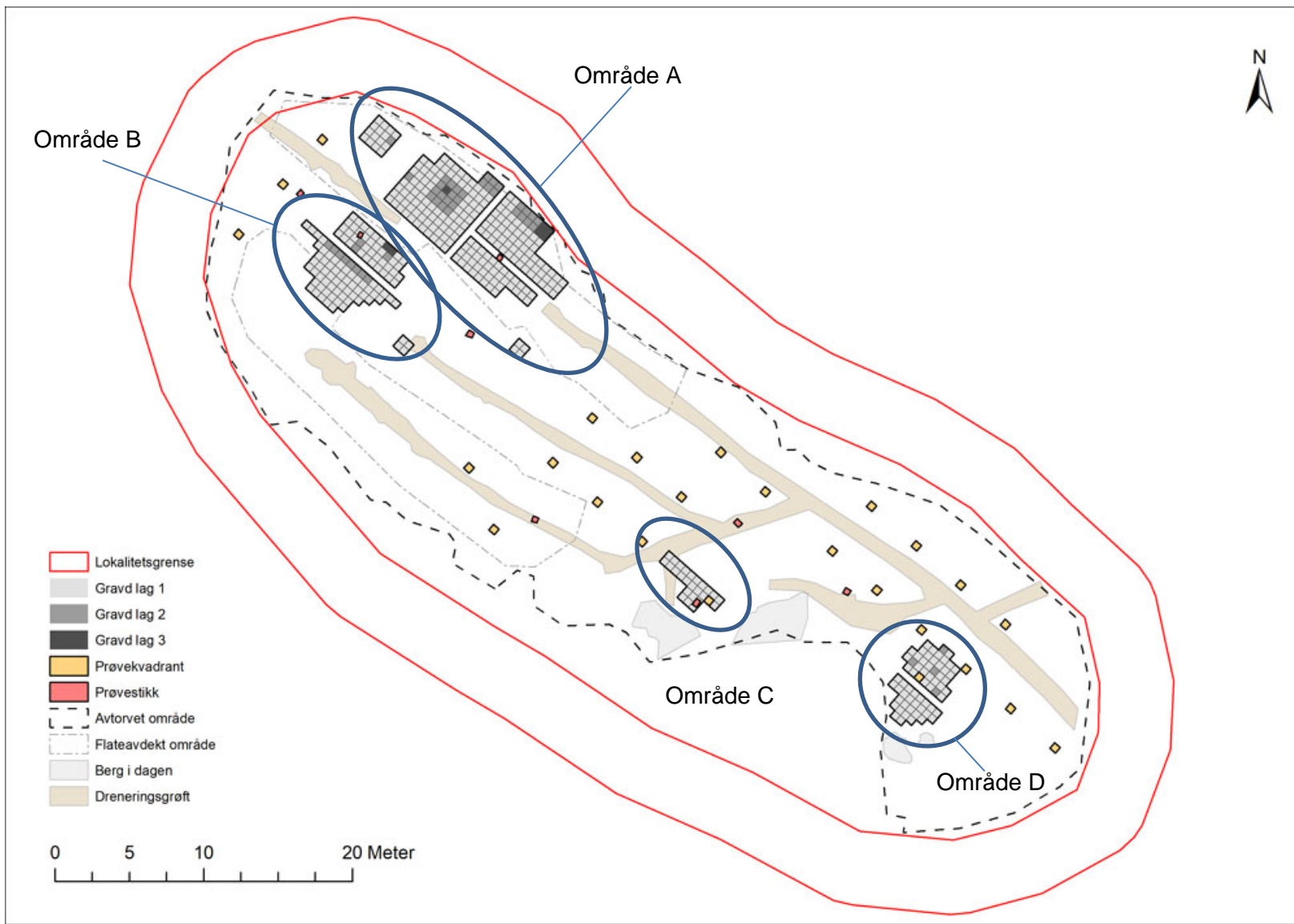
Innledende undersøkelser – avtorving og tolkning av terregn

Under den innledende avtorvingen var det noe vanskelig å vite hvor tykk torva var, så det ble bestemt at det skulle graves enkelte prøvestikk for å få mer kontroll på stratigrafien. Det ble gravd til sammen 11 prøvestikk, hvorav to var utenfor lokaliteten. De sistnevnte ble satt for å kunne avgrense lokaliteten mot N, ettersom den funnførende flaten virket å fortsette i denne retningen. De øvrige 9 prøvestikkene ble satt spredt rundt på lokalitetsflaten. Ett av dem (ID224) ble uheldigvis plassert rett på en dreneringsgrøft, som innledningsvis skapte litt forvirring rundt dybden på torva. Dette ble imidlertid fort oppklart da avtorvingen kom i gang igjen. Det ble satt igjen en tynn remse med torv inn mot berget i N, for å hindre vann i å renne inn på lokaliteten.

I rapporten fra 2002 ble det påvist kulturlag i flere prøvestikk. Dette var imidlertid vanskelig å se tydelig etter den maskinelle avtorvingen, spesielt i område A, B og C. I område D var det sannsynligvis rester etter kulturlag, men dette var grunt og usammenhengende. Det ble ikke påvist funn av organisk materiale annet enn brente hasselnøttskall, selv om deler av massene forsøksvis ble såldet med 2mm såld.

Dreneringen på stedet må være av forholdsvis ny dato ettersom flyfoto fra 1967 tydelig viser at det aller meste av lokaliteten lå i utmark, sannsynligvis torvmyr. Område D, ville ha ligget helt på kanten mot innmarka. Dreneringsgrøftene er dermed sannsynligvis gravd etter 1967.

Flere tilnærmet sirkulære, rustbrune «flekker» i område A og B ble tolket som mulige spor etter trær. Tydelige rotganger ble observert under snitting og videre undersøkelse av område B, noe som virker å støtte denne tolkningen.



Figur 13: Oversiktskart over lokaliteten. Kart: Skule O.S. Spjelkavik, NTNU Vitenskapsmuseet



Figur 14: Rene Winther renser overflaten i område A før fotogrammetri. Legg merke til de rustbrune flekkene i området bak og til høyre. Da62417_020. Tatt mot V. Foto: Skule O.S. Spjelkavik, NTNU Vitenskapsmuseet

Strukturer og lag

Det ble ikke påvist særskilt mange strukturer og lag. Generelt sett er det sjeldent å finne godt bevarte kulturlag og strukturer fra eldre steinalder i Midt-Norge, foruten i hellerere.

Undergrunnen virket også å være tydelig preget av omroting fra trerøtter osv., samt at det gikk flere dreneringsgrøfter ned gjennom flaten. Heldigvis stoppet alle grøftene like ved funnkonsentrasjonen på toppen av lokaliteten, sannsynligvis på grunn av de gode, naturlige dreneringsforholdene her. Profilsjaktene som ble gravd viste også tydelig at grunnen bestod av podsolprofiler, med til dels kraftig jernutfelling. Dette må ha påvirket synligheten til eventuelle kulturlag og strukturer.

Tabell 2: Strukturliste

IntrasisID	Subclass	Kontekst
353	Lag	Område B, tuft, stratigrafisk lag a
961	Steinpakning	Område B, tuft
1069	Kullflekk	Område D, topp mek. lag 2
1109	Kullflekk	Område A, etter flateavdekking
1237	Kullflekk	Område B, bunn av profilsjakt i tuft
1322	Annet	Område B, etter flateavdekking
203938	Kulturlag	Område D, topp mek. lag 1
203945	Tuft	Område B, topp mek. lag 1

Tabell 3: Avskrevne strukturer

IntrasisID	Subclass	Kontekst
509	Avskrevet	Område B, tuft
522	Avskrevet	Område B, tuft
907	Avskrevet	Område A, topp mek. lag 2
914	Avskrevet	Område B, tuft
1000	Avskrevet	Område B, tuft
1055	Avskrevet	Område B, tuft

8 strukturer ble klart definert, men enkelte mangler likevel gode tolknninger. 3 av strukturene framstod som diffuse kull/softflekker. Disse ble tolket som mulige rester av ildsted, men det var lite som tydet på varmepåvirkning (skjørbrente steiner, rødbrent sand ol.) utover enkelte kullbiter. Den mest interessante strukturen var imidlertid en mulig tuft (ID203945), med to tilknyttede strukturer (ID961 og ID1322) og ett klart definert lag (ID353, stratigrafisk lag a).

Nærmere beskrivelser av de ulike strukturene vil bli gitt under de ulike områdebeskrivelsene. Det er imidlertid viktig å poengtene at denne inndeling kun er gjort ut i fra praktiske hensyn, og virker kun i begrenset grad å representere en reell rom- eller faseinndeling i forhistorisk tid (spesielt gjelder dette område A og B).

Avgrensning

Det ble prioritert å få et overblikk over horisontal funnspredning, heller enn vertikal. Av den grunn ble det gravd langt flere ruter i mekanisk lag 1 enn mekanisk lag 2 (se tabell 1). Avgrensningen av de ulike områdene var naturligvis en delvis skjønnsmessig vurdering, men fall i funnmengde, lokalitetens grense, samt naturlig avgrensning som berg i dagen var faktorer som bidro til en avgrensning av de ulike områdene.



Figur 15: Dronefoto av lokaliteten etter graving av område A, B og D, men før graving av område C. Da62417_050. Foto: Raymond Sauvage, NTNU Vitenskapsmuseet

3.1.1 Område A

Område A representerer den mest funnrike delen av lokaliteten. Under avtorvingen ble det påvist en tydelig funnkonsentrasjon her som gjorde at dette området ble prioritert i den videre undersøkelsen. Området ligger om lag 30 moh, tett inntil en bergrabbe NØ for flata.



Figur 16: Graving av mekanisk lag 2 i område A. Monica Lunde, Eystein Østmoe og Kristina Grubisic i bildet. Da62417_045. Tatt mot N. Foto: Skule O.S. Spjelkavik, NTNU Vitenskapsmuseet

Det ble gravd 246 kvadranter av mekanisk lag 1 innenfor dette området, innenfor 36 av disse igjen ble mekanisk lag 2 gravd, og innenfor disse ble det gravd mekanisk lag 3 i 5 kvadranter. Samlet ble det dermed åpnet et areal på $61,5 \text{ m}^2$ i plan (mekanisk lag 1) og gravd til sammen $3,58\text{m}^3$ (alle lag).

Funnkonsentrasjonen var størst på selve flata, inn mot berget i NØ og Ø. Funnmengden var noe avtagende mot S og SØ, mens den holdt seg forholdsvis høy i V (se fig. 39 og 41). Prøvekvadrantene 114x78ySV, 110x78y og 105x78yNV antydet imidlertid at funnmengden var sterkt avtagende lengre V. Dette, kombinert med observert avtagende mengde overflatefunn, fungerte som grunnlag for avgrensning. Det ble i tillegg gjort en skjønnsmessig vurdering på funnenes representativitet for aktiviteten i området. Funnmengden, og størrelsen på det avdekte arealet, ble vurdert som såpass stor at det var forholdsvis sikkert at det hadde blitt innsamlet et materiale som ville danne et godt bilde av bruken av området.

Under gravingen ble det tydelig at det mest funnrike området virket delvis ryddet for stein, alternativt at det lå mer sand og grus over steinlaget her. Dette førte til at det ble prioritert å grave ned i mekanisk lag 2 i fire ruter i dette området. Det ble også gravd lag 3 i en kvadrant sentralt på flaten (117x86ySØ) for å få et inntrykk av funnmengden lengre ned. Funnmengden var avtagende, noe som gjorde at det ikke ble prioritert å grave mekanisk lag 3 i flere ruter.

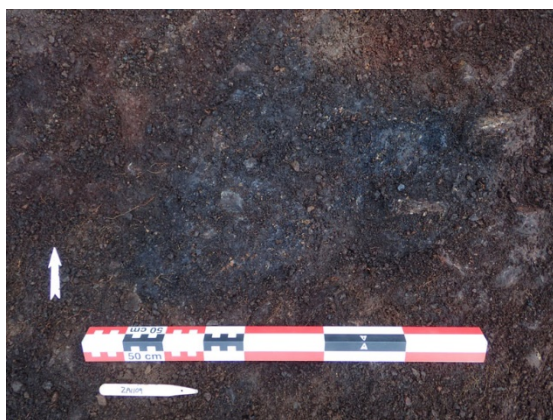
Det ble også gravd ned i mekanisk lag 2 og 3 lengre Ø på flata. Mekanisk lag 2 ble undersøkt i 119x91y, 119x92y og 119x93y. Mekanisk lag 3 ble kun undersøkt i 119x93y. Funnmengden her holdt seg forholdsvis høy, og dette var et område som kunne ha blitt undersøkt nærmere.

Det ble satt igjen to profilbenker gjennom deler av område A (ID201240 og ID201241). Dette ble gjort for å få oversikt over lag knyttet til en steinkonsentrasjon i SØ, og for å holde oversikt og kunne beskrive lagrekkefølge og tykkelse langs terrengets fallretning mot SV. Profil ID201241 indikerer at den sandholdige grusen sentralt i område A er tykkere enn lengre mot SV, og at den inneholder mindre stein. Dette virker å bekrefte inntrykket av en ryddet bosettings-/aktivitetsflate.

Området var delvis forstyrret av dreneringsgrøfter, noe som er synlig i profil ID201240. Grøfting virket imidlertid ikke å ha forstyrret det gravde arealet ellers.

ID1109, sot-/kullflekk

Under flateavdekkingen ble det kun påvist én mulig struktur her (ID1109). Strukturen var svært grunn og diffus, men ble datert til senmesolittisk tid, 6353 +23/-23 ^{14}C -alder BP. Det er noe usikkert hva denne kull-/sotflekken representerer, men en rest av et stolpehull eller bunn av et ildsted er mulig tolkninger. Strukturen ble snittet og fotografert. ^{14}C -prøve ble tatt ut fra profilen.



Figur 17: Kullflekk 1109 i plan. 50cm målestokk og N-pil. Da62417_084. Tatt mot N. Foto: Skule O.S. Spjelkavik, NTNU Vitenskapsmuseet



Figur 18: Kullflekk 1109 i profil. 30cm målestokk og N-pil. Da62417_085. Tatt mot N. Foto: Skule O.S. Spjelkavik, NTNU Vitenskapsmuseet

3.1.2 Område B

Område B inneholder kvadranter i og rundt tuft ID203945 (se eget avsnitt under). I tilknytning til tufta ble det også påvist flere strukturer – en steinpakning (ID961), to forsenkninger og et mulig stolpehull. Det ble også gravd et mulig kulturlag (ID353), som viste seg å være et mer moderne siltig torvlag.

Det ble gravd totalt 113 kvadranter av mekanisk lag 1, 13 av mekanisk lag 2 og 2 av mekanisk lag 3. Det ble dermed avdekket totalt 28,25m² i plan (mekanisk lag 1) og gravd totalt 1,6m³ (alle lag).

Det ble identifisert to stratigrafiske lag (lag a og b), som ble gravd mekanisk stratigrafisk. *Lag a* (målt inn i felt som ID 353) representerer den mørke brune siltige humusen og en mer spettet humusholdig sand som dekket store deler av tufta. Dette laget ble først tolket som et mulig kulturlag, men nærmere undersøkelse avkreftet dette ettersom det blant annet ble funnet en tiøring fra 1976 i laget i 108x82y NØ (16258). *Lag b* ble definert som den heterogene, grå sandholdige grusen under *lag a*. Det kan dermed diskuteres hvorvidt *lag a* egentlig representerer en matjordsrest som hadde kunnet vært fjernet forut for selve rutegravingen. Informasjonen som kom ut av den mekanisk stratigrafiske framgangsmåten virker å være begrenset.



Figur 19: Oversiktsfoto over område B før graving. Tufta ses som en svak forsenkning i terrenget. Struktur 961 ligger inn mot det mørke feltet sentralt i tufta. 1m målestokk og N-pil. Da62417_024. Tatt mot NØ. Foto: Skule O.S. Spjelkavik, NTNU Vitenskapsmuseet

Avgrensningen ble satt på bakgrunn av funnmengde og tuftas utstrekning.

Funnkonsentrasjonen virket å være størst i eller i umiddelbar nærhet til tufta. Det var tydelig færre funn i V-SV (se fig. 39 og 41), men ettersom funnmengden varierte innenfor området var det vanskelig å se et tydelig skille.

ID 203945, mulig tuft etter graphus fra senmesolittisk tid

Areal: 8,33m²

Mål: ca. 2,8x3,6m

Antall strukturer: 3

Tufta framstod som en svak forsenkning i terrenget (se fig. 20), som tydelig brøt linjen på grusryggen lengst NV på lokaliteten. Et mulig kulturlag ble identifisert ved avtorving (ID353), men dette viste seg ved nærmere undersøkelser heller å representere et mer moderne siltig torvlag. Forsenkningen, mangelen på Stein sentralt i strukturen, samt resultatene fra mikromorfologianalysene, som indikerer tilstedeværelsen av ulike gulvlag, synes likevel å indikere at dette er en tuft. Det ble imidlertid ikke identifisert tydelige voller/vegger, ildsted eller stolpehull.

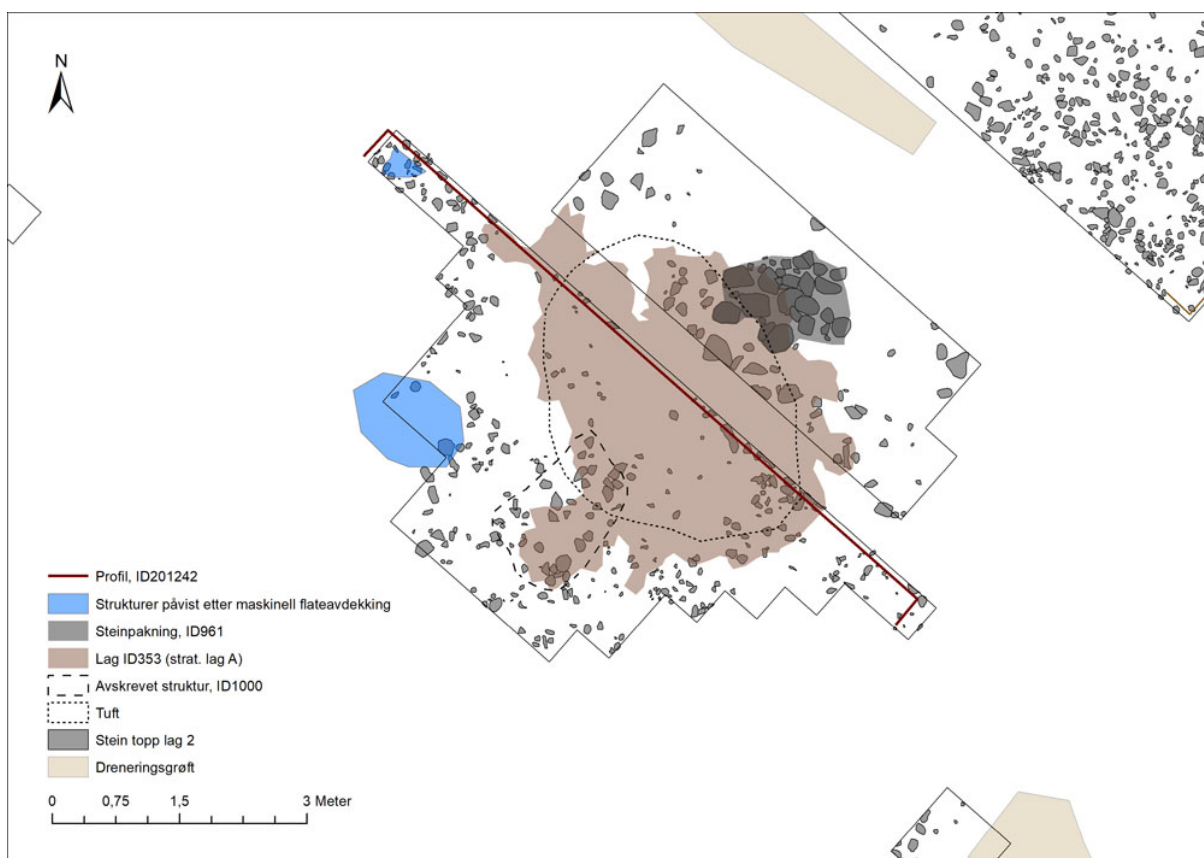


Figur 20: Tuft i område B. 1m målestokk. Da62417_025. Tatt mot V. Foto: Skule O.S. Spjelkavik, NTNU Vitenskapsmuseet

Et parti med lysere sand (ID1000) SV for tufta ble innledningsvis tolket som et mulig inngangsparti, eller en struktur med en annen uviss tilknytning til tufta. Snitting og nærmere

undersøkelse ga derimot ingen tydelige svar og viste kun at grunnen bestod av grå grus i ulike nyanser – ingen tydelig kutt eller nedgravninger. Strukturen ble avskrevet.

En steinpakning på ca. 1,6x1,1m (ID961) i tuftas NØ-side hadde imidlertid en tydeligere karakter, og skilte seg markant ut på grunn av steinenes størrelse og orientering. Steinene hadde et maksimumsmål på om lag 30-40cm. Flere tolkninger ble foreslått i felt: parti av veggkonstruksjons, benk/plattform inne i grophuset eller oppbevaring av mat. Steinene kan også ha blitt lagt opp som en del av ryddingen av flaten sentralt i tufta. Snittingen av steinpakningen ga ingen klar hjelp til tolkning, men viste tydelig at steinpakningen kun bestod av et enkelt lag med stein. Den kraftige jernutfellingen i undergrunnen kan imidlertid ha skjult spor etter en eventuell nedgravning. Strukturen blir stående uten en klar tolkning, men tilknytningen til tufta virker åpenbar. Det ble ikke funnet trekull som kunne gitt en sikker datering av strukturen.



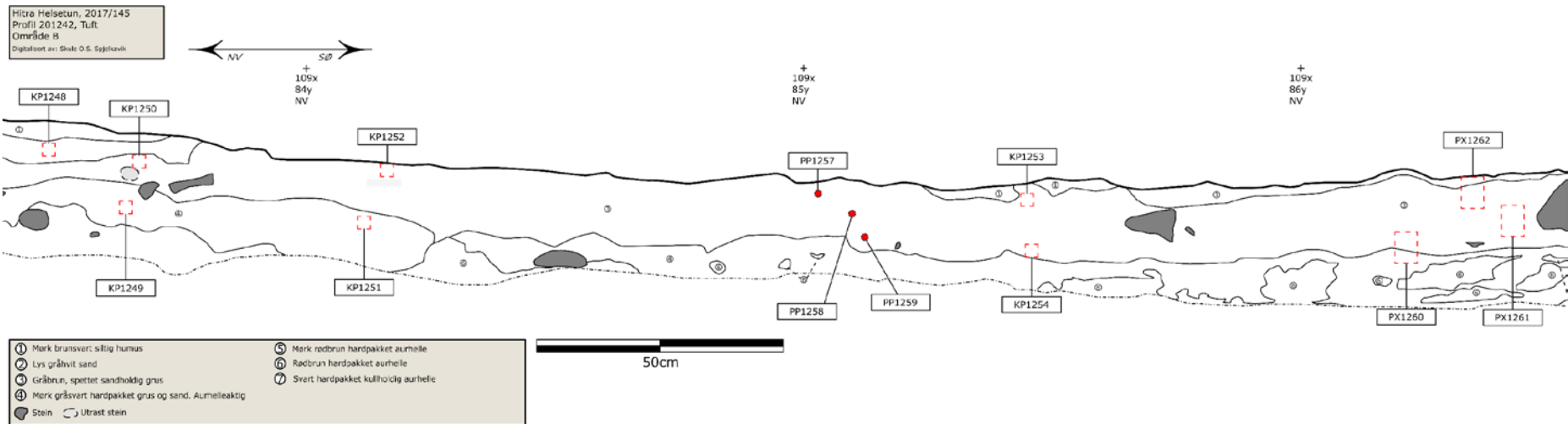
Figur 21: Oversiktskart over tufta og tilknyttede strukturer. De blå strukturene som ble påvist etter flateavdekking er ID1322 (lengst sør) og 1237 (lengst nord). Kart: Skule O.S. Spjelkavik, NTNU Vitenskapsmuseet



Figur 22: Avskrevet struktur 1000. 1m målestokk. Da62417_053. Tatt mot NV. Foto: Rene Winther, NTNU Vitenskapsmuseet



Figur 23: Til venstre: oversiktsfoto av struktur 961, med sammenlagt tommestokk som målestokk. Da62417_038. Tatt mot Ø. Opp til høyre: Struktur 961 etter snitting. 1m målestokk. Da62417_077. Tatt mot S. Nede til høyre: Graving av tuft. Struktur 961 ses litt til høyre for midten av bildet. Da62417_041. Tatt mot V. Alle foto: Skule O.S. Spjelkavik, NTNU Vitenskapsmuseet



Figur 24: Utsnitt av rentegning av profil gjennom tuft. Rentegnet av Skule O.S. Spjelkavik, NTNU Vitenskapsmuseet

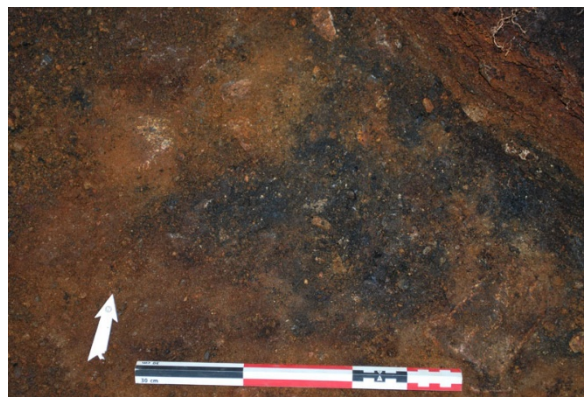


Figur 25: Ortofoto av profil gjennom tuft. Utsnitt av Da62418_10. Fotogrammetri laget av: Skule O.S. Spjelkavik, NTNU Vitenskapsmuseet

Ved flateavdekkingen under feltarbeidets nest siste dag ble det påvist et tynt grussjikt like V/NV for tufta (ID1322). Typen masser kunne indikere at dette var det samme laget som hadde blitt håndgravd i og rundt tufta, men at det lå i en forsenkning i undergrunnen. Lagresten hadde en orientering og størrelse som antydet en tilknytning til tufta. Det kan ha representert et inngangsparti/aktivitetsområde like utenfor tufta. På grunn av tidspress ble strukturen imidlertid ikke nærmere undersøkt.



Figur 27: Grussjikt (ID 1322) ved tufta.
Da62417_102. Tatt mot SØ. Foto: Skule O.S.
Spjelkavik, NTNU Vitenskapsmuseet



Figur 26: Kullflekk i bunn av profilgrøft
gjennom tuft ID203945. Kullflekkken ble datert
til $6783 +48/-48$ ^{14}C -BP (SM2). Da62417_088.
Tatt mot N. Foto: Skule O.S. Spjelkavik, NTNU
Vitenskapsmuseet

3.1.3 Område C

Område C var et lite delfelt som ble åpnet mot slutten av feltarbeidet på bakgrunn av relativt høy funnmengde i en prøvekvadrant (108x118ySV). Feltet lå godt skjermet inntil lave berggrygger i S, SV og SØ. Ruta lengst NV, 108x114y, var tydelig forstyrret av moderne grøfting.



Figur 28: Oversiktsfoto av område C etter graving. Da62417_092. Tatt mot V. Foto: Skule O.S. Spjelkavik, NTNU Vitenskapsmuseet

Det ble åpnet totalt 26 kvadranter, og kun gravd mekanisk lag 1. Det ble dermed åpnet et areal på 6,5m² og gravd 0,32m³.

Sammenlignet med område A og B var det forholdsvis få funn i dette området. Det var noe flere funn i 108x116y, men generelt sett var funnmengden lav her, i likhet med område D.

Det ble ikke påvist strukturer eller kulturlag i dette området.

3.1.4 Område D

Område D lå lengst SØ på feltet i et område med et mulig kulturlag. Innledningsvis var det noe usikkerhet om lagrestene i dette området faktisk var kulturlag eller ikke, så det ble noe nedprioritert i forhold til tufta og område A. Etter nærmere undersøkelse viste det seg at det var bevart flekker med antatt kulturlag i området (ID 203938).



Figur 29: Åpning av ruter i område D. Catharina Bøhn Øien, Heidi Westgaard, Agathe Farstad Smørholm og Maria Dalemo Vestvik i bildet. Da62417_043. Tatt mot Ø. Foto: Skule O.S. Spjelkavik, NTNU Vitenskapsmuseet

Det ble gravd 63 kvadranter av mekanisk lag 1 og 5 kvadranter av mekanisk lag 2. Det ble dermed åpnet $15,75\text{m}^2$ i plan (mekanisk lag 1), og gravd $0,85\text{m}^3$ (begge lag).

Funnmengden var generelt sett lav, sett opp mot område A og B. Det var enkelte kvadranter med noen flere funn, men ingen tydelig konsentrasjon. Mekanisk lag 2 ble undersøkt i fem av de mest funnrike kvadrantene, men funnmengden holdt seg lav også i dette laget. Avgrensningen ble satt ut i fra berget i V, samt en skjønnsmessig vurdering av informasjonsverdien i funnmengden og det avdekte arealet.

ID 203938, kulturlag

Laget framstod som et mørkt svart-brunt lag av kullholdig silt, spettet med lysere og mørkere partier. Det ble undersøkt ved å bli inkludert i den ordinære rutegravingen, og ble dermed gravd mekanisk. Laget inneholdt en god del brente hasselnøttskall, hvorav flere ble sendt til datering. Dateringsresultatene indikerer en bruksfase i SM3 (se tabell 23).

For å forsøke å finne rester av bevart organisk materiale, utover trekull, ble det i enkelte tilfeller brukt 2mm såld.

4. Funnmateriale

Katalogiseringen ble gjennomført vinteren 2017-2018 ved NTNU Vitenskapsmuseet, i gjenstandsdatabase MUSIT. I katalogiseringsarbeidet ble NTNU Vitenskapsmuseets katalogiseringsmal benyttet, med tallkoder korresponderende til gjenstandstyper på tre forskjellige nivå – gjenstand, form og variant.



Figur 30: Knakkestein T27682:2562 in situ. 5cm målestokk. Funnet ved tuft 203945 i område B. Da62417_060. Tatt mot SV. Foto: Rene Winther, NTNU Vitenskapsmuseet

For hver kontekst ble først avslag lagt inn, deretter flekker, kjerner og så øvrige gjenstandstyper. Det ble også sortert på råstoff, ved at alle gjenstander av flint ble lagt inn før kvarts, kvartsitt, bergkrystall, skifer og øvrige bergarter.

I samråd med magasinforvalter Jenny Kalseth ble det satt strenge kriterier for hva som skulle betegnes som avslag, for å forsøke å få fram detaljer i knakketeknikk. Avslag måtte ha synlig slagbule og plattformrest. Alt annet produksjonsavfall som ikke lot seg beskrive nærmere ble katalogisert med *fragment* som *form*. Hele avslag er dermed kun katalogisert som *avslag*, uten *form*. Avslagsmaterialet er heller ikke skilt i mikro, medio eller makroavslag. Framgangsmåten gjør at den som ønsker å se nærmere på slagteknikk ved å se på plattformrest og slagbule finner dette lettere tilgjengelig enn ved en normal klassifisering.

Overflatefunn og løsfunn ble samlet under én kontekst i MUSIT-databasen. Overflatefunnene ble opprinnelig innsamlet med informasjon om hvilken kvadrant de ble

funnet i, men det ble bestemt å samle disse under løsfunn i etterarbeidet for å spare tid på katalogiseringen. Det ble dermed katalogisert totalt 395 løsfunn.

Gjenstandene ble katalogisert område for område (A, B, C og D) med utgangspunkt i Y-aksen. Første katalogiserte rute er dermed 116X80Y i område A, neste 117X80Y og så videre. Dette ble gjort for å enkelt kunne få oversikt over funnmengde- og type innenfor de ulike delfeltene.

¹⁴C-dateringen av lokaliteten indikerer en primær bruksfase i senmesolittisk tid (se tabell 21). Dette støttes av gjenstandsmaterialet, men det er også innslag av gjenstander fra tidligere og senere perioder.

Katalogiseringsarbeidet ble primært gjort av Skule O.S. Spjelkavik, med assistanse fra Grete Irene Solvold og Eystein Østmoen i perioder.

I det følgende representerer tall i parentes antall av en gitt gjenstand, med mindre annet er spesifisert.

4.1 Gjenstandsfunn

Det ble totalt katalogisert 9495 funn fra lokaliteten. 18 av disse var prøver – 3 mikromorfologiprøver, 3 okerprøver og 12 trekullprøver, mens 14 av disse funnene var organisk materiale i form av brente nøtteskall. Total mengde gjenstandsfunn, prøver og nøtteskall ekskludert, blir dermed 9463, fordelt på 2760 undernummer.

4.1.1 Vannrulling

Det ble funnet 161 gjenstander tydelig påvirket av vannrulling, det vil si 1,7% av det totale gjenstandsmaterialet. Dette gjenstandsmaterialet består av 4 avslag, 145 fragment, 1 flekkelignende avslag, 6 flekker, 1 bipolart kjernefragment, 2 retusjerte fragment, 1 retusjert medioavslag og 1 stein. Sistnevnte var en liten kuriositet – en trill rund stein av en mørk bergart som ikke ble funnet ellers på feltet.

3 av flekkene var makroflekkefragment, 2 var medioflekkefragment og 1 var en hel medioflekke.

En del gjenstander hadde en tydelig hvitpatinering, men var fortsatt skarpe og lite preget av mekanisk slitasje (se kap. 4.1.3). Disse kan ha vært påvirket av transgresjonshendelser og dermed vann, men ble ikke katalogisert som vannrullede.

Et viktig poeng når det gjelder mengden vannrullede gjenstander er at lokaliteten så å si ikke har vært transgredert (se fig. 4).

4.1.2 Varmepåvirkning

1043 gjenstander ble katalogisert som varmepåvirkede, noe som utgjør 11,02% av det totale gjenstandsaterialet. 901 av disse ble funnet i mekanisk lag 1, noe som utgjør 12% av den totale funnmengden i lag 1. I lag 2-5 ble det funnet til sammen 101 varmepåvirkede gjenstander, noe som utgjør 7% av funnmengden i disse lagene. Prosentvis er det dermed ikke så stor forskjell mellom lag 1 og øvrige lag, men det er likevel en tendens mot flere varmepåvirkede gjenstander i lag 1. Dette kan være et resultat av skog/lyngbranner etter fase 3 og 4 (se kap. 4.2.).

4.1.3 Patinering

Det ble funnet flere hvitpatinerte gjenstander som det var en viss tvil om var vannrullede eller utsatt for en annen type sekundær påvirkning. Enkelte var tydelig patinerte og vannrullede, mens andre var patinerte uten spor etter post-depositionell mekanisk slitasje i form av for eksempel bølgevasking. Alle hvitpatinerte gjenstander ble beskrevet med ordet «hvitpatinert» under rubrikken «beskrivelse» i MUSIT-databasen slik at de er søkbare.

Tabell 4: Oversikt over patinerte funn.

Kategori	Variant	Ant.
Avslag	Avslag	9
	Fragment	8
Diagnostisk avslag	Flekkelignende avslag	6
Flekke	Makroflekke	11
	Medioflekke	8
	Mikroflekke	1
Kjerne	Bipolar kjerne	7
Kjernefragment	Bipolart kjernefragment	1
Kniv	Flekkekni	1
Mikrolitt	Lansettmikrolitt	2
Retusjert avslag	Retusjert fragment	2
	Retusjert medioavslag	2

Totalt 59 gjenstander ble markert med beskrivelsen hvitpatinert. Blant disse gjenstandene finner vi 11 makroflekkefragmenter, 1 medioflekke, 7 medioflekkefragmenter og 1 mikroflekkefragment. I tillegg ble det funnet 7 bipolare kjerner, 1 flekkekni på makroflekke, 2 lansettmikrolitter og ellers diverse avslag, fragment og flekkelignende avslag.

De hvitpatinert gjenstandstypene kan indikere at spor etter en eldre bosettingsfase har ligget omrotet i grusen på lokaliteten. Dette gjelder spesielt makroflekkene, flekkekniene og lansettmikrolittene som kan knyttes til et tidlig- eller mellommesolittisk redskapssett.

4.1.4 Gjenstandstyper

Kategori	Variant	Ant.			
Avslag	Avslag	938	Kniv	Annen flekkekni	1
	Fragment	703 4		Blad-/hjerteformet flateretusjert spiss	1
	Makroavslag med bruksspor	2		Lansettmikrolitt	3
	Medioavslag med bruksspor	50		Borspiss på avslag	1
	Fragment med bruksspor	177		Borspiss på fleske	8
Fleske	Makrofleske	63		Ubestemt borspiss	13
	Mediofleske	81	Skraper	Endeskaper på fleske	1
	Mikrofleske	359		Endeskaper på avslag	1
Diagnostisk avslag	Cortexfleske	17		Ubestemt skraper	19
	Flekkelignende avslag	121	Retusjert avslag	Retusjert medioavslag	5
	Hengselfleske	5		Medioavslag med rett retusj	7
	Avslag av slipt gjenstand	2		Medioavslag med konkav retusj	2
	Eggoppskjerpingsavslag av skive-/kjerneøks	1		Medioavslag med annen retusj	7
	Stikkelslag	2		Retusjert fragment	8
	Stikkelslag	1		Fragment med rett retusj	10
Kjerne	Kjølformet kjerne	2		Fragment med konkav retusj	2
	Håndtakskjerne	1		Fragment med annen retusj	16
	Bipolar kjerne	228	Retusjert fleske	Makrofleske med annen retusj	2
	Ubestemt kjerne	9		Mikrofleske med annen retusj	1
	Ubestemt kjerne med en plattform	8		Mikrofleske med hakk	1
	Ubestemt kjerne med flere plattformer	5	Stikkel	Kantstikkel på brudd	1
Kjernefragmet	Bipolart kjernefragment	192		Slipeplate	2
	Plattformkjernefragment	2	Knakkestein	Knakkestein	6
	Overløpen fleske	1		Slipestein	1
	Ubestemt kernefragment	18		Pimpstein med bruksspor	1
Prepareringsavslag	Ryggmediofleske	2		Pimpstein med fure	1
	Plattformavslag	1		Annem bearbeidet pimpstein	2
	Vingeformet plattformavslag	2	Fragment	Slipt fragment	3
	Fleskefront	2		Søkke	1
Øks	Kjerneøks	1	Knoll	Knoll	3
Meisel	Flatoval tosidig meisel	1		Stein	1
	Firesidig bergartsmeisel	3	Fossil	Fossil	1
Fragment av ubestemt øks/meisel	Fragment av ubestemt øks/meisel	1		Prøve	12
				Annem prøve	6
			Nøtteskall	Brent nøtteskall	14
				SUM	949 4

4.1.4.1 Flekker og flekkelignende avslag

Tabell 5: Oversikt over flekker, diagnostiske avslag og retusjerte flekker.

Flekke	Flint	Kvarts	Kvartsitt	Bergkrystall	Ant.	Sum
Makroflekke	63				63	503
Medioflekke	80			1	81	
Mikroflekke	348	5	1	5	359	
Diagnostisk avslag					Ant.	Sum
Cortexflekke	16			1	17	143
Flekkelignende avslag	118	2	1		121	
Hengselflekke	5				5	
Retusjert flekke					Ant.	Sum
Makroflekke med annen retusj	2				2	4
Mikroflekke med annen retusj	1				1	
Mikroflekke med hakk	1				1	
SUM	634	7	2	7	650	

Flekkematerialet domineres av mikroflekker, en gjenstandsgruppe som særlig knyttes til mellommesolittisk- og senmesolittisk tid (Vitenskapsmuseet 2012).

Av 359 mikroflekker er 132 hele, mens resten er fragmentert. Proksimal- (71) og proksimal+medialfragment (45) dominerer, kontra medial- (59), medial+distal (10) og distalfragment (42). Forskjellen mellom de ulike gruppene er liten, men mengden proksimalfragment kan indikere at denne delen av flekken ble knekt av og etterlatt, mens selve spissen ble brukt videre i komposittredskap.

Blant medialflekkene er kun 7 flekker av 81 hele – resten er fragmentert i distal- (12), medial- (30), medial+distal- (3), proksimal- (23) og proksimal+medialfragment (6).

Det ble funnet totalt 63 makroflekker, hvorav kun 2 var hele. Resten er fragmentert i distal- (7), medialfragment (26) og proksimalfragment (21). Det ble også funnet medial+distalfragment (1) og proksimal+medialfragment (6). Alle makroflekkene og -fragmentene var av flint.

Flekkematerialet er helt tydelig dominert av flint (634), men det var også enkelte gjenstander i kvarts (7), kvartsitt (2) og bergkrystall (7).

4.1.4.2 Avslagsmaterialet

Tabell 6: Oversikt over avslagsmaterialet fra lokaliteten.

Kategori	Variant	Flint	Kvarts	Kvartsitt	Bergkrystall	Jaspis	Bergart	Skifer	Ant.
Avslag	Avslag	887	18	11	11	1	9	1	938
	Fragment	6642	289	25	43	25	10		7034
	Makroavslag med bruksspor	2							2
	Medioavslag med bruksspor	47		1	2				50
	Fragment med bruksspor	172	3		1		1		177
Retusjert avslag	Retusjert medioavslag	5							5
	Medioavslag med rett retusj	7							7
	Medioavslag med konkav retusj	2							2
	Medioavslag med annen retusj	7							7
	Retusjert fragment	8							8
	Fragment med rett retusj	10							10
	Fragment med konkav retusj	2							2
	Fragment med annen retusj	16							16
Diagnostisk avslag	Avslag av slipt gjenstand						2		2
	Eggoppskjerpingsavslag av skive-/kjerneøks	1							1
	Stikkelavslag	2							2
	Stikkelslag	1							1
Prepareringsavslag	Ryggmedioflekke	2							2
	Plattformavslag	1							1
	Vingeformet plattformavslag	2							2
	Flekkefront	2							2
SUM									8271

Oversikten over avslag og fragment (tabell 6) viser tydelig den store mengden fragment som oppstår når det anvendes en strengere klassifisering av avslag. Det er også påfallende at det er såpass mange medioavslag og fragment med bruksspor, 227 totalt. Dette viser at det finnes en stor mengde uformelle redskaper i materialet.

Det ble også katalogisert ett eggoppskjerpingsavslag av skive-/kjerneøks, noe som antyder en mulig tidlig- eller mellommesolittisk fase på boplassen.

4.1.4.3 Kjerner og kjernefragment

Kjerne	Flint	Kvarts	Kvartsitt	Bergkrystall	Jaspis	Bergart	Ant.	SUM
Kjølformet kjerne	2						2	
Håndtakskjerner	1						1	
Bipolar kjerner	219	4	1	4			228	
Ubestemt kjerne	5	1	2			1	9	
Ubestemt kjerne med en plattform	7	1					8	
Ubestemt kjerne med flere plattformer	4				1		5	253
Kjernefragment	Flint	Kvarts	Kvartsitt	Bergkrystall	Jaspis	Bergart		SUM
Bipolart kjernefragment	188	1				3	192	
Plattformkjernefragment	2						2	
Overløpen flekke	1						1	
Ubestemt kjernefragment	17		1				18	213
SUM	446	7	4	4	1	4		466

Kjernematerialet domineres helt tydelig av bipolare kjerner og kjernefragment, noe som stemmer godt overens med en hovedbruksfase i senmesolittisk tid. Kjølformede kjerner (T27682: T27682:), som er vanlige i mellom- og senmesolittisk tid (Vitenskapsmuseet 2012), passer også godt inn i dette bildet. Det ble også funnet en liten håndtakskjerne (T27682:733), med en plattform som var om lag 2,37cm lang og 1,27cm bred. Den har flere spalteflater og avspaltingsarr etter mikroflekkeproduksjon på den ene siden. Plattformen var delvis ødelagt. Det er usikkert om dette skyldes feilslag eller om kjernen har vært forsøkt slått bipolart helt til slutt. Håndtakskjerner dateres til mellom- og senmesolittisk tid, og passer fint inn i bruksfasene på lokaliteten.

Den ubestemte kjernen (T27682:1359) av jaspis var litt spesiell. Råstoffet var svært finkornet og virket hardt og seigt, noe som må ha gjort det utfordrende å jobbe med. Kjernen ser også ut til ha vært brukt som en slags skraper, ettersom det var bruksspor langs en av kantene. Det ble funnet svært få avslag av jaspis, og få som så ut til å være av samme kvalitet som kjernen.

Flint er det vanligste materialet for kjernene (237), men det var også kjerner av kvarts (6), kvartsitt (3), bergkrystall (4), jaspis (1) og bergart (1). Kjernefragmentene domineres da også av flint (208), kvarts (1), kvartsitt (1) og bergart (1).



Figur 31: Øverst til venstre: T27682:1359 ubestemt kjerne av jaspis, øverst til høyre: T27682:733 håndtakskjerner i flint og nederst: T27682: kjølformet kjerne. Alle foto: Jenny Kalseth, NTNU Vitenskapsmuseet

4.1.4.4 Meisler og økser

Tabell 7: Oversikt over økser og meisler.

Øks	1
Kjerneøks	1
Meisel	4
Flatoval tosidig meisel	1
Firesidig bergartsmeisel	3
Fragment av ubestemt øks/meisel	1
Fragment av ubestemt øks/meisel	1
SUM	6

Meislene viste seg å være vanskelig å klassifisere ut i fra gjeldende klassifiseringsnøkkel. De var svært lite tilvirkede, som regel mest slipt på selve eggjen, og det var vanskelig å vurdere hvorvidt sidene faktisk var slipt eller ikke. Det er for eksempel noe usikkerhet knyttet til hvorvidt T27682:2769 faktisk er en firesidig meisel, eller en tosidig. Det ble også funnet et midtfragment av en meisel (T276682:1026), uten en tydelig egg, men hvor form og størrelse antydet at det var et meiselfragment.



Figur 32: Øverst til venstre: T27682:2769 firesidig bergartsmeisel, øverst til høyre
 T27682:2770 firesidig bergartsmeisel, nederst til venstre: T27682:326 firesidig
 bergartsmeisel, nederst til høyre: T27682:1456 tosidig bergartsmeisel. Alle foto: Jenny
 Kalseth, NTNU Vitenskapsmuseet

De firesidige meislene knyttes også gjerne til neolittisk tid (Gjerland 1985), en fase som ikke virker å dominere på lokaliteten. To prøver ble imidlertid datert til senneolittisk tid, så det kan diskuteres om noen av meislene stammer fra denne fasen eller om de representerer et slags tidlig, mesolittisk stadium for økse- og meiselformene som dukker opp i senere perioder.

Den tosidige meiselen (T27682:1456) ligner en såkalt «flatsida meisel» ut i fra Gjerlands (1985) beskrivelser. Den er grovt tilhugget på sidene, noe som gir et skjevt spissovalt tversnitt. Bredden er lik ved egggen og midt på, men smalner av mot basis. Avskalinger i basis kan indikere at den har blitt slått på. Denne typen meisler knyttes gjerne til senmesolittisk tid (Gjerland 1985).

4.1.4.5 Spisser

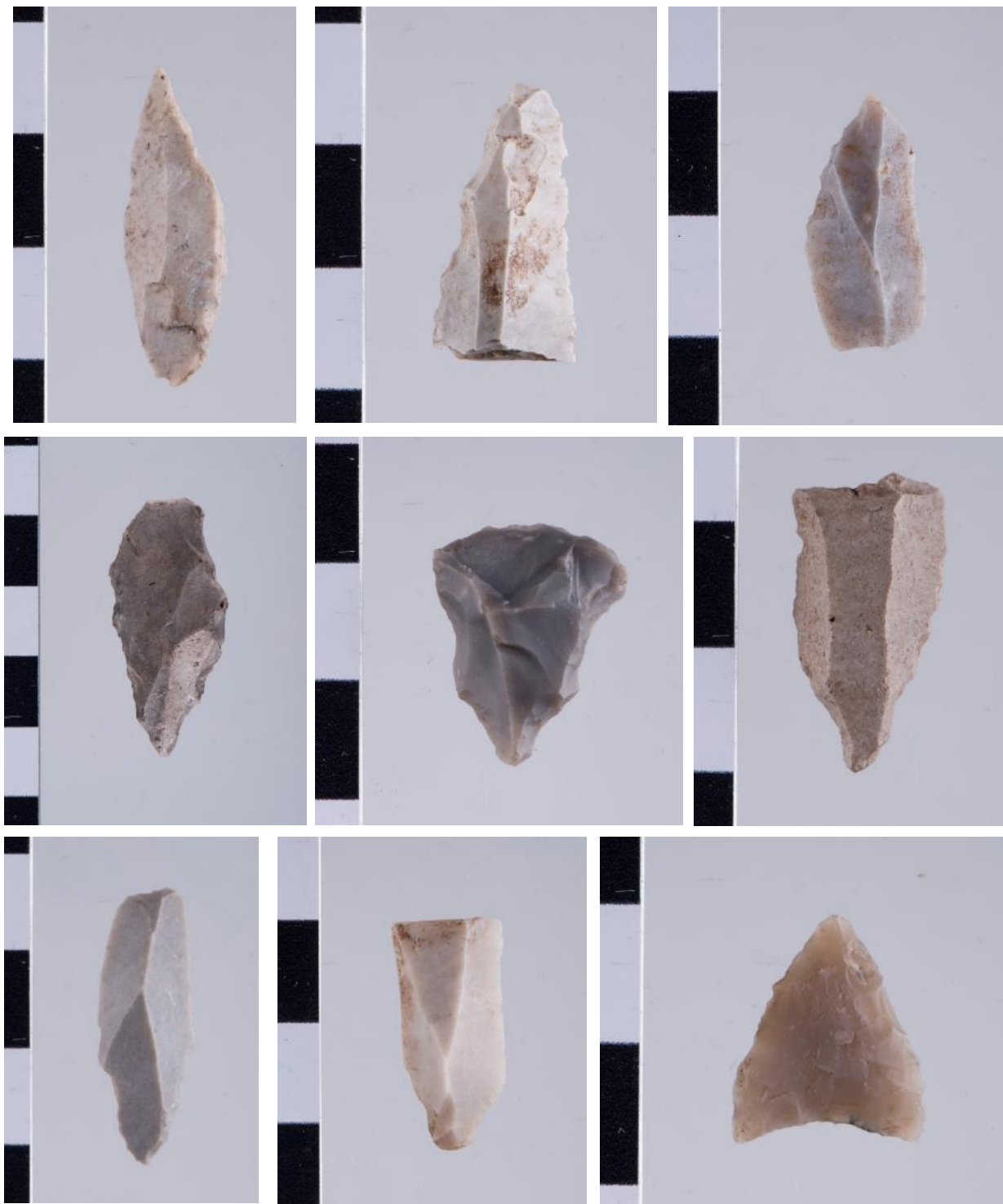
Tabell 8: Oversikt over spissmaterialet

Pilspiss	1
Blad-/hjerteformet flateretusjert spiss	1
Mikrolitt	3
Lansettmikrolitt	3
Borspiss	22
Borspiss på avslag	1
Borspiss på flekke	8
Ubekjent borspiss	13
SUM	26

Foruten borspissene ble det funnet forholdsvis få spisser på lokaliteten. Dette stemmer godt med en hovedbruksfase i senmesolittisk tid, hvor kompositredskaper innsatt med avslag og fragment av mikroflekker er mer vanlig enn regelmessige spisser. Tverreggede spisser dateres gjerne til senmesolittisk-/neolittisk tid, men ingen slike ble funnet under gravingene på Hitra Helsetun. Det ble imidlertid funnet en blad-/hjerteformet flateretusjert spiss og 3 mulige lansettmikrolitter i område A. Førstnevnte må omtales som en kuriositet, ettersom de gjerne dateres til senneolittisk tid og bronsalder. Denne kan kanskje knyttes til ^{14}C -dateringene fra samme periode (se kap 4.2.1). Lansettmikrolittene ble delvis omtalt i kap. 4.1.3, og kan knyttes til tidlig- eller mellomesolittisk tid.

Det ble funnet en god del borspisser på lokaliteten, totalt 22stk. De fleste av disse ble funnet innenfor område A og B.

Alle gjenstandene blant spissmaterialet var av flint.



Figur 33: Utvalg av forskjellige spisser fra lokaliteten. Øverst til venstre: T27682:829 lansettmikrolitt, øverst i midten: T27682:980 lansettmikrolitt, øverst til høyre: T27682:2148 lansettmikrolitt, i midten til venstre: T27682:2749 ubestemt borspiss, i midten: T27682:141 ubestemt borspiss, i midten til høyre: T27682:815 borspiss på flekke, nederst til venstre: T27682:943 borspiss på flekke, nederst i midten: T27682:2411 borspiss på flekke, nederst til høyre: T27682:184 blad-/hjerteformet flateretusjert spiss. Alle gjenstander av flint. Alle foto av: Jenny Kalseth, NTNU Vitenskapsmuseet

4.1.4.6 Skrapere

Tabell 9: Oversikt over skrapere

Skrapere	21
Endeskrapere på flekke	1
Endeskrapere på avslag	1
Ubestemt skraper	19

Totalt ble det klassifisert 21 skrapere på lokaliteten. Kun to av disse var mer formelle skrapertyper – to endeskrapere på henholdsvis flekke og avslag. Resten var ubestemte skrapere.

Alle skraperne var av flint.

4.1.4.7 Søkke

Tabell 10: Oversikt over søkke

Søkke	1
Garnsøkke	1

Det ble funnet ett garnsøkke på lokaliteten, T27682:2772. Dette kom fram under den maskinelle avtorvingen helt i begynnelsen av prosjektet, inn mot en lav bergrygg lengst SØ på feltet. Søkket var i svært god stand og hadde et største mål på 6,14cm, med en vekt på 170,39g. Steinen virket å være laget av en oval, naturlig rullestein som hadde blitt tilvirket med en prikkhogd fure midt på steinens lengste omkrets.

Det er usikkert hvilken type bergart søkket er laget av, men den er tydelig svært bestandig mot forvitring.



**Figur 34: Garnsøkke, T27682:2772. Foto: Jenny Kalseth, NTNU
Vitenskapsmuseet**

4.1.4.8 Flekkekni

Tabell 11: Oversikt over kniv

Kniv	1
Annen flekkekni	1

Flekkekni på makroflekke av flint. Lengde 6,05cm, bredde 1,9cm. Flinten er hvitpatinert og «uttørket».

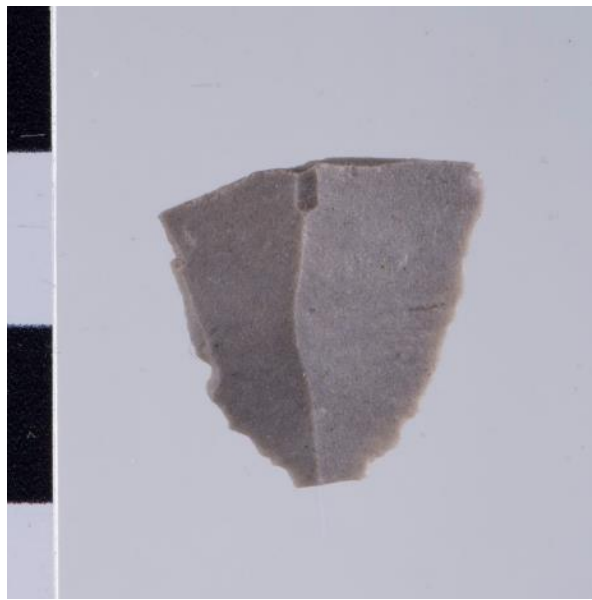
4.1.4.9 Stikkel

Tabell 12: Oversikt over stikkel

Stikkel	1
Kantstikkel på brudd	1

En noe usikker katalogisering. Kantstikkel av flint, med et største mål på 2,12cm. Det har tilsynelatende blitt slått to stikkelavslag på samme side fra bruddkant på et avslagsfragment (distal). Bruksspor også på motstående side fra siden som har blitt skjerpet opp.

Slike stikler brukes gjennom hele den mesolittiske perioden, men har en hovedbruksfase i tidligmesolittisk tid (Vitenskapsmuseet 2012).



Figur 35: Kantstikkel på brudd.
Stikkelavslagene har gått av på venstre side.
T27682:494. Foto: Jenny Kalseth, NTNU
Vitenskapsmuseet

4.1.4.10 Knakkestener

Tabell 13: Oversikt over knakkestein

Knakkestein	6
Knakkestein	6

Alle knakkestene var av forskjellige bergarter, med varierende kvalitet og størrelse.

En av knakkestene (T276582:2562), som ble funnet i en forsenkning i kanten av tufta, var spesielt fin. Denne var av en finkornet bergart, muligens en svært finkornet kvartsitt, og bar tydelig preg av å ha vært brukt godt. Den var oval i formen og nærmest helt flat med en tykkelse på 2,28cm. Største mål var på 9,03cm. Den har sannsynligvis blitt forkastet etter at en stor avskaling gikk av i en av de spissere endene.

I område A, inn mot berget i NØ, ble det funnet en liten, men svært godt brukte, knakkestein (T27682:2230). Bergarten var lys gråbrun og finkornet. Knakkestenen var forholdsvis rund, med et største mål på om lag 5cm. Det er bemerkelsesverdig at denne steinen er svært lik en knakkestein (T27685:845) som ble funnet ved Fillan Trafostasjon, samme år som utgravingene ved Hitra Helsetun fant sted.



Figur 36: To knakkesteiner fra lokaliteten. Til venstre: T27682:2230, til høyre: T27682:2562.
Foto: Jenny Kalseth, NTNU Vitenskapsmuseet

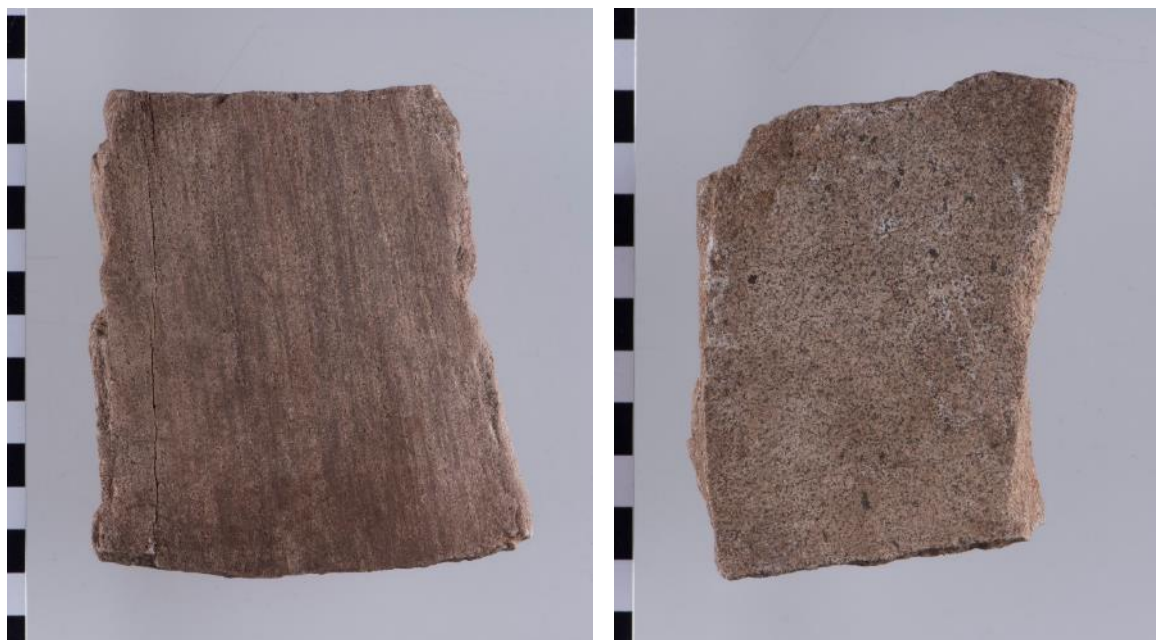
4.1.4.11 Slipeplate og slipesteiner

Tabell 14: Oversikt over slipeplater og slipestein

Slipeplate	2
Slipeplate	2
Slipestein	4
Pimpstein med bruksspor	1
Pimpstein med fure	1
Annen bearbeidet pimpstein	2
SUM	6

Det ble funnet to slipeplater av bergart (T27682:2558 og T27682:2560). Begge hadde en forholdsvis flat slipeflate, noe som kan indikere at de er lite brukt eller benyttet for litt større redskap – som økser.

Katalogiseringen av pimpsteinene med bruks- og slipespor er noe usikker. Det var generelt sett mye pimpstein i grunnen på lokaliteten, og mesteparten ble tatt med fra rutegravingen for å kunne bli nøyere undersøkt i etterarbeidet. Til slutt ble 4 slipesteiner skilt ut, som alle hadde indikasjoner på bruk.



Figur 37: Slipeplater av bergart. Til venstre: T27682:2558, til høyre: T27682:2560. Foto: Jenny Kalseth, NTNU Vitenskapsmuseet

4.1.4.12 Andre funn

Tabell 15: Oversikt over andre funn

Slipt fragment	3
Knoll	3
Stein	1
Fossil	1
SUM	8

Det ble funnet tre, forholdsvis små, knoller med spor etter mulige testslag. Den største knollen hadde et største mål på 4,43cm. Alle knollene var av flint.

En svært avrundet, mørk brunsvart, såkalt «kosestein» av bergart ble tatt med fordi den skilte seg sånn ut fra grusen og steinen i grunnen på lokaliteten (T27682:2530). Kosesteinen ble funnet i prøvekvadrant 116x130y SV, i område D.

Fossilen er nok i praksis et avslag, ettersom den sannsynligvis har blitt slått ut av et flintstykke. Det har likevel blitt skilt ut som et fossil, for å være lettere å søke opp i ettertid.

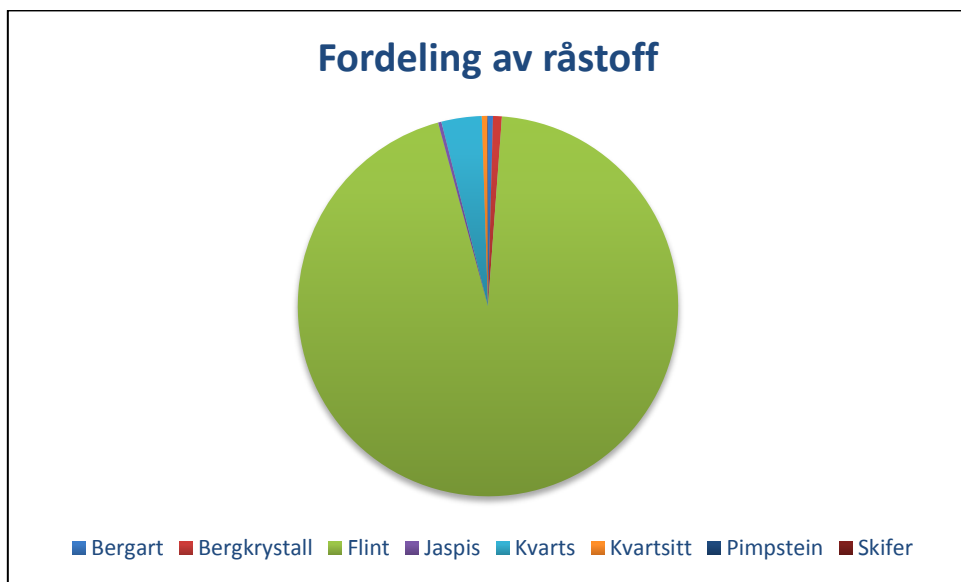
4.1.5 Råstoff

Tabell 16: Råststoffordeling ved lokaliteten

Råstoff	Antall	Prosent
Bergart	40	0,42 %
Bergkrystall	71	0,75 %
Flint	8952	94,60 %
Jaspis	27	0,29 %
Kvarts	324	3,42 %
Kvartsitt	43	0,45 %
Pimpstein	4	0,04 %
Skifer	2	0,02 %
SUM	9463	100,00 %

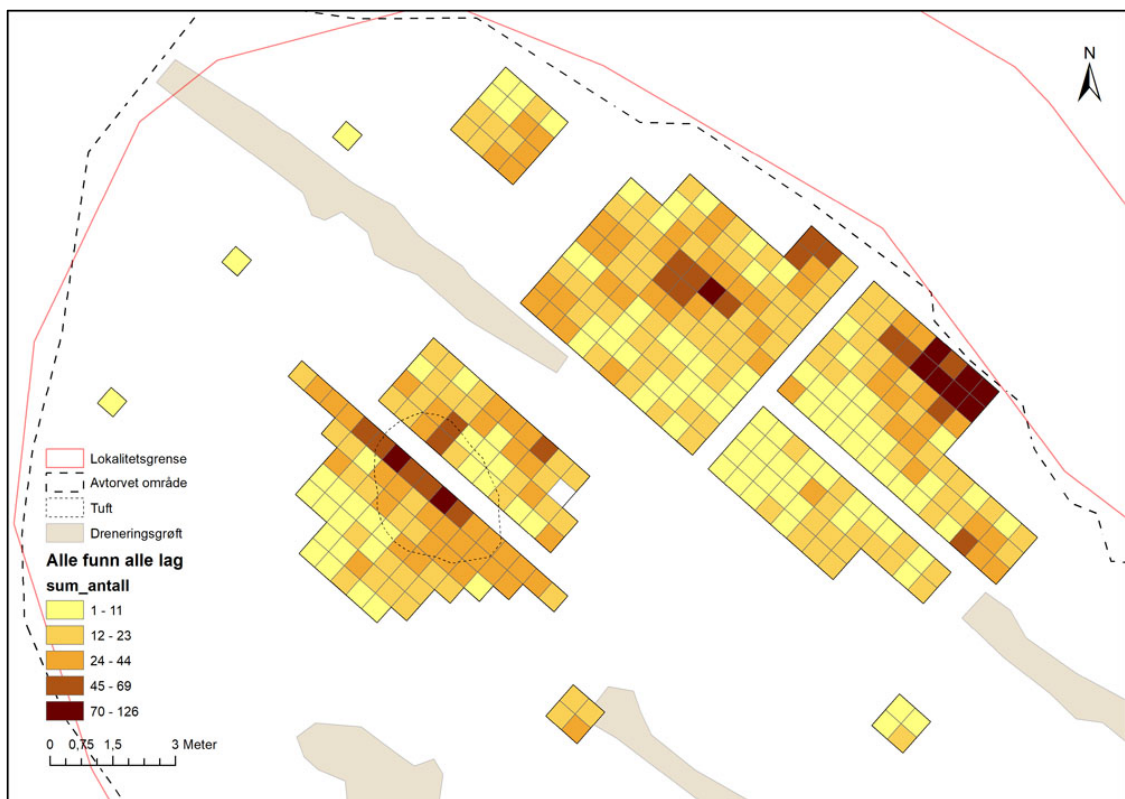
Flint (8952) var helt klart det vanligste råstoffet på lokaliteten – 94,6% av alle gjenstander var av flint. Utover flint ble det funnet kvarts (324), bergkrystall (71), kvartsitt (43), bergart (40), jaspis (27), pimpstein (4) og skifer (2).

De 27 funnene av jaspis er interessante, ettersom dette er et råstoff som virker å forekomme på flere lokaliteter i området (Berglund 2001). Under utgravnningen ble det funnet mye naturlig jaspis i løsmassene på lokaliteten. Dette kan antyde at jaspis kan ha vært å finne i strandkanten eller andre steder hvor løsmasser lå eksponert. Et annet alternativ er fast fjell, ettersom det finnes jaspis i konglomerat mellom Sandstad og Balsnes, sør på Hitra (Isaksen 2001). Kvaliteten på jaspisen i denne forekomsten er imidlertid usikker.



Figur 38: Kakediagram over råststoffordelingen på lokaliteten.

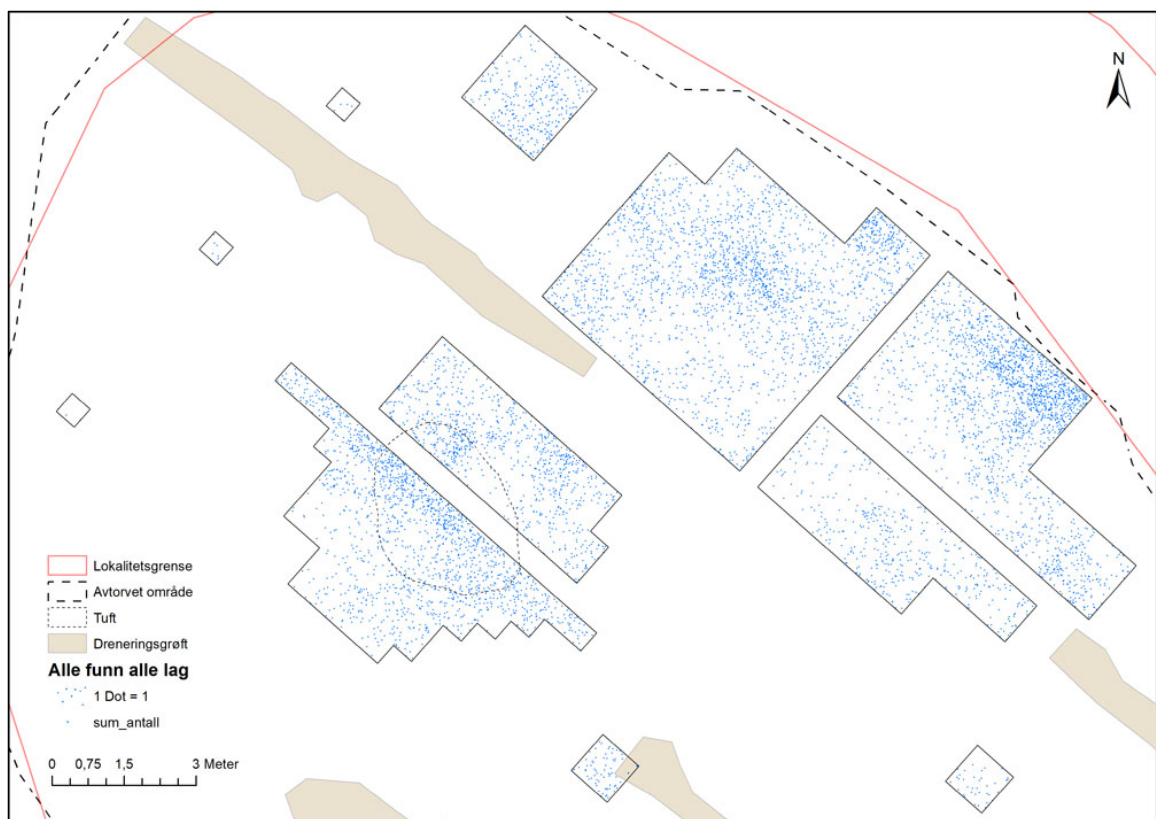
4.1.6 Funnspredning



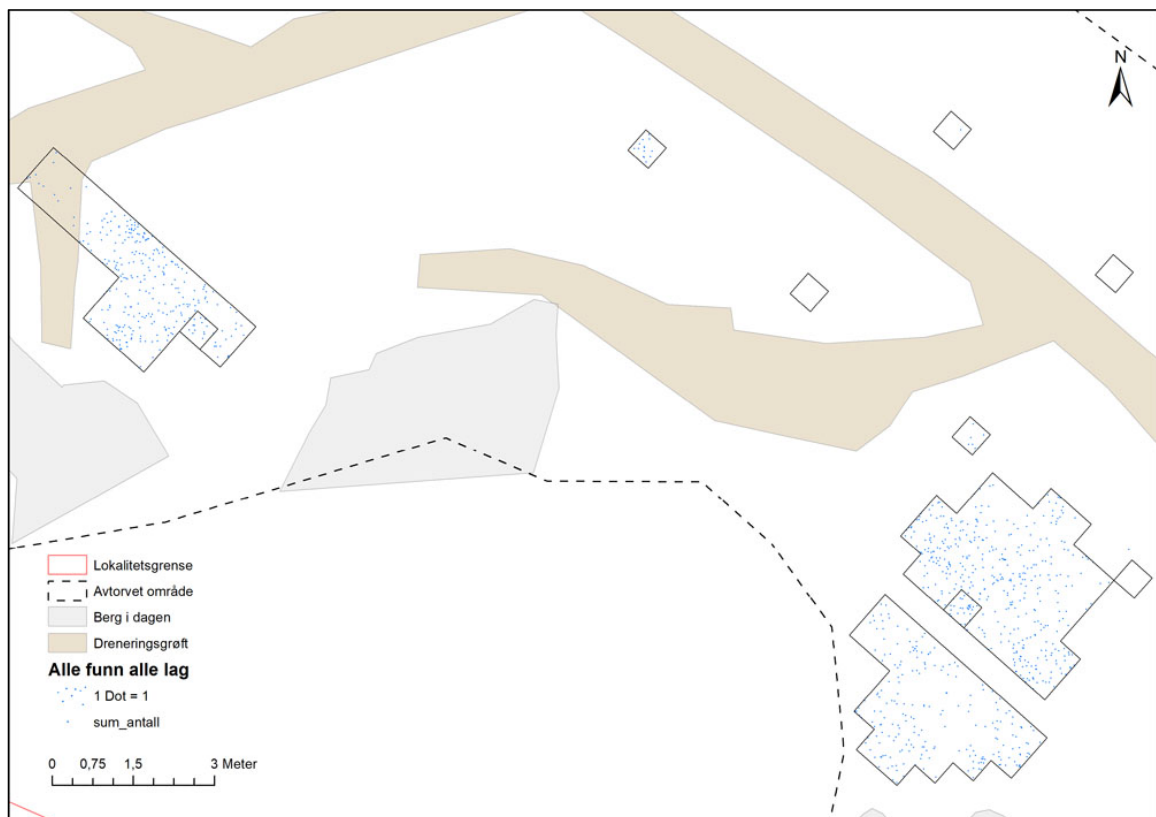
Figur 39: Oversikt over alle funn alle lag, område A og B. Kart: Skule O. S Spjelkavik, NTNU Vitenskapsmuseet



Figur 40: Oversikt over alle funn alle lag, område C og D. Kart: Skule O. S Spjelkavik, NTNU Vitenskapsmuseet



Figur 41: Oversikt over alle funn alle lag, 1 prikk = 1 funn, område A og B. Kart: Skule O. S Spjelkavik, NTNU Vitenskapsmuseet



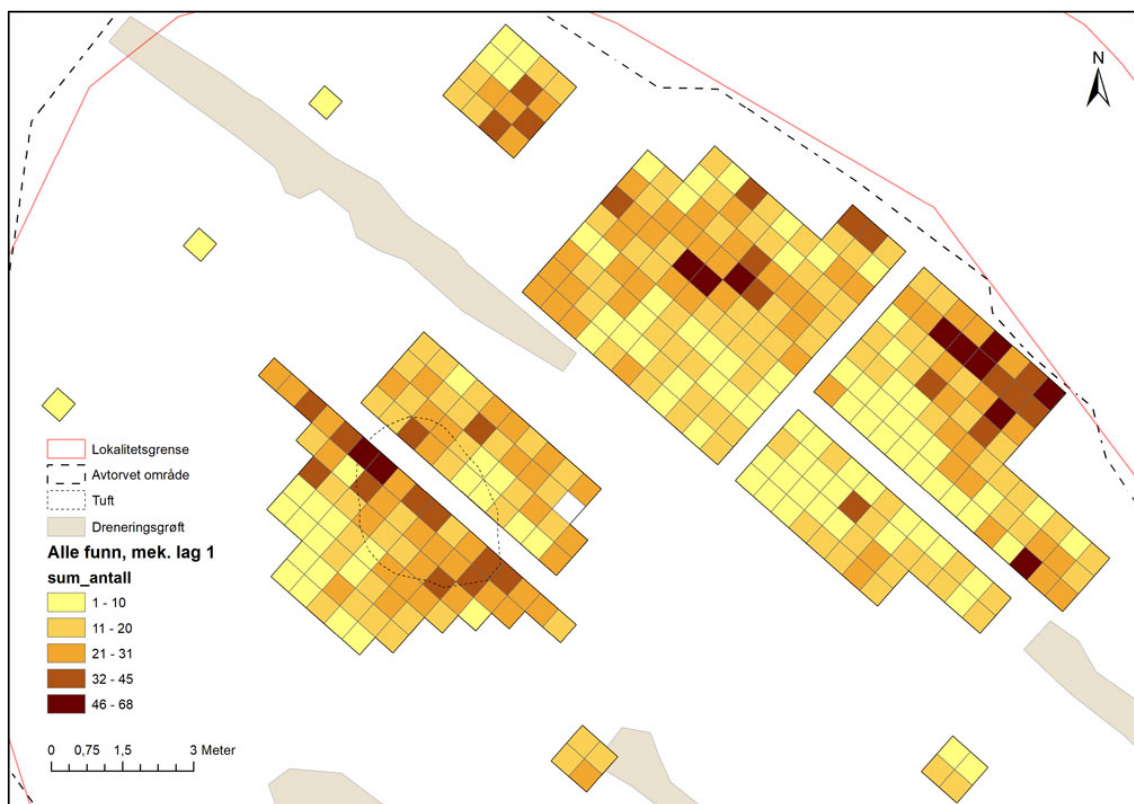
Figur 42: Oversikt over alle funn alle lag, 1 prikk = 1 funn, område C og D. Kart: Skule O. S Spjelkavik, NTNU Vitenskapsmuseet



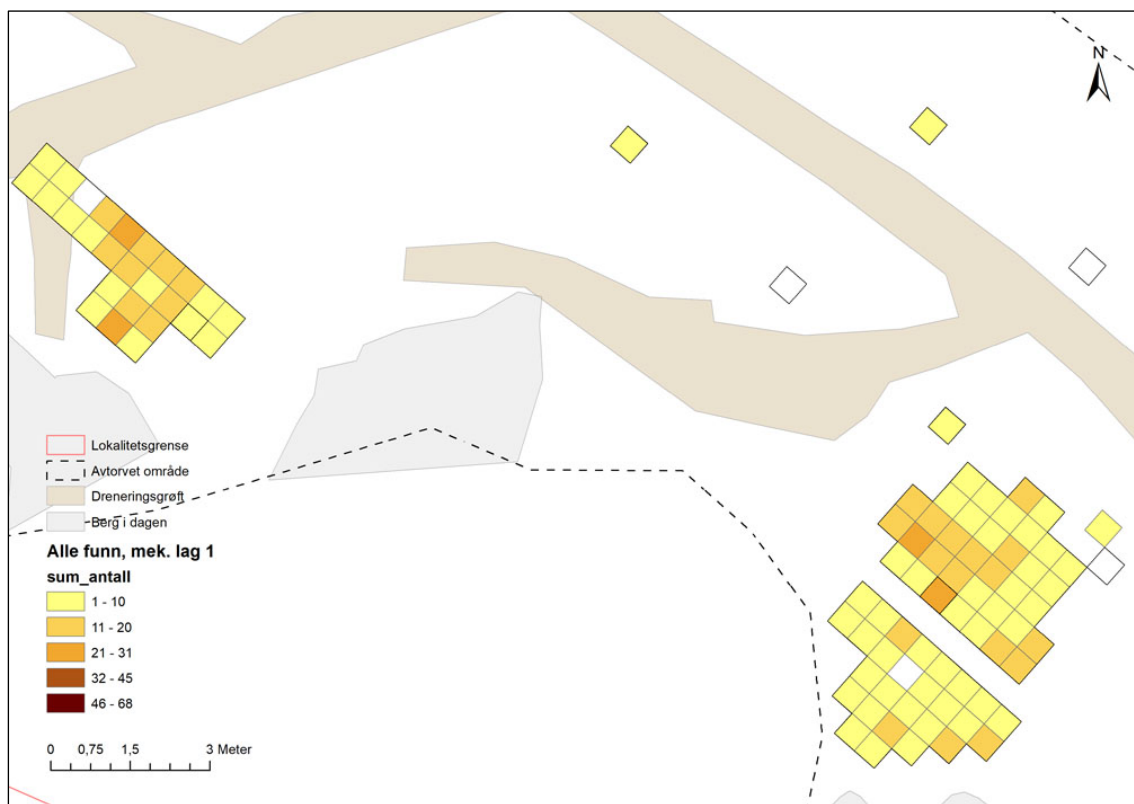
Figur 43: Oversikt over alle varmepåvirkete funn, alle lag, område A og B. Kart: Skule O. S Spjelkavik, NTNU Vitenskapsmuseet



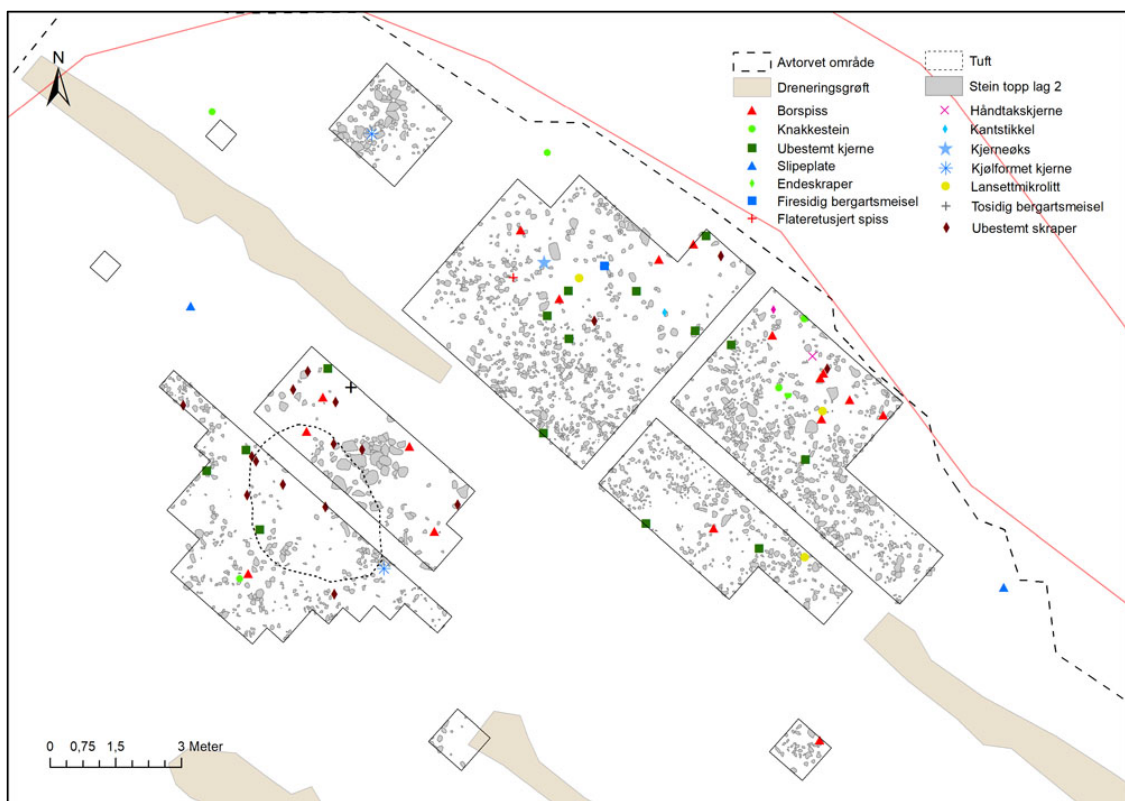
Figur 44: Oversikt over alle varmepåvirkete funn, alle lag, område C og D. Kart: Skule O. S Spjelkavik, NTNU Vitenskapsmuseet



Figur 45: Alle funn, mek. lag 1, område A og B. Kart: Skule O.S. Spjelkavik, NTNU Vitenskapsmuseet



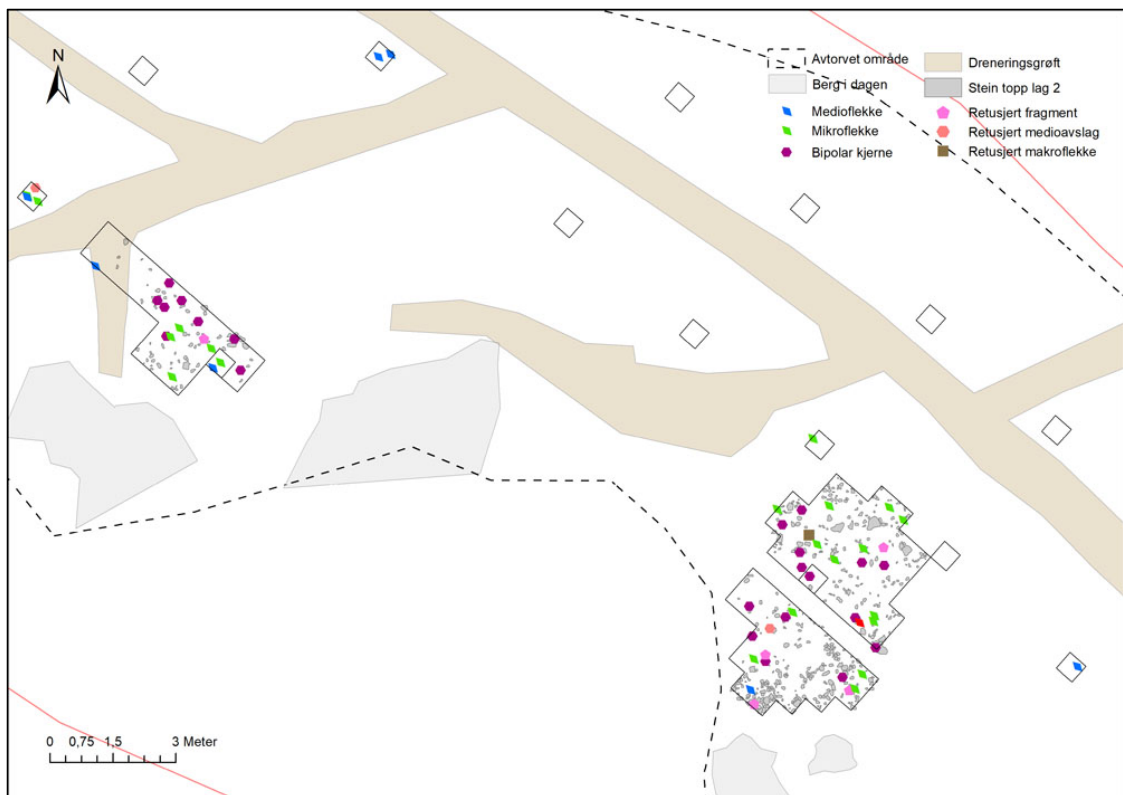
Figur 46: Alle funn, mek. lag 1, område C og D. Kart: Skule O.S. Spjelkavik, NTNU Vitenskapsmuseet



Figur 47: Oversikt over bemerkelsesverdige funn, alle lag, område A og B. Kart: Skule O.S. Spjelkavik, NTNU Vitenskapsmuseet



Figur 48: Oversikt over flekker, bipolare kjerner og retusjerte fragmenter, -medioavslag, -makroflekker og -mikroflekker, alle lag, område A og B. Kart: Skule O.S. Spjelkavik, NTNU Vitenskapsmuseet



Figur 49: Oversikt over flekker, bipolare kjerner og retusjerte fragment, -medioavslag og –makroflekker, alle lag, område C og D. Kart: Skule O.S. Spjelkavik, NTNU Vitenskapsmuseet

Funnfordeling viser tydelig tre funnkonsentrasjoner: én NV i tuft 203945 i område B, én på den ryddete flate i område A og én lengst Ø inn mot berget i område A. Dette er synlig både i mekanisk lag 1 og spesielt i oversikt over alle lag, ettersom det var i disse rutene det ble gravd flere lag.

Det er ingen tydelig nedgang i funn utenfor tuft 203945, bortsett fra mot V hvor det virker å være en del mindre funn. Slik sett er det ingen tydelig spor etter en «veggeffekt», men funnkonsentrasjon i V kan være et avfallsområde hvor restmateriale ble dumpet.

Redskaper og kjerner virker å følge mønsteret til funnmaterialet for øvrig innenfor område A og B, foruten flekkene og flekkefragmentene, som virker å være jevnt spredt utover hele området. I område C og D var det generelt sett få funn, og få redskaper. De få gjenstandene som ble funnet viser ingen tydelige funnkonsentrasjoner.

Spredningen av varmepåvirkete funn gir heller ingen tydelige indikasjoner på områder med mulige ildsteder. Fordelingen virker å følge funnfordelingen for øvrig.

4.2 Dateringer

Totalt 19 prøver ble sendt til datering. Alle prøvene ble sendt til Nasjonallaboratoriet ved NTNU for datering. Prøvene ble kalibrert med OxCal v4.2.4 (Bronk Ramsey 2013), med kalibreringskurve IntCal13 atmospheric curve (Reimer et al. 2013).

Strandlinjedatering og lokaliseringsanalyse har også vært et viktig supplement til datering, selv om dette var noe utfordrende ettersom store deler av Fillan sentrum har blitt nedbygd i moderne tid (se kap. 4.2.2). Det ble også gjort flere tidsdiagnosiske funn, som omtales i eget underkapittel (4.2.3).

Ut i fra dateringene er det samlet sett tydelig at lokaliteten har to hovedfaser – en i SM3-SM4 og en i SN. Utover dette kommer spredte ^{14}C -dateringer som trolig skyldes et tidlig besøk i SM2, samt spredt aktivitet utover i bronsealder og jernalder. Det kan ikke utelukkes at de sistnevnte dateringene (BA og JA) skyldes skog-/lyngbranner knyttet til rydding av jordbruksområder eller som følge av naturlige hendelser. Enkelte gjenstander kan knyttes til tidlig-/mellommesolittisk tid, men strandlinjedateringen snevrer dette tidsspennet ned til mellommesolittisk tid, tidligst MM2.

Tabell 17: Oversikt over forslag til faseinndeling.

Fase	Periode f.kr.	Periode ^{14}C -BP
Fase 1: MM2/MM3	7500-6500 f.kr.	8400-7690 ^{14}C -BP
Fase 2: SM2	6000-5500 f.kr.	7110-6560 ^{14}C -BP
Fase 3: SM3-4	5500-4500 f.kr.	6560-5680 ^{14}C -BP
Fase 4: SN	2300-1800 f.kr.	3800-3500 ^{14}C -BP
Fase 5: Bronsealder	1800-500 f.kr.	3500-2440 ^{14}C -BP
Fase 6: Førromersk jernalder	500-0 f.kr.	2440-2010 ^{14}C -BP
Fase 7: Merovingertid	570-780 e.kr.	1500-1210 ^{14}C -BP

Tabell 18: Oversikt over alle analyserte dateringsprøver.

Unr	Labnr.	Intrasis-ID	Type prøve	Kontekst	Lab
T27682:2773	TRa-12999	1041	^{14}C	Profil 201241, lag 2	Nasjonallab., NTNU
T27682:2774	TRa-13001	1043	^{14}C	Profil 201241, lag 5	Nasjonallab., NTNU
T27682:2775	TRa-13002	1094	^{14}C	Profil 201240, lag 2	Nasjonallab., NTNU
T27682:2776	TRa-13004	1136	^{14}C	Struktur 1109	Nasjonallab., NTNU
T27682:2777	TRa-13003	1226	^{14}C	Profil 201243, lag 2	Nasjonallab., NTNU
T27682:2778	TRa-13005	1235	^{14}C	Profil 201243, lag 5	Nasjonallab., NTNU
T27682:2779	TRa-13007	1247	^{14}C	Struktur 1237	Nasjonallab., NTNU
T27682:2780	TRa-12997	1248	^{14}C	Profil 201242, lag 2	Nasjonallab., NTNU
T27682:2781	TRa-12998	1250	^{14}C	Profil 201242, lag 3	Nasjonallab., NTNU
T27682:2782	TRa-13006	1253	^{14}C	Profil 201242, lag 3	Nasjonallab., NTNU
T27682:2783	TRa-13000	1255	^{14}C	Profil 201242, lag 3	Nasjonallab., NTNU
T27682:2785	TRa-12989	201271	^{14}C	114x85y, NV, mek. lag 1	Nasjonallab., NTNU
T27682:2786	TRa-12991	201274	^{14}C	107x84y, SØ, mek. lag 1	Nasjonallab., NTNU
T27682:2787	TRa-12992	201275	^{14}C	108x86y, SØ, mek. lag 1	Nasjonallab., NTNU
T27682:2788	TRa-12993	201276	^{14}C	114x131y, NV, mek. lag 1	Nasjonallab., NTNU

T27682:2789	TRa-12994	201277	¹⁴ C	112x134y, NØ, mek. lag 1	Nasjonallab., NTNU
T27682:2790	TRa-12995	201279	¹⁴ C	115x133y, SV, mek. lag 1	Nasjonallab., NTNU
T27682:2791	TRa-12996	201280	¹⁴ C	113x132y, NV, mek. lag 2	Nasjonallab., NTNU
T27682:2792	TRa-12990	201283	¹⁴ C	112x131y, SV, mek. lag 1	Nasjonallab., NTNU

Tabell 19: Periodebetegnelser etter (Bjerck et al. 2008).

Periodebetegnelser			Kalibrert alder BC/AD		Varighet (år)		Ukalibrert 14C-alder BP		Varighet (14C-år)		
Mesolittisk tid Eldre steinalder (ESA)	Tidligmesolittisk tid (TM)	TM1	9500	9000	500	1500	10020	9590	430	1120	
		TM2	9000	8500	500		9590	9270	320		
		TM3	8500	8000	500		9270	8900	370		
	Mellommesolittisk tid (MM)	MM1	8000	7500	500	1500	8900	8400	500	1210	
		MM2	7500	7000	500		8400	7970	430		
		MM3	7000	6500	500		7970	7690	280		
	Senmesolittisk tid (SM)	SM1	6500	6000	500	2500	7690	7110	580	2460	
		SM2	6000	5500	500		7110	6560	550		
		SM3	5500	5000	500		6560	6090	470		
		SM4	5000	4500	500		6090	5680	410		
		SM5	4500	4000	500		5680	5230	450		
Neolittisk tid Yngre steinalder (YSA)	Tidligeolittisk tid (TN)	TN	4000	3300	700	2200	5230	4700	530	1730	
		MNa	3300	2600	700		4700	4100	600		
	Mellomneolittisk tid (MN)	MNb	2600	2300	300		4100	3800	300		
		SN	2300	1800	500		3800	3500	300		
Bronsealder (BA)	Eldre bronsealder	EBA	1800	1200	600	1300	3500	2900	600	1060	
	Yngre bronsealder	YBA	1200	500	700		2900	2440	460		
Eldre jernalder (EJA)	Førromersk jernalder	FRJA	500	0	500	1070	2440	2010	430	940	
	Romertid (RT)	YRT ERT	0 200	200 400	400		2010	1680	330		
	Folkevandringstid	FVT	400	570	170		1680	1500	180		
Yngre jernalder (YJA)	Merovingertid	MVT	570	780	210	460	1500	1210	290	500	
	Vikingtid	VT	780	1030	250		1210	1000	210		
Historisk tid	Middelalder	MA	1030	1536	506						
	Nyere tid	NT	1536	I dag	470						

4.2.1 ¹⁴C-dateringer

De 19 dateringsprøvene ble innsendt på bakgrunn av følgende problemstillinger og ønsker:

- Forsøke å få klarhet i kronologien – hvordan henger de ulike aktivitetsområdene sammen? Er de samtidige eller har området blitt brukt over lengre tid? Er det mulig å skille ut ulike faser?
- Er tufta fra steinalder? Kan lagene i tufta dateres? Er det mulig å skille ut bruksfaser?
- Er de mulige strukturene vi avdekket under flateavdekkingen knyttet til steinalderaktiviteten på stedet?

Resultatene viste jevnt over at de brente hasselnøttskallene ga gode dateringer, mens det var mer usikkerhet knyttet til trekullprøvene tatt fra de forskjellige profilene.

Tabell 20: Oversikt over dateringsprøver og dateringsresultat.

Lab.nr.	Intrasis-ID	Kontekst	Materiale	Kalibrert alder BC/AD (2 sigma)	14C-alder BP
TRa-12989	201271	ID 17007 (114x85y, NV, mek. 1)	Trekull. Hasselnøttskall.,AAA	68.2% sannsynlighet 4825BC (5.2%) 4818BC 4801BC (63.0%) 4728BC 95.4% sannsynlighet 4843BC (95.4%) 4717BC	5911 +29/-29
TRa-12990	201283	ID 12353 (112x131y, SV, mek. 1)	Trekull. Hasselnøttskall.,AAA	68.2% sannsynlighet 5466BC (26.9%) 5434BC 5429BC (17.7%) 5405BC 5385BC (23.6%) 5358BC 95.4% sannsynlighet 5469BC (52.8%) 5399BC 5391BC (42.6%) 5327BC	6407 +19/-19
TRa-12991	201274	ID 16142 (107x84y, SØ, mek. 1)	Trekull. Hasselnøttskall.,AAA	68.2% sannsynlighet 5202BC (20.6%) 5173BC 5072BC (47.6%) 5005BC 95.4% sannsynlighet 5208BC (42.4%) 5090BC 5084BC (53.0%) 4997BC	6132 +24/-24
TRa-12992	201275	ID 16272 (108x86y, SØ, mek. 1)	Trekull. Hasselnøttskall. Fjernet noe sand/planterester fra overflaten.,AAA	68.2% sannsynlighet 5207BC (28.7%) 5161BC 5153BC (2.8%) 5147BC 5138BC (5.3%) 5128BC 5121BC (14.6%) 5094BC 5081BC (16.8%) 5054BC 95.4% sannsynlighet 5211BC (95.4%) 5034BC	6158 +23/-23
TRa-12993	201276	ID 12756 (114x131y, NV, mek. 1)	Trekull. Hasselnøttskall.,AAA	68.2% sannsynlighet 5459BC (3.6%) 5453BC 5376BC (64.6%) 5322BC 95.4% sannsynlighet 5466BC (23.1%) 5405BC 5385BC (72.3%) 5317BC	6387 +18/-18
TRa-12994	201277	ID 12368 (112x134y, NØ, mek. 1)	Trekull. Hasselnøttskall.,AAA	68.2% sannsynlighet 2201BC (13.3%) 2191BC 2181BC (54.9%) 2142BC 95.4% sannsynlighet 2275BC (4.5%) 2257BC 2209BC (90.1%) 2134BC 2070BC (0.7%) 2064BC	3760 +15/-15
TRa-12995	201279	ID 12964 (115x133y, SV, mek 1)	Trekull. Hasselnøttskall.,AAA	68.2% sannsynlighet 5295BC (65.8%) 5207BC 5090BC (2.4%) 5084BC 95.4% sannsynlighet 5299BC (68.4%) 5204BC 5166BC (27.0%) 5076BC	6230 +22/-22
TRa-12996	201280	ID 12559 (113x132y, NV, mek. 2)	Trekull. Hasselnøttskall.,AAA	68.2% sannsynlighet 5297BC (56.6%) 5251BC 5231BC (11.6%) 5221BC 95.4% sannsynlighet 5306BC (95.4%) 5214BC	6264 +25/-25
TRa-12997	1248	Profil 201242, lag 2	Trekull. 1 piece Corylus sp. - twig.,AAA-rest	68.2% sannsynlighet 660AD (68.2%) 683AD 95.4% sannsynlighet 653AD (86.6%) 695AD 702AD (1.4%) 709AD 747AD (7.4%) 764AD	1327 +17/-17
TRa-12998	1250	Profil 201242, lag 3	Trekull. 2 pieces dicotyleon - twig.,AAA-rest	68.2% sannsynlighet 820BC (68.2%) 800BC 95.4% sannsynlighet 837BC (95.4%) 794BC	2648 +23/-22

TRa-12999	1041	Profil 201241, lag 2	Trekull. Nøtteskall, brent.,AAA-rest	68.2% sannsynlighet 2282BC (26.4%) 2249BC 2233BC (24.9%) 2196BC 2171BC (16.9%) 2147BC 95.4% sannsynlighet 2296BC (95.4%) 2137BC	3788 +27/-27
TRa-13000	1255	Profil 201242, lag 3	Trekull. 5 pieces bark.Noe sand/belegg.,AAA- rest	68.2% sannsynlighet 400BC (68.2%) 386BC 95.4% sannsynlighet 405BC (95.4%) 377BC	2313 +16/-16
TRa-13001	1043	Profil 201241, lag 5	Trekull. 1 piece Prunus/ Sorbus sp.,AAA-rest	68.2% sannsynlighet 5460BC (2.9%) 5451BC 5376BC (62.6%) 5297BC 5243BC (2.8%) 5234BC 95.4% sannsynlighet 5466BC (14.1%) 5404BC 5386BC (68.6%) 5282BC 5276BC (12.7%) 5225BC	6349 +41/-40
TRa-13002	1094	Profil 201240, lag 2	Trekull. 3 pieces Bark. Noe sand.,AAA-rest	68.2% sannsynlighet 1369BC (2.8%) 1361BC 1296BC (54.1%) 1191BC 1177BC (5.7%) 1161BC 1144BC (5.6%) 1130BC 95.4% sannsynlighet 1396BC (94.8%) 1109BC 1098BC (0.6%) 1090BC	3001 +46/-46
TRa-13003	1226	Profil 201243, lag 2	Trekull. 3 pieces dicotyledon.,AAA- rest	68.2% sannsynlighet 4990BC (58.9%) 4931BC 4922BC (9.3%) 4911BC 95.4% sannsynlighet 5005BC (95.4%) 4848BC	6042 +24/-24
TRa-13004	1136	Struktur 1109, profil	Trekull. 3 pieces Salix/Populus sp. Brunt belegg.,AAA- rest	68.2% sannsynlighet 5358BC (68.2%) 5312BC 95.4% sannsynlighet 5463BC (1.9%) 5447BC 5419BC (0.7%) 5411BC 5379BC (91.3%) 5297BC 5249BC (1.6%) 5232BC	6353 +23/-23
TRa-13005	1235	Profil 201243, lag 5	Trekull. 1 piece Salix/Populus sp.,AAA-rest	68.2% sannsynlighet 5462BC (4.7%) 5448BC 5379BC (59.3%) 5296BC 5246BC (4.2%) 5232BC 95.4% sannsynlighet 5467BC (16.5%) 5403BC 5388BC (78.9%) 5225BC	6350 +45/-44
TRa-13006	1253	Profil 201242, lag 3	Trekull. 2 pieces bark. 2 pieces dicotyledon. 1 piece Sorbus sp. 1 piece Salix/Populus sp.,AAA-rest	68.2% sannsynlighet 1192BC (8.1%) 1176BC 1163BC (10.7%) 1144BC 1131BC (49.4%) 1051BC 95.4% sannsynlighet 1212BC (95.4%) 1017BC	2919 +31/-31
TRa-13007	1247	Struktur 1237, plan	Trekull. 3 pieces Salix/Populus.,AAA- rest	68.2% sannsynlighet 5714BC (68.2%) 5646BC 95.4% sannsynlighet 5746BC (95.4%) 5619BC	6783 +48/-48

Tabell 21: Oversikt over dateringer (kronologisk ordnet).

Lab.nr.	Intrasis-ID (prøve ID)	Kontekst	^{14}C -BP	Periode
TRa-13007	1247	Struktur 1237, plan	6783 +48/-48	SM2
TRa-12990	201283	ID 12353 (112x131y, SV, mek. 1)	6407 +19/-19	SM3
TRa-12993	201276	ID 12756 (114x131y, NV, mek. 1)	6387 +18/-18	SM3
TRa-13004	1136	Struktur 1109, profil	6353 +23/-23	SM3
TRa-13005	1235	Profil 201243, lag 5	6350 +45/-44	SM3
TRa-13001	1043	Profil 201241, lag 5	6349 +41/-40	SM3
TRa-12996	201280	ID 12559 (113x132y, NV, mek. 2)	6264 +25/-25	SM3
TRa-12995	201279	ID 12964 (115x133y, SV, mek. 1)	6230 +22/-22	SM3
TRa-12992	201275	ID 16272 (108x86y, SØ, mek. 1)	6158 +23/-23	SM3
TRa-12991	201274	ID 16142 (107x84y, SØ, mek. 1)	6132 +24/-24	SM3
TRa-13003	1226	Profil 201243, lag 2	6042 +24/-24	SM4
TRa-12989	201271	ID 17007 (114x85y, NV, mek. 1)	5911 +29/-29	SM4
TRa-12999	1041	Profil 201241, lag 2	3788 +27/-27	SN
TRa-12994	201277	ID 12368 (112x134y, NØ, mek. 1)	3760 +15/-15	SN
TRa-13002	1094	Profil 201240, lag 2	3001 +46/-46	EBA
TRa-13006	1253	Profil 201242, lag 3	2919 +31/-31	EBA
TRa-12998	1250	Profil 201242, lag 3	2648 +23/-22	YBA
TRa-13000	1255	Profil 201242, lag 3	2313 +16/-16	FRJA
TRa-12997	1248	Profil 201242, lag 2	1327 +17/-17	MVT

Det viste seg å være noe utfordrende å datere tufta (ID203945), ettersom trekullprøvene fra profilen sentralt i tufta hadde dateringer som spenner fra eldre bronsealder til merovingertid. En mulig struktur i bunn av profilsjaka (ID 1237) ble imidlertid datert til SM2, mens brente hasselnøttskall funnet i mekanisk lag 1 i tufta ble datert til SM3. Dette kan indikere at etableringen av hyttestrukturen tok til i SM2, og at området (muligens også tufta) ble benyttet senere, i SM3. Det er likevel litt vanskelig å utelukke at området ble forstyrret av aktivitet i bronsealder-jernalder, men struktur ID 1237 kan indikere graveaktivitet på stedet i SM2.

Tabell 22: Oversikt over dateringer tilknyttet tufta (ID203945), kronologisk ordnet

Lab.nr.	Intrasis-ID (prøve ID)	Kontekst	^{14}C -BP	Periode
TRa-13007	1247	Struktur 1237, plan	6783 +48/-48	SM2
TRa-12992	201275	ID 16272 (108x86y, SØ, mek. 1)	6158 +23/-23	SM3
TRa-12991	201274	ID 16142 (107x84y, SØ, mek. 1)	6132 +24/-24	SM3
TRa-13006	1253	Profil 201242, lag 3	2919 +31/-31	EBA
TRa-12998	1250	Profil 201242, lag 3	2648 +23/-22	YBA
TRa-13000	1255	Profil 201242, lag 3	2313 +16/-16	FRJA
TRa-12997	1248	Profil 201242, lag 2	1327 +17/-17	MVT

Når dateringene ordnes etter utgravingsfelt (A-D) er det lite som antyder at den lavestliggende delen av lokalitetsflaten har vært i bruk sist. Både den eldste og yngste dateringen (innenfor senmesolittisk tid) kommer fra område A og B, som ligger høyest på lokalitetsflaten. Under feltarbeidet ble område D tentativt tolket som et område som kunne ha vært i bruk i sen senmesolittisk- eller tidligeolittisk tid. De to dateringene til senneolittisk

tid stammer imidlertid fra både område A og område D, noe som kan indikere at hele lokalitetsflaten har vært i bruk gjennom både senmesolittisk- og neolittisk tid.

Tabell 23: Oversikt over dateringer, ordnet etter område A-D.

Lab.nr.	Intrasis-ID (prøve ID)	Kontekst	^{14}C -BP	Periode	Område
TRa-13004	1136	Struktur 1109, profil	6353 +23/-23	SM3	A
TRa-13001	1043	Profil 201241, lag 5	6349 +41/-40	SM3	A
TRa-12989	201271	ID 17007 (114x85y, NV, mek. 1)	5911 +29/-29	SM4	A
TRa-12999	1041	Profil 201241, lag 2	3788 +27/-27	SN	A
TRa-13002	1094	Profil 201240, lag 2	3001 +46/-46	EBA	A
TRa-13007	1247	Struktur 1237, plan	6783 +48/-48	SM2	B
TRa-12992	201275	ID 16272 (108x86y, SØ, mek. 1)	6158 +23/-23	SM3	B
TRa-12991	201274	ID 16142 (107x84y, SØ, mek. 1)	6132 +24/-24	SM3	B
TRa-13006	1253	Profil 201242, lag 3	2919 +31/-31	EBA	B
TRa-12998	1250	Profil 201242, lag 3	2648 +23/-22	YBA	B
TRa-13000	1255	Profil 201242, lag 3	2313 +16/-16	FRJA	B
TRa-12997	1248	Profil 201242, lag 2	1327 +17/-17	MVT	B
TRa-12990	201283	ID 12353 (112x131y, SV, mek. 1)	6407 +19/-19	SM3	D
TRa-12993	201276	ID 12756 (114x131y, NV, mek. 1), kulturlag	6387 +18/-18	SM3	D
TRa-13005	1235	Profil 201243, lag 5, struktur ID 1069	6350 +45/-44	SM3	D
TRa-12996	201280	ID 12559 (113x132y, NV, mek. 2)	6264 +25/-25	SM3	D
TRa-12995	201279	ID 12964 (115x133y, SV, mek. 1), kulturlag	6230 +22/-22	SM3	D
TRa-13003	1226	Profil 201243, lag 2	6042 +24/-24	SM4	D
TRa-12994	201277	ID 12368 (112x134y, NØ, mek. 1)	3760 +15/-15	SN	D

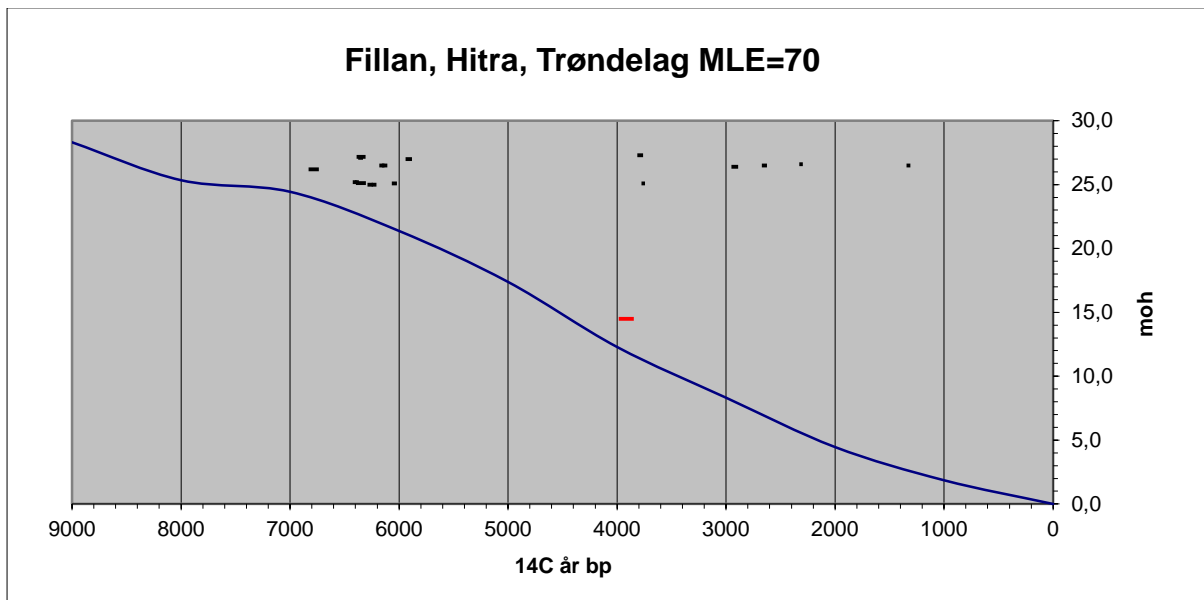
4.2.2 Strandlinjedatering

Strandlinjedatering brukes ofte som en maksimumsdatering, ettersom den indikerer når et gitt område dukket opp av havet etter istida. Landhevingen etter istida, i et komplisert samspill med havnivåendringer, har ført til at forhistoriske strandlinjer i dag kan ligge langt oppe på land.

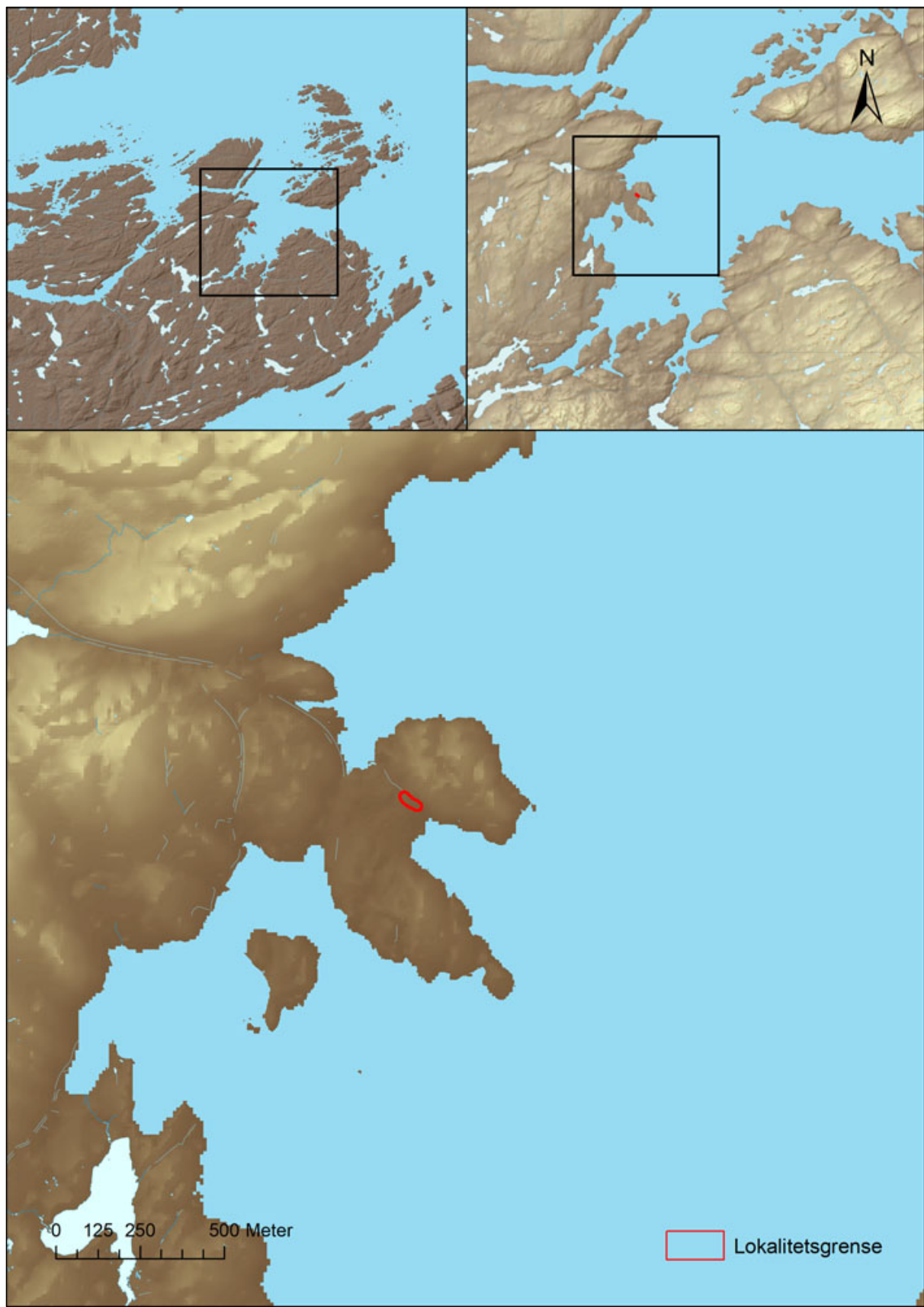
I tillegg til en maksimumsdatering kan strandlinjekurven gi en mer konkret datering, på bakgrunn av ideen om «strandbundethet». Dette innebærer at leveviset i mesolittisk tid, som var svært knyttet til marine ressurser og bruk av båt, vil resultere i en bosetting nær samtidig strandlinje. Denne tilknytningen er åpenbar i mesolittisk tid, men forholdet løser seg opp utover i neolittisk tid hvor bosetting i umiddelbar nærhet til stranda og havet ikke lenger virker å være like viktig (Bjerck et al. 2008).

Fillan ligger innenfor et område med et forholdsvis godt dokumentert strandlinjeforskyvningsforløp, ettersom kurven blant annet er basert på lokaliteter fra Hitra, Frøya og Bjugn (Svendsen and Mangerud 1987). Dette gjør at det er mindre sannsynligheter for feil i kurven, noe som også reflekteres i sammenligningen mellom ^{14}C -dateringene og strandlinjekurven (se fig. 50).

Forholdet mellom dateringene og strandlinjekurven stemmer godt overens. De senmesolittiske dateringene antyder at aktiviteten fortsatt var stor i denne perioden, på tross av en økende avstand til fjæra. Rundt 6200 ^{14}C -BP (fase 3) ligger havnivået på om lag 22moh, en høydekurve som ligger om lag 100-130m fra hovedaktivitetsområdet i område A og B (dette blir nøyere diskutert i kapittel 5). Det er også verdt å nevne at det neppe har vært en tidligmesolittisk fase på lokaliteten, ettersom den høyeste delen av lokalitetsflaten ville ha ligget under vann i denne perioden. Område A blir tørt land først rundt 8600 ^{14}C -BP, altså i mellomesolittisk tid, nærmere bestemt MM2.



Figur 50: Strandlinjekurve med dateringene (med feilmargin) plottet inn. Rød strek representerer dateringen av et ildsted fra Lokalitet 2, Vikan Nord i 2007 (Askeladden ID 88467) (Norderval 2007).



Figur 51: Kart som viser østsiden av Hitra (øverst til venstre), Fillfjorden (øverst til høyre) og Fillan (nede) med et havnivå på 22moh. Lokaliteten er markert med rød strek. Kart: Skule O.S. Spjelkavik, NTNU Vitenskapsmuseet



Figur 52: Kart over Fillfjorden med havnivå lagt til 22moh. Dagens strandlinje er markert med lysere blåfarge, lokaliteten er markert med rød strek. Kart: Skule O.S. Spjelkavik, NTNU Vitenskapsmuseet

4.2.3 Typologisk datering

Det ble gjort funn av gjenstander fra flere forskjellige faser av steinalderen, men funnmaterialet peker tydelig på mest aktivitet i senmesolittisk tid.

Oversikt over typologiske trekk i materialet:

Tidligmesolittisk tid (10020 – 8900 ukal. ^{14}C -alder BP): makroflekker (63), lanseettmikrolitter (3), eggoppeskjerpingsavslag av skive-/kjerneøks (1), kantstikkel (1), kjerneøks (1)

Mellommesolittisk tid (8900 – 7690 ukal. ^{14}C -alder BP): kantstikkel (1), kjerneøks (1), lanseettmikrolitter (3), borspisser (22), slipeplater (2), mikroflekker (348), flatoval tosidig meisel (1)

Senmesolittisk tid (7690 – 5230 ukal. ^{14}C -alder BP): borspisser (22), slipeplater (2), håndtakskjerner (1), kjølformet kjerner (2), bipolare kjerner (219) og –kjernefragment (188), mikroflekker (348), garnsøkke (1), flatoval tosidig meisel (1)

Neolittisk tid (5230 - 3500 ukal. ^{14}C -alder BP): firesidige bergartsmeisler (3), blad-/hjerteformet flateretusjert spiss (1)

Bronsealder (3500 – 2440 ukal. ^{14}C -alder BP): blad-/hjerteformet flateretusjert spiss (1)

Det må poengteres at flere av gjenstandstypene kan knyttes til flere forskjellige perioder. Neolittisk tid ble ikke inndelt i underperioder, ettersom det er såpass få funn som kan knyttes direkte til denne fasen. Den typologiske dateringen, som i hovedsak vitner om aktivitet i senmesolittisk tid, støttes av ^{14}C -dateringene.

4.3 Naturvitenskapelige prøver og analyser

Det ble tatt ut pollenprøver og mikromorfologiprøver fra feltet. I tillegg ble enkelte funn av okerklumper tatt inn som okerprøver. Kun enkelte trekullprøver ble sendt til vedartsbestemmelse, ettersom det var såpass mye brente hasselnøttskall i materialet. Det ble ikke tatt makrofossilprøver.

Vedartsbestemmelsen ble gjort ved Nasjonallaboratoriet for datering ved NTNU.

Mikromorfologiprøvene ble analysert av Dr. Richard I Macphail, Institute of Archaeology, ved University College London (UCL).

Tabell 24: Oversikt over alle analyserte naturvitenskapelige prøver. Merk at ^{14}C -prøver av brent hasselnøttskall er ekskludert her ettersom de ikke ble vedartsbestemt.

Unr.	Labnr.	Intrasis-ID	Type prøve	Kontekst	Lab
T27682:2773	TRa-12999	1041	^{14}C	Profil 201241, lag 2	Nasjonallab., NTNU
T27682:2774	TRa-13001	1043	^{14}C	Profil 201241, lag 5	Nasjonallab., NTNU
T27682:2775	TRa-13002	1094	^{14}C	Profil 201240, lag 2	Nasjonallab., NTNU
T27682:2776	TRa-13004	1136	^{14}C	Struktur 1109, profil	Nasjonallab., NTNU
T27682:2777	TRa-13003	1226	^{14}C	Profil 201243, lag 2	Nasjonallab., NTNU
T27682:2778	TRa-13005	1235	^{14}C	Profil 201243, lag 5	Nasjonallab., NTNU
T27682:2779	TRa-13007	1247	^{14}C	Struktur 1237, plan	Nasjonallab., NTNU
T27682:2780	TRa-12997	1248	^{14}C	Profil 201242, lag 2	Nasjonallab., NTNU
T27682:2781	TRa-12998	1250	^{14}C	Profil 201242, lag 3	Nasjonallab., NTNU
T27682:2782	TRa-13006	1253	^{14}C	Profil 201242, lag 3	Nasjonallab., NTNU
T27682:2783	TRa-13000	1255	^{14}C	Profil 201242, lag 3	Nasjonallab., NTNU
T27682:2799	M1260	1260	Mikromorfologi	Profil 201242, lag 1 og 3	Macphail, UCL
T27682:2800	M1261	1261	Mikromorfologi	Profil 201242, lag 3	Macphail, UCL
T27682:2801	M1262	1262	Mikromorfologi	Profil 201242, lag 3 og 4	Macphail, UCL

4.3.1 Mikromorfologi

Det ble tatt ut tre mikromorfologiprøver fra profilen (ID 201242) gjennom tufta (ID). Håpet var at disse skulle kunne hjelpe til med tolkningen av strukturen og forklare lagoppbygning og deponeringsprosesser. Prøvene ble analysert av Dr. Richard I Macphail ved Institute of Archaeology, University College London.

Tabell 25: Oversikt over mikromorfologiprøver.

T-nr.	Labnr.	Intrasis-ID	Type prøve	Kontekst
T27682:2799	M1260	1260	Mikromorfologi	Tuft, område B, profil 201242, lag 1 og 3
T27682:2800	M1261	1261	Mikromorfologi	Tuft, område B, Profil 201242, lag 3
T27682:2801	M1262	1262	Mikromorfologi	Tuft, område B, Profil 201242, lag 3 og 4

Mikromorfologianalysene ga gode resultater, som støtter tolkningen av strukturen som en hustuft. Det ble blant annet funnet spor etter mineralisert, humifisert treverk og trekull i lag 4, mulig spor etter grunnbearbeiding og fyllmasse i nedre del av lag 3, spor etter mulige tråkkelag og tynne gulvlag i øvre del av lag 3, og en generell høy biologisk aktivitet som ofte settes i sammenheng med grophus (Macphail 2018b).

Lag 1

Det var lite i lag 1 som indikerte tydelig påvirkning av mennesker. Laget består av humusholdig svartbrun sand og grus, små trekullbiter (maks 1mm) og røtter fra trær og planter. Laget har påvirket øvre del av lag 3 ved utvasking av jern.

Lag 3, øvre del

Denne delen av lag 3 bestod av brun sand og grus, jernfargede tre- og planterøtter, små trekullbiter (maks 2mm) og spor etter smale ganger og kanaler (som følge av biologisk aktivitet). Laget består delvis av svært tynne, mikrolaminerte tråkkelag med trekull som sannsynligvis har oppstått under gjørmet forhold. Med andre ord har gulvlaget vært forholdsvis vått og lite værbeskyttet.

Lag 3, nedre del

Lag 3 nedre del ble analysert ut i fra to prøver – M1261 og M1262. Laget består av sand og grus, svært fine trekullbiter (maks 0,5mm) og jernfargede røtter. Macphail tolker laget som steril fyllmasse, som kan ha vært dumpet i et forsøk på å heve gulnvivået (Macphail 2018b).

Lag 4

Laget var heterogent og bestod av rødbrun sand og grus og svart sand og grus. Det ble påvist forholdsvis store mengder mineralisert, humifisert treverk, samt trekull (maks 4mm). I tillegg ble ildpåvirkede mineraler observert, og flekker med kompakt aurhelle.

Restene av treverk ble tolket som mulige rester etter treverk brukt som konstruksjonsmateriale. Lignende funn har blitt gjort på lokalitetene Fillan Trafo på Hitra og Longva i Haram (Macphail 2018a).

4.3.2 Vedart

11 av de 19 innsendte trekullprøvene ble vedartsbestemt. Prøvene ble analysert ved Nasjonallaboratoriet for datering ved NTNU.

Tabell 26: Oversikt over vedartsbestemte trekullprøver

T-nr.	Labnr.	Intrasis-ID	Kontekst	Materiale
T27682:2780	TRa-12997	1248	Profil 201242, lag 2 i tuft	Trekull. 1 piece <i>Corylus</i> sp. - twig.,AAA-rest
T27682:2781	TRa-12998	1250	Profil 201242, lag 3 i tuft	Trekull. 2 pieces dicotyleon - twig.,AAA-rest
T27682:2773	TRa-12999	1041	Profil 201241, lag 2	Trekull. Nøtteskall, brent.,AAA-rest
T27682:2783	TRa-13000	1255	Profil 201242, lag 3	Trekull. 5 pieces bark.Noe sand/belegg.,AAA-rest
T27682:2774	TRa-13001	1043	Profil 201241, lag 5	Trekull. 1 piece <i>Prunus/ Sorbus</i> sp.,AAA-rest
T27682:2775	TRa-13002	1094	Profil 201240, lag 2	Trekull. 3 pieces Bark. Noe sand.,AAA-rest
T27682:2776	TRa-13004	1136	Struktur 1109	Trekull. 3 pieces <i>Salix/Populus</i> sp. Brunt belegg.,AAA-rest
T27682:2777	TRa-13003	1226	Profil 201243, lag 2	Trekull. 3 pieces dicotyledon.,AAA-rest
T27682:2778	TRa-13005	1235	Profil 201243, lag 5	Trekull. 1 piece <i>Salix/Populus</i> sp.,AAA-rest
T27682:2782	TRa-13006	1253	Profil 201242, lag 3	Trekull. 2 pieces bark. 2 pieces dicotyledon. 1 piece <i>Sorbus</i> sp. 1 piece <i>Salix/Populus</i> sp.,AAA-rest
T27682:2779	TRa-13007	1247	Struktur 1237, tuft, i bunn av profilsjakt	Trekull. 3 pieces <i>Salix/Populus</i> .,AAA-rest

4.3.3 Pollen

Det ble tatt ut tre pollentrøper fra profil 201243 i område D, lengst SØ på feltet. Prøvene ble tatt ut på bakgrunn av prosjektets problemstilling knyttet til jordbruksaktivitet i området. Det ble imidlertid bestemt i etterarbeidet at prøvene neppe kom til å gi verdifull informasjon og prøvene ble følgelig kassert.

4.3.4 Oker

Det ble funnet flere små flekker med rød og gul oker innenfor område D, lengst SØ på feltet. Tre av disse flekkene ble målt inn og først tatt inn som funn, deretter definert som prøver. Hensikten med å ta vare på disse prøvene var å eventuelt se om de har blitt blandet med dyrefett og kan ha blitt brukt som maling. Ingen av prøvene ble analysert i etterarbeidet tilknyttet denne undersøkelsen.

Tabell 27: Oversikt over okerprøver

T-nr.	Intrasis-ID	Kontekst	Kommentar
T27682:2802	928	114x131y, SØ, mek. lag 1	Små klumper med rød oker
T27682:2803	1028	114x130y, NØ, mek. lag 1	Forholdsvis stor klump med rød oker
T27682:2804	201310	114x131y, SV, mek. lag 2	Svært små klumper med oker

5. Resultat

Utgravingene ved Hitra helsetun høsten 2017 resulterte i et spennende gjenstandsmateriale fra en lokalitet som vitner om flere besøk i forskjellige perioder av steinalderen. Det ble funnet totalt 9463 gjenstander, hovedsakelig av flint. I tillegg til gjenstander ble det påvist en mulig tuft etter et grophus fra sen mesolittisk tid, samt kulturlag og andre små strukturer knyttet til forhistorisk aktivitet på stedet. Innledningsvis ble det skissert enkelte problemstillinger som det var ønskelig at undersøkelsene skulle kunne svare på:

- Når var lokaliteten bosatt?
- Representerer de to funnområdene innenfor lokaliteten ulike aktiviteter knyttet til en og samme lokalitet, eller er det noe i materialet som tyder på to ulike lokaliteter når det gjelder bruk og alder?
- Hva kan eventuelle strukturer og gjenstandsmateriale si om romlig organisering av boplassflata?
- Det påviste kulturlaget vitner om en lokalitet med en viss tidsdybde. Er det mulig gjennom undersøkelser av kulturlaget på lokaliteten å si noe om aktivitet, event. indikasjoner på tidlig husdyrhold eller dyrking?

Kronologi og bruk

Både gjenstandsmateriale og dateringene peker tydelig mot en hovedbruksfase i senmesolittisk tid, spesielt SM3-4. Dette stemmer også godt overens med strandlinjedateringen, og landskapsmessige forhold med en strandlinje på om lag 22-20moh, som er samtidig strandlinje i perioden. Dateringene ble hovedsakelig gjort på brente hasselnøttskall, innsamlet under graving av ruter i mekaniske lag på 5cm. Det ble imidlertid også innsamlet kullprøver fra enkelte strukturer (ID 1109, ID 1237 og ID 1069), samt fra profiler gjennom område A, B og D. Disse prøvene ga et mer varierende resultat, og det er tydelig at det også har vært aktivitet i området i senere perioder – sen neolittisk tid, bronsealder og jernalder. Hva denne aktiviteten har bestått av er mer usikkert, ettersom det ble funnet få funn og strukturer som kan knyttes til disse periodene. Unntaket er en blad-/hjerteformet spiss, som dateres typologisk til sen neolittisk tid/bronsealder. Dette kan være en bortskutt pil, eller et spor etter innsamling og bearbeiding av flint på gamle mesolittiske boplasser i sen neolittisk tid/bronsealder.

Deler av gjenstandsmaterialet antyder også en tidligere periode, sannsynligvis mellomesolittisk tid ettersom lokaliteten ville ha ligget under vann i tidligmesolittisk tid. Det er snakk om tre patinerte lansettmikrolitter, samt et mulig eggoppeskjeringsavslag til skive-/kjerneøks. Utover dette kommer enkelte patinerte og delvis vannrullede flikkefragment som kan være fra samme tid. Det er dermed forholdsvis få gjenstander å datere ut i fra, men nok til å kunne si at området sannsynligvis også har vært benyttet før senmesolittisk tid.

Et interessant aspekt ved dateringene er at de indikerer at området er i bruk selv om strandkanten gradvis flytter seg lengre og lengre unna. I mellomesolittisk til tidlig

senmesolittisk tid (ca. 8000-7000 ^{14}C -BP) står havnivået omkring 25moh. Da ligger lokaliteten på en liten øy, med flere gode innseilingsmuligheter. Fillan sentrum ville vært et grunt havnebasseng med beskyttende skjær og småøyer i NV. Med et havnivå på 22moh, som er det havnivået havnivåkurvene antyder er samtidig med den primære bruksfasen i SM3-4, ligger imidlertid strandkanten lengre unna (se fig. 50 og 51). Dette antyder at lokaliteten har vært besøkt jevnlig og at det kanskje har vært viktig å opprettholde permanente strukturer, som for eksempel et grophus (jf. graphustuft ID 203945). Gode innseilingsmuligheter trekkes ofte fram som en viktig lokaliseringsfaktor for mesolittiske lokaliteter, men her har det kanskje spilt mindre rolle etter hvert. Innseilingsmulighetene til området er fortsatt gode i SM4, med adkomst fra både NV og SØ, men avstand til strandlinja (22moh) er da oppe i ca. 150m. Det har neppe vært et hinder å forflytte seg så langt på land, men det viser at lokaliteten har vært verdt å komme tilbake til over en lang periode.

Det er også verdt å nevne at område A, B og D ser ut til å ha vært i bruk samtidig. Enkelte dateringer fra område A og D overlapper, noe som antyder at kulturlaget (ID 203938) i område D er samtidig med bruken av område A og B – hvor det ble gjort flest funn, samt påvist en graphustuft. Dette kan bety at områdene har hatt ulik bruk og viser en romlig organisering av lokaliseringsflaten, hvor område D kanskje har vært et avfallsområde eller en slakteplass? Det var også her garnsøkket ble funnet (T27682:2772), noe som kan indikere at dette har vært et område tilknyttet behandling av fangst og fangstrelatert aktivitet. En annen mulighet er imidlertid at kulturlaget er neolittisk, ettersom en av de daterte hasselnøttskallene fra område D ble datert til denne perioden ($3760 +15/-15$ ^{14}C -BP). De brente hasselnøttskallene fra mesolittisk tid kan ha blitt blandet inn i kulturlaget som følge av forstyrrelser i senere tid. Dette virker likevel lite sannsynlig ettersom 6 av de 7 prøvene fra område D ble datert til SM3-4, og bare én til SN. Det er imidlertid litt merkelig at det var såpass lite spor etter kulturlag i område A, når funnmaterialet og dateringene antyder en bruk over såpass lang tid. Dette kan skyldes dårligere bevaringsforhold, at kulturlaget i område D faktisk er senere, eller at områdene ble brukt til ulike formål. Det var for øvrig ingenting i kulturlaget som antydet at det hadde en tilknytning til tidlig jordbruksaktivitet, slik det ble foreslått i prosjektets innledende problemstillinger.

Gjenstandsfunnene gjenspeiler en variert aktivitet, og det er vanskelig å se antydninger til at lokaliteten har vært tilknyttet noen form for spesialisert aktivitet. Til dette er også den kronologiske og stratigrafiske forståelsen for grov, og eventuelle variasjoner i aktivitet gjennom de ulike periodene er svært vanskelig å fange opp. Det ble imidlertid funnet en god del borspisser av ulik utforming og størrelse. De 22 borspissene utgjør 0,23% av det totale gjenstandsaterialet, noe som er litt mer enn for eksempel de senmesolittiske lokalitetene Lok. 50 (0,13%) og Lok. 68 (0,05%) fra Ormen Lange prosjektet i Aukra (Bjerck et al. 2008). Dette kan imidlertid like gjerne være tilfeldige forskjeller som ikke grunner i forskjellig aktivitet, ettersom prosentvis fordeling av en gitt gjenstandsgruppe svært sjeldent vil være lik mellom to eller flere lokaliteter. Det er likevel fristende å se for seg at borspissene har vært flittig brukt til å vedlikeholde båter og fangstutstyr tilknyttet den marine livsstilen. Her vil eventuelle videre undersøkelser, som slitesporsanalyser, kunne gi en pekepinn om bruk.

Hustuft fra senmesolittisk tid – ID203945

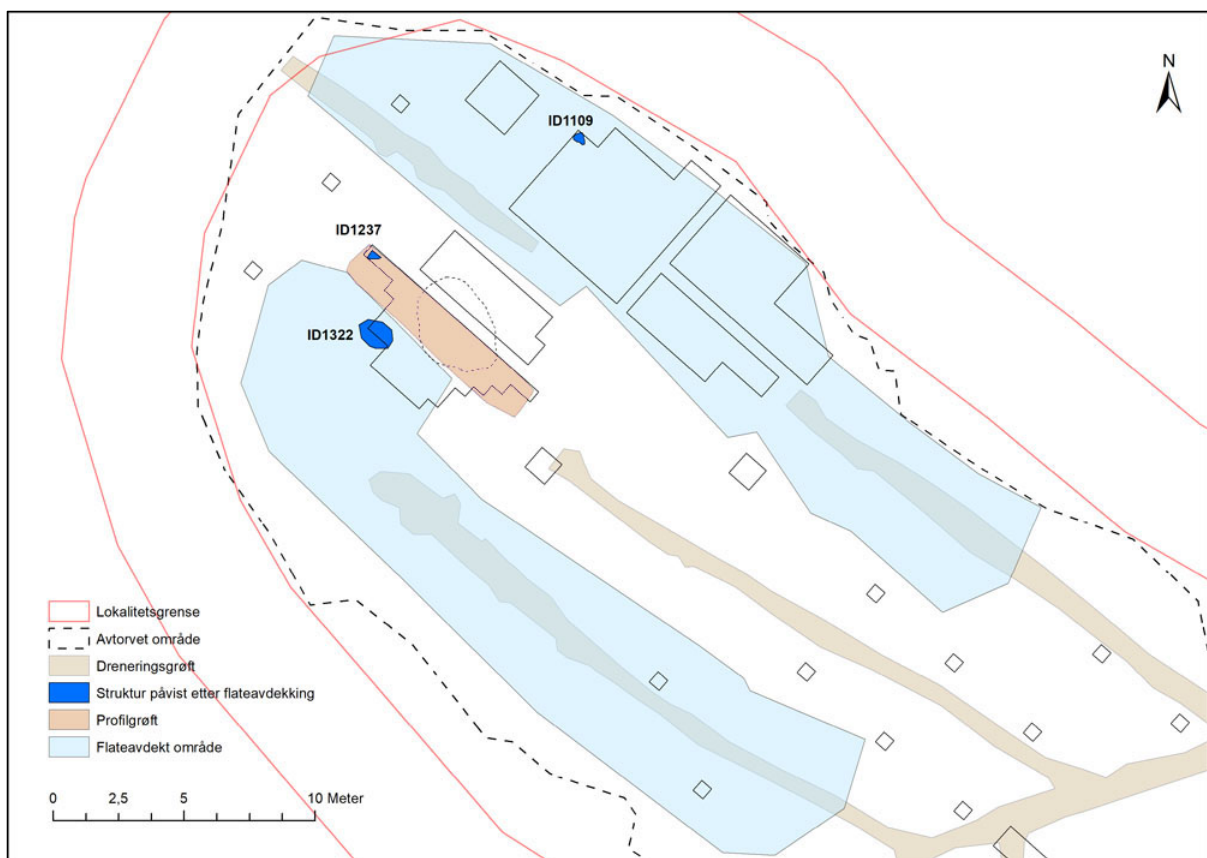
Det ble påvist en mulig grophustuft fra senmesolittisk tid i område B. Den framstod etter flateavdekkingen som en tilnærmet sirkulær forsenkning i en fin, veldrenert grusrygg i det høyeste området på lokaliteten. Grusryggen er sannsynligvis en gammel strandvoll, og grunnen er slik sett velegnet for slike grophus. Det ble ikke påvist tydelige stolpehull eller andre strukturer som kunne bidra til en tolkning av grophusets konstruksjon og størrelse foruten enkelte tvetydige strukturer (se kap. 3.1.2).

Dateringen av tufta var noe utfordrende ettersom kull fra lagene som ble definert i profilen viste seg å være fra jernalder (se tabell 22). Dette må være en form for forurensning, mest sannsynlig som følge av forskjellige lyng- og rotbranner. Brente hasselnøttskall fra det funnførende laget ga imidlertid bedre dateringer - 6783 +48/-48 (SM2), 6158 +23/-23 (SM3) og 6132 +24/-24 (SM3).

Den maskinelt gravde profilgrøften ga et godt inntrykk av grophusets dybde og lagoppbygning. Den var imidlertid noe ødelagt av kraftig jernutfelling, som gjorde det vanskelig å definere lagoppbygningen. Mikromorfologianalysene gjennomført av Dr. Macphail ved UCL i London styrket tolkningen av gropen som en grophustuft, ettersom det ble påvist trerester og gulvlag som trolig kan knyttes til en huskonstruksjon. Funnspredningen ga ingen klare indikasjoner på såkalt «veggeffekt», men antydet en funnkonsentrasjon V i tufta som kan være et resultat av dumping av knakkeavfall.

Metodiske resultat og bemerkninger

I samråd med prosjektleder ble det besluttet å flateavdekke deler av lokaliteten med maskin mot slutten av feltarbeidet. Dette for å undersøke om det ville kunne finnes rester av strukturer under det første funnførende gruslaget. En slik framgangsmåte har allerede vært benyttet ved Kulturhistorisk museum i Oslo i en årrekke (Solheim 2017), med gode resultater. Det ble kun flateavdekt to «korridorer» som en slags testgraving, ettersom kjøretøy for bortkjøring av masser ikke var tilgjengelig. Massene måtte dermed legges opp på siden, utenfor lokaliteten. I tilknytning til den maskinelle flateavdekkingen ble maskinen også benyttet til å grave en grøft gjennom tuft ID203945.



Figur 53: Oversiktskart over flatdeavdekt areal (lys blått) og maskinelt gravd profilgrøft (rosa), med strukturer påvist etter maskinell flatdeavdekking (mørk blått). Kart: Skule O.S. Spjelkavik, NTNU Vitenskapsmuseet

Det ble påvist tre strukturer – ID1322, ID1237 og ID1109. Ettersom flatdeavdekkingen ble gjennomført nest siste dag i felt, ble det ikke all verdens med tid til å undersøke alle strukturene nærmere. ID1237 og ID1322 ble kun dokumentert i plan, mens ID1109 ble snittet og fotografert. ID1109 ble datert til $6353 +23/-23$ ^{14}C -BP og ID1237 ble datert til $6783 +48/-48$ ^{14}C -BP. ID1322 ble ikke datert. Metoden avslørte dermed flere strukturer enn vi hadde vært i stand til ut i fra den maskinelle avtorvingen på begynnelsen av prosjektet.

Et annet viktig metodisk poeng er det faktum at ID1237 lå forholdsvis dypt nede i aurhella (om lag 30-35cm), og at lag 4 (se fig. 24) i tufta ble, gjennom mikromorfologianalysene, antydet å inneholde trerester etter en huskonstruksjon eller gulvlag (Macphail 2018b). Dette kan antyde at podsolifiseringen i enkelte tilfeller «ødelegger» den originale stratigrafien og kan skjule viktige funn. Det kan dermed lønne seg å være forsiktig med å anse aurhelle som «steril grunn».

Litteratur

- Berglund, B., 2001. "Gassprosjektet" - arkeologiske undersøkelser på Tjeldbergodden, Aure kommune, Møre og Romsdal fylke i forbindelse med bygging av metanolanlegg. Trondheim: NTNU, Vitenskapsmuseet, Fakultet for arkeologi og kulturhistorie.
- Bjerck, H. B., et al., 2008. *NTNU Vitenskapsmuseets arkeologiske undersøkelser Ormen Lange Nyhamna*. Trondheim: Tapir Akademisk Forlag.
- Bronk Ramsey, C., 2013. OxCal. 4.2.4 ed.
- Domaas, T., 1989. *Natur på Frøya og Hitra*. Trondheim: Sør-Trøndelag fylkeskommune.
- Fugelsøy, M., 1958. *Hitra Øya og folket I*. Trondheim: Hitra kommune.
- Gjerland, B., 1985. *Bergartsøkser i Vest-Norge. Distribusjon sett i forhold til praktisk funksjon, økonomisk tilpasning og tradisjon i steinalderen*. (Magistergrad). Universitetet i Bergen.
- Isaksen, B. 2001. Pinsetur til Hitra og Frøya 2001. *Geo-posten. Ålesund og omegn geologiforening*, (Julen 2001), 8-9.
- Macphail, R. I., 2018a. *Fillan Trafo, Hitra, 2017/136, Norway: soil micromorphology*. Institute of Archaeology, University College London.
- Macphail, R. I., 2018b. *Hitra Helsetun 2017/145 Trøndelag, Norway: soil micromorphology*. Institute of Archaeology, University College London.
- Reimer, P. J., et al. 2013. IntCal13 and Marine13 radiocarbon age calibration curves 0–50,000 years cal BP. 55(4), 1869-1887.
- Solheim, S., ed., 2017. *E18 Rugtvedt-Dørdal : arkeologiske undersøkelser av lokaliteter fra steinalder og jernalder i Bamble kommune, Telemark fylke*. Kristiansand, Oslo: Portal Kulturhistorisk museum, Universitetet i Oslo.
- Svendsen, J. I. and Mangerud, J. 1987. Late Weichselian and holocene sea-level history for a cross-section of western Norway. 2(2), 113-132.
- Vennatrø, R., 2002. *Arkeologisk påvisningsundersøkelse knyttet til reguleringsplan for Fillan sentrum øst, Fillan, Hitra kommune*. Upublisert registreringsrapport: Sør-Trøndelag fylkeskommune.
- Vitenskapsmuseet, N., 2012. Definisjoner, steinaldernomenklatur, VM, V03 (August 2012).

Vedlegg

Vedlegg 1 Sammendrag funn T27682

Vedlegg 2 Funnliste T27682

Vedlegg 3 Fotoliste feltfoto

Vedlegg 4 Fotoliste DEM og ortofoto

Vedlegg 5 Fotoliste fotogrammetri

Vedlegg 6 Kart

Vedlegg 7 Rentegninger

Vedlegg 8 Strukturliste

Vedlegg 1 Sammendrag funn T27682

T27682

Boplassfunn fra mellomesolitikum/senmesolitikum/yngre steinalder/bronsealder fra HITRA HELSETUN / av VIKAN (92 /1,36), HITRA K., TRØNDELAG.

Sammendrag, gjenstander

Flekke

<i>makroflekke</i>	63
<i>medioflekke</i>	81
<i>mikroflekke</i>	359

Avslag

<i>avslag</i>	938
<i>makroavslag med bruksspor</i>	2
<i>medioavslag med bruksspor</i>	50
<i>fragment</i>	7034
<i>fragment med bruksspor</i>	177

Diagnostisk avslag

<i>cortexflekke</i>	17
<i>flekkelignende avslag</i>	121
<i>hengselflekke</i>	5
<i>avslag av slipt gjenstand</i>	2
<i>eggoppeskjerpingsavslag av skive-/kjerneøks</i>	1
<i>stikkelavslag</i>	2
<i>stikkelslag</i>	1

Kjerne

<i>kjølformet kjerne</i>	2
<i>håndtakskjerne</i>	1
<i>bipolar kjerne</i>	228
<i>ubestemt kjerne</i>	9
<i>ubestemt kjerne med en plattform</i>	8
<i>ubestemt kjerne med flere plattformer</i>	5

Kjernefragment

<i>bipolart kjernefragment</i>	192
<i>plattformkjernefragment</i>	2
<i>overløpen flekke</i>	1
<i>ubestemt kjernefragment</i>	18

Prepareringsavslag

<i>ryggmedioflekke</i>	2
<i>plattformavslag</i>	1
<i>vingeformet plattformavslag</i>	2
<i>flekkefront</i>	2

Øks

<i>kjerneøks</i>	1
------------------	---

Meisel

<i>flatoval tosidig meisel</i>	1
<i>firesidig bergartsmeisel</i>	3

Fragment av ubestemt øks / meisel

<i>Fragment av ubestemt øks / meisel</i>	1
--	---

Kniv

<i>annen flekkekniv</i>	1
-------------------------	---

Pilspiss

<i>blad- / hjerteformet flateretusjert spiss</i>	1
--	---

Mikrolitt

<i>lansettmikrolitt</i>	3
-------------------------	---

Borspiss

<i>borspiss på avslag</i>	1
<i>borspiss på fleske</i>	8
<i>ubestemt borspiss</i>	13

Skaper

<i>endeskaper på fleske</i>	1
<i>endeskaper på avslag</i>	1
<i>ubestemt skaper</i>	19

Retusjert avslag

<i>retusjert medioavslag</i>	5
<i>medioavslag med rett retusj</i>	7
<i>medioavslag med konkav retusj</i>	2
<i>medioavslag med annen retusj</i>	7
<i>retusjert fragment</i>	8
<i>fragment med rett retusj</i>	10
<i>fragment med konkav retusj</i>	2
<i>fragment med annen retusj</i>	16

Retusjert fleske

<i>makrofleske med annen retusj</i>	2
<i>mikrofleske med annen retusj</i>	1
<i>mikrofleske med hakk</i>	1

Stikkel

<i>kantstikkel på brudd</i>	1
-----------------------------	---

Slipeplate

<i>slipeplate</i>	2
-------------------	---

Knakkestein

<i>knakkestein</i>	6
--------------------	---

Slipestein

<i>pimpstein med bruksspor</i>	1
<i>pimpstein med fure</i>	1
<i>annen bearbeidet pimpstein</i>	2

Fragment

<i>slipt fragment</i>	3
-----------------------	---

Søkke

<i>garnsøkke</i>	1
------------------	---

Stein	
<i>stein</i>	1
Fossil	
<i>fossil</i>	1
Prøve	
<i>trekullprøve</i>	12
<i>annen prøve</i>	6
Nøtteskall	
<i>brent nøtteskall</i>	14
Knoll	
<i>knoll</i>	3

SUM **9495**

Sammendrag, råstoff

<i>bergart</i>	40
<i>bergkrystall</i>	71
<i>flint</i>	8952
<i>jaspis</i>	27
<i>jord</i>	3
<i>kull</i>	26
<i>kvarts</i>	324
<i>kvartsitt</i>	43
<i>oker</i>	3
<i>pimpstein</i>	4
<i>skifer</i>	2

Funnomstendighet: Arkeologisk utgravnning Arkeologisk utgravnning ved Hitra helsetun, høsten 2017. Prosjektleder: Merete Moe Henriksen. Feltleder: Skule Spjelkavik. Funn framkommet ved utgravnning grunnet utvidelse av Hitra Helsetun på Fillan, Hitra. Området ble maskinelt avtorvet, renset og deretter gravd mekanisk i 5cm lag. Enkelte ruter ble forsøksvis gravd mekanisk-stratigrafisk. Utgravningen foregikk på lokaliteten Vikan (Askeladden ID88470). Denne lokaliteten ble registrert i 2002 og hadde et totalt areal på 1481,32m² (inkludert sikringssone). Lokaliteten strakk seg fra 26 til 28moh, og bar preg av å ha vært besøkt ved flere ulike perioder i forhistorisk tid. Det ble blant annet funnet 3 patinerte lanseettmikrolitter, som indikerer besøk i mellommesolittisk tid. Det samme gjør flere vannrullede makroflekkefragment. I materialet ble det også funnet store mengder bipolare kjerner, fragment fra flekke- og redskapsproduksjon og mikroflekker. Hovedbruksfasen for lokaliteten har dermed trolig ligget i senmesolittisk tid, noe som også støttes av strandlinje- og 14C-dateringene (se rapport for nærmere detaljer om dateringsresultat). Det ble funnet få slipte gjenstander, men 2 fragment av slipeplater, 4 slipte meisler og 1 mulig meiselfragment indikerer bruk i neolittisk tid. En flateretusjert bladformet pilspiss kan ha blitt skutt bort på lokaliteten sent i neolittisk tid, eller i bronsealder. Et siste nevneverdig trekk ved funnmaterialet er mengden borspisser, totalt 22 stk. Disse stammer trolig fra den senmesolittisk-/tidligneolittisk tid, og kan muligens knyttes til reparasjon av båter og annet marint fangststyr på stedet. Materialet er dominert av flint, deretter kvarts og bergkrystall. Det ble også funnet noe jaspis, av svært varierende kvalitet.

Rundt 26,5moh ble det funnet en delvis steinsatt forsenkning som ble tolket til å være restene av en grophuskonstruksjon. Funnene ble gjort i det marint avsatt sand og grus, med tydelig podsolprofil. Deler av undergrunnen bestod av svært tettpakket aurhelle. Det ble tatt ut kullprøver fra alle profiler, og 3 mikromorfologiprøver fra profilen som skar gjennom tufta. I tillegg ble alle brente hasselnøttskall tatt vare på for datering. Undernummer 1613-1620 utgår ettersom det av en uklar årsak oppstod et hopp mellom 1612-1621. Disse undernummerene har blitt slettet. Unr. 254, 390, 2266 og 2267 ble også slettet etter en gjennomgang av gjenstandsmaterialet. Postene kunne ikke bli stående tomme ettersom dette påvirket oppsummeringen av funn i den autogenererte funnoversikten.

Kartreferanse/-KOORDINATER: Projeksjon: /EU89-UTM; Sone 32, N: 7052765.26, Ø: 499001.95.

Innberetning/litteratur: Skule Olaus Svendsen Spjelkavik, 26.04.2018, Arkeologisk undersøkelse av steinalderlokalitet ved Hitra Helsetun, Hitra, Trøndelag

Funnet av: Skule O. S. Spjelkavik.

Funnår: 2017.

Vedlegg 2 Funnliste T27682

Unr	Antall	Gjenstand	Form	Materiale	X	Y	Kvadrant	Mekanisk lag
1	1	Avslag		flint	116	80	SV	1
2	9	Avslag	fragment	flint	116	80	SV	1
5	1	Avslag	fragment	kvarts	116	80	SV	1
3	1	Flekke	medioflekke	flint	116	80	SV	1
4	1	Flekke	mikroflekke	flint	116	80	SV	1
6	1	Avslag		flint	116	80	SØ	1
7	16	Avslag	fragment	flint	116	80	SØ	1
8	1	Avslag	fragment	kvarts	116	80	SØ	1
9	14	Avslag	fragment	flint	116	80	NV	1
10	1	Avslag	fragment	flint	116	80	NV	1
11	1	Kjernefragment	bipolart kjernefragment	flint	116	80	NV	1
12	1	Flekke	medioflekke	flint	116	80	NV	1
13	1	Flekke	mikroflekke	flint	116	80	NV	1
14	2	Avslag	fragment	kvarts	116	80	NV	1
15	1	Avslag		flint	116	80	NØ	1
16	18	Avslag	fragment	flint	116	80	NØ	1
17	1	Kjerne	kjølformet kjerne	flint	116	80	NØ	1
18	1	Flekke	medioflekke	flint	116	80	NØ	1
19	1	Flekke	mikroflekke	flint	116	80	NØ	1
20	1	Avslag		flint	117	80	SV	1
21	3	Avslag	fragment	flint	117	80	SV	1
22	1	Kjernefragment	bipolart kjernefragment	flint	117	80	SV	1
23	1	Avslag	fragment	kvarts	117	80	SV	1
24	5	Avslag	fragment	flint	117	80	SØ	1
25	7	Avslag	fragment	flint	117	80	NV	1
26	1	Avslag	fragment	kvarts	117	80	NV	1
27	1	Avslag		bergkrystall	117	80	NV	1
28	2	Avslag		flint	117	80	NØ	1
29	8	Avslag	fragment	flint	117	80	NØ	1
30	2	Avslag		flint	116	81	SV	1
33	1	Avslag	fragment	flint	116	81	SV	1
31	25	Avslag	fragment	flint	116	81	SV	1
32	1	Avslag	medioavslag	flint	116	81	SV	1
35	1	Flekke	medioflekke	flint	116	81	SV	1
34	1	Flekke	medioflekke	flint	116	81	SV	1
36	1	Flekke	medioflekke	flint	116	81	SV	1
37	1	Flekke	mikroflekke	flint	116	81	SV	1
38	1	Flekke	mikroflekke	flint	116	81	SV	1
39	1	Avslag	fragment	kvarts	116	81	SV	1
40	1	Flekke	medioflekke	bergkrystall	116	81	SV	1
44	1	Avslag	fragment	kvarts	116	81	SØ	1

41	6	Avslag		flint	116	81	SØ	1
42	20	Avslag	fragment	flint	116	81	SØ	1
43	1	Flekke	mikroflekke	flint	116	81	SØ	1
45	1	Avslag	fragment	bergkrystall	116	81	SØ	1
46	3	Avslag		flint	116	81	NV	1
47	15	Avslag	fragment	flint	116	81	NV	1
48	1	Avslag	fragment	flint	116	81	NV	1
49	1	Flekke	mikroflekke	flint	116	81	NV	1
50	1	Avslag		kvartsitt	116	81	NV	1
51	2	Avslag		flint	116	81	NØ	1
52	31	Avslag	fragment	flint	116	81	NØ	1
53	1	Flekke	mikroflekke	flint	116	81	NØ	1
54	3	Avslag	fragment	kvarts	116	81	NØ	1
55	30	Avslag	fragment	flint	117	81	SV	1
56	1	Avslag	fragment	flint	117	81	SV	1
57	1	Avslag	fragment	flint	117	81	SV	1
58	1	Kjernefragment	bipolart kjernefragment	flint	117	81	SV	1
59	1	Diagnostisk avslag	flekkelignende avslag	flint	117	81	SV	1
60	1	Avslag	fragment	bergkrystall	117	81	SV	1
64	1	Flekke	mikroflekke	flint	117	81	SØ	1
61	22	Avslag	fragment	flint	117	81	SØ	1
62	1	Avslag	fragment	flint	117	81	SØ	1
63	1	Kjernefragment	bipolart kjernefragment	flint	117	81	SØ	1
65	2	Avslag	fragment	kvarts	117	81	SØ	1
66	3	Avslag		flint	117	81	NV	1
67	12	Avslag	fragment	flint	117	81	NV	1
68	1	Kjernefragment	bipolart kjernefragment	flint	117	81	NV	1
69	1	Flekke	mikroflekke	flint	117	81	NV	1
70	2	Avslag		flint	117	81	NØ	1
71	7	Avslag	fragment	flint	117	81	NØ	1
72	1	Kjerne	bipolar kjerne	flint	117	81	NØ	1
73	1	Kjernefragment	bipolart kjernefragment	flint	117	81	NØ	1
74	4	Avslag		flint	114	84	SV	1
75	16	Avslag	fragment	flint	114	84	SV	1
79	1	Flekke	mikroflekke	flint	114	84	SV	1
76	1	Avslag	medioavslag	flint	114	84	SV	1
77	1	Avslag	fragment	flint	114	84	SV	1
78	1	Kjernefragment	bipolart kjernefragment	flint	114	84	SV	1
80	1	Flekke	mikroflekke	flint	114	84	SV	1
81	1	Avslag	fragment	kvarts	114	84	SV	1
82	4	Avslag		flint	114	84	SØ	1
83	18	Avslag	fragment	flint	114	84	SØ	1
84	1	Avslag	medioavslag	flint	114	84	SØ	1
85	1	Avslag	fragment	flint	114	84	SØ	1
86	2	Kjerne	bipolar kjerne	flint	114	84	SØ	1

87	1	Flekke	mikroflekke	flint	114	84	SØ	1
91	1	Flekke	mikroflekke	flint	114	84	NV	1
88	2	Avslag		flint	114	84	NV	1
89	21	Avslag	fragment	flint	114	84	NV	1
90	1	Avslag	fragment	flint	114	84	NV	1
92	1	Avslag	fragment	bergkrystall	114	84	NV	1
93	3	Avslag		flint	114	84	NØ	1
94	23	Avslag	fragment	flint	114	84	NØ	1
95	1	Avslag	fragment	flint	114	84	NØ	1
96	1	Avslag	fragment	flint	114	84	NØ	1
97	1	Kjernefragment	bipolart kjernefragment	flint	114	84	NØ	1
98	1	Kjernefragment	bipolart kjernefragment	flint	114	84	NØ	1
100	19	Avslag	fragment	flint	115	84	SV	1
99	2	Avslag		flint	115	84	SV	1
101	1	Flekke	mikroflekke	flint	115	84	SV	1
102	1	Kjerne	bipolar kjerne	flint	115	84	SV	1
103	2	Avslag		flint	115	84	SØ	1
104	12	Avslag	fragment	flint	115	84	SØ	1
105	1	Kjerne	bipolar kjerne	flint	115	84	SØ	1
106	1	Diagnostisk avslag	flekkelignende avslag	flint	115	84	SØ	1
107	6	Avslag	fragment	flint	115	84	NV	1
108	1	Diagnostisk avslag	flekkelignende avslag	flint	115	84	NV	1
109	1	Avslag		flint	115	84	NØ	1
110	3	Avslag	fragment	flint	115	84	NØ	1
111	1	Flekke	medioflekke	flint	115	84	NØ	1
114	1	Kjerne	bipolar kjerne	flint	116	84	SV	1
112	3	Avslag		flint	116	84	SV	1
115	1	Kjerne	bipolar kjerne	flint	116	84	SV	1
113	12	Avslag	fragment	flint	116	84	SV	1
116	1	Flekke	mikroflekke	flint	116	84	SV	1
117	1	Avslag	fragment	kvartsitt	116	84	SV	1
118	1	Avslag		flint	116	84	SØ	1
119	21	Avslag	fragment	flint	116	84	SØ	1
120	1	Diagnostisk avslag	flekkelignende avslag	flint	116	84	SØ	1
121	1	Flekke	mikroflekke	flint	116	84	SØ	1
122	1	Flekke	mikroflekke	flint	116	84	SØ	1
123	1	Avslag	fragment	bergkrystall	116	84	SØ	1
124	3	Avslag		flint	116	84	NV	1
125	29	Avslag	fragment	flint	116	84	NV	1
126	1	Kjerne	bipolar kjerne	flint	116	84	NV	1
127	1	Kjernefragment	bipolart kjernefragment	flint	116	84	NV	1
128	1	Flekke	mikroflekke	flint	116	84	NV	1
129	2	Avslag	fragment	kvarts	116	84	NV	1
130	6	Avslag		flint	116	84	NØ	1
133	1	Flekke	mikroflekke	kvartsitt	116	84	NØ	1

131	20	Avslag	fragment	flint	116	84	NØ	1
132	1	Kjernefragment	bipolar kjernefragment	flint	116	84	NØ	1
136	1	Avslag	fragment	kvartsitt	117	84	SV	1
134	4	Avslag		flint	117	84	SV	1
135	16	Avslag	fragment	flint	117	84	SV	1
137	4	Avslag		flint	117	84	SØ	1
138	13	Avslag	fragment	flint	117	84	SØ	1
139	1	Flekke	mikroflekke	flint	117	84	SØ	1
140	1	Kjernefragment	ubestemt kjernefragment	flint	117	84	SØ	1
141	1	Borspiss	ubestemt borspiss	flint	117	84	SØ	1
142	1	Avslag		flint	117	84	NV	1
143	6	Avslag	fragment	flint	117	84	NV	1
144	1	Kjerne	bipolar kjerne	flint	117	84	NV	1
145	1	Avslag	fragment	bergkrystall	117	84	NV	1
146	4	Avslag		flint	117	84	NØ	1
147	8	Avslag	fragment	flint	117	84	NØ	1
148	1	Kernefragment	bipolar kjernefragment	flint	117	84	NØ	1
149	1	Kernefragment	ubestemt kjernefragment	flint	117	84	NØ	1
150	2	Avslag		flint	114	85	SV	1
151	25	Avslag	fragment	flint	114	85	SV	1
152	1	Kernefragment	bipolar kjernefragment	flint	114	85	SV	1
153	1	Flekke	makroflekke	flint	114	85	SV	1
154	5	Avslag	fragment	flint	114	84	SØ	1
155	3	Avslag		flint	114	85	NV	1
156	15	Avslag	fragment	flint	114	85	NV	1
157	1	Flekke	mikroflekke	flint	114	85	NV	1
158	1	Flekke	mikroflekke	bergkrystall	114	85	NV	1
159	8	Avslag	fragment	flint	114	85	NØ	1
160	1	Flekke	mikroflekke	flint	114	85	NØ	1
161	2	Avslag		flint	115	85	SV	1
162	13	Avslag	fragment	flint	115	85	SV	1
163	1	Kjerne	bipolar kjerne	flint	115	85	SV	1
164	1	Flekke	medioflekke	flint	115	85	SV	1
165	1	Avslag	medioavslag	flint	115	85	SV	1
166	1	Avslag		kvartsitt	115	85	SV	1
167	1	Avslag		flint	115	85	SØ	1
168	18	Avslag	fragment	flint	115	85	SØ	1
169	1	Flekke	medioflekke	flint	115	85	SØ	1
170	1	Flekke	mikroflekke	flint	115	85	SØ	1
171	3	Avslag		flint	115	85	NV	1
172	23	Avslag	fragment	flint	115	85	NV	1
173	1	Flekke	medioflekke	flint	115	85	NV	1
174	4	Avslag		flint	115	85	NØ	1
175	22	Avslag	fragment	flint	115	85	NØ	1
176	1	Kjerne	bipolar kjerne	flint	115	85	NØ	1
177	1	Flekke	medioflekke	flint	115	85	NØ	1

178	1	Flekke	medioflekke	flint	115	85	NØ	1
179	1	Flekke	mikroflekke	flint	115	85	NØ	1
180	2	Avslag		flint	116	85	SV	1
181	14	Avslag	fragment	flint	116	85	SV	1
182	1	Kjernefragment	bipolart kjernefragment	flint	116	85	SV	1
184	1	Pilspiss	flateretusjert spiss	flint	116	85	SV	1
183	1	Flekke	medioflekke	flint	116	85	SV	1
185	3	Avslag		flint	116	85	SØ	1
186	12	Avslag	fragment	flint	116	85	SØ	1
187	1	Flekke	mikroflekke	flint	116	85	SØ	1
188	4	Avslag		flint	116	85	NV	1
189	18	Avslag	fragment	flint	116	85	NV	1
190	1	Kjernefragment	bipolart kjernefragment	flint	116	85	NV	1
194	1	Øks	kjerneøks	flint	116	85	NØ	1
191	3	Avslag		flint	116	85	NØ	1
192	15	Avslag	fragment	flint	116	85	NØ	1
193	1	Flekke	mikroflekke	flint	116	85	NØ	1
195	1	Avslag		flint	117	85	SV	1
196	16	Avslag	fragment	flint	117	85	SV	1
197	1	Avslag	fragment	flint	117	85	SV	1
198	1	Flekke	mikroflekke	flint	117	85	SV	1
199	1	Flekke	mikroflekke	flint	117	85	SV	1
200	1	Kjernefragment	bipolart kjernefragment	flint	117	85	SV	1
201	1	Kjernefragment	bipolart kjernefragment	flint	117	85	SV	1
202	1	Kjernefragment	bipolart kjernefragment	flint	117	85	SV	1
203	3	Avslag		flint	117	85	SØ	1
204	15	Avslag	fragment	flint	117	85	SØ	1
205	1	Avslag	medioavslag	flint	117	85	SØ	1
206	1	Avslag	fragment	flint	117	85	SØ	1
207	1	Kjerne	bipolar kjerne	flint	117	85	SØ	1
208	1	Kernefragment	ubestemt kjernefragment	flint	117	85	SØ	1
212	1	Flekke	mikroflekke	flint	117	85	SØ	1
209	1	Kernefragment	ubestemt kjernefragment	flint	117	85	SØ	1
210	1	Kernefragment	ubestemt kjernefragment	flint	117	85	SØ	1
211	1	Flekke	mikroflekke	flint	117	85	SØ	1
213	1	Flekke	makroflekke	flint	117	85	SØ	1
214	1	Avslag		kvarts	117	85	SØ	1
215	1	Avslag		flint	117	85	NV	1
216	7	Avslag	fragment	flint	117	85	NV	1
218	19	Avslag	fragment	flint	117	85	NØ	1
217	2	Avslag		flint	117	85	NØ	1
219	1	Avslag	medioavslag	flint	117	85	NØ	1
220	1	Flekke	makroflekke	flint	117	85	NØ	1
221	1	Flekke	makroflekke	flint	117	85	NØ	1

222	1	Flekke	mikroflekke	flint	117	85	NØ	1
223	1	Flekke	medioflekke	flint	117	85	NØ	1
225	5	Avslag	fragment	flint	118	85	SV	1
224	3	Avslag		flint	118	85	SV	1
226	1	Flekke	makroflekke	flint	118	85	SV	1
227	1	Diagnostisk avslag	flekkelignende avslag	flint	118	85	SV	1
228	7	Avslag		flint	118	85	SØ	1
229	9	Avslag	fragment	flint	118	85	SØ	1
230	1	Avslag	fragment	flint	118	85	SØ	1
231	1	Flekke	makroflekke	flint	118	85	SØ	1
232	1	Flekke	medioflekke	flint	118	85	SØ	1
236	1	Flekke	makroflekke	flint	118	85	NV	1
233	2	Avslag		flint	118	85	NV	1
234	13	Avslag	fragment	flint	118	85	NV	1
235	1	Kjernefragment	bipolart kjernefragment	flint	118	85	NV	1
237	1	Flekke	medioflekke	flint	118	85	NV	1
238	1	Flekke	mikroflekke	flint	118	85	NV	1
239	1	Flekke	mikroflekke	flint	118	85	NV	1
240	1	Avslag		flint	118	85	NØ	1
241	2	Avslag	fragment	flint	118	85	NØ	1
242	3	Avslag		flint	114	86	SV	1
243	8	Avslag	fragment	flint	114	86	SV	1
244	1	Kjerne	bipolar kjerne	flint	114	86	SV	1
245	1	Avslag		flint	114	86	SØ	1
246	20	Avslag	fragment	flint	114	86	SØ	1
247	1	Kjerne	bipolar kjerne	flint	114	86	SØ	1
248	1	Avslag	fragment	kvarts	114	86	SØ	1
249	1	Avslag	fragment	bergkrystall	114	86	SØ	1
250	1	Flekke	mikroflekke	bergkrystall	114	86	SØ	1
252	1	Kjerne	bipolar kjerne	flint	114	86	NV	1
251	7	Avslag	fragment	flint	114	86	NV	1
255	3	Avslag	fragment	flint	115	86	SV	1
256	1	Avslag		flint	115	86	SØ	1
257	10	Avslag	fragment	flint	115	86	SØ	1
258	1	Kjerne	bipolar kjerne	flint	115	86	SØ	1
259	1	Kjerne	bipolar kjerne	bergkrystall	115	86	SØ	1
253	2	Avslag	fragment	flint	114	86	NØ	1
260	1	Avslag		flint	115	86	NV	1
261	5	Avslag	fragment	flint	115	86	NV	1
262	1	Kjerne	bipolar kjerne	flint	115	86	NV	1
263	1	Diagnostisk avslag	flekkelignende avslag	flint	115	86	NV	1
265	1	Diagnostisk avslag	flekkelignende avslag	flint	115	86	NV	1
264	1	Diagnostisk avslag	flekkelignende avslag	flint	115	86	NV	1
266	2	Avslag		flint	115	86	NØ	1
267	9	Avslag	fragment	flint	115	86	NØ	1

268	1	Diagnostisk avslag	flekkelignende avslag	flint	115	86	NØ	1
269	2	Avslag		flint	116	86	SV	1
270	1	Avslag		jaspis	116	86	SV	1
271	18	Avslag	fragment	flint	116	86	SV	1
272	1	Avslag	medioavslag	flint	116	86	SV	1
273	1	Kjerne	bipolar kjerne	flint	116	86	SV	1
274	1	Flekke	mikroflekke	flint	116	86	SV	1
275	3	Avslag		flint	116	86	SØ	1
276	19	Avslag	fragment	flint	116	86	SØ	1
277	1	Kjernefragment	bipolart kjernefragment	flint	116	86	SØ	1
278	1	Flekke	mikroflekke	flint	116	86	SØ	1
279	1	Kjerne	ubestemt kjerne	kvartsitt	116	86	SØ	1
280	3	Avslag		flint	116	86	NV	1
281	36	Avslag	fragment	flint	116	86	NV	1
282	1	Avslag	medioavslag	flint	116	86	NV	1
283	1	Kjerne	bipolar kjerne	flint	116	86	NV	1
284	1	Kjerne	bipolar kjerne	flint	116	86	NV	1
285	1	Flekke	mikroflekke	flint	116	86	NV	1
286	1	Flekke	mikroflekke	flint	116	86	NV	1
287	1	Flekke	mikroflekke	flint	116	86	NV	1
288	1	Flekke	mikroflekke	flint	116	86	NV	1
289	1	Flekke	mikroflekke	flint	116	86	NV	1
290	1	Flekke	makroflekke	flint	116	86	NV	1
291	6	Avslag		flint	116	86	NØ	1
292	32	Avslag	fragment	flint	116	86	NØ	1
293	1	Avslag	medioavslag	flint	116	86	NØ	1
294	1	Kjerne	ubestemt kjerne	flint	116	86	NØ	1
295	1	Kjernefragment	bipolart kjernefragment	flint	116	86	NØ	1
296	1	Borspiss	ubestemt borspiss	flint	116	86	NØ	1
297	1	Flekke	mikroflekke	flint	116	86	NØ	1
298	1	Flekke	mikroflekke	flint	116	86	NØ	1
299	1	Flekke	mikroflekke	flint	116	86	NØ	1
300	1	Diagnostisk avslag	flekkelignende avslag	flint	116	86	NØ	1
301	1	Diagnostisk avslag	flekkelignende avslag	flint	116	86	NØ	1
302	1	Diagnostisk avslag	flekkelignende avslag	flint	116	86	NØ	1
303	5	Avslag		flint	117	86	SV	1
306	1	Flekke	makroflekke	flint	117	86	SV	1
304	22	Avslag	fragment	flint	117	86	SV	1
305	1	Kjernefragment	bipolart kjernefragment	flint	117	86	SV	1
307	5	Avslag		flint	117	86	SØ	1
308	16	Avslag	fragment	flint	117	86	SØ	1
309	1	Avslag	fragment	flint	117	86	SØ	1
310	1	Flekke	medioflekke	flint	117	86	SØ	1
311	1	Flekke	mikroflekke	flint	117	86	SØ	1
312	1	Flekke	mikroflekke	flint	117	86	SØ	1

313	1	Flekke	mikroflekke	flint	117	86	SØ	1
314	1	Flekke	mikroflekke	flint	117	86	SØ	1
315	4	Avslag		flint	117	86	NV	1
316	11	Avslag	fragment	flint	117	86	NV	1
317	1	Avslag	fragment	flint	117	86	NV	1
318	1	Flekke	medioflekke	flint	117	86	NV	1
319	7	Avslag		flint	117	86	NØ	1
320	18	Avslag	fragment	flint	117	86	NØ	1
324	1	Flekke	mikroflekke	flint	117	86	NØ	1
321	1	Kjerne	bipolar kjerne	flint	117	86	NØ	1
322	1	Kjerne	bipolar kjerne	flint	117	86	NØ	1
323	1	Flekke	medioflekke	flint	117	86	NØ	1
325	1	Flekke	mikroflekke	flint	117	86	NØ	1
326	1	Meisel	firesidig bergartsmeisel	bergart	117	86	NØ	1
330	1	Flekke	mikroflekke	flint	118	86	SV	1
327	23	Avslag	fragment	flint	118	86	SV	1
328	1	Kjernefragment	bipolart kjernefragment	flint	118	86	SV	1
329	1	Flekke	makroflekke	flint	118	86	SV	1
331	1	Flekke	mikroflekke	flint	118	86	SV	1
332	1	Prepareringsavs lag	ryggflekke	flint	118	86	SV	1
333	2	Avslag		flint	118	86	SØ	1
334	8	Avslag	fragment	flint	118	86	SØ	1
335	1	Avslag	fragment	flint	118	86	SØ	1
336	1	Kjernefragment	bipolart kjernefragment	flint	118	86	SØ	1
337	1	Flekke	makroflekke	flint	118	86	SØ	1
338	1	Flekke	medioflekke	flint	118	86	SØ	1
339	5	Avslag		flint	118	86	NV	1
340	1	Avslag		kvarts	118	86	NV	1
341	24	Avslag	fragment	flint	118	86	NV	1
342	1	Kjerne	bipolar kjerne	flint	118	86	NV	1
343	1	Avslag	fragment	flint	118	86	NV	1
344	1	Kjernefragment	bipolart kjernefragment	flint	118	86	NV	1
345	1	Flekke	mikroflekke	flint	118	86	NV	1
346	1	Flekke	mikroflekke	flint	118	86	NV	1
347	1	Diagnostisk avslag	flekkelignende avslag	flint	118	86	NV	1
348	4	Avslag		flint	118	86	NØ	1
349	9	Avslag	fragment	flint	118	86	NØ	1
350	1	Kjernefragment	bipolart kjernefragment	flint	118	86	NØ	1
351	1	Avslag	medioavslag	flint	118	86	NØ	1
352	1	Avslag		kvarts	118	86	NØ	1
353	2	Avslag		flint	114	87	SV	1
354	10	Avslag	fragment	flint	114	87	SV	1
355	1	Avslag	fragment	flint	114	87	SV	1
356	2	Avslag		flint	114	87	SØ	1
357	5	Avslag	fragment	flint	114	87	SØ	1

358	1	Flekke	mikroflekke	flint	114	87	SØ	1
359	1	Kjerne	bipolar kjerne	bergkrystall	114	87	SØ	1
360	4	Avslag		flint	114	87	NV	1
361	9	Avslag	fragment	flint	114	87	NV	1
362	1	Flekke	makroflekke	flint	114	87	NV	1
366	1	Flekke	medioflekke	flint	115	87	SV	1
363	1	Avslag		flint	115	87	SV	1
364	9	Avslag	fragment	flint	115	87	SV	1
365	1	Kjerne	bipolar kjerne	flint	115	87	SV	1
367	5	Avslag		flint	115	87	SØ	1
368	7	Avslag	fragment	flint	115	87	SØ	1
369	1	Avslag	fragment	flint	115	87	SØ	1
370	1	Flekke	makroflekke	flint	115	87	SØ	1
371	1	Avslag		flint	115	87	NV	1
372	5	Avslag	fragment	flint	115	87	NV	1
373	1	Flekke	medioflekke	flint	115	87	NV	1
374	1	Avslag	fragment	flint	115	87	NØ	1
375	1	Kjernefragment	bipolart kjernefragment	flint	115	87	NØ	1
376	9	Avslag	fragment	flint	116	87	SV	1
377	1	Kjerne	ubestemt kjerne	flint	116	87	SV	1
378	1	Avslag	fragment	bergkrystall	116	87	SV	1
379	1	Avslag	fragment	kvarts	116	87	SV	1
380	3	Avslag		flint	116	87	SØ	1
381	10	Avslag	fragment	flint	116	87	SØ	1
382	6	Avslag		flint	116	87	NV	1
383	16	Avslag	fragment	flint	116	87	NV	1
384	1	Kjerne	bipolar kjerne	flint	116	87	NV	1
385	1	Avslag		flint	116	87	NØ	1
386	7	Avslag	fragment	flint	116	87	NØ	1
387	1	Kjerne	bipolar kjerne	flint	116	87	NØ	1
388	1	Kjerne	bipolar kjerne	flint	116	87	NØ	1
389	1	Avslag	fragment	jaspis	116	87	NØ	1
394	1	Diagnostisk avslag	flekkelignende avslag	flint	117	87	SV	1
391	2	Avslag		flint	117	87	SV	1
392	50	Avslag	fragment	flint	117	87	SV	1
393	1	Flekke	makroflekke	flint	117	87	SV	1
398	1	Flekke	mikroflekke	flint	117	87	SØ	1
395	4	Avslag		flint	117	87	SØ	1
396	30	Avslag	fragment	flint	117	87	SØ	1
397	1	Kjernefragment	bipolart kjernefragment	flint	117	87	SØ	1
399	1	Flekke	mikroflekke	flint	117	87	SØ	1
400	1	Flekke	mikroflekke	flint	117	87	SØ	1
401	1	Flekke	mikroflekke	flint	117	87	SØ	1
402	1	Flekke	mikroflekke	flint	117	87	SØ	1
403	1	Flekke	mikroflekke	flint	117	87	SØ	1
404	2	Avslag		flint	117	87	NV	1
405	27	Avslag	fragment	flint	117	87	NV	1

406	1	Kjerne	bipolar kjerne	flint	117	87	NV	1
407	1	Flekke	makroflekke	flint	117	87	NV	1
408	1	Flekke	mikroflekke	flint	117	87	NV	1
409	1	Flekke	mikroflekke	flint	117	87	NV	1
410	1	Flekke	mikroflekke	flint	117	87	NV	1
411	1	Flekke	mikroflekke	kvarts	117	87	NV	1
419	1	Flekke	mikroflekke	flint	118	87	SV	1
416	13	Avslag	fragment	flint	118	87	SV	1
417	1	Kjerne	bipolar kjerne	flint	118	87	SV	1
418	1	Flekke	mikroflekke	flint	118	87	SV	1
420	1	Flekke	mikroflekke	flint	118	87	SV	1
412	6	Avslag		flint	117	87	NØ	1
413	15	Avslag	fragment	flint	117	87	NØ	1
414	1	Kjerne	ubestemt kjerne	flint	117	87	NØ	1
415	1	Flekke	mikroflekke	flint	117	87	NØ	1
421	1	Avslag		flint	118	87	SØ	1
422	5	Avslag	fragment	flint	118	87	SØ	1
423	1	Kjerne	bipolar kjerne	flint	118	87	SØ	1
424	1	Kjerne	bipolar kjerne	flint	118	87	SØ	1
425	1	Flekke	mikroflekke	flint	118	87	SØ	1
426	2	Avslag		flint	118	87	NV	1
427	7	Avslag	fragment	flint	118	87	NV	1
429	10	Avslag	fragment	flint	118	87	NØ	1
428	2	Avslag		flint	118	87	NØ	1
430	1	Kjerne	bipolar kjerne	flint	118	87	NØ	1
431	1	Borspiss	ubestemt borspiss	flint	118	87	NØ	1
432	1	Avslag		flint	114	88	SV	1
433	15	Avslag	fragment	flint	114	88	SV	1
434	1	Kjerne	ubestemt kjerne	flint	114	88	SV	1
435	4	Avslag		flint	114	88	SØ	1
436	5	Avslag	fragment	flint	114	88	SØ	1
437	1	Flekke	mikroflekke	flint	114	88	SØ	1
438	2	Avslag		flint	114	88	NV	1
439	8	Avslag	fragment	flint	114	88	NV	1
440	1	Flekke	medioflekke	flint	114	88	NV	1
441	2	Avslag		flint	114	88	NØ	1
442	11	Avslag	fragment	flint	114	88	NØ	1
443	1	Kjerne	bipolar kjerne	flint	114	88	NØ	1
444	1	Flekke	medioflekke	flint	114	88	NØ	1
445	2	Avslag		flint	115	88	SV	1
446	6	Avslag	fragment	flint	115	88	SV	1
447	1	Flekke	medioflekke	flint	115	88	SV	1
448	1	Flekke	mikroflekke	flint	115	88	SV	1
449	5	Avslag		flint	115	88	SØ	1
452	1	Flekke	mikroflekke	flint	115	88	NV	1
450	1	Avslag		flint	115	88	NV	1
451	3	Avslag	fragment	flint	115	88	NV	1
453	1	Avslag	fragment	bergart	115	88	NV	1
454	3	Avslag		flint	115	88	NØ	1

455	10	Avslag	fragment	flint	115	88	NØ	1
456	1	Avslag	fragment	kvartsitt	115	88	NØ	1
457	1	Avslag	fragment	bergkrystall	115	88	NØ	1
458	1	Avslag		flint	116	88	SV	1
459	8	Avslag	fragment	flint	116	88	SV	1
460	1	Flekke	makroflekke	flint	116	88	SV	1
461	1	Avslag		kvarts	116	88	SV	1
462	2	Avslag	fragment	bergkrystall	116	88	SV	1
463	1	Avslag		flint	116	88	SØ	1
464	12	Avslag	fragment	flint	116	88	SØ	1
465	1	Avslag		flint	116	88	NV	1
466	13	Avslag	fragment	flint	116	88	NV	1
467	1	Avslag	fragment	flint	116	88	NV	1
468	1	Avslag	fragment	flint	116	88	NV	1
469	1	Kjerne	bipolar kjerne	flint	116	88	NV	1
470	2	Avslag		flint	116	88	NØ	1
471	11	Avslag	fragment	flint	116	88	NØ	1
472	1	Flekke	mikroflekke	flint	116	88	NØ	1
473	1	Flekke	mikroflekke	flint	116	88	NØ	1
474	1	Flekke	mikroflekke	flint	116	88	NØ	1
475	1	Diagnostisk avslag	flekkelignende avslag	flint	116	88	NØ	1
476	1	Diagnostisk avslag	flekkelignende avslag	flint	116	88	NØ	1
477	1	Kjerne	bipolar kjerne	bergkrystall	116	88	NØ	1
478	4	Avslag		flint	117	88	SV	1
479	14	Avslag	fragment	flint	117	88	SV	1
480	1	Avslag	fragment	flint	117	88	SV	1
481	1	Flekke	mikroflekke	flint	117	88	SV	1
485	1	Diagnostisk avslag	cortexflekke	flint	117	88	SØ	1
482	3	Avslag		flint	117	88	SØ	1
483	24	Avslag	fragment	flint	117	88	SØ	1
484	1	Kjerne	bipolar kjerne	flint	117	88	SØ	1
486	2	Avslag		flint	117	88	NV	1
487	20	Avslag	fragment	flint	117	88	NV	1
488	1	Kjerne	bipolar kjerne	flint	117	88	NV	1
489	1	Flekke	mikroflekke	flint	117	88	NV	1
490	1	Avslag		flint	117	88	NØ	1
491	17	Avslag	fragment	flint	117	88	NØ	1
492	1	Flekke	medioflekke	flint	117	88	NØ	1
493	1	Flekke	mikroflekke	flint	117	88	NØ	1
494	1	Stikkel	kantstikkel	flint	117	88	NØ	1
495	1	Diagnostisk avslag	avslag av slipt gjenstand	bergart	117	88	NØ	1
496	14	Avslag	fragment	flint	118	88	SV	1
497	1	Kjerne	bipolar kjerne	flint	118	88	SV	1
501	1	Kjerne	bipolar kjerne	flint	118	88	SØ	1
498	1	Avslag		flint	118	88	SØ	1
499	9	Avslag	fragment	flint	118	88	SØ	1
500	1	Kjerne	bipolar kjerne	flint	118	88	SØ	1

502	1	Avslag		flint	118	88	NV	1
503	6	Avslag	fragment	flint	118	88	NV	1
504	1	Kjernefragment	bipolart kjernefragment	flint	118	88	NV	1
505	1	Flekke	mikroflekke	flint	118	88	NV	1
506	1	Flekke	mikroflekke	flint	118	88	NV	1
507	5	Avslag		flint	118	88	NØ	1
508	15	Avslag	fragment	flint	118	88	NØ	1
509	1	Kjerne	bipolar kjerne	flint	118	88	NØ	1
510	1	Kjerne	bipolar kjerne	flint	118	88	NØ	1
511	1	Flekke	makroflekke	flint	118	88	NØ	1
512	1	Flekke	mikroflekke	flint	118	88	NØ	1
516	1	Diagnostisk avslag	flekkelignende avslag	flint	119	88	SV	1
513	3	Avslag		flint	119	88	SV	1
514	14	Avslag	fragment	flint	119	88	SV	1
515	1	Kjerne	bipolar kjerne	flint	119	88	SV	1
517	4	Avslag		flint	119	88	SØ	1
518	11	Avslag	fragment	flint	119	88	SØ	1
519	1	Flekke	medioflekke	flint	119	88	SØ	1
520	1	Flekke	mikroflekke	flint	119	88	SØ	1
521	1	Flekke	mikroflekke	flint	119	88	SØ	1
522	1	Avslag		kvartsitt	119	88	SØ	1
523	6	Avslag		flint	119	88	NV	1
524	30	Avslag	fragment	flint	119	88	NV	1
525	1	Avslag	medioavslag	flint	119	88	NV	1
526	1	Avslag	medioavslag	flint	119	88	NV	1
527	1	Avslag	medioavslag	flint	119	88	NV	1
528	1	Flekke	mikroflekke	flint	119	88	NV	1
529	1	Flekke	mikroflekke	flint	119	88	NV	1
530	1	Borspiss	borspiss på flekke	flint	119	88	NV	1
531	1	Knoll		flint	119	88	NV	1
535	1	Kjernefragment	bipolart kjernefragment	flint	119	88	NØ	1
532	7	Avslag		flint	119	88	NØ	1
533	30	Avslag	fragment	flint	119	88	NØ	1
534	1	Avslag	medioavslag	flint	119	88	NØ	1
536	1	Flekke	medioflekke	flint	119	88	NØ	1
537	1	Flekke	mikroflekke	flint	119	88	NØ	1
538	1	Flekke	mikroflekke	flint	119	88	NØ	1
542	1	Kjernefragment	ubestemt kjernefragment	flint	114	89	SV	1
539	4	Avslag		flint	114	89	SV	1
540	11	Avslag	fragment	flint	114	89	SV	1
541	1	Kjernefragment	bipolart kjernefragment	flint	114	89	SV	1
543	1	Flekke	makroflekke	flint	114	89	SV	1
544	1	Avslag		flint	114	89	NV	1
545	13	Avslag	fragment	flint	114	89	NV	1
546	1	Flekke	mikroflekke	flint	114	89	NV	1
547	6	Avslag	fragment	flint	115	89	SV	1

548	2	Avslag		flint	115	89	NV	1
549	3	Avslag	fragment	flint	115	89	NV	1
550	1	Avslag		flint	116	89	SV	1
551	4	Avslag	fragment	flint	116	89	SV	1
552	1	Avslag	fragment	flint	116	89	SV	1
553	4	Avslag		flint	116	89	NV	1
554	22	Avslag	fragment	flint	116	89	NV	1
555	1	Flekke	medioflekke	flint	116	89	NV	1
557	1	Diagnostisk avslag	flekkelignende avslag	flint	116	89	NV	1
556	1	Flekke	mikroflekke	flint	116	89	NV	1
558	2	Avslag		flint	117	89	SV	1
559	14	Avslag	fragment	flint	117	89	SV	1
560	1	Flekke	mikroflekke	flint	117	89	SV	1
561	1	Flekke	mikroflekke	flint	117	89	SV	1
562	12	Avslag	fragment	flint	117	89	NV	1
563	1	Avslag	fragment	flint	117	89	NV	1
564	1	Kjernefragment	bipolar kjernefragment	flint	117	89	NV	1
565	2	Avslag		flint	118	89	SV	1
566	12	Avslag	fragment	flint	118	89	SV	1
567	1	Kjerne	ubestemt kjerne	flint	118	89	SV	1
571	1	Kernefragment	bipolar kjernefragment	flint	118	89	NV	1
568	2	Avslag		flint	118	89	NV	1
569	13	Avslag	fragment	flint	118	89	NV	1
570	1	Avslag	fragment	flint	118	89	NV	1
572	1	Flekke	makroflekke	flint	118	89	NV	1
573	1	Flekke	mikroflekke	flint	118	89	NV	1
574	1	Flekke	mikroflekke	flint	118	89	NV	1
575	1	Avslag	medioavslag	bergkrystall	118	89	NV	1
577	1	Flekke	mikroflekke	flint	119	89	SV	1
576	6	Avslag	fragment	flint	119	89	SV	1
578	3	Avslag		flint	119	89	NV	1
579	8	Avslag	fragment	flint	119	89	NV	1
580	1	Avslag	fragment	flint	119	89	NV	1
581	1	Kjerne	bipolar kjerne	flint	119	89	NV	1
582	1	Kjerne	bipolar kjerne	flint	119	89	NV	1
583	1	Kjerne	bipolar kjerne	flint	119	89	NV	1
584	1	Avslag	fragment	flint	114	90	SV	1
585	1	Avslag	fragment	flint	114	90	SØ	1
586	1	Flekke	makroflekke	flint	114	90	SØ	1
587	9	Avslag	fragment	flint	114	90	NV	1
588	1	Flekke	mikroflekke	flint	114	90	NV	1
589	1	Avslag		flint	114	90	NØ	1
590	2	Avslag	fragment	flint	114	90	NØ	1
591	1	Avslag	fragment	flint	114	90	NØ	1
592	1	Avslag		flint	115	90	SV	1
593	9	Avslag	fragment	flint	115	90	SV	1
594	1	Kjerne	bipolar kjerne	flint	115	90	SV	1

595	2	Avslag		flint	115	90	SØ	1
596	3	Avslag	fragment	flint	115	90	SØ	1
597	1	Kjerne	bipolar kjerne	flint	115	90	SØ	1
598	1	Kjernefragment	bipolart kjernefragment	flint	115	90	SØ	1
599	1	Avslag		flint	115	90	NV	1
600	3	Avslag	fragment	flint	115	90	NV	1
601	1	Kjerne	bipolar kjerne	flint	115	90	NV	1
602	3	Avslag	fragment	flint	115	90	NØ	1
603	1	Avslag	medioavslag	flint	115	90	NØ	1
604	2	Avslag		flint	116	90	NV	1
605	17	Avslag	fragment	flint	116	90	NV	1
609	1	Kjernefragment	bipolart kjernefragment	flint	116	90	NV	1
606	1	Avslag	makroavslag	flint	116	90	NV	1
607	1	Kjerne	bipolar kjerne	flint	116	90	NV	1
608	1	Kjerne	bipolar kjerne	flint	116	90	NV	1
610	1	Flekke	mikroflekke	flint	116	90	NV	1
611	1	Flekke	mikroflekke	flint	116	90	NV	1
612	1	Avslag		flint	116	90	NØ	1
613	5	Avslag	fragment	flint	116	90	NØ	1
614	3	Avslag		flint	117	90	SV	1
615	3	Avslag	fragment	flint	117	90	SV	1
616	1	Flekke	medioflekke	flint	117	90	SV	1
617	4	Avslag	fragment	flint	117	90	SØ	1
618	10	Avslag	fragment	flint	117	90	NV	1
619	1	Kjerne	bipolar kjerne	flint	117	90	NV	1
620	1	Kjernefragment	bipolart kjernefragment	flint	117	90	NV	1
624	1	Flekke	medioflekke	flint	117	90	NØ	1
621	3	Avslag		flint	117	90	NØ	1
622	8	Avslag	fragment	flint	117	90	NØ	1
623	1	Kjerne	bipolar kjerne	flint	117	90	NØ	1
625	1	Flekke	mikroflekke	flint	117	90	NØ	1
626	1	Flekke	mikroflekke	flint	117	90	NØ	1
627	1	Avslag		flint	118	90	SV	1
628	12	Avslag	fragment	flint	118	90	SV	1
629	1	Kjerne	ubestemt kjerne	flint	118	90	SV	1
630	1	Flekke	mikroflekke	flint	118	90	SV	1
631	1	Avslag		flint	118	90	SØ	1
632	2	Avslag	fragment	flint	118	90	SØ	1
633	1	Flekke	medioflekke	flint	118	90	SØ	1
634	1	Flekke	mikroflekke	flint	118	90	SØ	1
635	8	Avslag	fragment	flint	118	90	NV	1
636	1	Flekke	medioflekke	flint	118	90	NV	1
637	1	Avslag		bergkrystall	118	90	NV	1
638	1	Avslag		flint	118	90	NØ	1
639	10	Avslag	fragment	flint	118	90	NØ	1
640	1	Slipestein	pimpstein med brukspor	pimpstein	118	90	NØ	1
644	1	Flekke	medioflekke	flint	119	90	SV	1

641	2	Avslag		flint	119	90	SV	1
642	16	Avslag	fragment	flint	119	90	SV	1
643	1	Kjerne	bipolar kjerne	flint	119	90	SV	1
645	1	Flekke	mikroflekke	flint	119	90	SV	1
646	1	Flekke	mikroflekke	flint	119	90	SV	1
647	1	Flekke	mikroflekke	flint	119	90	SV	1
648	2	Avslag		flint	119	90	SØ	1
649	18	Avslag	fragment	flint	119	90	SØ	1
650	1	Flekke	mikroflekke	flint	119	90	SØ	1
651	1	Borspiss	borspiss på flikke	flint	119	90	SØ	1
652	1	Avslag		bergart	119	90	SØ	1
653	12	Avslag	fragment	flint	119	90	NV	1
654	1	Kjernefragment	bipolart kjernefragment	flint	119	90	NV	1
655	1	Skraper	endeskrapere	flint	119	90	NV	1
656	1	Avslag		flint	119	90	NØ	1
657	17	Avslag	fragment	flint	119	90	NØ	1
658	1	Flekke	mikroflekke	flint	119	90	NØ	1
659	1	Avslag		flint	114	91	SV	1
660	3	Avslag	fragment	flint	114	91	SV	1
661	1	Kjerne	bipolar kjerne	flint	114	91	SV	1
662	1	Diagnostisk avslag	flekkelignende avslag	flint	114	91	SV	1
663	1	Kjerne	ubestemt kjerne	kvarts	114	91	SV	1
664	1	Kjerne	bipolar kjerne	bergkrystall	114	91	SV	1
665	1	Avslag	medioavslag	flint	114	91	SØ	1
666	13	Avslag	fragment	flint	114	91	SØ	1
667	1	Flekke	makroflekke	flint	114	91	SØ	1
668	1	Flekke	mikroflekke	flint	114	91	SØ	1
671	1	Flekke	mikroflekke	flint	114	91	NV	1
669	1	Avslag		flint	114	91	NV	1
670	3	Avslag	fragment	flint	114	91	NV	1
672	5	Avslag	fragment	flint	114	91	NØ	1
673	1	Avslag	fragment	flint	115	91	SV	1
674	1	Flekke	mikroflekke	flint	115	91	SV	1
675	2	Avslag		flint	115	91	SØ	1
676	2	Avslag	fragment	flint	115	91	SØ	1
677	1	Avslag		flint	115	91	NV	1
678	9	Avslag	fragment	flint	115	91	NV	1
679	1	Flekke	makroflekke	flint	115	91	NV	1
680	1	Flekke	mikroflekke	flint	115	91	NV	1
681	2	Avslag	fragment	flint	115	91	NØ	1
682	2	Avslag	fragment	flint	116	91	NV	1
683	1	Avslag		flint	116	91	NØ	1
684	2	Avslag	fragment	flint	116	91	NØ	1
685	1	Flekke	medioflekke	flint	116	91	NØ	1
686	1	Flekke	mikroflekke	flint	116	91	NØ	1
687	1	Avslag	fragment	flint	116	91	NØ	1
688	1	Avslag		flint	117	91	SV	1
689	6	Avslag	fragment	flint	117	91	SV	1

690	5	Avslag	fragment	flint	117	91	SØ	1
691	5	Avslag	fragment	flint	117	91	NV	1
692	1	Flekke	mikroflekke	flint	117	91	NV	1
693	1	Avslag		flint	117	91	NØ	1
694	5	Avslag	fragment	flint	117	91	NØ	1
695	1	Kjernefragment	bipolart kjernefragment	flint	117	91	NØ	1
696	1	Diagnostisk avslag	flekkelignende avslag	flint	117	91	NØ	1
697	2	Avslag		flint	118	91	SV	1
698	9	Avslag	fragment	flint	118	91	SV	1
699	1	Flekke	makroflekke	flint	118	91	SV	1
700	1	Flekke	medioflekke	flint	118	91	SV	1
701	2	Avslag		flint	118	91	SØ	1
702	29	Avslag	fragment	flint	118	91	SØ	1
706	1	Flekke	makroflekke	flint	118	91	SØ	1
703	1	Kjerne	bipolar kjerne	flint	118	91	SØ	1
704	1	Kjerne	bipolar kjerne	flint	118	91	SØ	1
705	1	Kjernefragment	bipolart kjernefragment	flint	118	91	SØ	1
707	1	Flekke	mikroflekke	flint	118	91	SØ	1
708	1	Flekke	mikroflekke	flint	118	91	SØ	1
709	1	Flekke	mikroflekke	flint	118	91	SØ	1
710	1	Avslag	fragment	bergkrystall	118	91	SØ	1
711	1	Knakkestein		bergart	118	91	SØ	1
712	14	Avslag	fragment	flint	118	91	NV	1
713	1	Avslag	medioavslag	flint	118	91	NV	1
714	1	Kjerne	bipolar kjerne	flint	118	91	NV	1
715	1	Kjerne	bipolar kjerne	flint	118	91	NV	1
716	1	Kjerne	bipolar kjerne	flint	118	91	NV	1
717	3	Avslag		flint	118	91	NØ	1
718	20	Avslag	fragment	flint	118	91	NØ	1
719	1	Kjerne	bipolar kjerne	flint	118	91	NØ	1
720	1	Flekke	mikroflekke	flint	118	91	NØ	1
721	1	Slipestein	pimpstein med brukspor	pimpstein	118	91	NØ	1
723	38	Avslag	fragment	flint	119	91	SV	1
722	4	Avslag		flint	119	91	SV	1
724	1	Kjernefragment	ubestemt kjernefragment	flint	119	91	SV	1
725	1	Flekke	mikroflekke	flint	119	91	SV	1
726	1	Flekke	mikroflekke	flint	119	91	SV	1
727	1	Flekke	mikroflekke	flint	119	91	SV	1
728	1	Diagnostisk avslag	flekkelignende avslag	flint	119	91	SV	1
729	1	Flekke	mikroflekke	kvarts	119	91	SV	1
730	1	Avslag		flint	119	91	SØ	1
731	39	Avslag	fragment	flint	119	91	SØ	1
732	1	Avslag	fragment	flint	119	91	SØ	1
733	1	Kjerne	håndtakskjerner	flint	119	91	SØ	1
734	1	Kjerne	bipolar kjerne	flint	119	91	SØ	1

735	1	Kjerne	bipolar kjerne	flint	119	91	SØ	1
736	1	Flekke	mikroflekke	flint	119	91	SØ	1
737	1	Flekke	mikroflekke	flint	119	91	SØ	1
738	1	Avslag	fragment	jaspis	119	91	SØ	1
742	1	Kjerne	bipolar kjerne	flint	119	91	NV	1
739	1	Avslag		flint	119	91	NV	1
740	17	Avslag	fragment	flint	119	91	NV	1
741	1	Kjerne	bipolar kjerne	flint	119	91	NV	1
743	1	Flekke	mikroflekke	flint	119	91	NV	1
744	1	Avslag	fragment	jaspis	119	91	NV	1
745	2	Avslag		flint	119	91	NØ	1
746	20	Avslag	fragment	flint	119	91	NØ	1
747	1	Kjernefragment	ubestemt kjernefragment	flint	119	91	NØ	1
748	1	Kjerne	bipolar kjerne	flint	119	91	NØ	1
749	1	Flekke	mikroflekke	flint	119	91	NØ	1
750	1	Flekke	mikroflekke	flint	119	91	NØ	1
751	1	Flekke	mikroflekke	flint	119	91	NØ	1
752	1	Prepareringsavs lag	plattformavslag	flint	119	91	NØ	1
753	10	Avslag	fragment	flint	114	92	SV	1
754	1	Avslag		kvarts	114	92	SV	1
755	15	Avslag	fragment	flint	114	92	SØ	1
756	1	Avslag		kvarts	114	92	SØ	1
757	1	Avslag		flint	114	92	NV	1
758	7	Avslag	fragment	flint	114	92	NV	1
759	15	Avslag	fragment	flint	114	92	NØ	1
760	1	Kjerne	bipolar kjerne	flint	114	92	NØ	1
761	1	Kjernefragment	bipolart kjernefragment	flint	114	92	NØ	1
762	1	Borspiss	borspiss på flekke	flint	114	92	NØ	1
766	1	Kjerne	bipolar kjerne	flint	115	92	SV	1
763	3	Avslag		flint	115	92	SV	1
764	21	Avslag	fragment	flint	115	92	SV	1
765	1	Kjernefragment	bipolart kjernefragment	flint	115	92	SV	1
767	1	Kjerne	bipolar kjerne	flint	115	92	SV	1
768	1	Kjerne	bipolar kjerne	flint	115	92	SV	1
769	1	Flekke	mikroflekke	flint	115	92	SV	1
770	1	Diagnostisk avslag	flekkelignende avslag	flint	115	92	SV	1
771	1	Avslag	fragment	kvarts	115	92	SV	1
772	1	Avslag	fragment	bergkrystall	115	92	SV	1
776	1	Kjernefragment	ubestemt kjernefragment	flint	115	92	SØ	1
773	14	Avslag	fragment	flint	115	92	SØ	1
774	1	Kjerne	bipolar kjerne	flint	115	92	SØ	1
775	1	Kjernefragment	bipolart kjernefragment	flint	115	92	SØ	1
777	1	Flekke	mikroflekke	flint	115	92	SØ	1
778	1	Diagnostisk avslag	flekkelignende avslag	flint	115	92	SØ	1

779	1	Diagnostisk avslag	flekkelignende avslag	flint	115	92	SØ	1
780	2	Avslag	fragment	flint	115	92	NV	1
781	1	Avslag		flint	115	92	NV	1
782	11	Avslag	fragment	flint	115	92	NV	1
783	1	Kjernefragment	bipolart kjernefragment	flint	115	92	NV	1
784	3	Avslag	fragment	flint	116	92	NV	1
785	1	Kjerne	bipolar kjerne	flint	116	92	NV	1
786	1	Diagnostisk avslag	flekkelignende avslag	flint	116	92	NV	1
787	2	Avslag	fragment	flint	116	92	NØ	1
788	1	Kjerne	bipolar kjerne	flint	116	92	NØ	1
789	1	Diagnostisk avslag	flekkelignende avslag	flint	116	92	NØ	1
790	1	Avslag		flint	117	92	SV	1
791	3	Avslag	fragment	flint	117	92	SV	1
792	1	Kjernefragment	bipolart kjernefragment	flint	117	92	SV	1
793	3	Avslag	fragment	flint	117	92	SØ	1
794	12	Avslag	fragment	flint	117	92	NV	1
796	1	Diagnostisk avslag	flekkelignende avslag	flint	117	92	NV	1
795	1	Kjerne	bipolar kjerne	flint	117	92	NV	1
797	24	Avslag	fragment	flint	117	92	NØ	1
798	1	Avslag	medioavslag	flint	117	92	NØ	1
799	1	Kjerne	bipolar kjerne	flint	117	92	NØ	1
800	1	Flekke	medioflekke	flint	117	92	NØ	1
801	1	Flekke	mikroflekke	flint	117	92	NØ	1
802	1	Flekke	mikroflekke	flint	117	92	NØ	1
803	1	Flekke	mikroflekke	flint	117	92	NØ	1
804	1	Avslag		flint	118	92	SV	1
805	26	Avslag	fragment	flint	118	92	SV	1
806	1	Kjerne	bipolar kjerne	flint	118	92	SV	1
807	1	Kjernefragment	bipolart kjernefragment	flint	118	92	SV	1
808	1	Diagnostisk avslag	flekkelignende avslag	flint	118	92	SV	1
809	1	Avslag		flint	118	92	SØ	1
810	11	Avslag	fragment	flint	118	92	SØ	1
811	1	Kjerne	bipolar kjerne	flint	118	92	SØ	1
812	1	Kjerne	bipolar kjerne	flint	118	92	SØ	1
813	1	Flekke	medioflekke	flint	118	92	SØ	1
814	1	Diagnostisk avslag	flekkelignende avslag	flint	118	92	SØ	1
815	1	Borspiss	borspiss på flekke	flint	118	92	SØ	1
816	1	Avslag		flint	118	92	NV	1
817	15	Avslag	fragment	flint	118	92	NV	1
818	1	Kjerne	bipolar kjerne	flint	118	92	NV	1
819	1	Kjernefragment	bipolart kjernefragment	flint	118	92	NV	1
820	1	Kjernefragment	bipolart kjernefragment	flint	118	92	NV	1

821	1	Kjernefragment	ubestemt kjernefragment	flint	118	92	NV	1
823	17	Avslag	fragment	flint	118	92	NØ	1
822	2	Avslag		flint	118	92	NØ	1
827	1	Kjernefragment	bipolart kjernefragment	flint	118	92	NØ	1
824	1	Kjerne	bipolar kjerne	flint	118	92	NØ	1
825	1	Kjerne	bipolar kjerne	flint	118	92	NØ	1
826	1	Kjerne	bipolar kjerne	flint	118	92	NØ	1
828	1	Flekke	makroflekke	flint	118	92	NØ	1
829	1	Mikrolitt	lansettmikrolitt	flint	118	92	NØ	1
830	4	Avslag		flint	119	92	SV	1
831	60	Avslag	fragment	flint	119	92	SV	1
832	1	Flekke	mikroflekke	flint	119	92	SV	1
833	1	Diagnostisk avslag	flekkelignende avslag	flint	119	92	SV	1
834	1	Diagnostisk avslag	flekkelignende avslag	flint	119	92	SV	1
835	1	Borspiss	borspiss på flikke	flint	119	92	SV	1
836	2	Avslag		flint	119	92	SØ	1
837	36	Avslag	fragment	flint	119	92	SØ	1
838	1	Kjerne	bipolar kjerne	flint	119	92	SØ	1
839	1	Kjernefragment	bipolart kjernefragment	flint	119	92	SØ	1
840	1	Kjernefragment	bipolart kjernefragment	flint	119	92	SØ	1
841	1	Kjernefragment	bipolart kjernefragment	flint	119	92	SØ	1
842	1	Kjernefragment	ubestemt kjernefragment	flint	119	92	SØ	1
843	1	Flekke	makroflekke	flint	119	92	SØ	1
844	1	Avslag	fragment	kvarts	119	92	SØ	1
848	1	Flekke	mikroflekke	flint	119	92	NV	1
845	3	Avslag		flint	119	92	NV	1
846	43	Avslag	fragment	flint	119	92	NV	1
847	1	Kjernefragment	bipolart kjernefragment	flint	119	92	NV	1
849	1	Slipestein	pimpstein med bruksspor	pimpstein	119	92	NV	1
850	2	Avslag		flint	119	92	NØ	1
851	20	Avslag	fragment	flint	119	92	NØ	1
852	1	Kjerne	bipolar kjerne	flint	119	92	NØ	1
853	1	Flekke	mikroflekke	flint	119	92	NØ	1
854	1	Avslag	fragment	kvarts	119	92	NØ	1
855	20	Avslag	fragment	flint	114	93	SV	1
856	1	Avslag	fragment	flint	114	93	SV	1
857	1	Flekke	mikroflekke	flint	114	93	SV	1
858	1	Avslag		flint	114	93	SØ	1
859	9	Avslag	fragment	flint	114	93	SØ	1
860	1	Kjerne	bipolar kjerne	flint	114	93	SØ	1
861	1	Kjerne	bipolar kjerne	flint	114	93	SØ	1
862	3	Avslag		flint	114	93	NV	1
866	1	Avslag		bergkrystall	114	93	NV	1

863	17	Avslag	fragment	flint	114	93	NV	1
864	1	Diagnostisk avslag	flekkelignende avslag	flint	114	93	NV	1
865	1	Diagnostisk avslag	flekkelignende avslag	flint	114	93	NV	1
870	1	Flekke	mikroflekke	flint	114	93	NØ	1
867	1	Avslag		flint	114	93	NØ	1
868	11	Avslag	fragment	flint	114	93	NØ	1
869	1	Avslag	medioavslag	flint	114	93	NØ	1
871	1	Diagnostisk avslag	flekkelignende avslag	flint	114	93	NØ	1
872	1	Diagnostisk avslag	flekkelignende avslag	flint	114	93	NØ	1
875	1	Avslag		bergkrystall	115	93	SV	1
873	1	Avslag		flint	115	93	SV	1
874	4	Avslag	fragment	flint	115	93	SV	1
876	1	Avslag		flint	115	93	SØ	1
877	8	Avslag	fragment	flint	115	93	SØ	1
878	1	Kjerne	bipolar kjerne	flint	115	93	SØ	1
879	1	Kjerne	ubestemt kjerne	flint	115	93	SØ	1
880	1	Kjernefragment	bipolart kjernefragment	flint	115	93	SØ	1
881	1	Flekke	mikroflekke	kvarts	115	93	SØ	1
882	7	Avslag	fragment	flint	115	93	NV	1
883	1	Avslag		kvarts	115	93	NV	1
884	7	Avslag	fragment	flint	115	93	NØ	1
885	1	Kjerne	bipolar kjerne	flint	115	93	NØ	1
886	1	Kjerne	bipolar kjerne	flint	115	93	NØ	1
887	1	Avslag	fragment	bergkrystall	115	93	NØ	1
888	1	Avslag	fragment	flint	116	93	NV	1
889	1	Avslag		flint	116	93	NØ	1
890	6	Avslag	fragment	flint	116	93	NØ	1
891	1	Diagnostisk avslag	cortexflekke	flint	116	93	NØ	1
895	1	Flekke	makroflekke	flint	117	93	SV	1
892	1	Avslag		flint	117	93	SV	1
893	17	Avslag	fragment	flint	117	93	SV	1
894	1	Kjernefragment	bipolart kjernefragment	flint	117	93	SV	1
896	1	Flekke	mikroflekke	flint	117	93	SV	1
897	1	Flekke	mikroflekke	flint	117	93	SV	1
898	2	Avslag		flint	117	93	SØ	1
899	23	Avslag	fragment	flint	117	93	SØ	1
900	1	Flekke	makroflekke	flint	117	93	SØ	1
901	1	Avslag		flint	117	93	NV	1
902	17	Avslag	fragment	flint	117	93	NV	1
903	1	Kjerne	ubestemt kjerne	flint	117	93	NV	1
904	1	Kjerne	bipolar kjerne	flint	117	93	NV	1
905	1	Kjernefragment	bipolart kjernefragment	flint	117	93	NV	1
906	1	Flekke	makroflekke	flint	117	93	NV	1

907	1	Diagnostisk avslag	flekkelignende avslag	flint	117	93	NV	1
908	1	Diagnostisk avslag	flekkelignende avslag	flint	117	93	NV	1
909	1	Avslag	fragment	kvarts	117	93	NV	1
910	2	Avslag		flint	117	93	NØ	1
911	10	Avslag	fragment	flint	117	93	NØ	1
912	1	Avslag	fragment	flint	117	93	NØ	1
913	1	Kjerne	bipolar kjerne	flint	117	93	NØ	1
917	1	Kjernefragment	bipolart kjernefragment	flint	118	93	SV	1
914	5	Avslag		flint	118	93	SV	1
915	27	Avslag	fragment	flint	118	93	SV	1
916	1	Kjerne	bipolar kjerne	flint	118	93	SV	1
918	1	Kjernefragment	ubestemt kjernefragment	flint	118	93	SV	1
919	1	Flekke	mikroflekke	flint	118	93	SV	1
920	1	Flekke	mikroflekke	flint	118	93	SV	1
921	1	Diagnostisk avslag	flekkelignende avslag	flint	118	93	SV	1
922	1	Diagnostisk avslag	flekkelignende avslag	flint	118	93	SV	1
923	1	Avslag	fragment	kvarts	118	93	SV	1
924	1	Flekke	mikroflekke	kvarts	118	93	SV	1
925	1	Avslag		flint	118	93	SØ	1
926	10	Avslag	fragment	flint	118	93	SØ	1
927	1	Avslag		flint	118	93	NV	1
928	61	Avslag	fragment	flint	118	93	NV	1
929	1	Flekke	mikroflekke	flint	118	93	NV	1
930	1	Diagnostisk avslag	flekkelignende avslag	flint	118	93	NV	1
931	1	Avslag		kvarts	118	93	NV	1
932	5	Avslag		flint	118	93	NØ	1
933	23	Avslag	fragment	flint	118	93	NØ	1
934	1	Kjerne	bipolar kjerne	flint	118	93	NØ	1
935	1	Kjernefragment	bipolart kjernefragment	flint	118	93	NØ	1
936	4	Avslag		flint	119	93	SV	1
937	29	Avslag	fragment	flint	119	93	SV	1
938	1	Kjerne	bipolar kjerne	flint	119	93	SV	1
939	1	Kjernefragment	bipolart kjernefragment	flint	119	93	SV	1
943	1	Borspiss	borspiss på flekke	flint	119	93	SV	1
940	1	Kjernefragment	ubestemt kjernefragment	flint	119	93	SV	1
941	1	Diagnostisk avslag	flekkelignende avslag	flint	119	93	SV	1
942	1	Diagnostisk avslag	flekkelignende avslag	flint	119	93	SV	1
945	30	Avslag	fragment	flint	119	93	SØ	1
944	3	Avslag		flint	119	93	SØ	1
946	1	Kjerne	bipolar kjerne	flint	119	93	SØ	1
947	1	Kjerne	bipolar kjerne	flint	119	93	SØ	1

948	1	Kjernefragment	bipolart kjernefragment	flint	119	93	SØ	1
949	1	Flekke	mikroflekke	flint	119	93	SØ	1
950	1	Flekke	mikroflekke	flint	119	93	SØ	1
951	1	Flekke	mikroflekke	flint	119	93	SØ	1
952	1	Flekke	mikroflekke	flint	119	93	SØ	1
953	1	Borspiss	borspiss på flikke	flint	119	93	SØ	1
954	3	Avslag		flint	119	93	NV	1
955	30	Avslag	fragment	flint	119	93	NV	1
956	2	Avslag		flint	119	93	NØ	1
957	40	Avslag	fragment	flint	119	93	NØ	1
958	1	Kjerne	bipolar kjerne	flint	119	93	NØ	1
959	1	Kjerne	bipolar kjerne	flint	119	93	NØ	1
963	1	Flekke	mikroflekke	flint	119	93	NØ	1
960	1	Kernefragment	bipolart kjernefragment	flint	119	93	NØ	1
961	1	Flekke	makroflekke	flint	119	93	NØ	1
962	1	Flekke	mikroflekke	flint	119	93	NØ	1
964	1	Flekke	mikroflekke	flint	119	93	NØ	1
965	2	Avslag		kvartsitt	119	93	NØ	1
966	1	Avslag		flint	115	94	SV	1
967	11	Avslag	fragment	flint	115	94	SV	1
968	1	Kernefragment	bipolart kjernefragment	flint	115	94	SV	1
969	1	Avslag		bergkrystall	115	94	SV	1
970	3	Avslag		flint	115	94	SØ	1
971	14	Avslag	fragment	flint	115	94	SØ	1
972	1	Kernefragment	bipolart kjernefragment	flint	115	94	SØ	1
973	1	Diagnostisk avslag	flekkelignende avslag	flint	115	94	SØ	1
975	8	Avslag	fragment	flint	115	94	NV	1
974	1	Avslag		flint	115	94	NV	1
976	1	Avslag		flint	115	94	NØ	1
977	13	Avslag	fragment	flint	115	94	NØ	1
978	1	Flekke	mikroflekke	flint	115	94	NØ	1
979	1	Diagnostisk avslag	flekkelignende avslag	flint	115	94	NØ	1
980	1	Mikrolitt	lansettmikrolitt	flint	115	94	NØ	1
981	8	Avslag	fragment	flint	116	94	NV	1
982	1	Flekke	mikroflekke	flint	116	94	NV	1
983	20	Avslag	fragment	flint	116	94	NØ	1
984	1	Kjerne	bipolar kjerne	flint	116	94	NØ	1
985	1	Kernefragment	bipolart kjernefragment	flint	116	94	NØ	1
986	1	Avslag		flint	117	94	SV	1
987	3	Avslag	fragment	flint	117	94	SV	1
988	1	Flekke	mikroflekke	flint	117	94	SV	1
990	6	Avslag	fragment	flint	117	94	SØ	1
989	2	Avslag		flint	117	94	SØ	1
994	1	Flekke	mikroflekke	flint	117	94	SØ	1
991	1	Avslag	medioavslag	flint	117	94	SØ	1

992	1	Kjerne	bipolar kjerne	flint	117	94	SØ	1
993	1	Flekke	mikroflekke	flint	117	94	SØ	1
995	1	Avslag		flint	117	94	NV	1
996	12	Avslag	fragment	flint	117	94	NV	1
997	1	Flekke	mikroflekke	flint	117	94	NV	1
998	1	Flekke	mikroflekke	flint	117	94	NV	1
999	1	Flekke	mikroflekke	flint	117	94	NV	1
1000	2	Avslag		flint	117	94	NØ	1
1001	13	Avslag	fragment	flint	117	94	NØ	1
1002	1	Flekke	mikroflekke	flint	117	94	NØ	1
1003	3	Avslag	fragment	flint	115	95	SV	1
1004	1	Avslag	medioavslag	flint	115	95	SV	1
1005	2	Avslag		flint	115	95	SØ	1
1006	11	Avslag	fragment	flint	115	95	SØ	1
1007	1	Diagnostisk avslag	flekkelignende avslag	flint	115	95	SØ	1
1008	1	Avslag		bergart	115	95	SØ	1
1009	1	Slipestein	pimpstein med bruksspor	pimpstein	115	95	SØ	1
1013	1	Diagnostisk avslag	flekkelignende avslag	flint	115	95	NV	1
1010	1	Avslag		flint	115	95	NV	1
1011	7	Avslag	fragment	flint	115	95	NV	1
1012	1	Flekke	medioflekke	flint	115	95	NV	1
1014	1	Avslag		flint	115	95	NØ	1
1015	13	Avslag	fragment	flint	115	95	NØ	1
1016	1	Avslag		flint	116	95	NV	1
1017	3	Avslag	fragment	flint	116	95	NV	1
1018	1	Diagnostisk avslag	flekkelignende avslag	flint	116	95	NV	1
1019	1	Avslag		flint	116	95	NØ	1
1020	41	Avslag	fragment	flint	116	95	NØ	1
1021	1	Flekke	medioflekke	flint	116	95	NØ	1
1022	1	Flekke	mikroflekke	flint	116	95	NØ	1
1023	1	Flekke	mikroflekke	flint	116	95	NØ	1
1024	1	Diagnostisk avslag	flekkelignende avslag	flint	116	95	NØ	1
1025	1	Avslag	fragment	kvartsitt	116	95	NØ	1
1026	1	Fragment av ubestemt øks / meisel		bergart	116	95	NØ	1
1027	1	Avslag		flint	117	95	SV	1
1028	15	Avslag	fragment	flint	117	95	SV	1
1029	1	Avslag	medioavslag	flint	117	95	SV	1
1030	1	Kjernefragment	bipolart kjernefragment	flint	117	95	SV	1
1031	1	Flekke	mikroflekke	flint	117	95	SV	1
1032	1	Knoll		flint	117	95	SV	1
1034	19	Avslag	fragment	flint	117	95	SØ	1
1035	1	Diagnostisk avslag	flekkelignende avslag	flint	117	95	SØ	1
1033	10	Avslag		flint	117	95	SØ	1

1036	5	Avslag	fragment	flint	117	95	NV	1
1037	1	Kjernefragment	bipolart kjernefragment	flint	117	95	NV	1
1041	1	Flekke	mikroflekke	flint	117	95	NØ	1
1038	3	Avslag		flint	117	95	NØ	1
1039	14	Avslag	fragment	flint	117	95	NØ	1
1040	1	Retusjert avslag	retusjert medioavslag	flint	117	95	NØ	1
1042	1	Flekke	mikroflekke	flint	117	95	NØ	1
1043	3	Avslag		flint	116	96	NV	1
1044	22	Avslag	fragment	flint	116	96	NV	1
1045	1	Kjernefragment	bipolart kjernefragment	flint	116	96	NV	1
1046	1	Avslag	fragment	kvartsitt	116	96	NV	1
1047	3	Avslag		flint	116	96	NØ	1
1048	15	Avslag	fragment	flint	116	96	NØ	1
1049	1	Retusjert avslag	retusjert medioavslag	flint	116	96	NØ	1
1050	1	Prepareringsavs lag	flekkefront	flint	116	96	NØ	1
1051	1	Flekke	medioflekke	flint	116	96	NØ	1
1052	1	Flekke	mikroflekke	flint	116	96	NØ	1
1053	1	Flekke	mikroflekke	flint	116	96	NØ	1
1054	1	Flekke	mikroflekke	flint	116	96	NØ	1
1055	1	Diagnostisk avslag	flekkelignende avslag	flint	116	96	NØ	1
1056	1	Flekke	mikroflekke	bergkrystall	116	96	NØ	1
1057	1	Avslag		flint	117	96	SV	1
1058	21	Avslag	fragment	flint	117	96	SV	1
1059	1	Retusjert avslag	retusjert fragment	flint	117	96	SV	1
1060	1	Kjerne	bipolar kjerne	flint	117	96	SV	1
1061	1	Kernefragment	bipolart kjernefragment	flint	117	96	SV	1
1062	1	Flekke	mikroflekke	flint	117	96	SV	1
1063	1	Diagnostisk avslag	hengselflekke	flint	117	96	SV	1
1069	1	Flekke	mikroflekke	flint	117	96	SØ	1
1064	2	Avslag		flint	117	96	SØ	1
1065	7	Avslag	fragment	flint	117	96	SØ	1
1066	1	Kjerne	bipolar kjerne	flint	117	96	SØ	1
1067	1	Flekke	makroflekke	flint	117	96	SØ	1
1068	1	Flekke	mikroflekke	flint	117	96	SØ	1
1070	1	Avslag	fragment	flint	117	96	NV	1
1071	1	Kernefragment	bipolart kjernefragment	flint	117	96	NV	1
1072	2	Avslag		flint	117	96	NØ	1
1073	10	Avslag	fragment	flint	117	96	NØ	1
1074	1	Flekke	mikroflekke	flint	117	96	NØ	1
1075	1	Diagnostisk avslag	flekkelignende avslag	flint	117	96	NØ	1
1076	9	Avslag	fragment	flint	112	97	SV	1
1077	1	Flekke	medioflekke	flint	112	97	SV	1
1078	1	Avslag		kvarts	112	97	SV	1
1079	2	Avslag		flint	112	97	SØ	1

1080	12	Avslag	fragment	flint	112	97	SØ	1
1081	1	Flekke	mikroflekke	flint	112	97	SØ	1
1082	1	Diagnostisk avslag	flekkelignende avslag	flint	112	97	SØ	1
1083	2	Avslag		flint	112	97	NV	1
1084	1	Avslag	fragment	flint	112	97	NV	1
1085	5	Avslag	fragment	flint	112	97	NØ	1
1087	1	Avslag	fragment	kvarts	112	97	NØ	1
1086	1	Borspiss	ubestemt borspiss	flint	112	97	NØ	1
1088	7	Avslag	fragment	flint	109	81	SV	1
1089	1	Kjernefragment	bipolart kjernefragment	flint	109	81	SV	1
1090	1	Flekke	mikroflekke	flint	109	81	SV	1
1091	1	Avslag		flint	109	81	SØ	1
1092	1	Avslag	fragment	flint	108	82	NØ	1
1093	1	Avslag		flint	109	82	SØ	1
1094	1	Diagnostisk avslag	flekkelignende avslag	flint	109	82	SØ	1
1095	1	Avslag	fragment	flint	107	83	SV	1
1096	2	Avslag		flint	109	83	SV	1
1097	22	Avslag	fragment	flint	109	83	SV	1
1098	1	Kjerne	bipolar kjerne	flint	109	83	SV	1
1099	1	Flekke	mikroflekke	flint	109	83	SV	1
1100	1	Avslag	fragment	kvarts	109	83	SV	1
1101	1	Avslag	fragment	bergkrystall	109	83	SV	1
1102	1	Avslag	fragment	jaspis	109	83	SV	1
1103	1	Avslag		flint	109	83	SØ	1
1104	4	Avslag	fragment	flint	109	83	SØ	1
1105	2	Avslag	fragment	flint	110	83	SV	1
1106	1	Avslag	fragment	flint	110	83	SV	1
1107	1	Avslag		flint	110	83	SØ	1
1108	2	Avslag	fragment	flint	110	83	NV	1
1109	1	Kjernefragment	bipolart kjernefragment	flint	110	83	NV	1
1110	1	Flekke	mikroflekke	flint	110	83	NV	1
1111	1	Avslag	fragment	flint	110	83	NØ	1
1112	1	Avslag		flint	111	83	SV	1
1113	1	Avslag		flint	111	83	SØ	1
1114	1	Avslag	fragment	flint	111	83	SØ	1
1115	1	Diagnostisk avslag	flekkelignende avslag	flint	111	83	SØ	1
1116	1	Diagnostisk avslag	flekkelignende avslag	flint	111	83	SØ	1
1117	1	Avslag		bergkrystall	111	83	SØ	1
1119	1	Diagnostisk avslag	flekkelignende avslag	flint	111	83	NV	1
1118	1	Avslag	fragment	flint	111	83	NV	1
1120	3	Avslag	fragment	flint	111	83	NØ	1
1121	1	Kjernefragment	bipolart kjernefragment	flint	111	83	NØ	1
1122	1	Avslag		flint	106	84	SV	1
1123	3	Avslag	fragment	flint	106	84	SØ	1

1124	1	Diagnostisk avslag	flekkelignende avslag	flint	106	84	NV	1
1125	1	Avslag	fragment	flint	106	84	NØ	1
1126	1	Flekke	medioflekke	flint	106	84	NØ	1
1127	1	Avslag		flint	107	84	NV	1
1128	1	Avslag	fragment	kvarts	108	84	SV	1
1129	1	Avslag		flint	108	84	SØ	1
1130	1	Avslag		flint	108	84	NV	1
1131	2	Avslag	fragment	flint	108	84	NV	1
1132	3	Avslag	fragment	flint	108	84	NØ	1
1133	1	Kjerne	bipolar kjerne	flint	108	84	NØ	1
1134	1	Flekke	mikroflekke	flint	108	84	NØ	1
1135	1	Avslag	fragment	kvarts	108	84	NØ	1
1136	2	Avslag		flint	109	84	SV	1
1137	5	Avslag	fragment	flint	109	84	SV	1
1138	1	Kjerne	bipolar kjerne	flint	109	84	SV	1
1139	1	Avslag		flint	109	84	SØ	1
1143	1	Flekke	mikroflekke	bergkrystall	110	84	SV	1
1140	1	Avslag		flint	110	84	SV	1
1141	3	Avslag	fragment	flint	110	84	SV	1
1142	1	Retusjert avslag	retusjert fragment	flint	110	84	SV	1
1144	1	Avslag		flint	110	84	SØ	1
1145	1	Avslag	fragment	flint	110	84	SØ	1
1146	1	Avslag	fragment	bergkrystall	110	84	SØ	1
1147	1	Avslag	fragment	kvarts	110	84	SØ	1
1148	3	Avslag		flint	110	84	NV	1
1149	2	Avslag	fragment	flint	110	84	NV	1
1150	1	Flekke	mikroflekke	flint	110	84	NV	1
1151	1	Diagnostisk avslag	flekkelignende avslag	flint	110	84	NV	1
1152	4	Avslag	fragment	flint	110	84	NØ	1
1153	1	Diagnostisk avslag	flekkelignende avslag	flint	110	84	NØ	1
1154	1	Avslag		kvartsitt	110	84	NØ	1
1155	1	Avslag	fragment	flint	111	84	SV	1
1156	1	Avslag	fragment	kvarts	111	84	SV	1
1157	1	Avslag		flint	111	84	SØ	1
1159	1	Diagnostisk avslag	flekkelignende avslag	flint	111	84	SØ	1
1158	1	Avslag	fragment	flint	111	84	SØ	1
1160	5	Avslag	fragment	flint	111	84	NV	1
1161	1	Avslag	medioavslag	flint	111	84	NV	1
1162	1	Avslag		flint	111	84	NØ	1
1163	3	Avslag	fragment	flint	111	84	NØ	1
1164	1	Avslag		flint	106	85	SV	1
1165	3	Avslag	fragment	flint	106	85	SV	1
1166	1	Kjernefragment	bipolart kjernefragment	flint	106	85	SV	1
1167	2	Avslag	fragment	flint	106	85	SØ	1
1168	1	Avslag		flint	106	85	NV	1
1169	5	Avslag	fragment	flint	106	85	NV	1

1170	1	Avslag	fragment	flint	107	85	SV	1
1171	3	Avslag	fragment	flint	107	85	SØ	1
1172	2	Avslag		flint	107	85	NØ	1
1173	3	Avslag	fragment	flint	107	85	NØ	1
1174	1	Diagnostisk avslag	flekkelignende avslag	flint	107	85	NØ	1
1175	1	Avslag		flint	108	85	SV	1
1176	2	Avslag	fragment	flint	108	85	SV	1
1177	1	Kjernefragment	bipolart kjernefragment	flint	108	85	SV	1
1178	1	Avslag	fragment	flint	108	85	SØ	1
1179	1	Avslag	fragment	bergkrystall	108	85	SØ	1
1180	4	Avslag	fragment	flint	108	85	NV	1
1181	1	Kjernefragment	bipolart kjernefragment	flint	108	85	NV	1
1182	1	Flekke	mikroflekke	flint	108	85	NV	1
1186	1	Flekke	mikroflekke	flint	109	85	SV	1
1185	1	Avslag	fragment	flint	109	85	SV	1
1184	7	Avslag	fragment	flint	108	85	NØ	1
1183	1	Avslag		flint	108	85	NØ	1
1188	1	Avslag	fragment	flint	109	85	SØ	1
1189	2	Avslag	fragment	kvarts	109	85	SØ	1
1187	4	Avslag	fragment	flint	109	85	SØ	1
1190	1	Avslag	fragment	flint	110	85	SV	1
1191	1	Avslag		flint	110	85	SØ	1
1192	1	Avslag	fragment	flint	110	85	NV	1
1193	1	Avslag	fragment	flint	110	85	NØ	1
1194	1	Flekke	medioflekke	flint	110	85	NØ	1
1195	2	Avslag	fragment	flint	107	86	NV	1
1196	3	Avslag	fragment	flint	108	86	SV	1
1197	1	Avslag	fragment	flint	108	86	SV	1
1198	1	Avslag		flint	108	86	SØ	1
1199	2	Avslag	fragment	flint	108	86	SØ	1
1200	1	Avslag	fragment	kvartsitt	108	86	SØ	1
1201	6	Avslag	fragment	flint	108	86	NV	1
1202	3	Avslag		flint	108	86	NØ	1
1203	3	Avslag	fragment	flint	108	86	NØ	1
1204	1	Avslag	fragment	flint	108	86	NØ	1
1205	1	Avslag		flint	109	86	SV	1
1206	3	Avslag	fragment	flint	109	86	SV	1
1207	1	Avslag	fragment	kvartsitt	109	86	SV	1
1208	1	Avslag		flint	109	86	SØ	1
1209	3	Avslag	fragment	flint	109	86	SØ	1
1210	5	Avslag	fragment	flint	108	87	NV	1
1211	1	Diagnostisk avslag	flekkelignende avslag	flint	108	87	NV	1
1212	2	Avslag	fragment	flint	109	87	SV	1
1213	1	Diagnostisk avslag	cortexflekke	flint	109	87	SV	1
1216	1	Avslag	fragment	kvarts	109	87	SØ	1
1214	2	Avslag	fragment	flint	109	87	SØ	1

1215	1	Retusjert avslag	retusjert fragment	flint	109	87	SØ	1
1217	4	Avslag	fragment	flint	109	88	SV	1
1218	1	Kjerne	bipolar kjerne	flint	109	88	SV	1
1219	1	Flekke	mikroflekke	flint	109	88	SV	1
1220	1	Diagnostisk avslag	flekkelignende avslag	flint	109	88	SV	1
1221	3	Avslag	fragment	flint	109	88	SØ	1
1222	1	Avslag	medioavslag	flint	109	88	SØ	1
1223	1	Flekke	mikroflekke	flint	109	88	SØ	1
1224	2	Avslag	fragment	kvarts	109	88	SØ	1
1225	4	Avslag	fragment	flint	109	89	SV	1
1226	1	Avslag	fragment	bergkrystall	109	89	SV	1
1227	1	Avslag		flint	109	81	SV	1
1228	9	Avslag	fragment	flint	109	81	SV	1
1229	4	Avslag	fragment	kvarts	109	81	SV	1
1230	3	Avslag		flint	109	81	SØ	1
1231	13	Avslag	fragment	flint	109	81	SØ	1
1232	1	Kjerne	bipolar kjerne	flint	109	81	SØ	1
1233	1	Flekke	mikroflekke	flint	109	81	SØ	1
1234	1	Diagnostisk avslag	cortexflekke	flint	109	81	SØ	1
1235	1	Diagnostisk avslag	flekkelignende avslag	flint	109	81	SØ	1
1236	1	Skrapere	ubestemt skrapere	flint	109	81	SØ	1
1237	1	Avslag	fragment	kvarts	109	81	SØ	1
1238	1	Avslag	fragment	kvartsitt	109	81	SØ	1
1245	1	Avslag	fragment	kvarts	108	82	NØ	1
1242	1	Flekke	mikroflekke	flint	108	82	NØ	1
1243	1	Flekke	mikroflekke	flint	108	82	NØ	1
1244	1	Avslag		kvarts	108	82	NØ	1
1239	4	Avslag		flint	108	82	NØ	1
1240	3	Avslag	fragment	flint	108	82	NØ	1
1241	1	Kjerne	bipolar kjerne	flint	108	82	NØ	1
1251	1	Flekke	mikroflekke	flint	109	82	SV	1
1246	5	Avslag		flint	109	82	SV	1
1247	19	Avslag	fragment	flint	109	82	SV	1
1248	1	Avslag	medioavslag	flint	109	82	SV	1
1249	1	Flekke	mikroflekke	flint	109	82	SV	1
1250	1	Flekke	mikroflekke	flint	109	82	SV	1
1252	2	Avslag	fragment	kvarts	109	82	SV	1
1253	1	Avslag	fragment	kvarts	109	82	SV	1
1254	1	Avslag		kvartsitt	109	82	SV	1
1255	1	Avslag	fragment	jaspis	109	82	SV	1
1256	1	Diagnostisk avslag	avslag av slipt gjenstand	bergart	109	82	SV	1
1257	2	Avslag		flint	109	82	SØ	1
1258	17	Avslag	fragment	flint	109	82	SØ	1
1259	1	Flekke	mikroflekke	flint	109	82	SØ	1
1260	1	Diagnostisk avslag	cortexflekke	flint	109	82	SØ	1
1261	1	Avslag		kvarts	109	82	SØ	1

1262	4	Avslag	fragment	kvarts	109	82	SØ	1
1263	3	Avslag	fragment	flint	107	83	SV	1
1264	1	Avslag		flint	107	83	SØ	1
1265	3	Avslag	fragment	flint	107	83	SØ	1
1266	1	Avslag	fragment	flint	107	83	NV	1
1267	1	Prepareringsavs lag	flekkefront	flint	107	83	NV	1
1268	1	Flekke	medioflekke	flint	107	83	NV	1
1269	1	Avslag		flint	107	83	NØ	1
1270	2	Avslag	fragment	flint	107	83	NØ	1
1271	1	Avslag	medioavslag	flint	107	83	NØ	1
1272	1	Avslag		flint	108	83	SV	1
1273	24	Avslag	fragment	flint	108	83	SV	1
1274	1	Avslag	medioavslag	flint	108	83	SV	1
1277	1	Kjerne	bipolar kjerne	kvarts	108	83	SV	1
1275	1	Flekke	mikroflekke	flint	108	83	SV	1
1276	3	Avslag	fragment	kvarts	108	83	SV	1
1278	1	Kjerne	ubestemt kjerne	kvarts	108	83	SV	1
1279	1	Avslag	fragment	jaspis	108	83	SV	1
1280	1	Avslag		flint	108	83	SØ	1
1281	18	Avslag	fragment	flint	108	83	SØ	1
1282	1	Avslag		flint	108	83	NV	1
1283	11	Avslag	fragment	flint	108	83	NV	1
1284	1	Avslag	medioavslag	flint	108	83	NV	1
1285	1	Avslag	medioavslag	flint	108	83	NV	1
1286	1	Avslag	medioavslag	flint	108	83	NV	1
1287	1	Avslag	medioavslag	flint	108	83	NV	1
1288	1	Flekke	makroflekke	flint	108	83	NV	1
1289	1	Flekke	mikroflekke	flint	108	83	NV	1
1290	1	Flekke	mikroflekke	flint	108	83	NV	1
1291	1	Avslag	fragment	kvarts	108	83	NV	1
1292	1	Avslag	fragment	bergkrystall	108	83	NV	1
1293	1	Avslag		flint	108	83	NØ	1
1294	8	Avslag	fragment	flint	108	83	NØ	1
1295	1	Flekke	mikroflekke	flint	108	83	NØ	1
1296	3	Avslag		flint	109	83	SV	1
1297	6	Avslag	fragment	flint	109	83	SV	1
1298	1	Kjerne	bipolar kjerne	flint	109	83	SV	1
1299	1	Flekke	mikroflekke	flint	109	83	SV	1
1300	1	Avslag		kvarts	109	83	SV	1
1301	2	Avslag	fragment	kvarts	109	83	SV	1
1302	3	Avslag		flint	109	83	SØ	1
1303	36	Avslag	fragment	flint	109	83	SØ	1
1304	1	Skraperskraper	ubestemt skraperskraper	flint	109	83	SØ	1
1305	1	Skraperskraper	ubestemt skraperskraper	flint	109	83	SØ	1
1306	1	Flekke	mikroflekke	flint	109	83	SØ	1
1307	1	Retusjert flekke	retusjert mikroflekke	flint	109	83	SØ	1
1308	1	Diagnostisk avslag	flekkelignende avslag	flint	109	83	SØ	1
1309	4	Avslag	fragment	kvarts	109	83	SØ	1

1310	1	Avslag	fragment	jaspis	109	83	SØ	1
1311	1	Avslag		flint	110	83	SV	1
1312	11	Avslag	fragment	flint	110	83	SV	1
1313	1	Avslag	fragment	flint	110	83	SV	1
1314	1	Kjerne	bipolar kjerne	flint	110	83	SV	1
1315	1	Flekke	mikroflekke	flint	110	83	SV	1
1316	1	Diagnostisk avslag	flekkelignende avslag	flint	110	83	SV	1
1323	1	Flekke	mikroflekke	flint	110	83	SØ	1
1320	1	Retusjert avslag	retusjert medioavslag	flint	110	83	SØ	1
1321	1	Retusjert avslag	retusjert fragment	flint	110	83	SØ	1
1322	1	Avslag	fragment	flint	110	83	SØ	1
1324	1	Flekke	mikroflekke	flint	110	83	SØ	1
1325	1	Flekke	mikroflekke	flint	110	83	SØ	1
1317	3	Avslag		flint	110	83	SØ	1
1318	9	Avslag	fragment	flint	110	83	SØ	1
1319	1	Retusjert avslag	retusjert fragment	flint	110	83	SØ	1
1326	2	Avslag		flint	110	83	NV	1
1327	15	Avslag	fragment	flint	110	83	NV	1
1328	1	Flekke	mikroflekke	flint	110	83	NV	1
1329	1	Skrapere	ubestemt skrapere	flint	110	83	NV	1
1330	1	Avslag	fragment	kvarts	110	83	NV	1
1331	2	Avslag		flint	110	83	NØ	1
1332	6	Avslag	fragment	flint	110	83	NØ	1
1333	1	Avslag	medioavslag	flint	110	83	NØ	1
1334	1	Kjerne	bipolar kjerne	flint	110	83	NØ	1
1335	1	Flekke	mikroflekke	flint	110	83	NØ	1
1336	1	Flekke	mikroflekke	flint	110	83	NØ	1
1337	1	Diagnostisk avslag	flekkelignende avslag	flint	110	83	NØ	1
1338	1	Avslag		flint	111	83	SV	1
1339	7	Avslag	fragment	flint	111	83	SV	1
1340	1	Avslag	fragment	flint	111	83	SV	1
1341	1	Avslag	fragment	kvarts	111	83	SV	1
1342	1	Avslag		flint	111	83	SØ	1
1343	10	Avslag	fragment	flint	111	83	SØ	1
1344	1	Avslag	medioavslag	flint	111	83	SØ	1
1345	1	Avslag	fragment	flint	111	83	SØ	1
1346	1	Kjernefragment	bipolart kjernefragment	flint	111	83	SØ	1
1347	1	Flekke	mikroflekke	flint	111	83	SØ	1
1348	1	Borspiss	ubestemt borspiss	flint	111	83	SØ	1
1349	2	Avslag		flint	111	83	NV	1
1350	8	Avslag	fragment	flint	111	83	NV	1
1351	1	Flekke	makroflekke	flint	111	83	NV	1
1352	1	Skrapere	ubestemt skrapere	flint	111	83	NV	1
1353	1	Diagnostisk avslag	stikk lavslag	flint	111	83	NV	1
1354	2	Avslag		flint	111	83	NØ	1
1355	6	Avslag	fragment	flint	111	83	NØ	1
1356	1	Avslag	fragment	flint	111	83	NØ	1

1357	1	Avslag	fragment	flint	111	83	NØ	1
1359	1	Kjerne	ubestemt kjerne	jaspis	111	83	NØ	1
1358	1	Avslag	fragment	kvarts	111	83	NØ	1
1360	2	Avslag	fragment	flint	106	84	SV	1
1361	1	Diagnostisk avslag	cortexflekke	flint	106	84	SV	1
1362	1	Avslag	fragment	kvarts	106	84	SV	1
1363	4	Avslag	fragment	flint	106	84	SØ	1
1364	1	Avslag	fragment	flint	106	84	SØ	1
1365	1	Flekke	medioflekke	flint	106	84	SØ	1
1366	1	Avslag		flint	106	84	NØ	1
1367	1	Avslag	fragment	flint	106	84	NØ	1
1368	1	Kjernefragment	bipolart kjernefragment	flint	106	84	NØ	1
1369	2	Avslag	fragment	kvarts	106	84	NØ	1
1371	1	Avslag	fragment	kvarts	107	84	SV	1
1370	5	Avslag	fragment	flint	107	84	SV	1
1372	1	Avslag		flint	107	84	SØ	1
1373	15	Avslag	fragment	flint	107	84	SØ	1
1374	1	Flekke	mikroflekke	flint	107	84	SØ	1
1375	1	Avslag	fragment	kvarts	107	84	SØ	1
1376	1	Avslag		flint	107	84	NV	1
1377	3	Avslag	fragment	flint	107	84	NV	1
1378	1	Diagnostisk avslag	flekkelignende avslag	flint	107	84	NV	1
1379	1	Avslag	fragment	kvarts	107	84	NV	1
1380	6	Avslag	fragment	flint	107	84	NØ	1
1381	1	Kjerne	bipolar kjerne	flint	107	84	NØ	1
1382	1	Flekke	makroflekke	flint	107	84	NØ	1
1383	2	Avslag	fragment	kvarts	107	84	NØ	1
1384	1	Avslag		bergart	107	84	NØ	1
1385	11	Avslag	fragment	flint	108	84	SV	1
1386	1	Skraperskraper	ubestemt skraperskraper	flint	108	84	SV	1
1387	1	Avslag	fragment	kvarts	108	84	SV	1
1388	4	Avslag		flint	108	84	SØ	1
1389	18	Avslag	fragment	flint	108	84	SØ	1
1390	1	Avslag		bergkristall	108	84	SØ	1
1391	4	Avslag	fragment	bergkristall	108	84	SØ	1
1392	3	Avslag		flint	108	84	NV	1
1393	25	Avslag	fragment	flint	108	84	NV	1
1394	1	Retusjert avslag	retusjert medioavslag	flint	108	84	NV	1
1395	4	Avslag	fragment	kvarts	108	84	NV	1
1396	1	Avslag	fragment	bergkristall	108	84	NV	1
1397	1	Avslag		flint	108	84	NØ	1
1398	17	Avslag	fragment	flint	108	84	NØ	1
1399	1	Kjerne	bipolar kjerne	flint	108	84	NØ	1
1400	1	Avslag	fragment	flint	108	84	NØ	1
1401	1	Diagnostisk avslag	flekkelignende avslag	kvarts	108	84	NØ	1
1402	1	Avslag	fragment	kvartsitt	108	84	NØ	1

1406	1	Diagnostisk avslag	cortexflekke	flint	109	84	SV	1
1403	4	Avslag		flint	109	84	SV	1
1404	39	Avslag	fragment	flint	109	84	SV	1
1405	1	Kjernefragment	bipolart kjernefragment	flint	109	84	SV	1
1407	3	Avslag	fragment	kvartsitt	109	84	SV	1
1408	1	Avslag		bergart	109	84	SV	1
1409	3	Avslag		flint	109	84	SØ	1
1410	22	Avslag	fragment	flint	109	84	SØ	1
1411	1	Flekke	mikroflekke	flint	109	84	SØ	1
1412	1	Flekke	mikroflekke	flint	109	84	SØ	1
1413	1	Skrapere	ubestemt skrapere	flint	109	84	SØ	1
1414	2	Avslag	fragment	kvarts	109	84	SØ	1
1415	8	Avslag		flint	110	84	SV	1
1416	15	Avslag	fragment	flint	110	84	SV	1
1417	1	Kjernefragment	bipolart kjernefragment	flint	110	84	SV	1
1418	1	Kjernefragment	bipolart kjernefragment	flint	110	84	SV	1
1419	1	Kjernefragment	bipolart kjernefragment	flint	110	84	SV	1
1420	1	Flekke	mikroflekke	flint	110	84	SV	1
1421	1	Flekke	mikroflekke	flint	110	84	SV	1
1422	1	Borspiss	ubestemt borspiss	flint	110	84	SV	1
1423	2	Avslag	fragment	kvarts	110	84	SV	1
1424	6	Avslag		flint	110	84	SØ	1
1425	19	Avslag	fragment	flint	110	84	SØ	1
1426	1	Retusjert avslag	retusjert medioavslag	flint	110	84	SØ	1
1427	1	Avslag	fragment	bergart	110	84	SØ	1
1428	2	Avslag		flint	110	84	NV	1
1429	17	Avslag	fragment	flint	110	84	NV	1
1430	1	Kjerne	bipolar kjerne	flint	110	84	NV	1
1431	1	Kjernefragment	bipolart kjernefragment	flint	110	84	NV	1
1432	1	Flekke	mikroflekke	flint	110	84	NV	1
1433	1	Avslag	fragment	kvarts	110	84	NV	1
1434	1	Kjernefragment	bipolart kjernefragment	kvarts	110	84	NV	1
1435	7	Avslag		flint	110	84	NØ	1
1436	13	Avslag	fragment	flint	110	84	NØ	1
1437	1	Avslag	fragment	flint	110	84	NØ	1
1438	1	Skrapere	ubestemt skrapere	flint	110	84	NØ	1
1439	1	Flekke	makroflekke	flint	110	84	NØ	1
1440	1	Flekke	mikroflekke	flint	110	84	NØ	1
1441	1	Avslag	fragment	kvarts	110	84	NØ	1
1442	3	Avslag		flint	111	84	SV	1
1443	9	Avslag	fragment	flint	111	84	SV	1
1444	1	Kjerne	bipolar kjerne	flint	111	84	SV	1
1445	1	Skrapere	ubestemt skrapere	flint	111	84	SV	1
1446	1	Flekke	medioflekke	flint	111	84	SV	1
1447	1	Avslag	fragment	jaspis	111	84	SV	1

1448	1	Avslag		flint	111	84	SØ	1
1449	5	Avslag	fragment	flint	111	84	SØ	1
1452	1	Kjernefragment	bipolart kjernefragment	flint	111	84	SØ	1
1450	1	Avslag	fragment	flint	111	84	SØ	1
1451	1	Kjernefragment	bipolart kjernefragment	flint	111	84	SØ	1
1453	1	Avslag		flint	111	84	NV	1
1454	1	Avslag	fragment	flint	111	84	NV	1
1455	1	Avslag	fragment	flint	111	84	NV	1
1456	1	Meisel	tosidig bergartsmeisel	bergart	111	84	NV	1
1457	1	Avslag		flint	111	84	NØ	1
1458	8	Avslag	fragment	flint	111	84	NØ	1
1459	1	Avslag	medioavslag	flint	111	84	NØ	1
1460	1	Flekke	mikroflekke	flint	111	84	NØ	1
1461	1	Avslag		flint	106	85	SV	1
1462	6	Avslag	fragment	flint	106	85	SV	1
1463	1	Diagnostisk avslag	cortexflekke	flint	106	85	SV	1
1464	1	Retusjert avslag	retusjert medioavslag	flint	106	85	SV	1
1465	2	Avslag	fragment	kvarts	106	85	SV	1
1466	4	Avslag	fragment	flint	106	85	SØ	1
1467	1	Avslag		kvarts	106	85	SØ	1
1468	1	Avslag		flint	106	85	NV	1
1469	13	Avslag	fragment	flint	106	85	NV	1
1470	1	Avslag	medioavslag	flint	106	85	NV	1
1471	1	Kjernefragment	bipolart kjernefragment	flint	106	85	NV	1
1472	3	Avslag	fragment	kvarts	106	85	NV	1
1473	1	Avslag		flint	106	85	NØ	1
1474	10	Avslag	fragment	flint	106	85	NØ	1
1475	1	Retusjert avslag	retusjert fragment	flint	106	85	NØ	1
1476	2	Avslag	fragment	kvarts	106	85	NØ	1
1477	1	Avslag	fragment	bergkrystall	106	85	NØ	1
1478	4	Avslag	fragment	flint	107	85	SV	1
1479	1	Borspiss	ubestemt borspiss	flint	107	85	SV	1
1480	1	Flekke	medioflekke	flint	107	85	SV	1
1481	1	Avslag		flint	107	85	SØ	1
1484	1	Avslag	fragment	kvarts	107	85	SØ	1
1482	13	Avslag	fragment	flint	107	85	SØ	1
1483	1	Diagnostisk avslag	flekkelignende avslag	flint	107	85	SØ	1
1485	7	Avslag	fragment	flint	107	85	NV	1
1486	1	Retusjert avslag	retusjert medioavslag	flint	107	85	NV	1
1487	1	Avslag		flint	107	85	NØ	1
1488	17	Avslag	fragment	flint	107	85	NØ	1
1489	1	Flekke	makroflekke	flint	107	85	NØ	1
1490	1	Flekke	mikroflekke	flint	107	85	NØ	1
1491	3	Avslag		flint	108	85	SV	1
1492	5	Avslag	fragment	flint	108	85	SV	1
1493	2	Avslag		flint	108	85	SØ	1

1494	8	Avslag	fragment	flint	108	85	SØ	1
1495	1	Retusjert avslag	retusjert medioavslag	flint	108	85	SØ	1
1496	1	Retusjert avslag	retusjert medioavslag	flint	108	85	SØ	1
1497	1	Kjernefragment	bipolart kjernefragment	flint	108	85	SØ	1
1498	1	Flekke	mikroflekke	flint	108	85	SØ	1
1499	4	Avslag		flint	108	85	NV	1
1500	5	Avslag	fragment	flint	108	85	NV	1
1501	1	Kjerne	bipolar kjerne	flint	108	85	NV	1
1502	2	Avslag		flint	108	85	NØ	1
1503	8	Avslag	fragment	flint	108	85	NØ	1
1504	1	Avslag	medioavslag	flint	108	85	NØ	1
1505	1	Kjernefragment	bipolart kjernefragment	flint	108	85	NØ	1
1506	1	Kjernefragment	bipolart kjernefragment	flint	108	85	NØ	1
1507	1	Flekke	mikroflekke	flint	108	85	NØ	1
1508	2	Avslag	fragment	kvarts	108	85	NØ	1
1509	1	Avslag		flint	109	85	SV	1
1510	29	Avslag	fragment	flint	109	85	SV	1
1511	1	Kjerne	bipolar kjerne	flint	109	85	SV	1
1512	2	Avslag	fragment	kvarts	109	85	SV	1
1513	2	Avslag		flint	109	85	SØ	1
1514	26	Avslag	fragment	flint	109	85	SØ	1
1515	1	Avslag	fragment	flint	109	85	SØ	1
1516	1	Skraper	ubestemt skraper	flint	109	85	SØ	1
1517	1	Kjerne	bipolar kjerne	flint	109	85	SØ	1
1518	1	Diagnostisk avslag	hengselflekke	flint	109	85	SØ	1
1519	1	Kernefragment	overløpen flikke	flint	109	85	SØ	1
1520	5	Avslag	fragment	kvarts	109	85	SØ	1
1521	6	Avslag		flint	111	85	SV	1
1522	20	Avslag	fragment	flint	111	85	SV	1
1523	1	Flekke	mikroflekke	flint	111	85	SV	1
1527	7	Avslag	fragment	kvarts	111	85	SV	1
1524	1	Flekke	mikroflekke	flint	111	85	SV	1
1525	1	Diagnostisk avslag	cortexflikke	flint	111	85	SV	1
1526	1	Skraper	ubestemt skraper	flint	111	85	SV	1
1528	1	Fossil		flint	111	85	SV	1
1529	1	Avslag		flint	111	85	SØ	1
1530	9	Avslag	fragment	flint	111	85	SØ	1
1531	1	Kernefragment	bipolart kjernefragment	flint	111	85	SØ	1
1532	3	Avslag		flint	111	85	NV	1
1533	15	Avslag	fragment	flint	111	85	NV	1
1534	1	Prepareringsavs lag	plattformavslag	flint	111	85	NV	1
1535	1	Kernefragment	bipolart kjernefragment	flint	111	85	NV	1
1536	1	Flekke	mikroflekke	flint	111	85	NV	1
1537	2	Avslag	fragment	kvarts	111	85	NV	1

1538	1	Avslag	fragment	jaspis	111	85	NV	1
1539	3	Avslag		flint	111	85	NØ	1
1540	18	Avslag	fragment	flint	111	85	NØ	1
1541	1	Retusjert avslag	retusjert fragment	flint	111	85	NØ	1
1548	1	Avslag	fragment	kvartsitt	111	85	NØ	1
1542	1	Avslag	fragment	flint	111	85	NØ	1
1543	1	Flekke	mikroflekke	flint	111	85	NØ	1
1545	1	Kjernefragment	bipolart kjernefragment	flint	111	85	NØ	1
1544	1	Kjerne	bipolar kjerne	flint	111	85	NØ	1
1546	1	Kjernefragment	bipolart kjernefragment	flint	111	85	NØ	1
1547	1	Avslag	fragment	kvarts	111	85	NØ	1
1552	1	Diagnostisk avslag	flekkelignende avslag	flint	110	85	SV	1
1549	1	Avslag		flint	110	85	SV	1
1550	7	Avslag	fragment	flint	110	85	SV	1
1551	1	Avslag	fragment	flint	110	85	SV	1
1553	1	Avslag	fragment	bergkrystall	110	85	SV	1
1554	2	Avslag	fragment	flint	110	85	SØ	1
1555	6	Avslag	fragment	flint	110	85	NV	1
1556	1	Avslag	fragment	flint	110	85	NV	1
1557	1	Avslag		kvarts	110	85	NV	1
1558	2	Avslag	fragment	kvarts	110	85	NV	1
1559	1	Avslag		flint	110	85	NØ	1
1560	1	Avslag	fragment	flint	110	85	NØ	1
1561	1	Diagnostisk avslag	flekkelignende avslag	flint	110	85	NØ	1
1563	5	Avslag	fragment	kvarts	106	86	SV	1
1562	2	Avslag	fragment	flint	106	86	SV	1
1564	2	Avslag		flint	106	86	NV	1
1565	9	Avslag	fragment	flint	106	86	NV	1
1566	1	Flekke	mikroflekke	flint	106	86	NV	1
1567	3	Avslag	fragment	kvarts	106	86	NV	1
1568	1	Kjerne	bipolar kjerne	kvarts	106	86	NV	1
1569	1	Avslag	fragment	bergkrystall	106	86	NV	1
1571	1	Avslag	fragment	flint	106	86	NØ	1
1570	5	Avslag	fragment	flint	106	86	NØ	1
1573	1	Kjerne	bipolar kjerne	flint	106	86	NØ	1
1574	4	Avslag	fragment	kvarts	106	86	NØ	1
1575	2	Avslag	fragment	jaspis	106	86	NØ	1
1572	1	Avslag	fragment	flint	106	86	NØ	1
1576	1	Avslag		flint	107	86	SV	1
1577	7	Avslag	fragment	flint	107	86	SV	1
1578	1	Avslag	fragment	flint	107	86	SV	1
1579	1	Kjernefragment	bipolart kjernefragment	flint	107	86	SV	1
1580	1	Kjernefragment	bipolart kjernefragment	flint	107	86	SV	1
1581	1	Flekke	mikroflekke	flint	107	86	SV	1
1582	1	Diagnostisk avslag	flekkelignende avslag	flint	107	86	SV	1

1583	7	Avslag	fragment	kvarts	107	86	SV	1
1584	1	Avslag	fragment	jaspis	107	86	SV	1
1585	2	Avslag		flint	107	86	SØ	1
1586	10	Avslag	fragment	flint	107	86	SØ	1
1587	1	Avslag	fragment	flint	107	86	SØ	1
1588	1	Kjerne	bipolar kjerne	flint	107	86	SØ	1
1589	1	Flekke	mikroflekke	flint	107	86	SØ	1
1590	3	Avslag	fragment	kvarts	107	86	SØ	1
1594	1	Kjerne	bipolar kjerne	flint	107	86	NV	1
1591	3	Avslag		flint	107	86	NV	1
1592	14	Avslag	fragment	flint	107	86	NV	1
1593	1	Avslag	fragment	flint	107	86	NV	1
1595	1	Flekke	mikroflekke	flint	107	86	NV	1
1596	4	Avslag	fragment	kvarts	107	86	NV	1
1597	1	Avslag	fragment	bergkrystall	107	86	NV	1
1598	14	Avslag	fragment	flint	107	86	NØ	1
1599	1	Retusjert avslag	retusjert fragment	flint	107	86	NØ	1
1600	1	Flekke	mikroflekke	flint	107	86	NØ	1
1601	1	Flekke	mikroflekke	flint	107	86	NØ	1
1602	4	Avslag	fragment	kvarts	107	86	NØ	1
1606	1	Kjernefragment	bipolart kjernefragment	flint	108	86	SV	1
1603	2	Avslag		flint	108	86	SV	1
1604	9	Avslag	fragment	flint	108	86	SV	1
1605	1	Retusjert avslag	retusjert fragment	flint	108	86	SV	1
1607	1	Flekke	mikroflekke	flint	108	86	SV	1
1608	1	Flekke	mikroflekke	flint	108	86	SV	1
1609	1	Flekke	mikroflekke	flint	108	86	SV	1
1610	1	Flekke	mikroflekke	flint	108	86	SV	1
1611	1	Flekke	mikroflekke	flint	108	86	SV	1
1612	6	Avslag	fragment	kvarts	108	86	SV	1
1621	1	Avslag		flint	108	86	SØ	1
1622	31	Avslag	fragment	flint	108	86	SØ	1
1623	1	Avslag	fragment	flint	108	86	SØ	1
1624	1	Avslag	fragment	flint	108	86	SØ	1
1625	1	Retusjert avslag	retusjert fragment	flint	108	86	SØ	1
1626	1	Kjernefragment	bipolart kjernefragment	flint	108	86	SØ	1
1627	2	Avslag	fragment	kvarts	108	86	SØ	1
1632	1	Flekke	mikroflekke	flint	108	86	NV	1
1629	1	Kjerne	bipolar kjerne	flint	108	86	NV	1
1630	1	Flekke	mikroflekke	flint	108	86	NV	1
1631	1	Flekke	mikroflekke	flint	108	86	NV	1
1633	1	Flekke	medioflekke	flint	108	86	NV	1
1634	4	Avslag	fragment	kvarts	108	86	NV	1
1628	14	Avslag	fragment	flint	108	86	NV	1
1635	3	Avslag		flint	108	86	NØ	1
1636	15	Avslag	fragment	flint	108	86	NØ	1
1637	1	Retusjert avslag	retusjert fragment	flint	108	86	NØ	1

1638	1	Kernefragment	ubestemt kernefragment	flint	108	86	NØ	1
1639	1	Flekke	makroflekke	flint	108	86	NØ	1
1640	1	Diagnostisk avslag	cortexflekke	flint	108	86	NØ	1
1641	1	Avslag	fragment	kvarts	108	86	NØ	1
1642	1	Avslag		flint	109	86	SV	1
1643	6	Avslag	fragment	flint	109	86	SV	1
1644	1	Avslag	fragment	flint	109	86	SV	1
1645	2	Avslag	fragment	kvarts	109	86	SV	1
1646	1	Avslag		flint	109	86	SØ	1
1647	15	Avslag	fragment	flint	109	86	SØ	1
1648	1	Kernefragment	bipolar kernefragment	flint	109	86	SØ	1
1649	1	Kernefragment	bipolar kernefragment	flint	109	86	SØ	1
1650	1	Avslag	fragment	kvarts	109	86	SØ	1
1651	2	Avslag	fragment	flint	110	86	SV	1
1652	1	Avslag		flint	110	86	SØ	1
1653	13	Avslag	fragment	flint	110	86	SØ	1
1654	1	Flekke	medioflekke	flint	110	86	SØ	1
1655	1	Diagnostisk avslag	flekkelignende avslag	flint	110	86	SØ	1
1656	6	Avslag	fragment	flint	110	86	NV	1
1657	1	Avslag	fragment	jaspis	110	86	NV	1
1658	9	Avslag	fragment	flint	110	86	NØ	1
1659	1	Avslag	medioavslag	flint	110	86	NØ	1
1660	1	Avslag	fragment	flint	110	86	NØ	1
1661	1	Avslag	fragment	flint	110	86	NØ	1
1665	1	Avslag	fragment	kvarts	110	86	NØ	1
1662	1	Kernefragment	bipolar kernefragment	flint	110	86	NØ	1
1663	1	Flekke	mikroflekke	flint	110	86	NØ	1
1664	1	Avslag		kvarts	110	86	NØ	1
1666	1	Avslag		flint	111	86	SV	1
1667	17	Avslag	fragment	flint	111	86	SV	1
1668	1	Retusjert avslag	retusjert fragment	flint	111	86	SV	1
1669	1	Avslag	fragment	flint	111	86	SV	1
1670	1	Kerne	bipolar kjerne	flint	111	86	SV	1
1671	1	Kerne	bipolar kjerne	flint	111	86	SV	1
1672	1	Flekke	mikroflekke	flint	111	86	SV	1
1673	1	Flekke	mikroflekke	flint	111	86	SV	1
1674	1	Flekke	makroflekke	flint	111	86	SV	1
1675	1	Flekke	makroflekke	flint	111	86	SV	1
1676	3	Avslag	fragment	kvarts	111	86	SV	1
1677	2	Avslag		flint	111	86	SØ	1
1678	18	Avslag	fragment	flint	111	86	SØ	1
1679	1	Avslag	fragment	flint	111	86	SØ	1
1680	1	Avslag	fragment	flint	111	86	SØ	1
1681	1	Flekke	mikroflekke	flint	111	86	SØ	1
1682	3	Avslag	fragment	kvarts	111	86	SØ	1

1683	2	Avslag		flint	111	86	NV	1
1684	12	Avslag	fragment	flint	111	86	NV	1
1685	1	Kjerne	bipolar kjerne	flint	111	86	NV	1
1686	1	Avslag	fragment	kvarts	111	86	NV	1
1687	1	Flekke	mikroflekke	bergkrystall	111	86	NV	1
1689	13	Avslag	fragment	flint	111	86	NØ	1
1688	1	Avslag		flint	111	86	NØ	1
1690	1	Avslag	medioavslag	flint	111	86	NØ	1
1691	1	Avslag	fragment	flint	111	86	NØ	1
1692	1	Avslag	fragment	flint	111	86	NØ	1
1693	1	Retusjert avslag	retusjert medioavslag	flint	111	86	NØ	1
1694	1	Kjerne	bipolar kjerne	flint	111	86	NØ	1
1695	1	Retusjert flekke	retusjert mikroflekke	flint	111	86	NØ	1
1696	1	Avslag	fragment	bergkrystall	111	86	NØ	1
1697	1	Avslag	fragment	jaspis	111	86	NØ	1
1698	11	Avslag	fragment	flint	107	87	NV	1
1699	5	Avslag	fragment	kvarts	107	87	NV	1
1703	1	Kjernefragment	bipolart kjernefragment	flint	108	87	SV	1
1700	3	Avslag		flint	108	87	SV	1
1701	16	Avslag	fragment	flint	108	87	SV	1
1702	1	Kjernefragment	bipolart kjernefragment	flint	108	87	SV	1
1704	1	Skraper	ubestemt skraper	flint	108	87	SV	1
1705	1	Diagnostisk avslag	hengselflekke	flint	108	87	SV	1
1706	3	Avslag	fragment	kvarts	108	87	SV	1
1707	1	Avslag		kvartsitt	108	87	SV	1
1708	2	Avslag	fragment	flint	108	87	SØ	1
1709	2	Avslag		flint	108	87	NV	1
1710	19	Avslag	fragment	flint	108	87	NV	1
1711	1	Retusjert avslag	retusjert fragment	flint	108	87	NV	1
1712	1	Retusjert avslag	retusjert fragment	flint	108	87	NV	1
1713	1	Kjerne	bipolar kjerne	flint	108	87	NV	1
1714	1	Diagnostisk avslag	cortexflekke	flint	108	87	NV	1
1715	4	Avslag	fragment	kvarts	108	87	NV	1
1716	4	Avslag		flint	108	87	NØ	1
1717	20	Avslag	fragment	flint	108	87	NØ	1
1718	1	Avslag	fragment	flint	108	87	NØ	1
1719	1	Avslag	fragment	flint	108	87	NØ	1
1720	1	Flekke	mikroflekke	flint	108	87	NØ	1
1721	1	Diagnostisk avslag	cortexflekke	flint	108	87	NØ	1
1722	1	Avslag	fragment	kvarts	108	87	NØ	1
1723	1	Avslag		flint	109	87	SV	1
1724	23	Avslag	fragment	flint	109	87	SV	1
1725	1	Avslag	fragment	flint	109	87	SV	1
1726	1	Kjernefragment	bipolart kjernefragment	flint	109	87	SV	1
1727	1	Flekke	mikroflekke	flint	109	87	SV	1

1728	1	Flekke	mikroflekke	flint	109	87	SV	1
1729	1	Flekke	mikroflekke	flint	109	87	SV	1
1730	3	Avslag	fragment	kvarts	109	87	SV	1
1731	1	Avslag	fragment	kvartsitt	109	87	SV	1
1732	1	Avslag	fragment	bergkrystall	109	87	SV	1
1736	1	Retusjert avslag	retusjert fragment	flint	109	87	SØ	1
1734	22	Avslag	fragment	flint	109	87	SØ	1
1735	1	Avslag	fragment	flint	109	87	SØ	1
1737	1	Kjerne	kjølformet kjerne	flint	109	87	SØ	1
1738	1	Kjernefragment	bipolart kjernefragment	flint	109	87	SØ	1
1739	1	Avslag	fragment	kvarts	109	87	SØ	1
1740	1	Avslag	fragment	jaspis	109	87	SØ	1
1733	1	Avslag		flint	109	87	SØ	1
1741	5	Avslag		flint	108	88	NV	1
1742	15	Avslag	fragment	flint	108	88	NV	1
1743	1	Flekke	mikroflekke	flint	108	88	NV	1
1744	1	Flekke	mikroflekke	flint	108	88	NV	1
1745	4	Avslag	fragment	kvarts	108	88	NV	1
1746	1	Avslag	fragment	jaspis	108	88	NV	1
1747	2	Avslag		flint	109	88	SV	1
1748	13	Avslag	fragment	flint	109	88	SV	1
1749	1	Kjernefragment	bipolart kjernefragment	flint	109	88	SV	1
1750	1	Diagnostisk avslag	flekkelignende avslag	flint	109	88	SV	1
1751	1	Knoll		flint	109	88	SV	1
1752	3	Avslag	fragment	kvarts	109	88	SV	1
1753	4	Avslag		flint	109	88	SØ	1
1754	14	Avslag	fragment	flint	109	88	SØ	1
1755	2	Avslag	fragment	kvarts	109	88	SØ	1
1756	2	Avslag		flint	109	89	SV	1
1757	8	Avslag	fragment	flint	109	89	SV	1
1760	2	Avslag	fragment	kvarts	109	89	SV	1
1758	1	Avslag	fragment	flint	109	89	SV	1
1759	1	Kjernefragment	bipolart kjernefragment	flint	109	89	SV	1
1761	2	Avslag		flint	110	87	SV	1
1762	5	Avslag	fragment	flint	110	87	SV	1
1763	1	Avslag	fragment	flint	110	87	SV	1
1764	1	Kjernefragment	bipolart kjernefragment	flint	110	87	SV	1
1765	1	Avslag		flint	110	87	SØ	1
1766	6	Avslag	fragment	flint	110	87	SØ	1
1767	1	Flekke	makroflekke	flint	110	87	SØ	1
1768	6	Avslag		flint	110	87	NV	1
1769	12	Avslag	fragment	flint	110	87	NV	1
1770	1	Avslag	fragment	flint	110	87	NV	1
1771	1	Kjernefragment	bipolart kjernefragment	flint	110	87	NV	1
1772	1	Retusjert avslag	retusjert fragment	flint	110	87	NV	1

1773	2	Avslag	fragment	kvarts	110	87	NV	1
1774	1	Avslag		bergart	110	87	NV	1
1780	1	Borspiss	borspiss på avslag	flint	110	87	NØ	1
1775	1	Avslag		flint	110	87	NØ	1
1776	7	Avslag	fragment	flint	110	87	NØ	1
1777	1	Avslag	medioavslag	flint	110	87	NØ	1
1778	1	Retusjert avslag	retusjert fragment	flint	110	87	NØ	1
1779	1	Flekke	mikroflekke	flint	110	87	NØ	1
1781	1	Prepareringsavs lag	plattformavslag	flint	110	87	NØ	1
1782	5	Avslag	fragment	flint	111	87	SV	1
1783	1	Avslag	medioavslag	flint	111	87	SV	1
1784	1	Kjerne	bipolar kjerne	flint	111	87	SV	1
1785	1	Flekke	mikroflekke	flint	111	87	SV	1
1786	1	Diagnostisk avslag	cortexflekke	flint	111	87	SV	1
1787	7	Avslag	fragment	flint	111	87	SØ	1
1788	1	Kjernefragment	bipolart kjernefragment	flint	111	87	SØ	1
1789	1	Flekke	mikroflekke	flint	111	87	SØ	1
1790	1	Flekke	mikroflekke	flint	111	87	SØ	1
1791	1	Avslag		flint	111	87	NV	1
1792	12	Avslag	fragment	flint	111	87	NV	1
1793	1	Flekke	makroflekke	flint	111	87	NV	1
1794	1	Avslag		flint	111	87	NØ	1
1795	14	Avslag	fragment	flint	111	87	NØ	1
1796	1	Avslag	fragment	flint	111	87	NØ	1
1797	1	Kjerne	bipolar kjerne	flint	111	87	NØ	1
1798	1	Kjerne	bipolar kjerne	flint	111	87	NØ	1
1799	1	Skraper	ubestemt skraper	flint	111	87	NØ	1
1800	1	Avslag		kvartsitt	111	87	NØ	1
1801	1	Avslag		kvartsitt	111	87	NØ	1
1802	1	Avslag		flint	110	88	SV	1
1803	20	Avslag	fragment	flint	110	88	SV	1
1804	1	Avslag	fragment	flint	110	88	SV	1
1805	1	Avslag	fragment	flint	110	88	SV	1
1806	1	Flekke	mikroflekke	flint	110	88	SV	1
1807	1	Kjerne	bipolar kjerne	flint	110	88	SV	1
1808	3	Avslag		flint	110	88	NV	1
1809	15	Avslag	fragment	flint	110	88	NV	1
1810	1	Retusjert avslag	retusjert fragment	flint	110	88	NV	1
1811	1	Avslag	fragment	flint	110	88	NV	1
1812	1	Flekke	makroflekke	flint	110	88	NV	1
1813	1	Avslag	fragment	jaspis	110	88	NV	1
1814	1	Avslag		flint	107	91	SV	1
1815	12	Avslag	fragment	flint	107	91	SV	1
1816	1	Avslag	fragment	flint	107	91	SV	1
1819	1	Flekke	mikroflekke	flint	107	91	SV	1
1817	1	Kjernefragment	bipolart kjernefragment	flint	107	91	SV	1
1818	1	Flekke	mikroflekke	flint	107	91	SV	1

1820	1	Avslag		flint	107	91	NØ	1
1821	6	Avslag	fragment	flint	107	91	NØ	1
1822	1	Avslag	medioavslag	flint	107	91	NØ	1
1823	1	Kjernefragment	bipolart kjernefragment	flint	107	91	NØ	1
1824	1	Kjernefragment	bipolart kjernefragment	flint	107	91	NØ	1
1825	1	Kjernefragment	bipolart kjernefragment	flint	107	91	NØ	1
1826	1	Flekke	mikroflekke	flint	107	91	NØ	1
1827	2	Avslag		flint	107	91	SØ	1
1828	18	Avslag	fragment	flint	107	91	SØ	1
1829	1	Avslag	fragment	flint	107	91	SØ	1
1830	1	Avslag	fragment	flint	107	91	SØ	1
1831	1	Kjernefragment	bipolart kjernefragment	flint	107	91	SØ	1
1832	1	Kjernefragment	bipolart kjernefragment	flint	107	91	SØ	1
1833	1	Flekke	mikroflekke	flint	107	91	SØ	1
1834	1	Diagnostisk avslag	flekkelignende avslag	flint	107	91	SØ	1
1835	2	Avslag		flint	107	91	NV	1
1836	7	Avslag	fragment	flint	107	91	NV	1
1837	1	Avslag	fragment	flint	107	91	NV	1
1838	1	Kjerne	bipolar kjerne	flint	107	91	NV	1
1839	1	Kjerne	bipolar kjerne	flint	107	91	NV	1
1840	1	Kjernefragment	bipolart kjernefragment	flint	107	91	NV	1
1841	1	Flekke	mikroflekke	flint	107	91	NV	1
1842	1	Retusjert flekke	retusjert makroflekke	flint	107	91	NV	1
1843	2	Avslag		flint	108	114	SV	1
1844	1	Avslag	fragment	flint	108	114	SV	1
1845	1	Flekke	medioflekke	flint	108	114	SV	1
1846	1	Avslag		flint	108	114	SØ	1
1847	1	Diagnostisk avslag	flekkelignende avslag	flint	108	114	SØ	1
1848	2	Avslag	fragment	flint	108	114	NV	1
1849	1	Avslag	fragment	flint	108	114	NØ	1
1850	1	Avslag	fragment	flint	108	114	NØ	1
1851	2	Avslag	fragment	flint	108	115	SV	1
1852	1	Avslag	medioavslag	flint	108	115	SV	1
1853	9	Avslag	fragment	flint	108	115	SØ	1
1854	1	Avslag		flint	108	115	NØ	1
1855	8	Avslag	fragment	flint	108	115	NØ	1
1856	3	Avslag	fragment	kvarts	108	115	NØ	1
1857	1	Avslag		bergkrystall	108	115	NØ	1
1858	1	Avslag		flint	107	116	SØ	1
1859	5	Avslag	fragment	flint	107	116	SØ	1
1860	2	Avslag		flint	107	116	NØ	1
1861	6	Avslag	fragment	flint	107	116	NØ	1
1862	1	Kjerne	bipolar kjerne	flint	107	116	NØ	1
1863	1	Flekke	mikroflekke	flint	107	116	NØ	1

1864	2	Avslag		flint	108	116	SV	1
1865	9	Avslag	fragment	flint	108	116	SV	1
1866	1	Avslag	fragment	flint	108	116	SV	1
1867	1	Kjerne	bipolar kjerne	flint	108	116	SV	1
1868	1	Kjerne	bipolar kjerne	flint	108	116	SV	1
1869	11	Avslag	fragment	flint	108	116	SØ	1
1870	1	Flekke	mikroflekke	flint	108	116	SØ	1
1871	2	Avslag	fragment	kvarts	108	116	SØ	1
1872	1	Avslag	fragment	kvartsitt	108	116	SØ	1
1873	1	Avslag		flint	108	116	NØ	1
1874	11	Avslag	fragment	flint	108	116	NØ	1
1875	1	Avslag	fragment	kvarts	108	116	NØ	1
1876	1	Kjerne	bipolar kjerne	kvarts	108	116	NØ	1
1877	1	Avslag		flint	107	117	SV	1
1878	20	Avslag	fragment	flint	107	117	SV	1
1882	1	Avslag		bergkrystall	107	117	SV	1
1879	1	Avslag	fragment	flint	107	117	SV	1
1880	1	Avslag	fragment	flint	107	117	SV	1
1881	2	Avslag	fragment	flint	107	117	SV	1
1883	1	Avslag	fragment	bergkrystall	107	117	SV	1
1884	2	Avslag		flint	107	117	SØ	1
1885	2	Avslag	fragment	flint	107	117	SØ	1
1886	1	Flekke	mikroflekke	flint	107	117	SØ	1
1887	1	Avslag	fragment	kvarts	107	117	SØ	1
1889	11	Avslag	fragment	flint	107	117	NV	1
1888	1	Avslag		flint	107	117	NV	1
1890	11	Avslag	fragment	flint	107	117	NØ	1
1891	1	Kjernefragment	bipolart kjernefragment	flint	107	117	NØ	1
1892	8	Avslag	fragment	flint	108	117	SV	1
1893	1	Avslag		flint	108	117	SØ	1
1894	9	Avslag	fragment	flint	108	117	SØ	1
1895	1	Retusjert avslag	retusjert fragment	flint	108	117	SØ	1
1898	1	Avslag	fragment	kvartsitt	108	117	SØ	1
1896	1	Flekke	mikroflekke	flint	108	117	SØ	1
1897	1	Avslag	fragment	kvarts	108	117	SØ	1
1899	3	Avslag		flint	108	117	NV	1
1900	10	Avslag	fragment	flint	108	117	NV	1
1901	1	Kjerne	bipolar kjerne	flint	108	117	NV	1
1902	1	Avslag	fragment	kvarts	108	117	NV	1
1903	2	Avslag		flint	108	117	NØ	1
1904	10	Avslag	fragment	flint	108	117	NØ	1
1905	1	Avslag		flint	108	118	SØ	1
1906	5	Avslag	fragment	flint	108	118	SØ	1
1907	1	Kjerne	bipolar kjerne	flint	108	118	SØ	1
1908	1	Avslag	fragment	flint	108	118	NV	1
1909	1	Avslag	fragment	kvarts	108	118	NV	1
1910	1	Kjerne	bipolar kjerne	flint	108	118	NV	1
1911	1	Avslag		flint	108	118	NØ	1
1912	4	Avslag	fragment	flint	108	118	NØ	1

1913	1	Kernefragment	bipolart kernefragment	flint	108	118	NØ	1
1914	2	Avslag		flint	114	130	SØ	1
1915	12	Avslag	fragment	flint	114	130	SØ	1
1916	1	Kerne	bipolar kjerne	flint	114	130	SØ	1
1917	1	Kernefragment	bipolart kernefragment	flint	114	130	SØ	1
1918	1	Flekke	mikroflekke	flint	114	130	SØ	1
1919	9	Avslag	fragment	flint	114	130	NØ	1
1920	1	Kerne	bipolar kjerne	flint	114	130	NØ	1
1921	1	Kernefragment	bipolart kernefragment	flint	114	130	NØ	1
1922	1	Diagnostisk avslag	cortexflekke	bergkrystall	114	130	NØ	1
1923	1	Avslag		flint	112	131	SV	1
1924	1	Avslag	fragment	flint	112	131	SV	1
1925	5	Avslag		flint	112	131	SØ	1
1926	1	Kerne	bipolar kjerne	flint	112	131	SØ	1
1927	5	Avslag	fragment	flint	112	131	NV	1
1928	1	Avslag	fragment	flint	112	131	NV	1
1929	1	Avslag	fragment	kvarts	112	131	NV	1
1930	1	Avslag	fragment	kvartsitt	112	131	NV	1
1931	2	Avslag	fragment	flint	112	131	NØ	1
1932	1	Avslag	fragment	bergart	112	131	NØ	1
1933	4	Avslag	fragment	flint	113	131	NV	1
1934	6	Avslag	fragment	flint	113	131	NØ	1
1935	1	Kerne	bipolar kjerne	flint	113	131	NØ	1
1936	1	Avslag		kvarts	113	131	NØ	1
1937	1	Avslag	fragment	kvarts	113	131	NØ	1
1938	1	Kernefragment	bipolart kernefragment	bergkrystall	113	131	NØ	1
1939	2	Avslag		flint	114	131	SV	1
1940	20	Avslag	fragment	flint	114	131	SV	1
1941	1	Retusjert flekke	retusjert makroflekke	flint	114	131	SV	1
1942	1	Avslag		flint	114	131	SØ	1
1943	16	Avslag	fragment	flint	114	131	SØ	1
1944	1	Kerne	bipolar kjerne	flint	114	131	SØ	1
1945	1	Kernefragment	bipolart kernefragment	flint	114	131	SØ	1
1946	1	Flekke	mikroflekke	flint	114	131	SØ	1
1949	1	Kernefragment	bipolart kernefragment	flint	114	131	NV	1
1950	1	Diagnostisk avslag	cortexflekke	flint	114	131	NV	1
1947	2	Avslag		flint	114	131	NV	1
1948	12	Avslag	fragment	flint	114	131	NV	1
1951	1	Avslag		flint	114	131	NØ	1
1952	9	Avslag	fragment	flint	114	131	NØ	1
1953	1	Avslag	fragment	flint	114	131	NØ	1
1954	1	Avslag	fragment	flint	114	131	NØ	1
1955	1	Diagnostisk avslag	flekkelignende avslag	flint	114	131	NØ	1

1956	1	Avslag	fragment	bergkrystall	114	131	NØ	1
1957	7	Avslag	fragment	flint	115	131	SV	1
1958	1	Flekke	mikroflekke	flint	115	131	SV	1
1959	1	Avslag		flint	115	131	SØ	1
1960	3	Avslag	fragment	flint	115	131	SØ	1
1961	1	Avslag		flint	115	131	NV	1
1962	2	Avslag	fragment	flint	115	131	NV	1
1963	2	Avslag	fragment	flint	115	131	NØ	1
1966	1	Flekke	medioflekke	flint	110	132	NØ	1
1964	7	Avslag	fragment	flint	110	132	NØ	1
1965	1	Kjernefragment	plattformkjernefragme nt	flint	110	132	NØ	1
1967	3	Avslag		flint	111	132	SV	1
1968	3	Avslag	fragment	flint	111	132	SV	1
1969	1	Avslag	fragment	flint	111	132	SV	1
1970	1	Kjernefragment	bipolart kjernefragment	flint	111	132	SV	1
1971	1	Flekke	mikroflekke	flint	111	132	SV	1
1972	2	Avslag		flint	111	132	SØ	1
1973	7	Avslag	fragment	flint	111	132	SØ	1
1974	1	Avslag	fragment	jaspis	111	132	SØ	1
1975	1	Avslag		flint	111	132	NV	1
1976	7	Avslag	fragment	flint	111	132	NV	1
1977	1	Kjerne	bipolar kjerne	flint	111	132	NV	1
1978	1	Avslag		flint	111	132	NØ	1
1979	6	Avslag	fragment	flint	111	132	NØ	1
1980	1	Retusjert avslag	retusjert fragment	flint	111	132	NØ	1
1981	1	Kjerne	bipolar kjerne	flint	111	132	NØ	1
1982	1	Kjernefragment	bipolart kjernefragment	flint	111	132	NØ	1
1983	1	Avslag		flint	112	132	SV	1
1984	6	Avslag	fragment	flint	112	132	SV	1
1985	1	Retusjert avslag	retusjert medioavslag	flint	112	132	SV	1
1986	1	Avslag		flint	112	132	NV	1
1987	11	Avslag	fragment	flint	112	132	NV	1
1988	1	Kjerne	bipolar kjerne	flint	112	132	NV	1
1989	1	Kjernefragment	bipolart kjernefragment	flint	112	132	NV	1
1990	1	Kjernefragment	bipolart kjernefragment	flint	112	132	NV	1
1991	1	Flekke	mikroflekke	flint	112	132	NV	1
1992	6	Avslag	fragment	flint	112	132	NØ	1
1993	1	Avslag	fragment	jaspis	112	132	NØ	1
1994	4	Avslag	fragment	flint	113	132	NØ	1
1995	1	Avslag	fragment	kvarts	113	132	NØ	1
1996	1	Avslag		flint	114	132	SV	1
1997	7	Avslag	fragment	flint	114	132	SV	1
1998	1	Avslag	fragment	flint	114	132	SV	1
1999	1	Flekke	mikroflekke	flint	114	132	SV	1
2000	1	Kjernefragment	bipolart kjernefragment	flint	114	132	SV	1

2001	1	Avslag	fragment	jaspis	114	132	SV	1
2002	9	Avslag	fragment	flint	114	132	SØ	1
2003	1	Avslag		flint	114	132	NV	1
2004	12	Avslag	fragment	flint	114	132	NV	1
2005	1	Avslag	fragment	flint	114	132	NV	1
2006	1	Kjernefragment	bipolart kjernefragment	flint	114	132	NV	1
2007	1	Diagnostisk avslag	stikkelavslag	flint	114	132	NV	1
2008	3	Avslag		flint	114	132	NØ	1
2009	11	Avslag	fragment	flint	114	132	NØ	1
2010	1	Kjerne	bipolar kjerne	flint	114	132	NØ	1
2011	1	Avslag		bergart	114	132	NØ	1
2012	2	Avslag		flint	115	132	SV	1
2013	4	Avslag	fragment	flint	115	132	SV	1
2014	6	Avslag	fragment	flint	115	132	SØ	1
2015	1	Flekke	mikroflekke	flint	115	132	SØ	1
2016	2	Avslag	fragment	bergkrystall	115	132	SØ	1
2017	2	Avslag	fragment	jaspis	115	132	SØ	1
2018	4	Avslag	fragment	flint	115	132	NV	1
2019	1	Avslag		bergart	115	132	NV	1
2020	1	Avslag		flint	115	132	NØ	1
2021	4	Avslag	fragment	flint	115	132	NØ	1
2022	1	Diagnostisk avslag	flekkelignende avslag	flint	115	132	NØ	1
2023	1	Avslag		bergart	115	132	NØ	1
2024	10	Avslag	fragment	flint	116	132	SV	1
2025	1	Flekke	mikroflekke	flint	116	132	SV	1
2026	1	Avslag		bergart	116	132	SV	1
2027	1	Avslag	fragment	bergart	116	132	SV	1
2028	1	Avslag	fragment	bergart	116	132	SV	1
2029	1	Avslag		flint	116	132	SØ	1
2030	1	Flekke	mikroflekke	flint	116	132	SØ	1
2031	8	Avslag	fragment	flint	110	133	NV	1
2032	1	Retusjert avslag	retusjert fragment	flint	110	133	NV	1
2035	1	Diagnostisk avslag	flekkelignende avslag	kvartsitt	111	133	SV	1
2033	2	Avslag		flint	111	133	SV	1
2034	8	Avslag	fragment	flint	111	133	SV	1
2036	1	Avslag	fragment	jaspis	111	133	SV	1
2038	1	Fragment	slipt fragment	bergart	111	133	SØ	1
2037	5	Avslag	fragment	flint	111	133	SØ	1
2039	1	Avslag	fragment	flint	111	133	NV	1
2040	1	Kjernefragment	bipolart kjernefragment	flint	111	133	NV	1
2041	1	Avslag	fragment	kvartsitt	111	133	NV	1
2042	1	Avslag	fragment	flint	111	133	NØ	1
2043	2	Avslag	fragment	flint	112	133	SV	1
2044	1	Avslag	fragment	flint	112	133	SV	1
2045	1	Diagnostisk avslag	stikkelavslag	flint	112	133	SV	1

2046	2	Avslag	fragment	flint	112	133	SØ	1
2047	1	Avslag	fragment	flint	112	133	NV	1
2048	1	Avslag	fragment	flint	112	133	NV	1
2049	5	Avslag	fragment	flint	112	133	NØ	1
2050	7	Avslag	fragment	flint	113	133	NV	1
2051	1	Diagnostisk avslag	flekkelignende avslag	flint	113	133	NV	1
2052	8	Avslag	fragment	flint	113	133	NØ	1
2053	1	Avslag	fragment	flint	113	133	NØ	1
2054	1	Avslag	fragment	flint	113	133	NØ	1
2055	1	Kjerne	bipolar kjerne	flint	113	133	NØ	1
2056	1	Kjernefragment	bipolart kjernefragment	flint	113	133	NØ	1
2057	1	Flekke	makroflekke	flint	113	133	NØ	1
2058	1	Flekke	mikroflekke	flint	113	133	NØ	1
2059	1	Diagnostisk avslag	flekkelignende avslag	flint	113	133	NØ	1
2060	1	Diagnostisk avslag	flekkelignende avslag	flint	113	133	NØ	1
2062	1	Avslag	fragment	bergkrystall	113	133	NØ	1
2061	1	Diagnostisk avslag	flekkelignende avslag	flint	113	133	NØ	1
2063	5	Avslag	fragment	flint	114	133	SV	1
2064	1	Avslag	fragment	flint	114	133	SV	1
2065	3	Avslag		flint	114	133	SØ	1
2066	6	Avslag	fragment	flint	114	133	SØ	1
2067	1	Flekke	mikroflekke	flint	114	133	SØ	1
2068	5	Avslag	fragment	flint	114	133	NV	1
2069	1	Kjernefragment	bipolart kjernefragment	flint	114	133	NV	1
2070	7	Avslag	fragment	flint	114	133	NØ	1
2071	1	Avslag	fragment	flint	114	133	NØ	1
2072	2	Avslag		flint	115	133	SV	1
2073	4	Avslag	fragment	flint	115	133	SV	1
2074	1	Avslag	fragment	flint	115	133	SV	1
2075	1	Retusjert avslag	retusjert fragment	flint	115	133	SV	1
2076	1	Kjerne	bipolar kjerne	flint	115	133	SV	1
2077	2	Avslag	fragment	flint	115	133	SØ	1
2078	4	Avslag	fragment	flint	115	133	NV	1
2079	1	Diagnostisk avslag	flekkelignende avslag	flint	115	133	NV	1
2080	2	Avslag	fragment	flint	115	133	NØ	1
2081	13	Avslag	fragment	flint	111	134	NV	1
2082	1	Kjernefragment	bipolart kjernefragment	flint	111	134	NV	1
2083	1	Diagnostisk avslag	flekkelignende avslag	flint	111	134	NV	1
2084	1	Diagnostisk avslag	flekkelignende avslag	flint	111	134	NV	1
2085	2	Avslag	fragment	flint	112	134	SV	1
2086	1	Kjerne	bipolar kjerne	flint	112	134	SV	1
2087	1	Kjernefragment	bipolart kjernefragment	flint	112	134	SV	1

2088	12	Avslag	fragment	flint	112	134	SØ	1
2089	1	Flekke	mikrflekke	flint	112	134	SØ	1
2090	1	Retusjert avslag	retusjert fragment	flint	112	134	SØ	1
2091	7	Avslag	fragment	flint	112	134	NV	1
2092	1	Diagnostisk avslag	flekkelignende avslag	flint	112	134	NV	1
2093	1	Avslag	fragment	kvarts	112	134	NV	1
2094	6	Avslag	fragment	flint	112	134	NØ	1
2095	1	Avslag	fragment	flint	112	134	NØ	1
2096	1	Avslag	fragment	flint	112	134	NØ	1
2097	1	Kjernefragment	bipolart kjernefragment	flint	112	134	NØ	1
2098	1	Flekke	mikrflekke	flint	112	134	NØ	1
2099	1	Avslag		flint	113	134	NV	1
2100	11	Avslag	fragment	flint	113	134	NV	1
2101	1	Avslag	fragment	flint	113	134	NV	1
2102	1	Kjerne	bipolar kjerne	flint	113	134	NV	1
2103	1	Kjernefragment	bipolart kjernefragment	flint	113	134	NV	1
2104	17	Avslag	fragment	flint	114	134	SV	1
2105	1	Avslag	fragment	flint	114	134	SV	1
2106	4	Avslag		flint	108	116	NV	1
2107	17	Avslag	fragment	flint	108	116	NV	1
2108	1	Avslag	medioavslag	flint	108	116	NV	1
2109	1	Avslag	fragment	flint	108	116	NV	1
2110	1	Kjerne	bipolar kjerne	flint	108	116	NV	1
2111	1	Kjernefragment	bipolart kjernefragment	flint	108	116	NV	1
2112	1	Kjernefragment	bipolart kjernefragment	flint	108	116	NV	1
2113	1	Kjernefragment	bipolart kjernefragment	flint	108	116	NV	1
2114	4	Avslag	fragment	kvarts	108	116	NV	1
2115	6	Avslag	fragment	flint	114	87	NØ	1
2116	1	Avslag	fragment	flint	114	87	NØ	1
2117	4	Avslag	fragment	flint	117	81	SØ	2
2118	1	Avslag		flint	116	84	SV	2
2119	9	Avslag	fragment	flint	116	84	SV	2
2120	1	Diagnostisk avslag	flekkelignende avslag	flint	116	84	SV	2
2121	1	Kjernefragment	ubestemt kjernefragment	flint	116	84	SV	2
2122	1	Avslag	fragment	flint	116	86	SV	2
2123	4	Avslag	fragment	flint	116	86	SØ	2
2124	1	Kjernefragment	bipolart kjernefragment	flint	116	86	SØ	2
2125	1	Flekke	medioflekke	flint	116	86	SØ	2
2126	1	Avslag		flint	116	86	NV	2
2127	2	Avslag	fragment	flint	116	86	NV	2
2128	1	Retusjert avslag	retusjert medioavslag	flint	116	86	NV	2
2129	1	Flekke	medioflekke	flint	116	86	NV	2
2132	1	Avslag	fragment	flint	116	86	NØ	2

2130	2	Avslag		flint	116	86	NØ	2
2131	1	Avslag	fragment	flint	116	86	NØ	2
2133	18	Avslag	fragment	flint	117	86	SV	2
2134	1	Avslag	fragment	flint	117	86	SV	2
2135	1	Flekke	mikroflekke	flint	117	86	SV	2
2136	1	Flekke	mikroflekke	flint	117	86	SV	2
2137	4	Avslag		flint	117	86	SØ	2
2138	12	Avslag	fragment	flint	117	86	SØ	2
2139	1	Avslag	fragment	flint	117	86	SØ	2
2141	1	Kjernefragment	bipolart kjernefragment	flint	117	86	SØ	2
2142	1	Flekke	makroflekke	flint	117	86	SØ	2
2143	1	Flekke	makroflekke	flint	117	86	SØ	2
2144	1	Flekke	mikroflekke	flint	117	86	SØ	2
2145	1	Flekke	mikroflekke	flint	117	86	SØ	2
2146	1	Diagnostisk avslag	flekkelignende avslag	flint	117	86	SØ	2
2147	1	Diagnostisk avslag	flekkelignende avslag	flint	117	86	SØ	2
2148	1	Mikrolitt	lansettmikrolitt	flint	117	86	SØ	2
2149	1	Avslag	fragment	flint	117	86	NV	2
2150	2	Avslag	fragment	flint	117	86	NV	2
2151	1	Kjerne	bipolar kjerne	flint	117	86	NV	2
2152	2	Avslag		flint	117	86	NØ	2
2153	10	Avslag	fragment	flint	117	86	NØ	2
2154	1	Kjerne	bipolar kjerne	flint	117	86	NØ	2
2155	3	Avslag	fragment	flint	116	87	SV	2
2156	1	Flekke	medioflekke	flint	116	87	SV	2
2158	1	Flekke	mikroflekke	flint	116	87	SØ	2
2157	2	Avslag	fragment	flint	116	87	SØ	2
2160	1	Skraper	ubestemt skraper	flint	116	87	NV	2
2159	2	Avslag	fragment	flint	116	87	NV	2
2161	8	Avslag	fragment	flint	116	87	NØ	2
2162	1	Retusjert avslag	retusjert medioavslag	flint	116	87	NØ	2
2163	1	Avslag	fragment	kvarts	116	87	NØ	2
2167	1	Retusjert avslag	retusjert medioavslag	flint	117	87	SV	2
2164	19	Avslag	fragment	flint	117	87	SV	2
2165	1	Avslag	medioavslag	flint	117	87	SV	2
2166	1	Avslag	fragment	flint	117	87	SV	2
2168	1	Avslag	fragment	flint	117	87	SV	2
2169	1	Flekke	medioflekke	flint	117	87	SV	2
2170	1	Flekke	mikroflekke	flint	117	87	SV	2
2171	1	Flekke	mikroflekke	flint	117	87	SV	2
2172	1	Flekke	mikroflekke	flint	117	87	SV	2
2173	1	Flekke	mikroflekke	flint	117	87	SV	2
2174	1	Flekke	mikroflekke	flint	117	87	SV	2
2175	1	Avslag		flint	117	87	SØ	2
2176	6	Avslag	fragment	flint	117	87	SØ	2
2177	1	Avslag	fragment	flint	117	87	SØ	2

2178	1	Kjernefragment	bipolart kjernefragment	flint	117	87	SØ	2
2179	1	Flekke	makroflekke	flint	117	87	SØ	2
2180	3	Avslag	fragment	flint	117	87	NV	2
2181	1	Avslag	fragment	flint	117	87	NV	2
2182	2	Avslag		flint	117	87	NØ	2
2183	11	Avslag	fragment	flint	117	87	NØ	2
2184	1	Flekke	mikroflekke	flint	117	87	NØ	2
2185	1	Flekke	mikroflekke	flint	117	87	NØ	2
2186	3	Avslag		flint	119	88	SV	2
2187	16	Avslag	fragment	flint	119	88	SV	2
2188	1	Avslag	fragment	flint	119	88	SV	2
2189	1	Retusjert avslag	retusjert medioavslag	flint	119	88	SV	2
2190	1	Retusjert avslag	retusjert medioavslag	flint	119	88	SV	2
2191	1	Kjernefragment	bipolart kjernefragment	flint	119	88	SV	2
2192	1	Kjernefragment	bipolart kjernefragment	flint	119	88	SV	2
2193	1	Flekke	medioflekke	flint	119	88	SV	2
2194	1	Diagnostisk avslag	cortexflekke	flint	119	88	SV	2
2195	2	Avslag		flint	119	88	SØ	2
2196	7	Avslag	fragment	flint	119	88	SØ	2
2197	1	Avslag	fragment	flint	119	88	SØ	2
2198	2	Avslag		flint	119	88	NV	2
2199	17	Avslag	fragment	flint	119	88	NV	2
2200	1	Kjerne	ubestemt kjerne	flint	119	88	NV	2
2201	1	Kjerne	bipolar kjerne	flint	119	88	NV	2
2202	1	Flekke	mikroflekke	flint	119	88	NV	2
2203	1	Flekke	mikroflekke	flint	119	88	NV	2
2204	1	Diagnostisk avslag	flekkelignende avslag	flint	119	88	NV	2
2205	1	Avslag		flint	119	88	NØ	2
2206	10	Avslag	fragment	flint	119	88	NØ	2
2207	1	Avslag	fragment	flint	119	88	NØ	2
2208	1	Kjerne	bipolar kjerne	flint	119	88	NØ	2
2209	1	Kernefragment	bipolart kjernefragment	flint	119	88	NØ	2
2210	1	Flekke	mikroflekke	flint	119	88	NØ	2
2211	1	Diagnostisk avslag	flekkelignende avslag	flint	119	88	NØ	2
2212	1	Skraper	ubestemt skraper	flint	119	88	NØ	2
2216	1	Kernefragment	bipolart kjernefragment	flint	119	89	SV	2
2213	1	Avslag		flint	119	89	SV	2
2214	6	Avslag	fragment	flint	119	89	SV	2
2215	1	Avslag	fragment	flint	119	89	SV	2
2217	1	Diagnostisk avslag	flekkelignende avslag	flint	119	89	SV	2
2218	2	Avslag	fragment	flint	119	89	NV	2
2219	3	Avslag	fragment	flint	119	91	SV	2
2221	1	Flekke	medioflekke	flint	119	91	SV	2

2220	1	Retusjert avslag	retusjert fragment	flint	119	91	SV	2
2222	2	Avslag		flint	119	91	SØ	2
2223	9	Avslag	fragment	flint	119	91	SØ	2
2224	1	Avslag	fragment	flint	119	91	SØ	2
2225	1	Avslag	fragment	flint	119	91	SØ	2
2226	1	Kjernefragment	bipolart kjernefragment	flint	119	91	SØ	2
2227	1	Kjernefragment	ubestemt kjernefragment	flint	119	91	SØ	2
2228	1	Flekke	mikroflekke	flint	119	91	SØ	2
2229	8	Avslag	fragment	flint	119	91	NV	2
2230	1	Knakkestein		bergart	119	91	NV	2
2231	4	Avslag		flint	119	91	NØ	2
2232	1	Flekke	makroflekke	flint	119	91	NØ	2
2233	2	Avslag		flint	119	92	SV	2
2234	21	Avslag	fragment	flint	119	92	SV	2
2235	1	Avslag	fragment	flint	119	92	SV	2
2236	1	Kjernefragment	bipolart kjernefragment	flint	119	92	SV	2
2237	1	Flekke	makroflekke	flint	119	92	SV	2
2238	1	Flekke	mikroflekke	flint	119	92	SV	2
2239	1	Diagnostisk avslag	flekkelignende avslag	flint	119	92	SV	2
2240	1	Borspiss	ubestemt borspiss	flint	119	92	SV	2
2241	1	Skrapere	ubestemt skrapere	flint	119	92	SV	2
2245	1	Retusjert avslag	retusjert fragment	flint	119	92	SØ	2
2242	1	Avslag		flint	119	92	SØ	2
2243	32	Avslag	fragment	flint	119	92	SØ	2
2244	1	Retusjert avslag	retusjert fragment	flint	119	92	SØ	2
2246	1	Kjernefragment	bipolart kjernefragment	flint	119	92	SØ	2
2247	1	Flekke	makroflekke	flint	119	92	SØ	2
2248	1	Diagnostisk avslag	flekkelignende avslag	flint	119	92	SØ	2
2249	1	Diagnostisk avslag	flekkelignende avslag	flint	119	92	SØ	2
2250	1	Diagnostisk avslag	avslag fra økseproduksjon	flint	119	92	SØ	2
2254	1	Kjernefragment	bipolart kjernefragment	flint	119	92	NV	2
2251	33	Avslag	fragment	flint	119	92	NV	2
2252	1	Avslag	fragment	flint	119	92	NV	2
2253	1	Avslag	fragment	flint	119	92	NV	2
2255	1	Kernefragment	bipolart kjernefragment	flint	119	92	NV	2
2256	1	Kernefragment	ubestemt kjernefragment	flint	119	92	NV	2
2257	1	Flekke	mikroflekke	flint	119	92	NV	2
2258	1	Fragment	slitt fragment	bergart	119	92	NV	2
2259	1	Avslag		flint	119	92	NØ	2
2260	31	Avslag	fragment	flint	119	92	NØ	2
2261	1	Kerne	bipolar kjerne	flint	119	92	NØ	2
2262	1	Kerne	bipolar kjerne	flint	119	92	NØ	2

2263	1	Flekke	medioflekke	flint	119	92	NØ	2
2264	1	Flekke	mikroflekke	flint	119	92	NØ	2
2265	1	Diagnostisk avslag	flekkelignende avslag	flint	119	92	NØ	2
2268	1	Avslag		flint	119	93	SV	2
2269	37	Avslag	fragment	flint	119	93	SV	2
2270	1	Retusjert avslag	retusjert fragment	flint	119	93	SV	2
2271	1	Kjernefragment	bipolart kjernefragment	flint	119	93	SV	2
2272	1	Flekke	mikroflekke	flint	119	93	SV	2
2273	1	Diagnostisk avslag	flekkelignende avslag	flint	119	93	SV	2
2274	2	Avslag	fragment	kvarts	119	93	SV	2
2275	1	Flekke	mikroflekke	kvarts	119	93	SV	2
2279	1	Kjernefragment	bipolart kjernefragment	flint	119	93	SØ	2
2276	20	Avslag	fragment	flint	119	93	SØ	2
2277	1	Kjerne	bipolar kjerne	flint	119	93	SØ	2
2278	1	Kjerne	bipolar kjerne	flint	119	93	SØ	2
2280	1	Kjernefragment	bipolart kjernefragment	flint	119	93	SØ	2
2281	1	Flekke	medioflekke	flint	119	93	SØ	2
2282	1	Flekke	mikroflekke	flint	119	93	SØ	2
2283	1	Flekke	mikroflekke	flint	119	93	SØ	2
2284	1	Avslag	fragment	kvarts	119	93	SØ	2
2285	1	Avslag	fragment	kvartsitt	119	93	SØ	2
2286	5	Avslag		flint	119	93	NV	2
2287	21	Avslag	fragment	flint	119	93	NV	2
2288	1	Kjerne	bipolar kjerne	flint	119	93	NV	2
2289	1	Flekke	mikroflekke	flint	119	93	NV	2
2290	1	Flekke	mikroflekke	flint	119	93	NV	2
2291	1	Flekke	mikroflekke	flint	119	93	NV	2
2292	1	Flekke	mikroflekke	flint	119	93	NV	2
2293	2	Avslag	fragment	kvarts	119	93	NV	2
2295	1	Avslag	fragment	bergart	119	93	NV	2
2294	1	Kjerne	bipolar kjerne	kvarts	119	93	NV	2
2296	1	Avslag		flint	119	93	NØ	2
2297	27	Avslag	fragment	flint	119	93	NØ	2
2298	1	Retusjert avslag	retusjert fragment	flint	119	93	NØ	2
2299	1	Kjerne	bipolar kjerne	flint	119	93	NØ	2
2300	1	Kjernefragment	bipolart kjernefragment	flint	119	93	NØ	2
2301	1	Flekke	mikroflekke	flint	119	93	NØ	2
2302	1	Flekke	mikroflekke	flint	119	93	NØ	2
2303	1	Flekke	mikroflekke	flint	119	93	NØ	2
2304	1	Flekke	mikroflekke	flint	119	93	NØ	2
2305	1	Flekke	mikroflekke	flint	119	93	NØ	2
2306	1	Diagnostisk avslag	flekkelignende avslag	flint	119	93	NØ	2
2307	1	Avslag		skifer	119	93	NØ	2
2308	1	Fragment	slipt fragment	skifer	119	93	NØ	2
2309	1	Avslag		flint	109	83	SV	2

2310	14	Avslag	fragment	flint	109	83	SV	2
2311	1	Flekke	mikroflekke	flint	109	83	SV	2
2312	1	Avslag	fragment	kvarts	109	83	SV	2
2313	1	Avslag	fragment	bergkrystall	109	83	SV	2
2314	1	Kjerne	ubestemt kjerne	bergart	109	83	SV	2
2316	1	Retusjert avslag	retusjert fragment	flint	109	83	SØ	2
2315	12	Avslag	fragment	flint	109	83	SØ	2
2317	1	Flekke	medioflekke	flint	109	83	SØ	2
2318	1	Avslag	fragment	kvarts	109	83	SØ	2
2319	19	Avslag	fragment	flint	109	84	SV	2
2320	1	Flekke	mikroflekke	flint	109	84	SV	2
2321	1	Flekke	mikroflekke	flint	109	84	SV	2
2322	1	Flekke	mikroflekke	flint	109	84	SV	2
2323	3	Avslag	fragment	flint	109	84	SV	2
2324	2	Avslag		flint	109	84	SØ	2
2325	23	Avslag	fragment	flint	109	84	SØ	2
2326	1	Avslag	fragment	flint	109	84	SØ	2
2327	1	Avslag	fragment	flint	109	84	SØ	2
2328	1	Avslag	fragment	flint	109	84	SØ	2
2329	1	Kjerne	bipolar kjerne	flint	109	84	SØ	2
2330	1	Kjerne	bipolar kjerne	flint	109	84	SØ	2
2331	2	Avslag		flint	110	84	SØ	2
2332	16	Avslag	fragment	flint	110	84	SØ	2
2333	1	Avslag	fragment	flint	110	84	SØ	2
2334	1	Kjerne	bipolar kjerne	flint	110	84	SØ	2
2335	1	Kjerne	bipolar kjerne	flint	110	84	SØ	2
2336	1	Kjernefragment	bipolart kjernefragment	flint	110	84	SØ	2
2337	1	Kjernefragment	plattformkjernefragme nt	flint	110	84	SØ	2
2338	1	Diagnostisk avslag	flekkelignende avslag	flint	110	84	SØ	2
2339	4	Avslag	fragment	kvarts	110	84	SØ	2
2343	1	Kjernefragment	bipolart kjernefragment	flint	110	84	NØ	2
2340	28	Avslag	fragment	flint	110	84	NØ	2
2341	1	Retusjert avslag	retusjert fragment	flint	110	84	NØ	2
2342	1	Kjerne	bipolar kjerne	flint	110	84	NØ	2
2344	1	Kjernefragment	bipolart kjernefragment	flint	110	84	NØ	2
2345	1	Flekke	mikroflekke	flint	110	84	NØ	2
2346	2	Avslag	fragment	kvarts	110	84	NØ	2
2347	1	Avslag	fragment	bergart	110	84	NØ	2
2348	25	Avslag	fragment	flint	109	85	SV	2
2349	1	Avslag	fragment	flint	109	85	SV	2
2350	1	Kjerne	bipolar kjerne	flint	109	85	SV	2
2351	1	Kjernefragment	bipolart kjernefragment	flint	109	85	SV	2
2355	2	Avslag	fragment	kvarts	109	85	SV	2
2352	1	Flekke	mikroflekke	flint	109	85	SV	2
2353	1	Flekke	mikroflekke	flint	109	85	SV	2

2354	1	Diagnostisk avslag	flekkelignende avslag	flint	109	85	SV	2
2356	1	Avslag		flint	109	85	SØ	2
2357	27	Avslag	fragment	flint	109	85	SØ	2
2358	1	Flekke	mikroflekke	flint	109	85	SØ	2
2359	6	Avslag	fragment	kvarts	109	85	SØ	2
2360	3	Avslag		flint	109	86	SV	2
2361	24	Avslag	fragment	flint	109	86	SV	2
2362	1	Avslag	fragment	flint	109	86	SV	2
2363	4	Avslag	fragment	kvarts	109	86	SV	2
2364	11	Avslag	fragment	flint	109	86	SØ	2
2365	4	Avslag	fragment	kvarts	109	86	SØ	2
2366	10	Avslag	fragment	flint	111	86	SØ	2
2367	1	Avslag	fragment	flint	111	86	SØ	2
2368	1	Avslag	fragment	kvarts	111	86	SØ	2
2369	1	Avslag		flint	111	86	NV	2
2370	12	Avslag	fragment	flint	111	86	NV	2
2371	2	Avslag	fragment	kvarts	111	86	NV	2
2372	2	Avslag		flint	111	86	NØ	2
2373	14	Avslag	fragment	flint	111	86	NØ	2
2374	5	Avslag	fragment	kvarts	111	86	NØ	2
2375	1	Avslag		flint	114	131	SV	2
2376	1	Avslag	fragment	flint	113	132	NV	2
2377	2	Avslag	fragment	flint	114	132	NØ	2
2378	2	Avslag		flint	113	133	NØ	2
2379	2	Avslag	fragment	flint	113	133	NØ	2
2380	13	Avslag	fragment	flint	117	86	SØ	3
2381	1	Retusjert avslag	retusjert fragment	flint	117	86	SØ	3
2382	1	Flekke	makroflekke	flint	117	86	SØ	3
2383	1	Flekke	medioflekke	flint	117	86	SØ	3
2387	1	Kjerne	bipolar kjerne	flint	119	93	SV	3
2384	34	Avslag	fragment	flint	119	93	SV	3
2385	1	Avslag	fragment	flint	119	93	SV	3
2386	1	Retusjert avslag	retusjert fragment	flint	119	93	SV	3
2388	1	Kjerne	bipolar kjerne	flint	119	93	SV	3
2389	1	Kjernefragment	bipolart kjernefragment	flint	119	93	SV	3
2390	1	Flekke	mikroflekke	flint	119	93	SV	3
2391	1	Flekke	mikroflekke	flint	119	93	SV	3
2392	1	Flekke	medioflekke	flint	119	93	SV	3
2393	1	Avslag		flint	119	93	SØ	3
2394	10	Avslag	fragment	flint	119	93	SØ	3
2395	1	Avslag		flint	119	93	NV	3
2396	19	Avslag	fragment	flint	119	93	NV	3
2397	1	Kjerne	bipolar kjerne	flint	119	93	NV	3
2398	1	Kjerne	bipolar kjerne	flint	119	93	NV	3
2399	1	Flekke	mikroflekke	flint	119	93	NV	3
2400	1	Flekke	medioflekke	flint	119	93	NV	3
2401	3	Avslag	fragment	flint	119	93	NØ	3
2402	1	Retusjert avslag	retusjert medioavslag	flint	119	93	NØ	3

2403	1	Kjerne	bipolar kjerne	flint	119	93	NØ	3
2404	1	Kjerne	bipolar kjerne	flint	119	93	NØ	3
2405	1	Flekke	mikroflekke	flint	119	93	NØ	3
2406	1	Flekke	mikroflekke	flint	119	93	NØ	3
2407	1	Flekke	mikroflekke	flint	119	93	NØ	3
2408	1	Avslag		flint	111	86	NV	3
2409	4	Avslag	fragment	flint	111	86	NV	3
2410	1	Flekke	mikroflekke	flint	111	86	NV	3
2411	1	Borspiss	borspiss på flekke	flint	111	86	NV	3
2412	1	Avslag	fragment	kvarts	111	86	NV	3
2413	1	Avslag	fragment	bergart	111	86	NV	3
2417	1	Kjerne	bipolar kjerne	flint	111	86	NØ	3
2414	1	Avslag		flint	111	86	NØ	3
2415	7	Avslag	fragment	flint	111	86	NØ	3
2416	1	Avslag	medioavslag	flint	111	86	NØ	3
2418	1	Kjerne	bipolar kjerne	flint	111	86	NØ	3
2419	1	Flekke	mikroflekke	flint	111	86	NØ	3
2420	1	Diagnostisk avslag	cortexflekke	flint	111	86	NØ	3
2421	1	Diagnostisk avslag	flekkelignende avslag	flint	111	86	NØ	3
2422	1	Avslag	fragment	bergkrystall	111	86	NØ	3
2423	1	Avslag	fragment	kvarts	111	86	NØ	3
2424	1	Avslag		flint				
2425	5	Avslag	fragment	flint				
2426	1	Kjerne	bipolar kjerne	flint				
2427	1	Kjernefragment	bipolart kjernefragment	flint				
2428	1	Flekke	medioflekke	flint				
2429	3	Avslag	fragment	flint				
2430	1	Flekke	mikroflekke	flint				
2431	1	Diagnostisk avslag	flekkelignende avslag	flint				
2432	2	Avslag	fragment	kvarts				
2433	3	Avslag		flint				
2434	41	Avslag	fragment	flint				
2437	1	Kjerne	bipolar kjerne	flint				
2435	1	Kjerne	bipolar kjerne	flint				
2436	1	Kjerne	bipolar kjerne	flint				
2438	1	Kjernefragment	bipolart kjernefragment	flint				
2439	1	Flekke	mikroflekke	flint				
2440	1	Flekke	mikroflekke	flint				
2441	1	Diagnostisk avslag	flekkelignende avslag	flint				
2442	4	Avslag	fragment	flint				
2443	3	Avslag		flint				
2444	36	Avslag	fragment	flint				
2445	1	Avslag	fragment	flint				
2446	1	Avslag	fragment	flint				
2447	1	Kjerne	bipolar kjerne	flint				

2448	1	Kjerne	bipolar kjerne	flint				
2449	1	Kjernefragment	bipolart kjernefragment	flint				
2450	1	Kjernefragment	bipolart kjernefragment	flint				
2451	12	Avslag	fragment	kvarts				
2452	2	Avslag	fragment	flint	105	78	NV	1
2453	1	Flekke	mikroflekke	flint	105	78	NV	2
2455	1	Avslag	fragment	flint	110	78	SV	1
2454	1	Avslag		flint	110	78	SV	1
2456	5	Avslag	fragment	flint	110	78	SV	2
2457	2	Avslag	fragment	flint	114	78	SV	1
2458	1	Avslag	fragment	flint	114	78	SV	2
2459	2	Avslag	fragment	flint	114	78	SV	3
2460	1	Avslag	medioavslag	flint	114	78	SV	3
2461	5	Avslag	fragment	flint	104	100	SV	1
2462	1	Avslag		flint	104	100	SV	2
2463	2	Avslag	fragment	flint	104	100	SV	2
2464	1	Kjernefragment	bipolart kjernefragment	flint	104	100	SV	2
2465	1	Avslag	fragment	flint	104	100	SV	3
2466	2	Avslag	fragment	flint	102	104	SV	1
2467	1	Flekke	mikroflekke	flint	102	104	SV	2
2468	1	Avslag	fragment	flint	102	104	SV	3
2469	4	Avslag	fragment	flint	108	104	SV	1
2470	1	Diagnostisk avslag	flekkelignende avslag	kvarts	108	104	SV	2
2471	1	Avslag	medioavslag	kvartsitt	108	104	SV	2
2472	3	Avslag	fragment	flint	108	104	SV	3
2473	1	Flekke	mikroflekke	flint	108	104	SV	3
2474	1	Avslag	fragment	flint	112	104	SV	1
2475	1	Kjerne	ubestemt kjerne	flint	112	104	SV	1
2476	1	Avslag	fragment	flint	112	104	SV	3
2477	1	Flekke	mikroflekke	flint	112	104	SV	4
2478	1	Kjerne	bipolar kjerne	flint	108	108	SV	2
2479	2	Avslag	fragment	flint	112	108	SV	1
2480	3	Avslag	fragment	flint	108	112	SV	1
2481	1	Retusjert avslag	retusjert medioavslag	flint	108	112	SV	1
2482	1	Kjernefragment	bipolart kjernefragment	flint	108	112	SV	1
2483	1	Flekke	medioflekke	flint	108	112	SV	1
2484	1	Flekke	mikroflekke	flint	108	112	SV	1
2485	1	Flekke	mikroflekke	flint	108	112	SV	1
2486	1	Avslag	fragment	flint	112	112	SV	1
2487	2	Avslag	fragment	flint	116	112	SV	1
2488	1	Kjerne	bipolar kjerne	flint	116	112	SV	1
2489	1	Kjernefragment	bipolart kjernefragment	flint	116	112	SV	1
2490	1	Kjernefragment	bipolart kjernefragment	flint	116	112	SV	1
2491	2	Avslag	fragment	flint	116	112	SV	2

2492	1	Kjernefragment	bipolart kjernefragment	flint	116	112	SV	2
2493	1	Avslag	fragment	flint	116	112	SV	4
2494	5	Avslag	fragment	flint	116	116	SV	2
2495	1	Flekke	medioflekke	flint	116	116	SV	2
2496	1	Flekke	medioflekke	flint	116	116	SV	2
2497	2	Avslag	fragment	kvartsitt	116	116	SV	2
2498	1	Avslag		flint	116	116	SV	3
2499	3	Avslag	fragment	flint	116	116	SV	3
2500	1	Avslag	fragment	flint	116	116	SV	3
2501	1	Kjerne	ubestemt kjerne	flint	116	116	SV	3
2502	1	Avslag	fragment	bergkrystall	116	116	SV	3
2503	1	Kjernefragment	bipolart kjernefragment	bergkrystall	116	116	SV	3
2504	2	Avslag		flint	116	116	SV	4
2505	1	Avslag	fragment	flint	116	116	SV	4
2506	1	Kjernefragment	bipolart kjernefragment	flint	116	116	SV	4
2507	1	Avslag	fragment	flint	116	116	SV	5
2508	1	Avslag		flint	108	118	SV	1
2509	3	Avslag	fragment	flint	108	118	SV	1
2510	1	Avslag	fragment	flint	108	118	SV	1
2511	1	Flekke	medioflekke	flint	108	118	SV	1
2512	1	Flekke	mikroflekke	flint	108	118	SV	1
2513	1	Avslag	fragment	kvarts	108	118	SV	1
2514	1	Avslag	fragment	kvartsitt	108	118	SV	1
2515	3	Avslag	fragment	flint	108	118	SV	2
2516	3	Avslag	fragment	flint	116	122	SV	1
2519	1	Avslag		kvartsitt	116	122	SV	1
2517	1	Avslag	fragment	flint	116	122	SV	1
2518	1	Avslag	fragment	flint	116	122	SV	1
2520	2	Avslag	fragment	flint	116	122	SV	2
2521	1	Avslag	makroavslag	flint	116	122	SV	3
2522	2	Avslag	fragment	flint	116	122	SV	3
2523	1	Avslag	fragment	flint	116	122	SV	4
2524	4	Avslag	fragment	flint	120	122	SV	1
2525	1	Avslag	fragment	flint	120	126	SV	1
2527	1	Flekke	mikroflekke	flint	116	130	SV	1
2526	1	Avslag	fragment	flint	116	130	SV	1
2530	1	Stein		bergart	116	130	SV	2
2528	1	Avslag	fragment	flint	116	130	SV	2
2529	1	Avslag	fragment	flint	116	130	SV	2
2531	2	Avslag		flint	113	132	NV	1
2532	16	Avslag	fragment	flint	113	132	NV	1
2533	1	Kjerne	bipolar kjerne	flint	113	132	NV	1
2534	1	Kjernefragment	bipolart kjernefragment	flint	113	132	NV	1
2535	1	Kjernefragment	bipolart kjernefragment	flint	113	132	NV	1
2536	1	Kjernefragment	bipolart kjernefragment	flint	113	132	NV	1

2537	1	Diagnostisk avslag	flekkelignende avslag	flint	113	132	NV	1
2538	1	Avslag	fragment	kvarts	113	132	NV	1
2539	1	Avslag	fragment	kvartsitt	113	132	NV	1
2540	1	Avslag	fragment	flint	116	134	SV	1
2541	1	Avslag		flint	120	134	SV	1
2542	2	Avslag	fragment	flint	116	138	SV	1
2543	1	Flekke	medioflekke	flint	116	138	SV	1
2544	1	Avslag		flint	116	138	SV	3
2545	1	Avslag	fragment	flint	116	138	SV	3
2546	2	Avslag	fragment	flint	116	142	SV	1
2547	1	Avslag	fragment	flint	116	142	SV	2
2548	1	Avslag		flint	116	142	SV	3
2549	2	Avslag	fragment	flint	116	142	SV	3
2550	3	Avslag	fragment	flint				
2551	1	Retusjert avslag	retusjert fragment	flint				
2552	1	Avslag	fragment	flint				
2553	1	Avslag	medioavslag	flint				
2554	4	Avslag	fragment	flint				
2555	1	Avslag		bergkrystall	499003,9 67	7052767,654		
2556	1	Kjerne	ubestemt kjerne	flint	498980,7 06	7052779,116		
2557	1	Kjerne	ubestemt kjerne	kvartsitt	498991,4 11	7052768,334		
2558	1	Slipeplate		bergart	498979,1 2	7052784,226		
2559	1	Knakkestein		bergart	498987,2 87	7052787,739		
2560	1	Slipeplate		bergart	498997,7 36	7052777,789		
2561	1	Knakkestein		bergart	498979,6 12	7052788,674		
2562	1	Knakkestein		bergart	498980,2 4	7052777,984		2
2563	1	Avslag	fragment	flint				
2564	2	Avslag	fragment	flint				
2566	1	Borspiss	ubestemt borspiss	flint				
2565	3	Avslag	fragment	flint				
2567	1	Avslag	fragment	flint				
2574	1	Retusjert avslag	retusjert medioavslag	flint				2
2571	1	Avslag	fragment	flint				2
2572	1	Avslag	fragment	flint				2
2573	1	Retusjert avslag	retusjert medioavslag	flint				2
2579	1	Kjerne	bipolar kjerne	flint				2
2575	1	Retusjert avslag	retusjert medioavslag	flint				2
2570	1	Avslag	fragment	flint				2
2568	12	Avslag		flint				2
2569	152	Avslag	fragment	flint				2
2607	1	Skraperskraper	ubestemt skraperskraper	flint				2
2608	3	Avslag	fragment	kvarts				2
2609	1	Avslag	fragment	bergkrystall				2

2610	2	Avslag	fragment	jaspis				2
2611	1	Avslag	fragment	bergart				2
2604	1	Diagnostisk avslag	flekkelignende avslag	flint				2
2605	1	Diagnostisk avslag	flekkelignende avslag	flint				2
2606	1	Diagnostisk avslag	hengselflekke	flint				2
2576	1	Kjerne	bipolar kjerne	flint				2
2577	1	Kjerne	bipolar kjerne	flint				2
2578	1	Kjerne	bipolar kjerne	flint				2
2580	1	Kjerne	bipolar kjerne	flint				2
2581	1	Kjerne	bipolar kjerne	flint				2
2582	1	Kjerne	bipolar kjerne	flint				2
2583	1	Kjernefragment	bipolart kjernefragment	flint				2
2584	1	Kjernefragment	bipolart kjernefragment	flint				2
2585	1	Kjernefragment	bipolart kjernefragment	flint				2
2586	1	Kjernefragment	bipolart kjernefragment	flint				2
2587	1	Kjernefragment	bipolart kjernefragment	flint				2
2588	1	Kjernefragment	bipolart kjernefragment	flint				2
2589	1	Flekke	makroflekke	flint				2
2590	1	Flekke	makroflekke	flint				2
2591	1	Flekke	medioflekke	flint				2
2592	1	Flekke	medioflekke	flint				2
2593	1	Flekke	mikroflekke	flint				2
2594	1	Flekke	mikroflekke	flint				2
2595	1	Flekke	mikroflekke	flint				2
2596	1	Flekke	mikroflekke	flint				2
2597	1	Flekke	mikroflekke	flint				2
2598	1	Flekke	mikroflekke	flint				2
2599	1	Flekke	mikroflekke	flint				2
2600	1	Flekke	mikroflekke	flint				2
2601	1	Flekke	mikroflekke	flint				2
2603	1	Diagnostisk avslag	flekkelignende avslag	flint				2
2602	1	Diagnostisk avslag	flekkelignende avslag	flint				2
2612	3	Avslag		flint				2
2613	32	Avslag	fragment	flint				2
2614	1	Avslag	fragment	flint				2
2615	1	Avslag	fragment	flint				2
2616	1	Kjerne	bipolar kjerne	flint				2
2617	1	Flekke	mikroflekke	flint				2
2618	1	Flekke	mikroflekke	flint				2
2619	1	Flekke	mikroflekke	flint				2
2620	1	Diagnostisk avslag	flekkelignende avslag	flint				2

2621	1	Diagnostisk avslag	flekkelignende avslag	flint					2
2622	1	Skraper	ubestemt skraper	flint					2
2623	2	Avslag	fragment	kvarts					2
2624	6	Avslag	fragment	flint					3
2625	1	Avslag	fragment	flint					3
2626	1	Kjerne	bipolar kjerne	flint					3
2627	1	Avslag		flint					2
2628	5	Avslag	fragment	flint					2
2629	1	Avslag	fragment	flint					2
2630	1	Kjerne	bipolar kjerne	flint					2
2631	2	Avslag	fragment	bergkrystall					2
2632	2	Avslag	fragment	flint					
2633	1	Avslag	fragment	flint					
2634	1	Kjernefragment	bipolart kjernefragment	flint					
2635	1	Flekke	makroflekke	flint					
2637	1	Kjernefragment	bipolart kjernefragment	flint					2
2636	17	Avslag	fragment	flint					2
2638	1	Kjernefragment	bipolart kjernefragment	flint					2
2639	1	Flekke	makroflekke	flint					2
2640	1	Flekke	mikroflekke	flint					2
2641	1	Flekke	mikroflekke	flint					2
2645	1	Avslag	fragment	flint					
2642	52	Avslag		flint					
2643	190	Avslag	fragment	flint					
2644	1	Avslag	fragment	flint					
2646	1	Avslag	fragment	flint					
2647	1	Avslag	fragment	flint					
2648	1	Avslag	fragment	flint					
2649	1	Avslag	fragment	flint					
2650	1	Avslag	fragment	flint					
2651	1	Avslag	fragment	flint					
2652	1	Avslag	fragment	flint					
2653	1	Avslag	fragment	flint					
2654	1	Avslag	fragment	flint					
2655	1	Avslag	fragment	flint					
2656	1	Avslag	fragment	flint					
2657	1	Avslag	fragment	flint					
2658	1	Avslag	fragment	flint					
2659	1	Avslag	fragment	flint					
2660	1	Avslag	fragment	flint					
2661	1	Avslag	fragment	flint					
2768	2	Avslag	fragment	bergart					
2769	1	Meisel	firesidig bergartsmeisel	bergart					
2770	1	Meisel	firesidig bergartsmeisel	bergart					
2771	1	Knakkestein		bergart					

2772	1	Søkke	garnsøkke	bergart					
2665	1	Avslag	fragment	flint					
2662	1	Avslag	fragment	flint					
2663	1	Avslag	fragment	flint					
2664	1	Avslag	fragment	flint					
2666	1	Avslag	fragment	flint					
2667	1	Avslag	fragment	flint					
2668	1	Avslag	fragment	flint					
2669	1	Avslag	fragment	flint					
2670	1	Avslag	fragment	flint					
2671	1	Avslag	fragment	flint					
2672	1	Retusjert avslag	retusjert fragment	flint					
2673	1	Retusjert avslag	retusjert fragment	flint					
2674	1	Retusjert avslag	retusjert fragment	flint					
2675	1	Kjerne	bipolar kjerne	flint					
2676	1	Kjerne	bipolar kjerne	flint					
2677	1	Kjerne	bipolar kjerne	flint					
2678	1	Kjerne	bipolar kjerne	flint					
2679	1	Kjerne	bipolar kjerne	flint					
2680	1	Kjerne	bipolar kjerne	flint					
2681	1	Kjerne	bipolar kjerne	flint					
2682	1	Kjerne	bipolar kjerne	flint					
2683	1	Kjerne	bipolar kjerne	flint					
2684	1	Kjerne	bipolar kjerne	flint					
2685	1	Kjerne	bipolar kjerne	flint					
2686	1	Kjerne	bipolar kjerne	flint					
2687	1	Kjerne	bipolar kjerne	flint					
2688	1	Kjerne	bipolar kjerne	flint					
2689	1	Kjerne	bipolar kjerne	flint					
2690	1	Kjerne	bipolar kjerne	flint					
2691	1	Kjerne	bipolar kjerne	flint					
2692	1	Kjerne	bipolar kjerne	flint					
2693	1	Kjerne	bipolar kjerne	flint					
2694	1	Kjerne	bipolar kjerne	flint					
2695	1	Kjerne	bipolar kjerne	flint					
2696	1	Kjerne	bipolar kjerne	flint					
2697	1	Kjerne	bipolar kjerne	flint					
2698	1	Kjerne	ubestemt kjerne	flint					
2699	1	Kjerne	ubestemt kjerne	flint					
2712	1	Flekke	makroflekke	flint					
2709	1	Flekke	makroflekke	flint					
2710	1	Flekke	makroflekke	flint					
2711	1	Flekke	makroflekke	flint					
2713	1	Flekke	makroflekke	flint					
2714	1	Flekke	makroflekke	flint					
2715	1	Flekke	makroflekke	flint					
2716	1	Flekke	makroflekke	flint					
2717	1	Flekke	makroflekke	flint					
2700	1	Kjernefragment	bipolart kjernefragment	flint					

2701	1	Kjernefragment	bipolart kjernefragment	flint					
2702	1	Kjernefragment	bipolart kjernefragment	flint					
2703	1	Kjernefragment	bipolart kjernefragment	flint					
2704	1	Kjernefragment	bipolart kjernefragment	flint					
2705	1	Kjernefragment	bipolart kjernefragment	flint					
2706	1	Kjernefragment	bipolart kjernefragment	flint					
2707	1	Kjernefragment	bipolart kjernefragment	flint					
2708	1	Kjernefragment	bipolart kjernefragment	flint					
2722	1	Flekke	medioflekke	flint					
2737	1	Flekke	mikroflekke	flint					
2718	1	Flekke	medioflekke	flint					
2719	1	Flekke	medioflekke	flint					
2720	1	Flekke	medioflekke	flint					
2721	1	Flekke	medioflekke	flint					
2723	1	Flekke	medioflekke	flint					
2724	1	Flekke	medioflekke	flint					
2725	1	Flekke	medioflekke	flint					
2726	1	Flekke	mikroflekke	flint					
2727	1	Flekke	mikroflekke	flint					
2728	1	Flekke	mikroflekke	flint					
2729	1	Flekke	mikroflekke	flint					
2730	1	Flekke	mikroflekke	flint					
2731	1	Flekke	mikroflekke	flint					
2732	1	Flekke	mikroflekke	flint					
2733	1	Flekke	mikroflekke	flint					
2734	1	Flekke	mikroflekke	flint					
2735	1	Flekke	mikroflekke	flint					
2736	1	Flekke	mikroflekke	flint					
2743	1	Diagnostisk avslag	flekkelignende avslag	flint					
2738	1	Diagnostisk avslag	flekkelignende avslag	flint					
2739	1	Diagnostisk avslag	flekkelignende avslag	flint					
2740	1	Diagnostisk avslag	flekkelignende avslag	flint					
2741	1	Diagnostisk avslag	flekkelignende avslag	flint					
2742	1	Diagnostisk avslag	flekkelignende avslag	flint					
2744	1	Diagnostisk avslag	flekkelignende avslag	flint					
2745	1	Diagnostisk avslag	flekkelignende avslag	flint					
2749	1	Borspiss	ubestemt borspiss	flint					
2746	1	Diagnostisk avslag	hengselflekke	flint					

2747	1	Prepareringsavs lag	ryggflekk	flint					
2748	1	Kniv	flekkekni	flint					
2750	1	Borspiss	ubestemt borspiss	flint					
2751	1	Borspiss	ubestemt borspiss	flint					
2752	1	Borspiss	ubestemt borspiss	flint					
2753	1	Skraper	endeskrap	flint					
2754	1	Skraper	ubestemt skrap	flint					
2755	1	Kjerne	ubestemt kjerne	flint					
2756	1	Kjerne	ubestemt kjerne	flint					
2757	2	Avslag		kvarts					
2758	19	Avslag	fragment	kvarts					
2761	2	Avslag	fragment	kvartsitt					
2762	1	Kjerne	bipolar kjerne	kvartsitt					
2763	1	Kjernefragment	ubestemt kjernefragment	kvartsitt					
2764	1	Avslag		bergkrystall					
2765	4	Avslag	fragment	bergkrystall					
2766	1	Avslag	medioavslag	bergkrystall					
2767	1	Kjernefragment	bipolart kjernefragment	bergkrystall					
2759	1	Avslag	fragment	kvarts					
2760	1	Avslag	fragment	kvarts					
2802	1	Prøve	annen prøve	oker					
2799	1	Prøve	annen prøve	jord					
2800	1	Prøve	annen prøve	jord					
2801	1	Prøve	annen prøve	jord					
2803	1	Prøve	annen prøve	oker					
2804	1	Prøve	annen prøve	oker					
2776	1	Prøve	trekullprøve	kull					
2773	1	Prøve	trekullprøve	kull					
2774	1	Prøve	trekullprøve	kull					
2775	1	Prøve	trekullprøve	kull					
2777	1	Prøve	trekullprøve	kull					
2778	1	Prøve	trekullprøve	kull					
2779	1	Prøve	trekullprøve	kull					
2780	1	Prøve	trekullprøve	kull					
2781	1	Prøve	trekullprøve	kull					
2782	1	Prøve	trekullprøve	kull					
2783	1	Prøve	trekullprøve	kull					
2784	1	Prøve	trekullprøve	kull					
2785	1	Nøtteskall	brent nøtteskall	kull					
2786	1	Nøtteskall	brent nøtteskall	kull					
2787	1	Nøtteskall	brent nøtteskall	kull					
2788	1	Nøtteskall	brent nøtteskall	kull					
2789	1	Nøtteskall	brent nøtteskall	kull					
2790	1	Nøtteskall	brent nøtteskall	kull					
2791	1	Nøtteskall	brent nøtteskall	kull					
2792	1	Nøtteskall	brent nøtteskall	kull					
2793	1	Nøtteskall	brent nøtteskall	kull					

2794	1	Nøtteskall	brent nøtteskall	kull				
2795	1	Nøtteskall	brent nøtteskall	kull				
2796	1	Nøtteskall	brent nøtteskall	kull				
2797	1	Nøtteskall	brent nøtteskall	kull				
2798	1	Nøtteskall	brent nøtteskall	kull				

Vedlegg 3 Fotoliste feltfoto, Da62417

Da_62417	Motiv	Strukturnr/ Objektnr	Sett mot	Fotograf	Opptaksdato
_001.tif	Oversiktsfoto. NV del av felt før avtorving		Nord	Skule O.S. Spjelkavik	19.09.2017
_002.tif	Oversiktsfoto. SØ del av felt før avtorving.		Sørøst	Skule O.S. Spjelkavik	19.09.2017
_003.tif	Oversiktsfoto. Midtre del av felt før avtorving		Sør	Skule O.S. Spjelkavik	19.09.2017
_004.tif	Oversiktsfoto. NV del av felt før avtorving		Sørvest	Skule O.S. Spjelkavik	19.09.2017
_005.tif	Oversiktsfoto. SØ del av lokalitet før avtorving		Sørøst	Skule O.S. Spjelkavik	19.09.2017
_006.tif	Oversiktsfoto. Berg og platå S/SØ på lokaliteten		Sørvest	Skule O.S. Spjelkavik	19.09.2017
_007.tif	Oversiktsfoto. Midtre- og NV del av lokaliteten før avtorving		Nord	Skule O.S. Spjelkavik	19.09.2017
_008.tif	Oversiktsfoto. SØ del av lokaliteten før avtorving		Nordøst	Skule O.S. Spjelkavik	19.09.2017
_009.tif	Oversiktsfoto. Begynnelse på avtorvet område.		Øst	Skule O.S. Spjelkavik	20.09.2017
_010.tif	Arbeidsfoto. Prøvestikking før videre avtorving.		Nordvest	Skule O.S. Spjelkavik	20.09.2017
_011.tif	Oversiktsfoto. Begynnelse på avtorvet område.		Nord	Skule O.S. Spjelkavik	20.09.2017
_012.tif	Arbeidsfoto. Avtorving. ML og SOSS i bilde		Vest	Rene Winther	25.09.2017
_013.tif	Arbeidsfoto. Avtorving. ML og SOSS i bilde		Nordvest	Rene Winther	25.09.2017
_014.tif	Oversiktsfoto. Felt etter avtorving, SØ-område		Øst	Rene Winther	25.09.2017
_015.tif	Oversiktsfoto. Felt etter avtorving, SØ-område		Øst	Rene Winther	25.09.2017
_016.tif	Oversiktsfoto. Felt etter avtorving, SØ-område		Nord	Rene Winther	25.09.2017
_017.tif	Oversiktsfoto. Arbeid i gang i NV-område, felt etter avtorving. SOSS og ML avbildet		Nordvest	Rene Winther	25.09.2017
_018.tif	Oversiktsfoto. Felt etter avtorving, SØ-område		Vest	Rene Winther	25.09.2017
_019.tif	Arbeidsfoto. Bygging av såldestasjoner i gang		Øst	Skule O.S. Spjelkavik	26.09.2017
_020.tif	Oversiktsfoto. NV-deler av feltet, med fokus på tuft. RW renser feltet.		Vest	Skule O.S. Spjelkavik	26.09.2017
_021.tif	Oversiktsfoto. NV-deler av feltet, med fokus på tuft + målestokk 1m. RW renser feltet.		Nord	Skule O.S. Spjelkavik	26.09.2017
_022.tif	Arbeidsfoto. Graving av prøvekvadranter		Nordøst	Skule O.S. Spjelkavik	29.09.2017
_023.tif	Tuft. Nærbilde med målestokk 1m og nordpil		Nordøst	Skule O.S. Spjelkavik	03.10.2017
_024.tif	Tuft. Nærbilde med målestokk 1m og nordpil		Nordøst	Skule O.S. Spjelkavik	03.10.2017
_025.tif	Tuft. Nærbilde med målestokk 1m og nordpil. Forskjellige vinkler og avstand		Vest	Skule O.S. Spjelkavik	03.10.2017
_026.tif	Oversiktsfoto. NV-deler av felt, med fokus på tuft. Litt forskjellige vinkler		Vest	Skule O.S. Spjelkavik	03.10.2017
_027.tif	Panorama. Lokalitet etter avtorving		Sørvest	Skule O.S. Spjelkavik	03.10.2017
_028.tif	Oversiktsfoto. Tuft		Vest	Skule O.S. Spjelkavik	03.10.2017
_029.tif	Planfoto. Mulig struktur (509) med målestokk 20cm og nordpil	509	Nordøst	Skule O.S. Spjelkavik	05.10.2017

_030.tif	Arbeidsfoto. RW i gang med å grave lag 1 i tuft 1		Sørøst	Skule O.S. Spjelkavik	05.10.2017
_031.tif	Arbeidsfoto. Område A og B under utgraving		Sør	Skule O.S. Spjelkavik	05.10.2017
_032.tif	Profilfoto. 509 etter snittning med målestokk 20cm og nordpil	509	Nord	Skule O.S. Spjelkavik	05.10.2017
_033.tif	Arbeidsfoto. Funnbehandling i brakka		Sørøst	Skule O.S. Spjelkavik	10.10.2017
_034.tif	Arbeidsfoto. Område A og B under utgraving		Vest	Skule O.S. Spjelkavik	11.10.2017
_035.tif	Arbeidsfoto. Område B under utgraving. Ruskevær. RW avbildet		Sørvest	Skule O.S. Spjelkavik	16.10.2017
_036.tif	Arbeidsfoto. EØ bærer plank til nye såldestasjoner, ruskevær.		Sør	Skule O.S. Spjelkavik	16.10.2017
_037.tif	Oversiktsfoto. Feltet under kraftig regnsvall, ruskevær		Sør	Skule O.S. Spjelkavik	16.10.2017
_038.tif	Mobilfoto. Struktur 961. Med tommestokk som målestokk	961	Øst	Skule O.S. Spjelkavik	19.10.2017
_039.tif	Mobilfoto. Struktur 961. Med tommestokk som målestokk	961	Øst	Skule O.S. Spjelkavik	19.10.2017
_040.tif	Arbeidsfoto. Graving område A. KG, ML og EØ i bilde.		Øst	Skule O.S. Spjelkavik	23.10.2017
_041.tif	Arbeidsfoto. Graving i område B, tuft. SGT og RW i bilde. Graving lag 2.		Vest	Skule O.S. Spjelkavik	23.10.2017
_042.tif	Arbeidsfoto. Graving lag 2 i område A. ML og EØ i bilde.		Nordvest	Skule O.S. Spjelkavik	23.10.2017
_043.tif	Arbeidsfoto. Graving område D. Studenter i bilde		Øst	Skule O.S. Spjelkavik	23.10.2017
_044.tif	Arbeidsfoto. Graving av lag 2, område B, tuft. RW og SGT i bilde.		Nordvest	Skule O.S. Spjelkavik	23.10.2017
_045.tif	Arbeidsfoto. Graving av lag 2, område A. EØ, ML og KG i bilde		Nord	Skule O.S. Spjelkavik	23.10.2017
_046.tif	Arbeidsfoto. Raymond Sauvage (RS) flyr drone		Øst	Skule O.S. Spjelkavik	24.10.2017
_047.tif	Dronefoto. Område D			Raymond Sauvage	24.10.2017
_048.tif	Dronefoto. Område A og B. Hoveddel av felt			Raymond Sauvage	24.10.2017
_049.tif	Dronefoto. Område A og B. Fokus på område B og tuft			Raymond Sauvage	24.10.2017
_050.tif	Dronefoto. Oversiktsfoto av lokalitet rett ovenfra			Raymond Sauvage	24.10.2017
_051.tif	Dronefoto. Oversiktsfoto av lokalitet med Fillfjorden i bakgrunnen		Sørøst	Raymond Sauvage	24.10.2017
_052.tif	Dronefoto. Oversiktsfoto av lokalitet med Fillfjorden i bakgrunnen		Sørøst	Raymond Sauvage	24.10.2017
_053.tif	Planfoto. Mulig struktur (1000) i plan med målestokk 1m	1000	Nordvest	Rene Winther	24.10.2017
_054.tif	Planfoto. Mulig struktur (1000) i plan med målestokk 1m og nordpil	1000	Nordvest	Rene Winther	24.10.2017
_055.tif	Planfoto. Mulig struktur (1000) i plan med målestokk 1m og nordpil	1000	Sørøst	Rene Winther	24.10.2017
_056.tif	Planfoto. Mulig struktur (1000) i plan	1000	Nordvest	Rene Winther	24.10.2017
_057.tif	Planfoto. Mulig struktur (1000) i plan	1000	Nordøst	Rene Winther	24.10.2017
_058.tif	Planfoto. Mulig struktur (1000) i plan	1000	Sørøst	Rene Winther	24.10.2017
_059.tif	Funnfoto. Funn nr. 1023 in-situ med målestokk 5cm		Sørvest	Rene Winther	24.10.2017
_060.tif	Funnfoto. Funn nr. 1023 in-situ med målestokk 5cm		Sørvest	Rene Winther	24.10.2017
_061.tif	Planfoto. Mulig struktur (1000) med omriss	1000	Nordvest	Rene Winther	24.10.2017

_062.tif	Oversiktsfoto. Område A, vest for profil ferdig gravd.		Nord	Skule O.S. Spjelkavik	24.10.2017
_063.tif	Oversiktsfoto. Område A, øst for profil ferdig gravd		øst	Skule O.S. Spjelkavik	24.10.2017
_064.tif	Oversiktsfoto. Område A, øst for profil, gravd lag 2 og 3 (topp lag 3 og 4)		Nordøst	Skule O.S. Spjelkavik	24.10.2017
_065.tif	Oversiktsfoto. Område A øst for profil ferdig gravd.		Sør	Skule O.S. Spjelkavik	24.10.2017
_066.tif	Arbeidsfoto. Stille såld.		Nordøst	Skule O.S. Spjelkavik	24.10.2017
_067.tif	Arbeidsfoto. Fyldskifte i østlig ende af profilen snittet gennem struktur 961. Eventuelt væg i mulig hustuft. Fyldskiftet ses både i flade og profil. Foto graferet med og uden målestok og nordpil. Nordpil vender "felt-nord". På et enkelt foto (0009) er nordpilen lagt fejl og vender mod syd.	961	Sør	Signe Groot Terkelsen	25.10.2017
_068.tif	Fyldskifter i bunden af lag 3 set ved afrensning af profil gennem struktur 961 (østlig ende). Set mod syd og mod øst.	961	Sør	Signe Groot Terkelsen	25.10.2017
_069.tif	Fyldskifter i bunden af lag 3 set ved afrensning af profil gennem struktur 961 (østlig ende). Set mod syd og mod øst.	961	Sør	Signe Groot Terkelsen	25.10.2017
_070.tif	Arbeidsfoto. Utsetting av BG-punkter. SOSS, CBØ, MDV og MBM i bilde.		Vest	Kristina Grubisic	25.10.2017
_071.tif	Arbeidsfoto. AFS og HW diskuterer		Sør	Kristina Grubisic	25.10.2017
_072.tif	Arbeidsfoto. Utsetting av BG-punkter. SOSS, HW og AFS i bilde.		Sør	Kristina Grubisic	25.10.2017
_073.tif	Planfoto. Planfoto av 1069 med målestokk 50cm og nordpil	1069	Nordøst	Kristina Grubisic	25.10.2017
_074.tif	Planfoto. Planfoto av 1069 med målestokk 50cm og nordpil	1069	Nordøst	Kristina Grubisic	25.10.2017
_075.tif	Arbeidsfoto. Område D		Sørvest	Skule O.S. Spjelkavik	26.10.2017
_076.tif	Arbeidsfoto. Flateavdekking		Nordvest	Skule O.S. Spjelkavik	26.10.2017
_077.tif	Oversiktsfoto. Profil i struktur 961.	961	Sør	Signe Groot Terkelsen	26.10.2017
_078.tif	Oversiktsfoto. Profil i struktur 961.	961	Sør	Signe Groot Terkelsen	26.10.2017
_079.tif	Oversiktsfoto. Tuft, område B, før flateavdekking		Vest	Skule O.S. Spjelkavik	26.10.2017
_080.tif	Arbeidsfoto. Graving av struktur 961 og flateavdekking. SGT i bilde	961	Nordvest	Skule O.S. Spjelkavik	26.10.2017
_081.tif	Arbeidsfoto. Flateavdekking. RW i bilde.		Nordvest	Skule O.S. Spjelkavik	26.10.2017
_082.tif	Oversiktsfoto. Del av flateavdekket område		Sørøst	Skule O.S. Spjelkavik	26.10.2017
_083.tif	Oversiktsfoto. 112x97y, topp lag 2, med nordpil		Nordøst	Skule O.S. Spjelkavik	26.10.2017
_084.tif	Planfoto. Mulig struktur, kull/aurhelleflekk	1109	Nord	Eystein Østmoe	26.10.2017
_085.tif	Profilfoto. Mulig struktur, kull/aurhelleflekk	1109	Nord	Eystein Østmoe	26.10.2017
_086.tif	Bilder av pollentrøver og kulltrøver i profil øst i feltet. Pp1: 1223, Pp2: 1224, Pp3: 1225, kp1: 1226, kp2: 1227		Nord	Eystein Østmoe	26.10.2017
_087.tif	Profilfoto. Profil øst. Kulltrøve 1235 av strukturid 1069. Gul okerklump i bunn av profilgrøft.	1069	Nord	Eystein Østmoe	26.10.2017
_088.tif	Planfoto. Foto av mulig struktur (1237) med målestokk 30cm og nordpil	1237	Nord	Skule O.S. Spjelkavik	26.10.2017

_089.tif	Arbeidsfoto. Uttak av mikromorfologi, nærbilde		Nordøst	Skule O.S. Spjelkavik	26.10.2017
_090.tif	Arbeidsfoto. Uttak av pollenprøver.		Nordøst	Skule O.S. Spjelkavik	26.10.2017
_091.tif	Profilbilde. Bilder til panorama av profil i område B, tuft		Nordøst	Skule O.S. Spjelkavik	26.10.2017
_092.tif	Oversiktsfoto. Oversikt over område C		Vest	Skule O.S. Spjelkavik	27.10.2017
_093.tif	Oversiktsfoto. Oversikt over område C		Sør	Skule O.S. Spjelkavik	27.10.2017
_094.tif	Oversiktsfoto. Oversikt over område D		Sørøst	Skule O.S. Spjelkavik	27.10.2017
_095.tif	Panorama. Lokalitet etter flateavdekking		Nord	Skule O.S. Spjelkavik	27.10.2017
_096.tif	Panorama. Lokalitet etter flateavdekking		Sørvest	Skule O.S. Spjelkavik	27.10.2017
_097.tif	Oversiktsfoto. Etter flateavdekking.		Vest	Skule O.S. Spjelkavik	27.10.2017
_098.tif	Oversiktsfoto. Tuft og område A etter flateavdekking		Nord	Skule O.S. Spjelkavik	27.10.2017
_099.tif	Oversiktsfoto. Tuft og område A etter flateavdekking		Nordøst	Skule O.S. Spjelkavik	27.10.2017
_100.tif	Planfoto. Forsenkning i kant av tuft. Penn som målestokk, ca.13cm	1322	Sørøst	Skule O.S. Spjelkavik	27.10.2017
_101.tif	Planfoto. Forsenkning i kant av tuft. Uten målestokk	1322	Nordøst	Skule O.S. Spjelkavik	27.10.2017
_102.tif	Planfoto. Forsenkning i kant av tuft. Uten målestokk	1322	Sørøst	Skule O.S. Spjelkavik	27.10.2017

Vedlegg 4 Fotoliste DEM og ortofoto

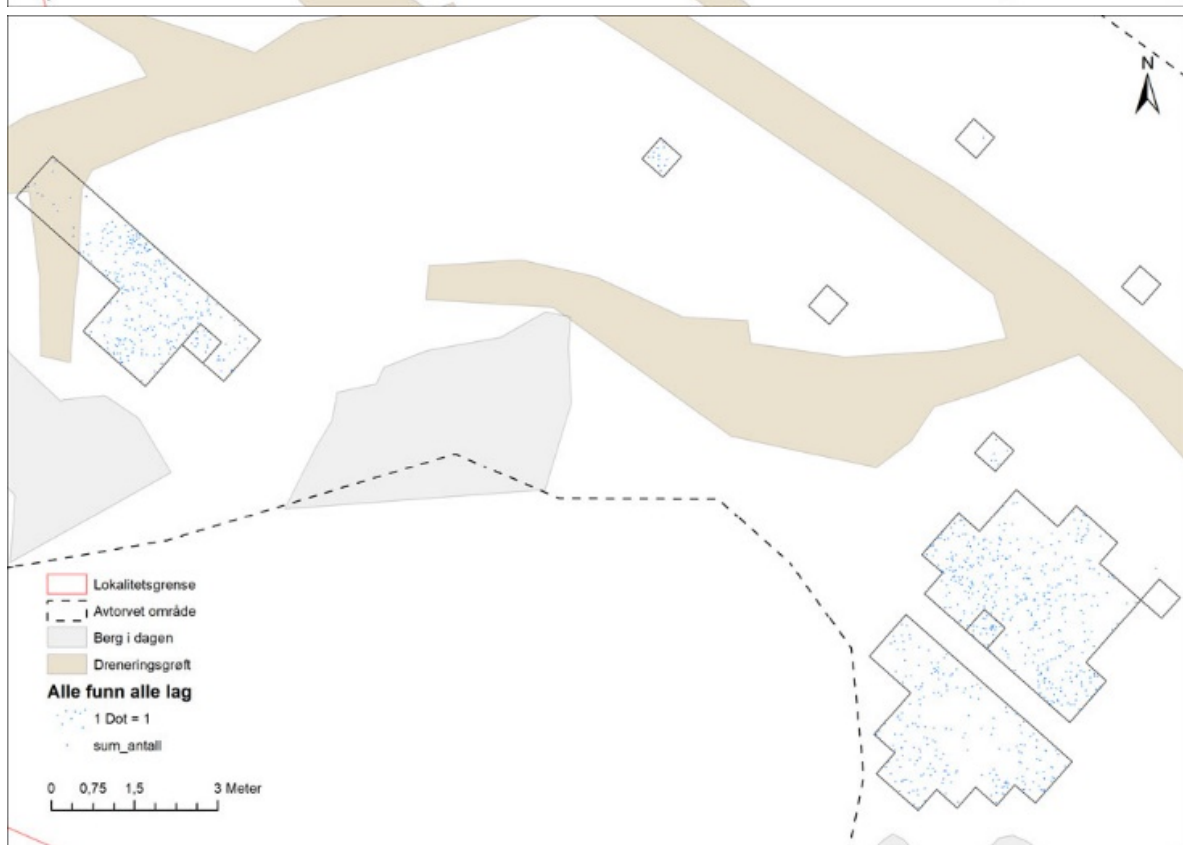
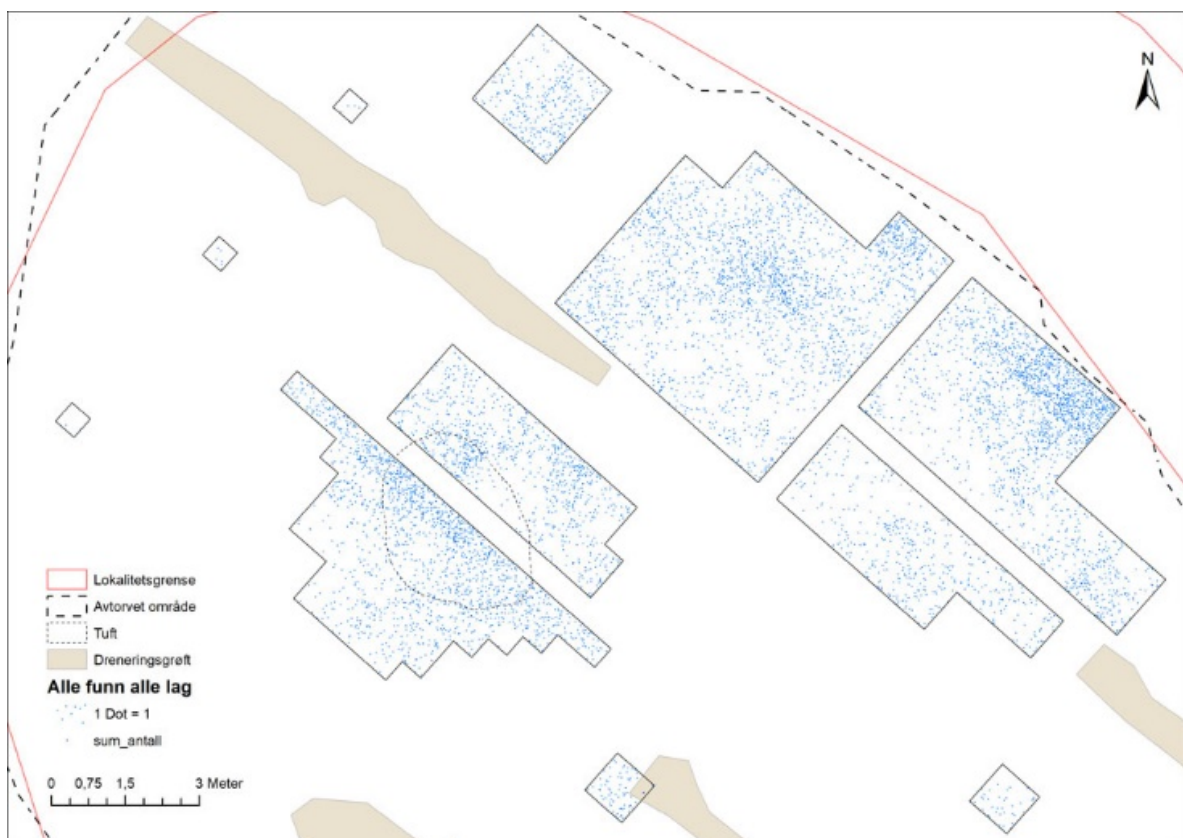
Da_62418	Motiv	Fotograf	Opptaksdato
_001.tif	Ortofoto av feltet etter avtorving	Skule O.S. Spjelkavik	28.09.2017
_002.tif	Ortofoto 112x97y, område A, topp av lag 2	Skule O.S. Spjelkavik	26.10.2017
_003.tif	Ortofoto 119x93y, område A, topp av lag 4	Skule O.S. Spjelkavik	26.10.2017
_004.tif	Ortofoto profil 201240, område A	Skule O.S. Spjelkavik	24.10.2017
_005.tif	Ortofoto profil 201241, område A	Skule O.S. Spjelkavik	24.10.2017
_006.tif	Ortofoto område A, topp lag 2	Skule O.S. Spjelkavik	19.10.2017
_007.tif	Ortofoto område A, topp lag 3, sentralt på feltet	Skule O.S. Spjelkavik	24.10.2017
_008.tif	Ortofoto område A, topp lag 3, østlig del av feltet	Skule O.S. Spjelkavik	24.10.2017
_009.tif	Ortofoto 107x91y, område B, topp av lag 2	Skule O.S. Spjelkavik	26.10.2017
_010.tif	Ortofoto grøft gjennom tuft, område B	Skule O.S. Spjelkavik	26.10.2017
_011.tif	Ortofoto topp av lag 3 i tuft, område B	Skule O.S. Spjelkavik	24.10.2017
_012.tif	Ortofoto av område C, topp av lag 2	Skule O.S. Spjelkavik	26.10.2017
_013.tif	Ortofoto profil 201243, område D	Skule O.S. Spjelkavik	26.10.2017
_014.tif	Ortofoto område D, topp lag 2	Skule O.S. Spjelkavik	25.10.2017

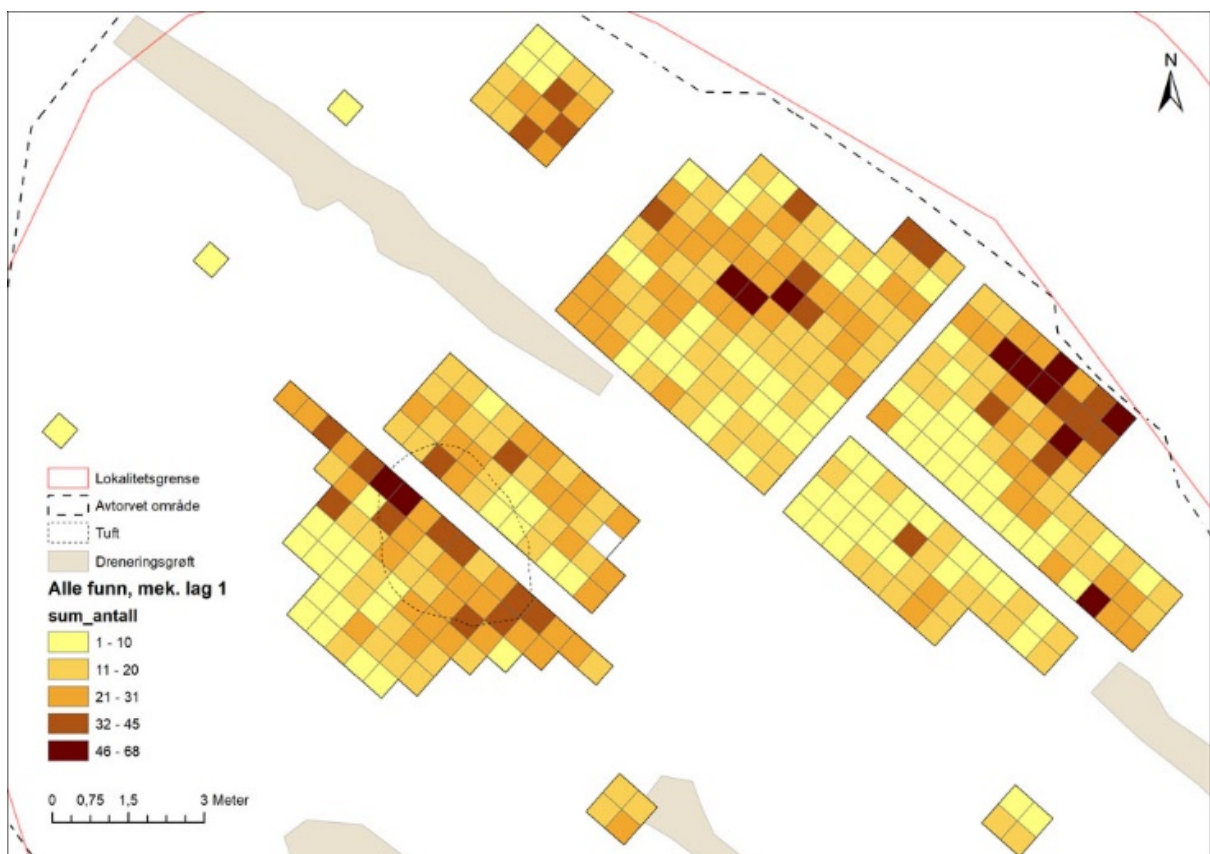
Vedlegg 5 Fotoliste fotogrammetri

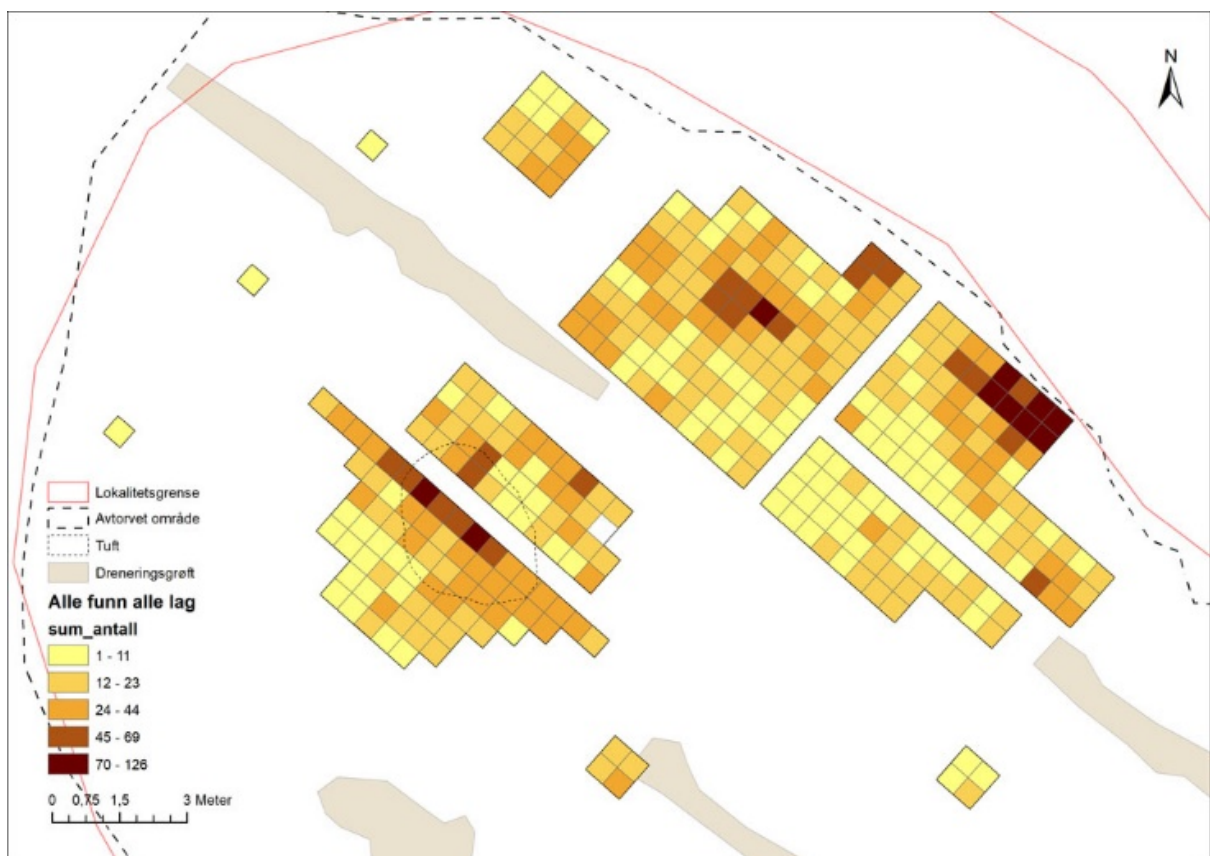
Da. nr.	Motiv	Antall grunnlagsfoto	Fotograf	Dato grunnlagsfoto
Da62419	Struktur 961	78	Skule O.S. Spjelkavik	26.10.17
Da62420	Tuft før graving	85	Skule O.S. Spjelkavik	03.10.17
Da62421	Tuft grøft og profil	88	Skule O.S. Spjelkavik	26.10.17
Da62422	Tuft topp lag 2	305	Skule O.S. Spjelkavik	20.10.17

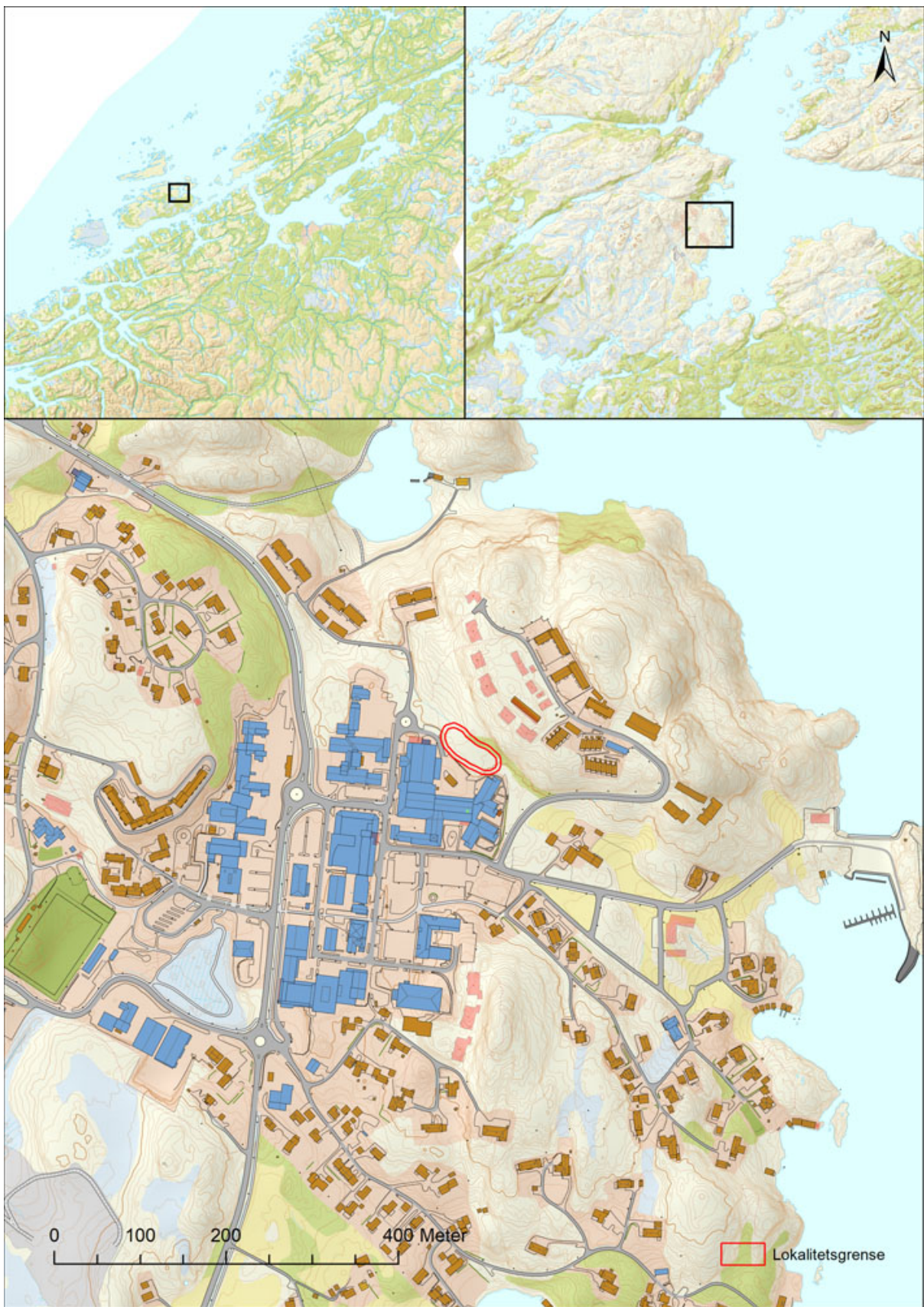
Vedlegg 6 Kart

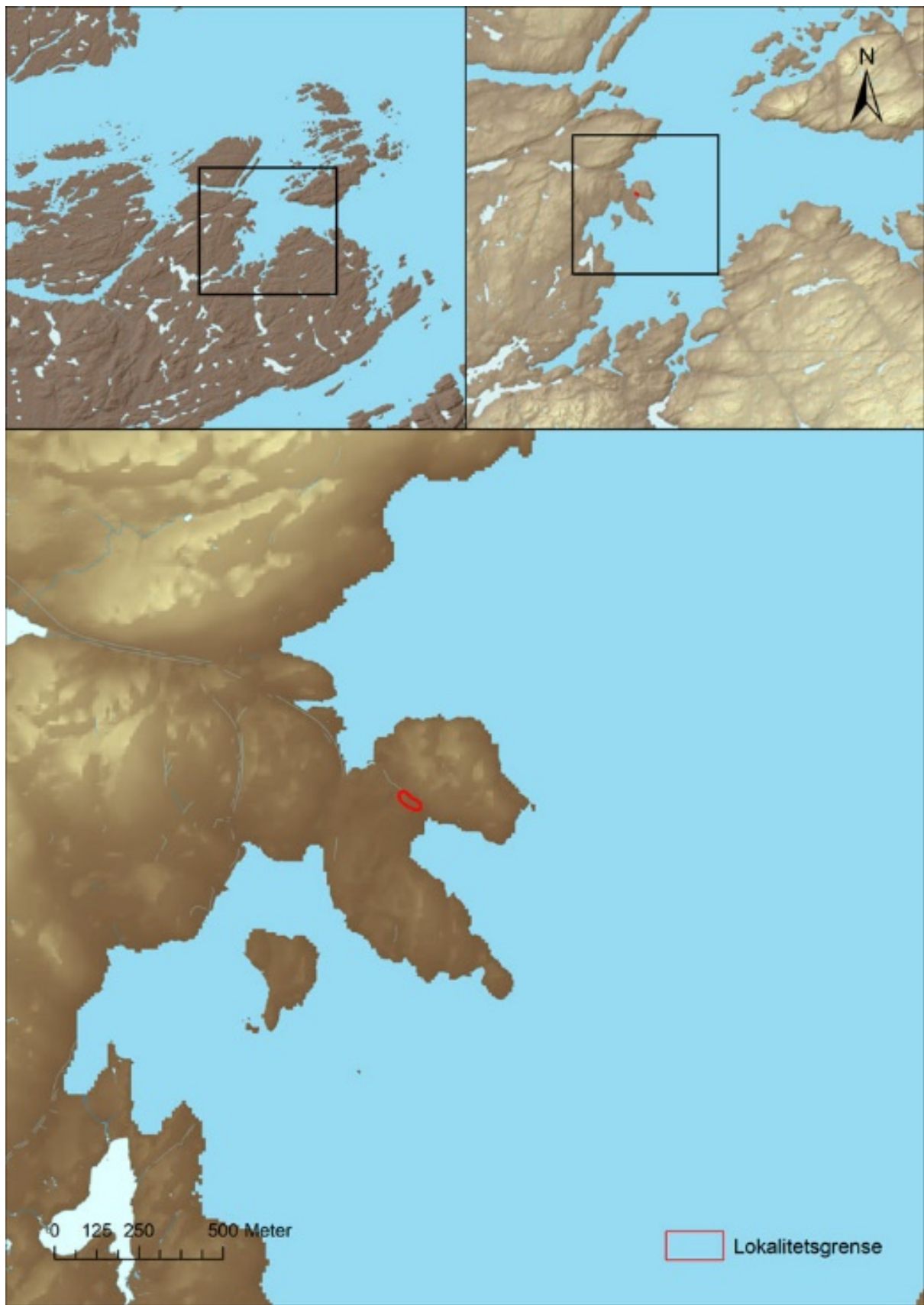


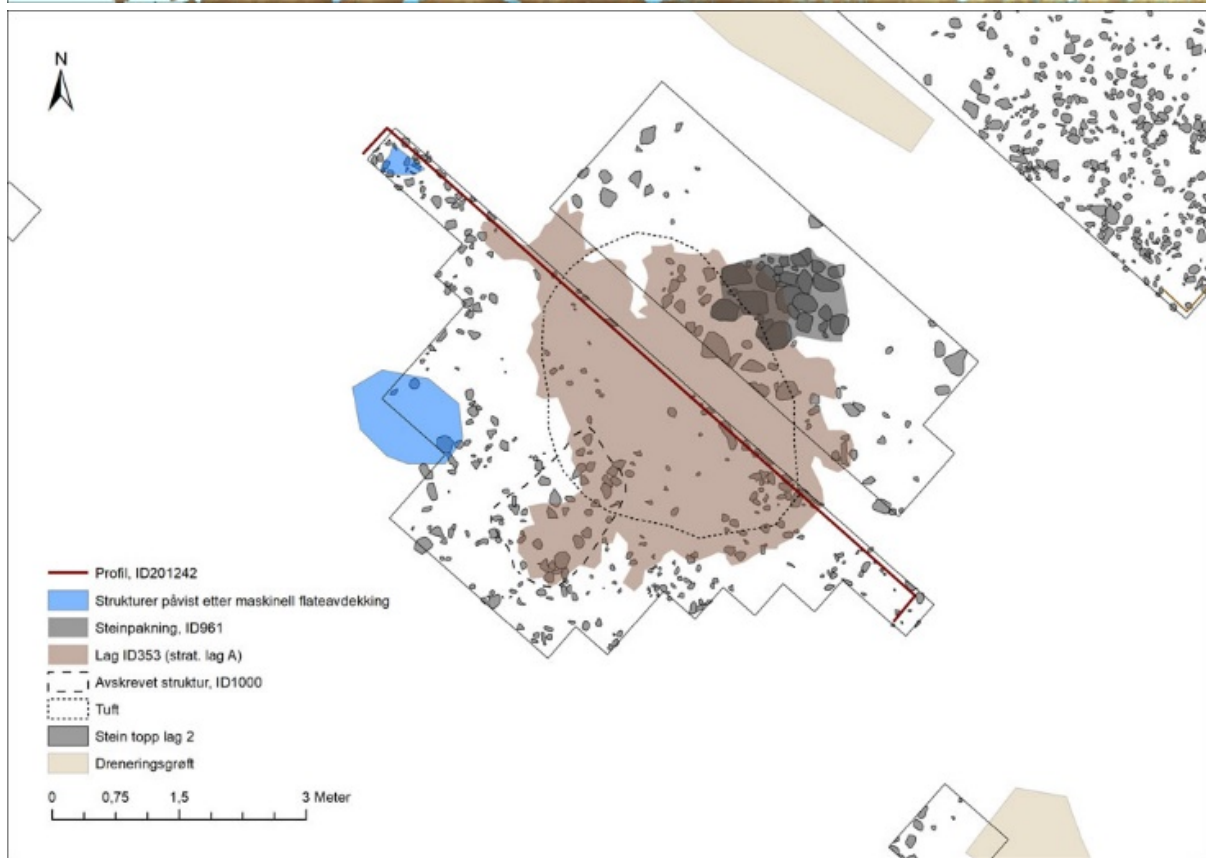


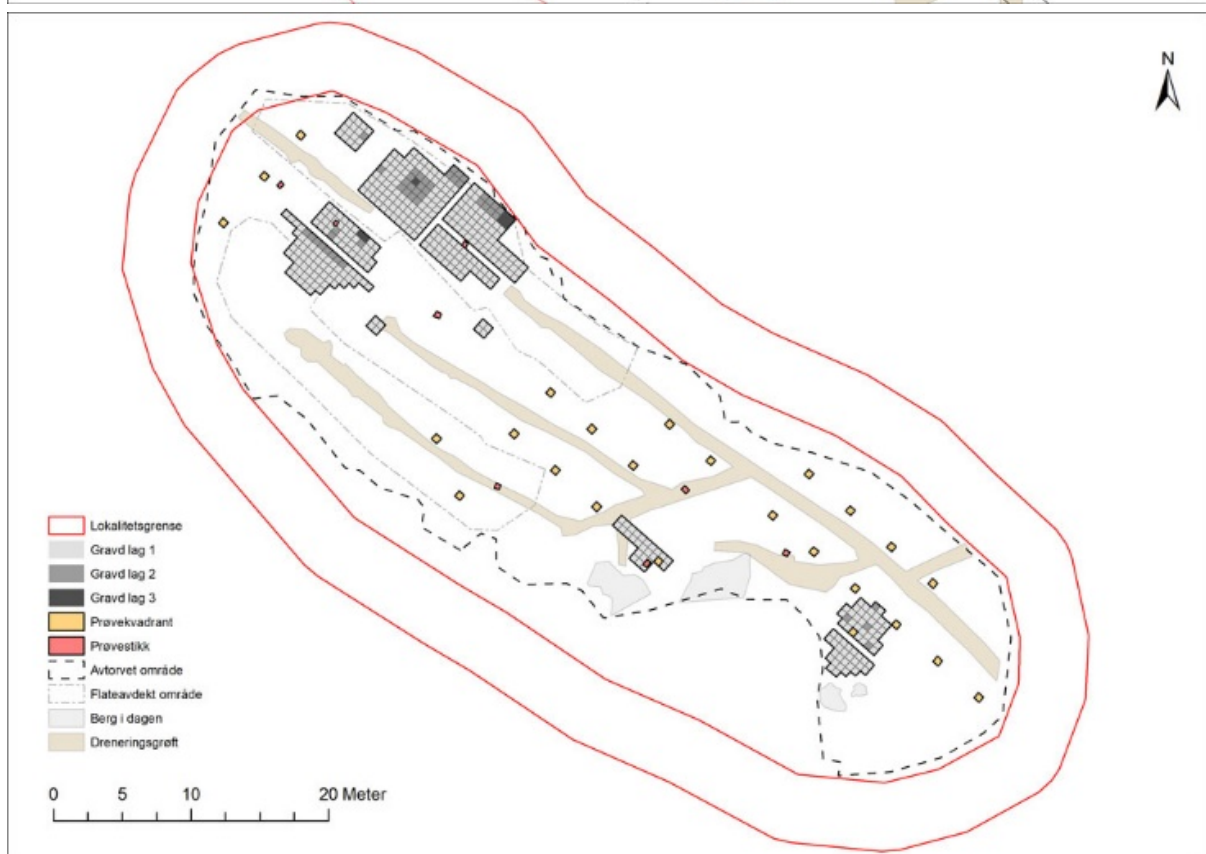
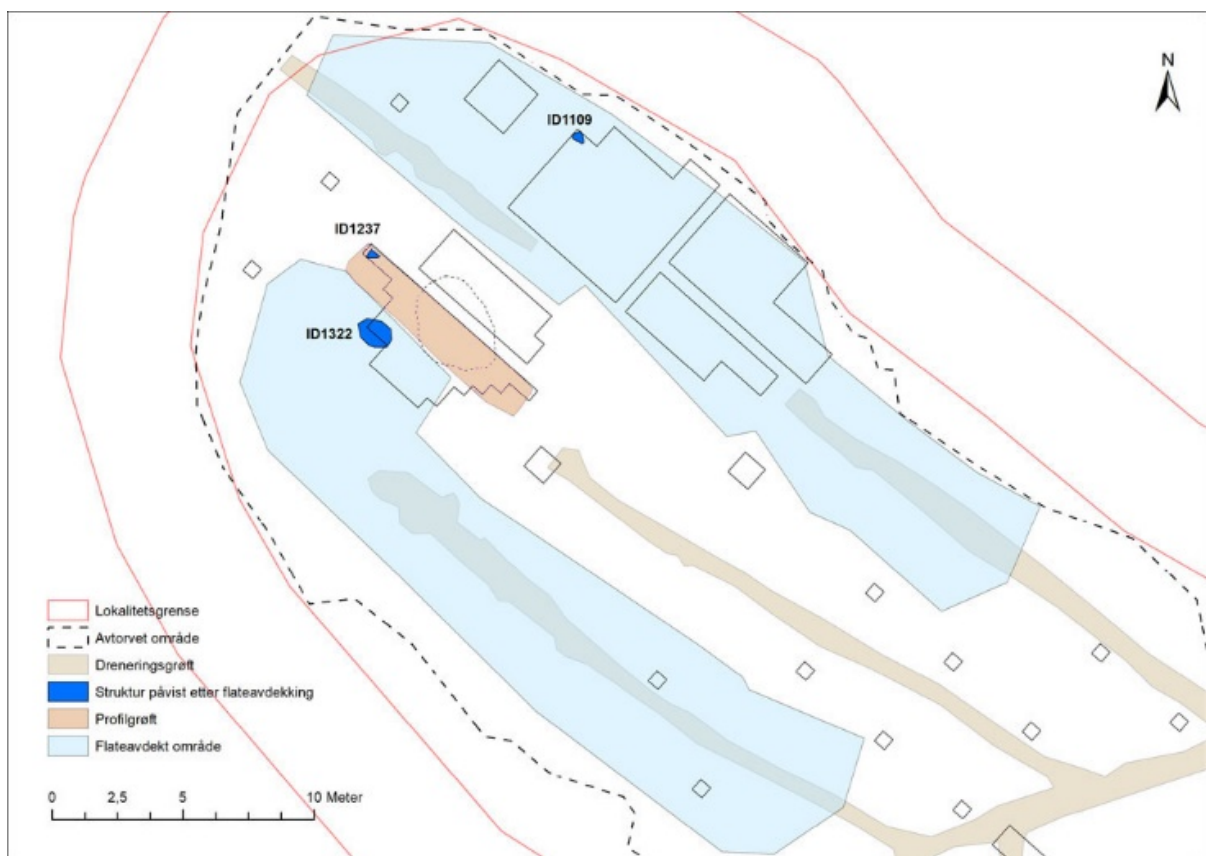


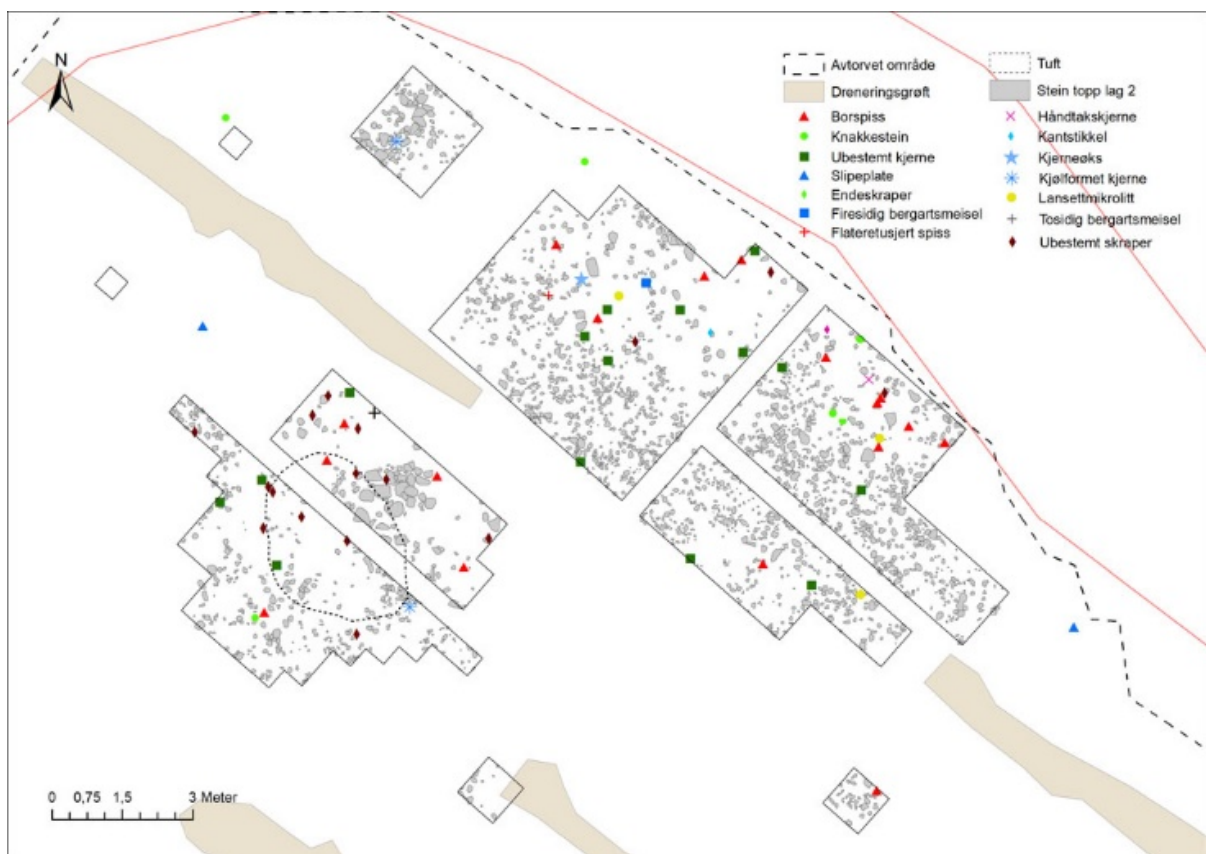


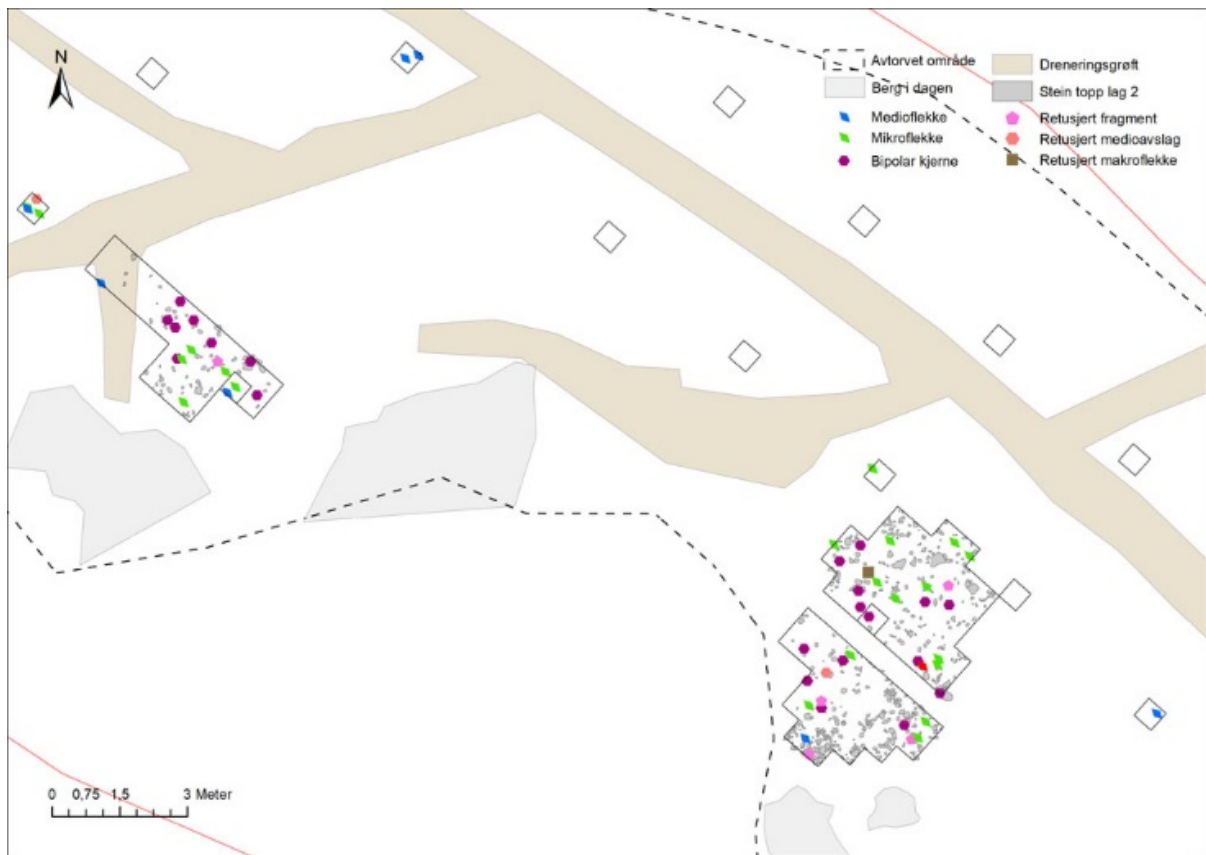




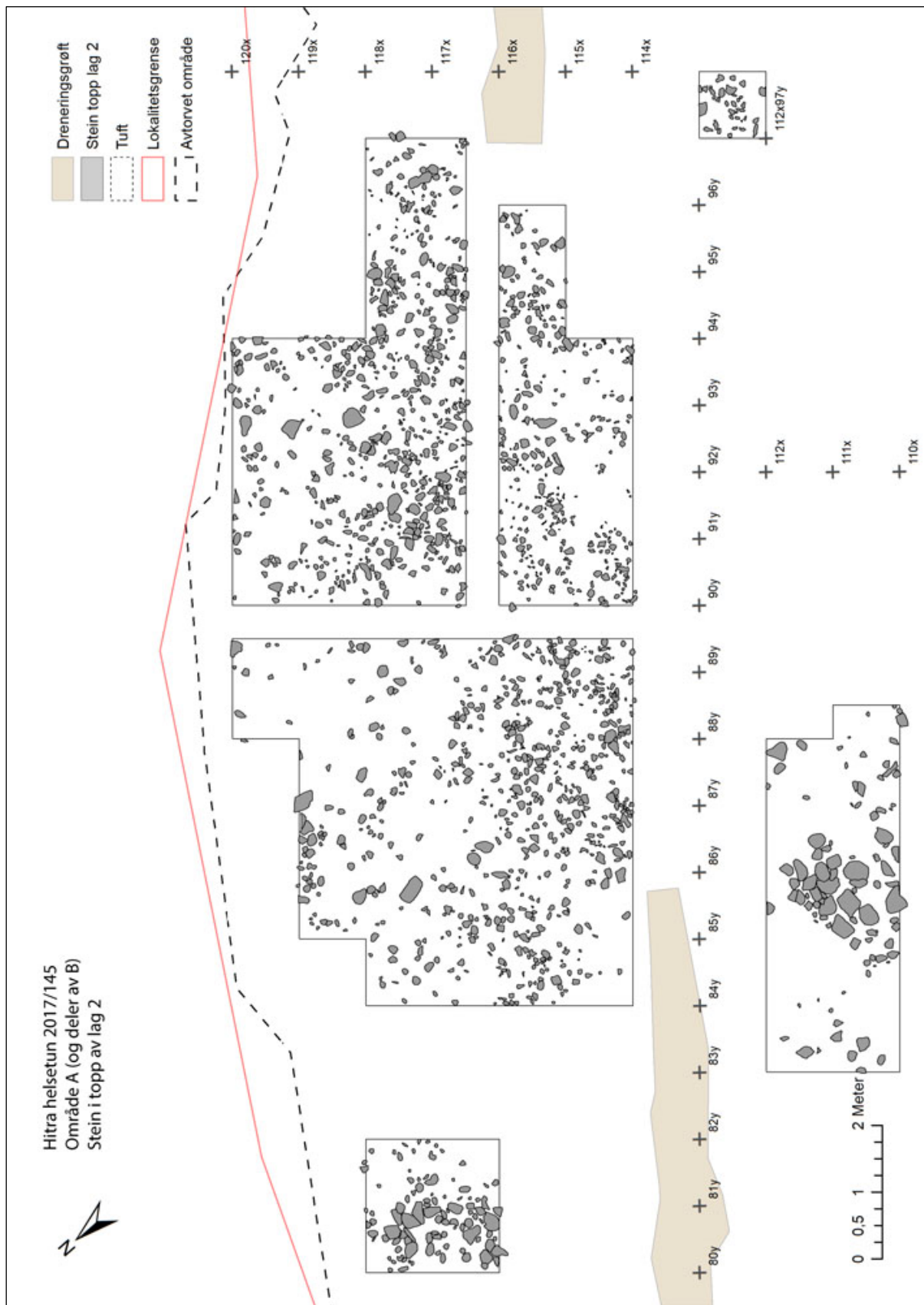


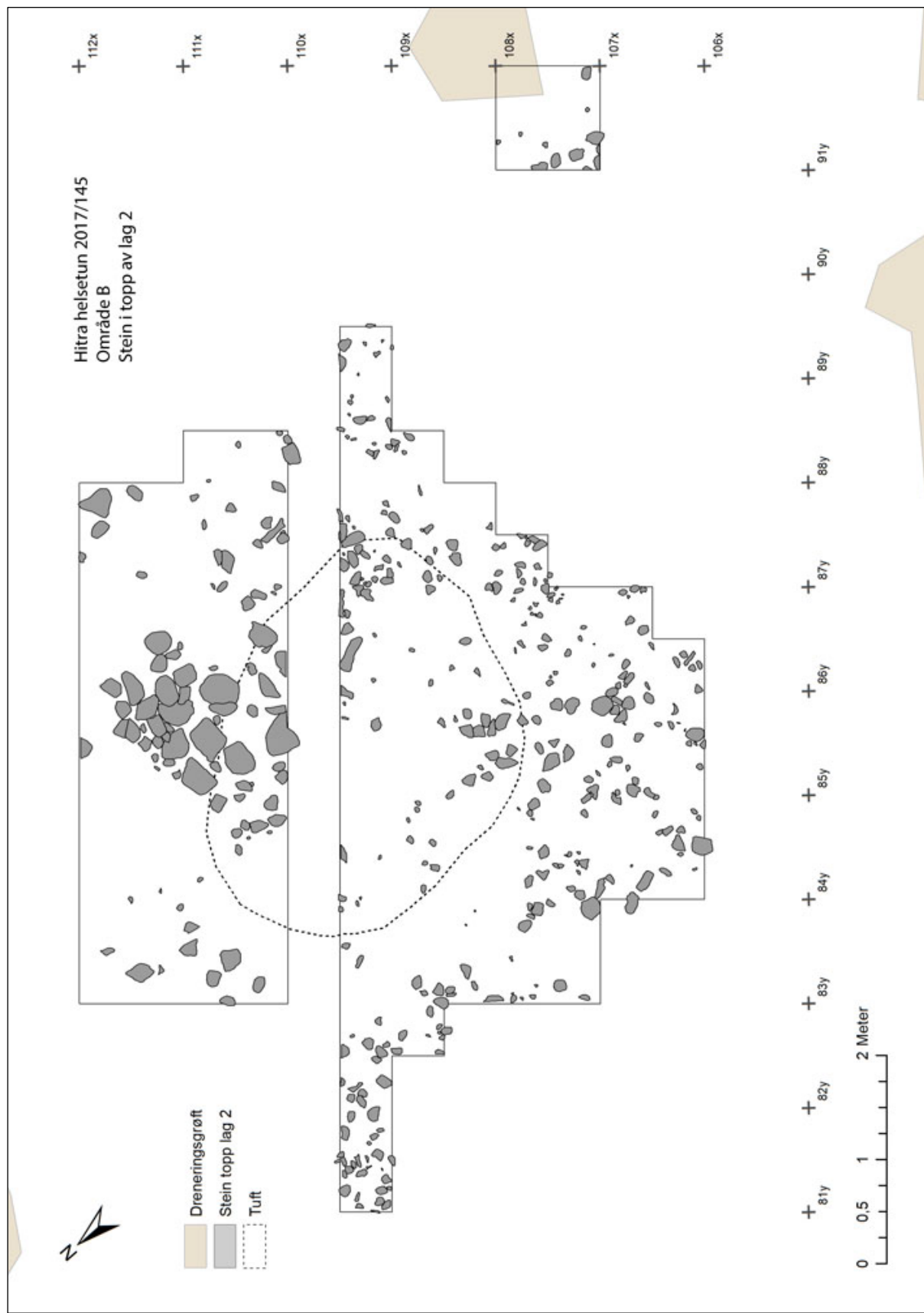


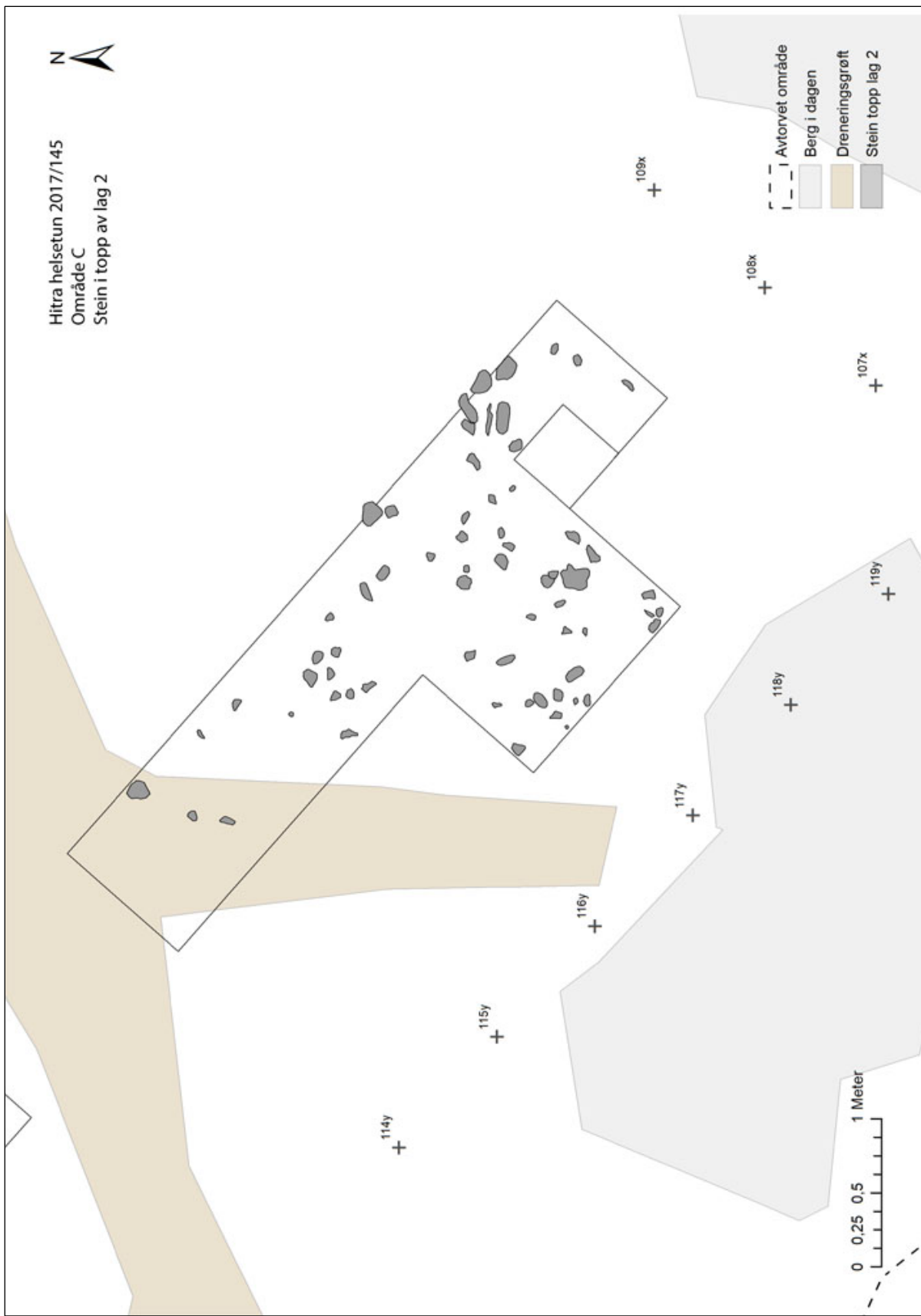




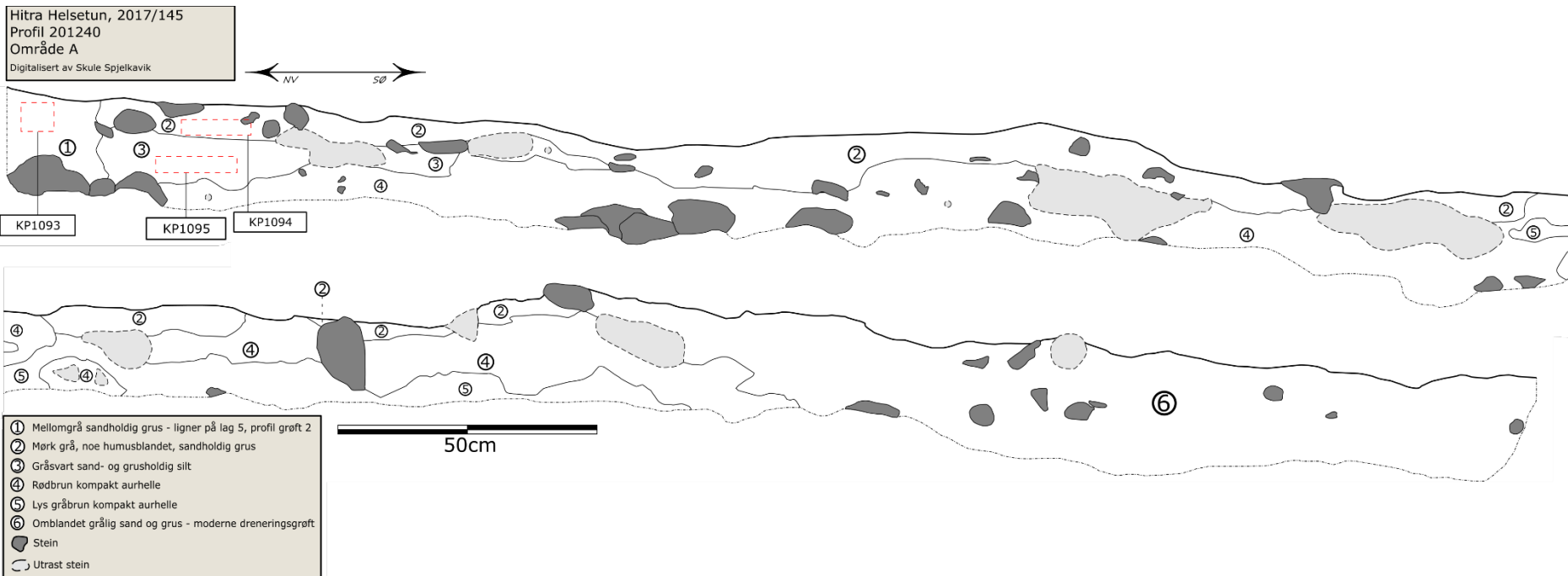
Vedlegg 7 Rentegninger





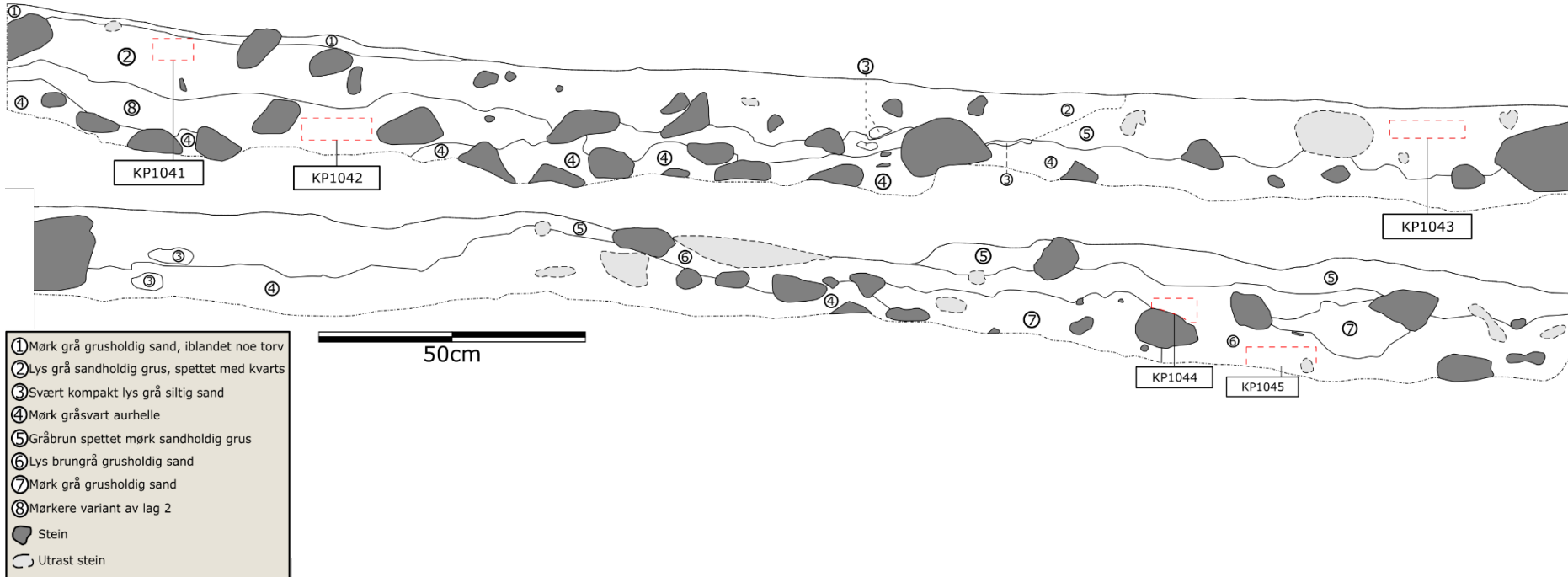


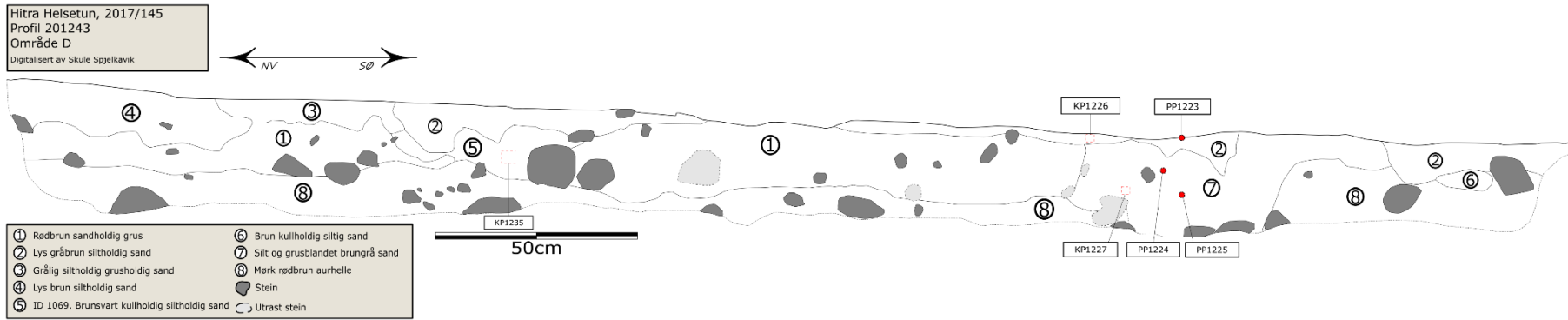




Hitra Helsetun, 2017/145
Profil 201241
Område A
Digitalisert av Skule Spjelkavik

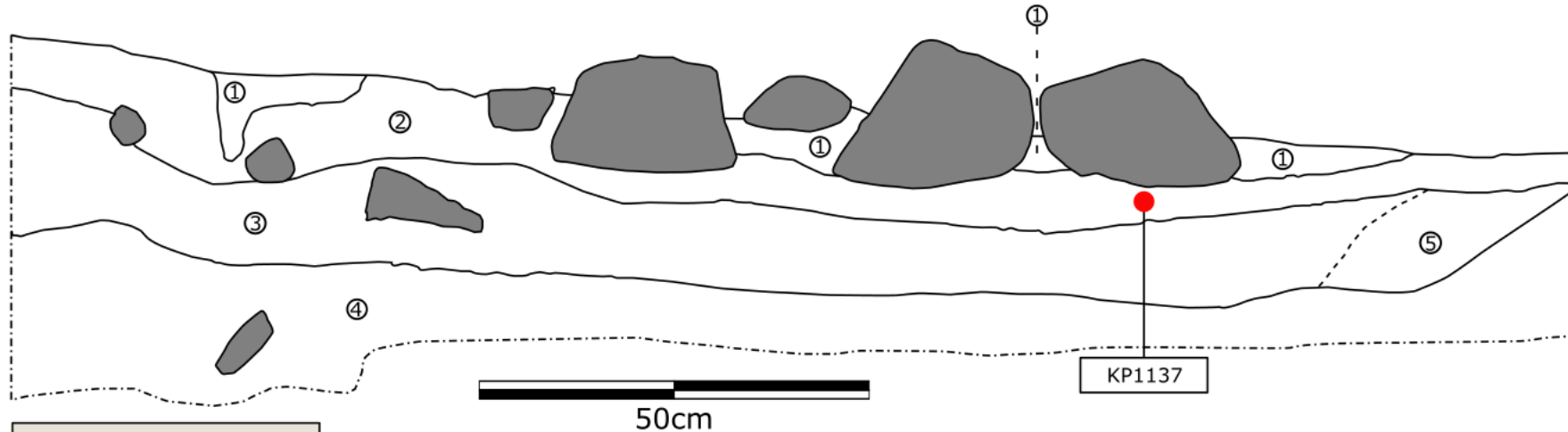
NØ SV



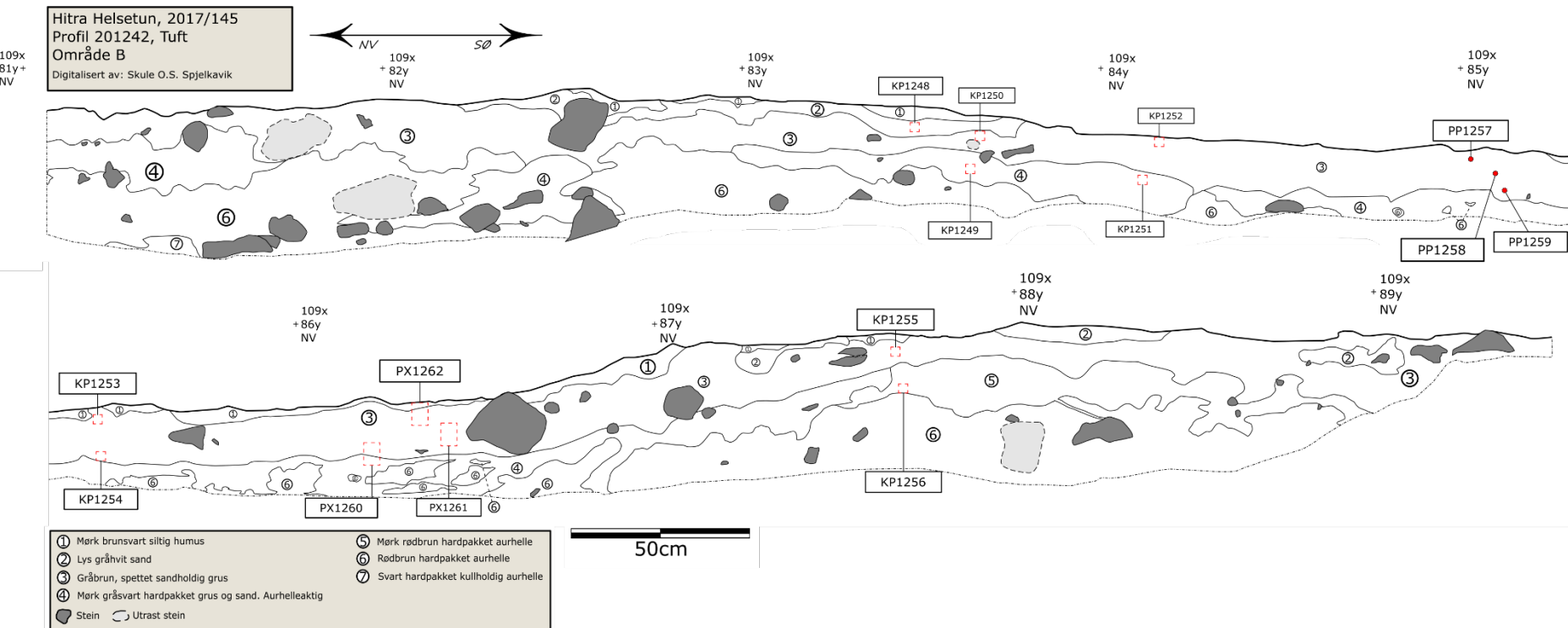


Hitra Helsetun, 2017/145
Profil 1089, struktur 961
Område B
Digitalisert av Skule Spjelkavik

← SØ → NV



- ① Fin brungrå sand
② Mørk gråbrun grusholdig sand
③ Rødbrun sand med småstein
④ Gulbrun sand med småstein
⑤ Oransjerød sand
Stein



Vedlegg 8 Strukturliste

IntrasisId	Subclass	Beskrivelse	Dato beskrevet	Lengde	Bredde	Høyde	Diameter	Form i flate	Dybde
353	Lag_lag	Siltholdig humuslag. Sannsynligvis "moderne". Funn av tiøring fra 1976 i laget. Kulturlag "by proxy"?		520	440			6	ujevn
509	Avskrevet								
522	Avskrevet								
907	Avskrevet								
914	Avskrevet								
961	Steinpakning	En 8-10 større steiner i samling, NØ i tuft 203945. Ingen kullflekker eller andre funn som kan bidra til tolkning.		160	110		20	ujevn	
1000	Avskrevet								
1055	Avskrevet								
1069	Kullflekk					45		12	oval
1109	Kullflekk	Snittet på denne strukturen ble ikke målt inn.		50	40			5	ujevn
1237	Kullflekk	Liten kullflekk i bunn av profilgrøft gjennom tuft 203945. Først tolket som en flekk med svart aurhelle. Ble ikke nøyere undersøkt i felt enn med et kjapt foto og innsamling av en kullprøve fra plan.s				45			ujevn
1322	Annet	Tolket som et mulig inngangsparti/lag tilknyttet inngang på tuft. Objektet ble identifisert siste dag i felt, så det ble ikke tid til nærmere undersøkelser enn innmåling og fotografering.		140	100				oval
203938	Lag_kulturlag	Små flekker med mørk brunsvart fin silt med trekull og hasselnøttskall.							iformet
203945	Tuft	Omrisset av tufta ble tegnet ut i fra et ortofoto fra en fotogrammetri som ble laget før gravingen kom i gang.		360	280				oval

Vedlegg 9 Resultater fra mikromorfologianalyser (tabell)

Table 1: Hitra Helestun, Trøndelag, Norway: soil micromorphology samples and counts

Thin section	Layer	Rel. depth	MFT	SMT	Voids	Gravel	Woody roots	Non-woody roots	Charcoal	Wood residues?	Burnt mineral?	Matrix pans
1262	L1	0-20 mm	C1	4a	35%	ffff	aaa	a*	a*			
1262	L3 upper	20-65 mm	B1	3a(4a)	30%	ffff-f	a	aa	(aaa)		a*?	aaaa
1262	L3 lower	65-75 mm	A3	2a,2b	65%	fff		a*	a*			
1261	L3 lower	0-75 mm	A3	2a,2b	40%	fffff	a*		a*			
1260	L3/L4	0-35mm/35-75 mm	A2/A1	1a,2a/1a	45%	ffff/fff	a*		a/a*	aaaa	a*	
Table 1, cont.												
Thin section	Layer	2ndary Fe	Org-Sesq (Bh)	Org-Sesq (Bs)	Thin burrows	Broad burrows	V. thin	Thin	V. thin	Thin	Broad	
1262	L1				aa		aa					
1262	L3 upper	aaaa			aa		aa	aa				
1262	L3 lower											
1261	L3 lower		aaa	aaa	aaa				aaaa	aa		
1260	L3/L4		aaa/a*	aaaaa	aaaaa	aaa(relict)			aaaaa	aaa	aa	

* - very few 0-5%, f - few 5-15%, ff - frequent 15-30%, fff - common 30-50%, ffff - dominant 50-70%, fffff - very dominant >70%; a - rare <2% (a*1%; a-1, single occurrence), aa - occasional 2-5%, aaa - many 5-10%, aaaa - abundant 10-20%, aaaaa - very abundant >20%

Table 2: Hitra Helestun, Trøndelag, Norway: soil micromorphology descriptions and preliminary interpretations

Microfacies type (MFT)/Soil microfabric type (SMT)	Sample No.	Depth (relative depth) Soil Micromorphology (SM)	Preliminary Interpretation and Comments
MFT C1/SMT 4a	M1262	<p>0-20 mm</p> <p>SM: Humic blackish brown sands and gravels (SMT 4a); <i>Microstructure</i>: compact massive, 35% voids, simple and complex packing voids, with channels; <i>Coarse Mineral</i>: moderately poorly sorted fine and medium sands, with coarse sands and dominant gravel and small stones (max >15mm); <i>Organic and Anthropogenic</i>: trace of fine charcoal (max 1mm) and woody roots, with many non-woody roots; <i>Fine Fabric</i>: SMT 4a: black (PPL), isotropic (intergrain aggregate and single grain, undifferentiated b-fabric, XPL), black (OIL), organic; <i>Pedofeatures</i>: <i>Fabric</i>: rare thin burrows; <i>Excrements</i>: occasional very thin organic excrements.</p> <p>20-65 mm</p> <p>SM: dominant dull brown sands and gravels (SMT 3a), with few blackish brown (SMT 4a) channel-associated material; <i>Microstructure</i>: compact massive with diffuse microlaminated, 30% voids, vughs, closed vughs and channels; <i>Coarse Mineral</i>: diffusely layered with fine and medium sands and few gravel, and with gravelly layers (dominant gravel and small stones – max >15mm); <i>Organic and Anthropogenic</i>: rare ferruginised woody and occasional ferruginised non-woody roots, with patches of many fine charcoal (max 2mm) sometimes with a sub-horizontal orientation; <i>Fine Fabric</i>: SMT 3a: dusty dull brown (PPL), very low interference colours (porphyric, stipple speckled b-fabric, XPL), pale orange brown (OIL), minerogenic with rare iron-stained relict very fine charcoal and</p>	<p>Layer 1</p> <p>Humic blackish brown sands and gravels, with dominant gravel and small stones (max >15mm), and a trace of fine charcoal (max 1mm) and woody roots, with many non-woody roots. A rare thin burrows, and occasional very thin organic excrements, were found.</p> <p><i>The uppermost house fill seems to have become leached – acidic humus topsoil Ahg horizon formation – associated with the development of a monocotyledonous plant cover.</i></p>
MFT B1/SMT 3a (4a)			<p>Layer 3 upper</p> <p>Compact massive and diffusely microlaminated, dominant dull brown sands and gravels, with few blackish brown channel-associated material. There are few gravel, and with gravelly layers (dominant gravel and small stones – max >15mm), and rare ferruginised woody and occasional ferruginised non-woody roots, with patches of many fine charcoal (max 2mm) sometimes with a sub-horizontal orientation, also occur. Abundant fine matrix pans and void coatings, sometimes forming upper stone capping features (max 400 µm thick), abundant weak to moderate iron</p>

MFT A3/SMT 2a, 2b		<p>organic matter; <i>Pedofeatures</i>: <i>Textural</i>: abundant fine matrix pans and void coatings, sometimes forming upper stone capping features (max 400 µm thick); <i>Amorphous</i>: abundant weak to moderate iron impregnation and staining of charcoal and other fine organic matter, and with void hypocoatings; <i>Fabric</i>: occasional thin burrows; <i>Excrements</i>: occasional very thin and thin organic excrements.</p> <p>65-75 mm Loose, open structureless brown sands and gravels (dominant gravels >10mm; SMT 2b; 65% voids), as Layer 3 lower in M1261, with very few black organic microfabrics, a trace of fine charcoal and non-woody roots.</p>	<p>impregnation and staining of charcoal and other fine organic matter, and with void hypocoatings, occasional thin burrows, and occasional very thin and thin organic excrements, were recorded.</p> <p><i>Compact and diffusely microlaminated series of moderately fine charcoal rich pit house floor occupation deposits, probably formed under moderately muddy trampled conditions (poorly weather proof). It is possible that layer 3 lower was a ground raising constructional dump, while two possible phases of floor use – with trample brining-in local beach sands, was separated by a laid layer of small stones and gravel.</i></p> <p><i>Leaching from above associated with surface soil wetness led to minor iron staining of these layers.</i></p> <p>Layer 3 lower Loose, open structureless brown sands and gravels (dominant gravels >10mm), as Layer 3 lower in M1261, with very few black organic microfabrics, a trace of fine charcoal and non-woody roots.</p> <p><i>Loose sandy and gravelly house pit fill, now with Bh and Bhs horizon characteristics.</i></p>
MFT A3/SMT 2a, 2b	M1261	<p>SM: sand and gravel dominated with frequent brown (SMT 2b) and black (SMT 2a) microfabric; <i>Microstructure</i>: loose, structureless, possibly fragmented once-massive, 40% voids, simple and complex packing voids; <i>Coarse Mineral</i>: as below, with very dominant gravel and small stones (max >55mm greenschist rock fragment); <i>Organic and Anthropogenic</i>: trace amounts of fine charcoal (max <0.5mm) and ferruginised roots; <i>Fine Fabric</i>: SMT 2b:</p>	<p>Layer 3 lower Sand and gravel dominated with frequent brown and black fine soil microfabric, with very dominant gravel and small stones (max >55mm) and trace amounts of fine charcoal (max <0.5mm) and ferruginised roots.</p> <p>Many polymorphic and monomorphic organic and organo-mineral sesquioxidic microfabrics, probable many thin burrows,</p>

		dull brown (PPL), isotropic (coated grain and intergrain aggregate, undifferentiated b-fabric, XPL), dull ochreous brown (OIL), organo-mineral complex; <i>Pedofeatures: Amorphous</i> : many polymorphic and monomorphic organic and organo-mineral sesquioxidic microfabric; <i>Fabric</i> : probable many thin burrows; <i>Excrements</i> : abundant very thin and occasional thin organo-mineral excrements.	and abundant very thin and occasional thin organo-mineral excrements, were noted. <i>This is rather a sterile layer and records a stony infill of the house pit, and subsequent podzolic Bh and Bhs horizon formation.</i>
MFT A2/SMT 1a, 2a over MFT A1/SMT 1a	M1260	SM: Heterogeneous with dominant reddish brown sands and gravels (SMT 1a) and frequent blackish sands and gravels (SMT 2a) at 0-35 mm, and very dominant reddish brown sands and gravels (SMT 1a) at 35-75 mm; <i>Microstructure</i> : massive with pelletey becoming fragmented massive and pelletey upwards, average of 45% voids throughout, simple and complex packing voids; <i>Coarse Mineral</i> : poorly sorted fine sands and common to dominant gravel (upwards), including medium and coarse sands, gravel and small (max 15mm) to medium stones (max 35mm); feldspar rich igneous rocks (e.g. granite) with various metamorphic rock fragments; <i>Organic and Anthropogenic</i> : at 35-75 mm: rare trace of fine (<0.5mm) charcoal and trace amounts of possible woody root fragments (max 1mm), with seemingly abundant pelletised reddish humified wood, including semi-continuous fragments (max 4mm), and at 0-35 mm: rare fine (max >4mm) charcoal and trace amounts of possible woody root fragments (max 1mm), with seemingly abundant pelletised reddish humified wood and wood fragments, and with possible trace of burnt mineral material throughout; <i>Fine Fabric</i> : SMT 1a: reddish brown (PPL), isotropic (intergrain aggregate, undifferentiated b-fabric, XPL), mainly orange brown (OIL), partially mineralised humified wood; SMT 2a: black (PPL), as SMT 1a, intergrain aggregate and	Layer 3/Layer 4 Heterogeneous with dominant reddish brown sands and gravels and frequent blackish sands and gravels at 0-35 mm, and very dominant reddish brown sands and gravels at 35-75 mm; with common to dominant gravel (upwards). Layers include at 35-75 mm: rare trace of fine (<0.5mm) charcoal and trace amounts of possible woody root fragments (max 1mm), with seemingly abundant pelletised reddish humified wood, including semi-continuous fragments (max 4mm), and at 0-35 mm: rare fine (max >4mm) charcoal and trace amounts of possible woody root fragments (max 1mm), with seemingly abundant pelletised reddish humified wood and wood fragments, and with possible trace of burnt mineral material throughout. Many black polymorphic and monomorphic organo-mineral sesquioxides affecting 0-35 mm, with very abundant reddish brown sesquioxide stained fine woody residues throughout, and many iron cemented patches (cf. ironpan) areas at 35-75mm depth, very abundant thin and many examples of relict broad burrows, and very abundant very thin

		<p>coated grain, black (OIL), organic; <i>Pedofeatures</i>: <i>Amorphous</i>: many black polymorphic and monomorphic organo-mineral sesquioxides affecting 0-35 mm, with very abundant reddish brown sesquioxide stained fine woody residues throughout, and many iron cemented patches (cf. ironpan) areas at 35-75mm depth; <i>Fabric</i>: very abundant thin and many examples of relict broad burrows; <i>Excrements</i>: very abundant very thin and many thin with occasional relict broad organo-mineral excrements.</p>	<p>and many thin with occasional relict broad organo-mineral excrements, occur. <i>A probable complex record of occupation and post-depositional podzolic pedogenesis is present. Trace amounts of likely fine burnt mineral material and charcoal occur alongside the presumed ferruginised remains of wooden constructional material. This wood has been affected by podzolic illuvial (and possibly localised hydromorphic) processes, as well as biological fragmentation and burrowing associated with the original occupation material. It is possible that Layer 3 contains more fine charcoal compared with Layer 4, although black secondary monomorphic organic (organo-mineral) precipitation more strongly affects Layer 3.</i></p>
--	--	---	---

NTNU Vitenskapsmuseet er en enhet ved Norges teknisk-naturvitenskapelige universitet, NTNU.

NTNU Vitenskapsmuseet skal utvikle og formidle kunnskap om natur, kultur og vitenskap. Museet skal sikre og forvalte de vitenskapelige samlingene og aktivisere dem gjennom forskning, formidling og undervisning.

Seksjon for arkeologi og kulturhistorie har forvaltningsansvar for automatisk fredete kulturminner og skipsfunn i Nordmøre, Sør-Trøndelag, Nord-Trøndelag, nordlige Romsdal og Nordland til og med Rana. Seksjonen foretar arkeologiske undersøkelser på kulturminner over og under vann, i henhold til kulturminneloven.

ISBN 978-82-8322-171-8

ISSN 2387-3965

© NTNU Vitenskapsmuseet
Publikasjonen kan siteres fritt med kildeangivelse

www.ntnu.no/vitenskapsmuseet